

وزارة التعليم والبحث العلمي

MINISTÈRE DE L'ENSEIGNEMENT ET DE LA RECHERCHE SCIENTIFIQUE

les

ECOLE NATIONALE POLYTECHNIQUE

DEPARTEMENT : GENIE CIVIL

PROJET DE FIN D'ÉTUDES

S U J E T

CENTRAL

TELEPHONIQUE.

Proposé par :

P.T.T

KADA B. Abdelhak
BELARBI B. Med

Etudié par :

Dirigé par :

Melle DJILLALI
BERKANE.

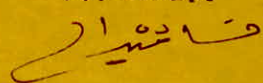
PROMOTION : Janvier 85

Dédicaces

je dédie ce modeste travail :

- A mes chers parents pour leurs sacrifices
- A mes frères et sœurs.
- A tous mes amis.

A. KADA



je dédie ce travail

- A la mémoire de ma grand-mère
- A chacun de ma famille
- A tous mes amis et en particulier à
K. Rachid.

B. MED

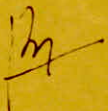


~ Remerciements ~

- Nous tenons à remercier vivement notre promotrice Melle Djiloli BERKANE pour avoir bien voulu prendre le soin de nous guider tout le long de ce projet.
- Nos remerciements à M^E BENSLIMANE et à tous les Enseignants qui ont contribués à notre formation.
- Que tous ceux qui nous ont aidé dans l'élaboration de ce travail trouvent ici l'expression de nos profonds remerciements.

B. Mohamed

A. KADA



SOMMAIRE

<u>chapitre</u>	<u>Page</u>
- présentation de l'ouvrage	1
- caractéristiques des matériaux	2
• <u>Bloc 1:</u>	
- charges et surcharges	6
- calcul des éléments	9
- 1) acrotere	9
- 2) poutrelles et table de compression	12
- 3) plancher R.D.C	18
- Etude au séisme	23
- calcul des rigidités	28
- calcul des forces sismiques	34
- vérification au renversement	37
- Efforts dans les portiques engendrés par les charges Horiz.	38
- Efforts engendrés par les charges verticales	49
- superposition des sollicitations	67
- ferraillage des portiques	81
- A) ferraillage des poutres	83
- B) ferraillage des poteaux	99
- Fondations	112
- Longrines	115
- voiles périphériques	116
• <u>Bloc 2 :</u>	
- prédimensionnement	117
- charges et surcharges	118
- calcul des éléments	120
- dalles	120
- poutrelles	132
- Etude au séisme	155
- calcul de période par la méthode de Holzer	158
- calcul des rigidités	168
- calcul des forces sismiques et distribution	173
- Efforts dans les portiques engendrés par les forces Horiz.	179
- Renversement	185
- Efforts engendrés par les charges verticales	186
- superposition des sollicitations	208
- ferraillage des portiques	223
- fondations	232
- Longrines	239
- voile périphérique	240

Présentation De l'ouvrage

Le projet qui nous a été proposé par les P.T.T a pour objet l'étude et le calcul des éléments résistants de deux blocs à ossature (structure auto-stable). Le premier est à usage d'habitation avec R.D.C réservé pour les bureaux, le second est à usage industriel, de longues portées.

Les blocs étudiés comportent :

- Bloc 1 :
- plancher terrasse
 - deuxième niveau } habitations
 - premier niveau }
 - R.D.C (bureaux)
 - sous sol.

- Bloc 2 :
- plancher terrasse
 - troisième étage
 - deuxième étage } techniques
 - premier niveau }
 - R.D.C
 - sous sol.

Dimensions des blocs étudiés :

Bloc 1 :

- Longueur : 18,45 m
- Largeur : 12,45 m
- hauteur totale (y compris l'acrotère) $\begin{cases} h = 10,62 \text{m (à partir du sol } \frac{+9^{\circ}}{-2,97}) \\ h = 13,59 \text{m (à partir du sous-sol } \frac{-4,1}{+2,97}) \end{cases}$

Bloc 2 :

- Longueur : 28,9 m
- Largeur : 13,25 m
- hauteur totale (y compris l'acrotère) $\begin{cases} h = 18,45 \text{ (à partir du sol } \frac{+9^{\circ}}{-4,1}) \\ h = 22,55 \text{ (à partir du sous-sol } \frac{-4,1}{+2,97}) \end{cases}$

Ossature :

les deux blocs sont contreventés par des portiques auto-stable

le remplissage est fait par maçonnerie

Planchers :

- les planchers du Bloc 1 sont à corps creux sauf R.D.C qui est constitué par une dalle pleine reposant sur les poutres.
- les planchers du bloc 2 seront constitués par des dalles pleines reposant sur des poutres et des poutrelles.

caractéristiques et contraintes
admissibles des matériaux utilisés

. Béton :

le Béton est dosé à 350 kg/m² de ciment CPA 325 et peu contrôlé.

granulats concassés, dimension maximale 25mm la résistance à la rupture par compression et par traction sont respectivement

$$\sigma_{28}' = 270 \text{ bars} \quad \sigma_{28} = 7 + 0,6 \sigma_{28}' = 23,2 \text{ bars}$$

la composition d'un m³ de béton est la suivante 800 l de gravillon, 400 l de sable, 350 kg de ciment 175 l d'eau.

le sable doit être propre, il ne doit comporter ni terre, ni matières organiques, de même pour le gravier l'eau doit être pure sans acide.

. contrainte de compression admissible

elle est donnée par : $\sigma_b' = \alpha \cdot B \cdot \delta \cdot \varsigma \cdot \sigma_{28}'$

α : il dépend de la classe du ciment (CPA 325 $\alpha = 1$)

B : il dépend de l'efficacité du contrôle

$B = 1$ (contrôle non atténué) $B = 5/6$ (contrôle atténué)

δ : il dépend des épaisseurs relatives des éléments (h_m) et des dimensions des granulats (c_g)

si $h_m/4c_g \geq 1$ on prend $\delta = 1$, dans le cas contraire

cad $h_m/4c_g < 1$ on prend $\delta = h_m/4c_g$.

ς : dépend de la nature des sollicitations

$\varsigma = 0,3$ en compression simple

$\varsigma = 0,6$ en flexion simple ou flexion composée lorsque l'effort normal est une traction

Dans le cas de la flexion composée lorsque l'effort normal est une compression

$$\sigma = \min [0,6 ; 0,3(1 + e_0/3e_1)]$$

e_0 = excentricité de la résultante des forces extérieures par rapport au centre de gravité du Béton seul.

e_1 : distance de la limite du noyau central au CDG du béton seul dans le plan radial passant par le centre de pression.

ε : dépend de la forme de la section et la nature de la sollicitation.

$\varepsilon = 1$ en compression simple \forall la forme de la section
 $0,5 < \varepsilon < 1$ dans les autres cas tel que $\sigma_m' \leq \bar{\sigma}_{b_0}'$

σ_m' : contrainte moyenne du béton de la section rendue homogène.

soit :

en compression simple $\bar{\sigma}_{b_0}' = \alpha \cdot \beta \cdot \delta \cdot \varepsilon \cdot \sigma_{28}'$

$$\bar{\sigma}_{b_0}' = 1 \cdot 5/6 \cdot 1 \cdot 0,3 \cdot 1 \cdot 275 = 68,5 \text{ kg/cm}^2$$

En flexion simple : $\bar{\sigma}_b' = 1 \cdot 5/6 \cdot 1 \cdot 0,6 \cdot \varepsilon = 137 \varepsilon \text{ kg/cm}^2$
contrainte de traction de référence $\bar{\sigma}_b$ (CCBA 68 art 95)
la contrainte de traction de référence est prise égal à une fraction de la résistance nominale à la compression σ_{28}' du béton

$$\bar{\sigma}_b = p_b \sigma_{28}' \text{ avec } p_b = \alpha \cdot \beta \cdot \delta$$

α, β, δ même signification que précédemment

$$\theta = 0,018 + 2,1 / \sigma_{28}' = 0,018 + 2,1 / 275 = 5,9 \text{ kg/cm}^2$$

Aciers :

On pourra admettre que le module de déformation longitudinale du béton sous des contraintes normales d'une durée d'application inférieure à 24 Heures (module de déformation instantanée E_i) est égal à :

$$E_i = 21000 \sqrt{1,2 \sigma_{28}'} = 3,815 \cdot 10^6 \text{ t/m}^2$$

le module de déformation longitudinal du béton sous les contraintes permanentes ou de longue durée d'application (Module de déformation différée E_v) est égal à

$$E_v = 7000 \sqrt{1,2 \sigma_{28}'} = 1,271 \cdot 10^6 \text{ t/m}^2$$

cette valeur tient compte à la fois du fluage et du retrait.

les contraintes admissibles :

Ronds lisses : $\sigma_{en} = 2400 \text{ kg/cm}^2$

sous SP₁ $\bar{\sigma}_a = \frac{2}{3} \sigma_{en} = 1600 \text{ kg/cm}^2$

sous SP₂ $\bar{\sigma}_a = 1,5 \cdot 1600 = 2400 \text{ kg/cm}^2$.

auvers à Haute adhérence (Nuance Fe E 40)

$\phi \leq 20 \text{ mm}$ $\sigma_{en} = 4200 \text{ kg/cm}^2$

$\phi > 20 \text{ mm}$ $\sigma_{en} = 4000 \text{ kg/cm}^2$.

$\phi \leq 20 \text{ mm}$

sous SP₁ $\bar{\sigma}_a = 2800 \text{ Kg/cm}^2$.

sous SP₂ $\bar{\sigma}_a = 4200 \text{ Kg/cm}^2$.

$\phi > 20 \text{ mm}$

sous SP₁ $\bar{\sigma}_a = 2667 \text{ Kg/cm}^2$

sous SP₂ $\bar{\sigma}_a = 4000 \text{ Kg/cm}^2$.

Pour la contrainte de compression admissible, il existe une exception aux valeurs données ci dessus, elle concerne le cas des poteaux et colonnes comportant des aciers de limite d'élasticité inférieure à 3300 kg/cm²

$$\bar{\sigma}'_a = \frac{2}{3} \sigma_{en} \quad \sigma_{en} / 3340$$

la valeur de la contrainte admissible défini ci dessus est fonction des caractéristiques mécaniques de l'acier. On peut être amené à utiliser pour $\bar{\sigma}_a$, une valeur inférieure afin de limiter la fissuration du béton (CUBA 68 art 49)

$$\bar{\sigma}_a \leq \max(\bar{\sigma}_1, \bar{\sigma}_2) \text{ avec } \bar{\sigma}_1 = K \eta / \phi \frac{\sqrt{w_f}}{1 + 10\sqrt{w_f}}$$

$$\bar{\sigma}_2 = 2,4 \sqrt{\eta K \bar{\sigma}_b} / \phi$$

$K = 1,5 \cdot 10^6$ fissuration peu nuisible

$K = 1 \cdot 10^6$ fissuration préjudiciable

$K = 0,5 \cdot 10^6$ fissuration très nuisible

K est un coefficient caractérisant le préjudice des fissures sur l'ouvrage.

η : coefficient de fissuration égal à :

1 pour les Ronds lisses

1,6 = les aciers à Haute adhérence.

ϕ : diamètre (mm) de la plus grosse barre tendue.

3
 \bar{w}_f : pourcentage de fissuration défini par $w_f = A/B_f$

A: section des barres tendues

B_f: section du béton enrobant les aciers.

σ_1 : c'est la contrainte de fissuration systématique

σ_2 : = = de fissuration accidentelle.

Remarque: Pour les armatures transversales, on ne fait pas de vérifications dans le cas des sollicitations du second genre, il en est de même en ce qui concerne les contraintes d'adhérence.

Relation entre la qualité de l'acier et du béton: la qualité du béton doit être en rapport avec celle de l'acier, en effet les sollicitations localisées (adhérence, réactions de courbure etc) que le dernier impose au béton, augmentent avec la contrainte qui le sollicite, c'est pourquoi, le règlement impose que certaines relations soient satisfaites:

$$\sigma_{bo} > 20(1 + 1,25 \psi_d)$$

ψ_d : désignant le plus haut coefficient de scellement parmi ceux des aciers en Barres ou fils trifilés à haute adhérence employé dans la pièce:

$$\psi_d = 1 \quad \text{Ronds lisses.}$$

$$\psi_d = 1,5 \quad \text{aciés à Haute adhérence}$$

charges et Surcharges

* CHARGES

• Plancher terrasse :

1. protection gravillon 5 cm	0,05. 1800 =	90 kg/m ²
2. multicouches		10 kg/m ²
3. isolation liège (4cm)	0,04. 400 =	16 kg/m ²
4. forme de pente (1,5%)		110 kg/m ²
5. hourdis + table de compression (16+4)		265 kg/m ²
6. Enduit + platre (1,5 cm)		30 kg/m ²
		<u>G = 521 kg/m²</u>

• Plancher courant (1^{er} et 2^{em} étage) :

1. carrelage (2 cm)	0,02. 2000 =	40 kg/m ²
2. mortier de pose (1 cm)	0,01. 2000 =	20 kg/m ²
3. Sable (2 cm)		34 kg/m ²
4. isolation		10 kg/m ²
5. hourdis + table de compression (16+4)		265 kg/m ²
6. Enduit + platre		30 kg/m ²
7. cloisons		75 kg/m ²
		<u>G = 474 kg/m²</u>

• Plancher R-D-C :

1. carrelage (2 cm)	40 kg/m ²
2. mortier de pose	20 kg/m ²
3. Sable (2 cm)	34 kg/m ²
4. isolation	10 kg/m ²
5. dalle pleine (16 cm)	2500. 0,16 = 400 kg/m ²
6. Enduit + platre	30 kg/m ²
7. cloisons	75 kg/m ²
	<u>G = 609 kg/m²</u>

• Acroterie :

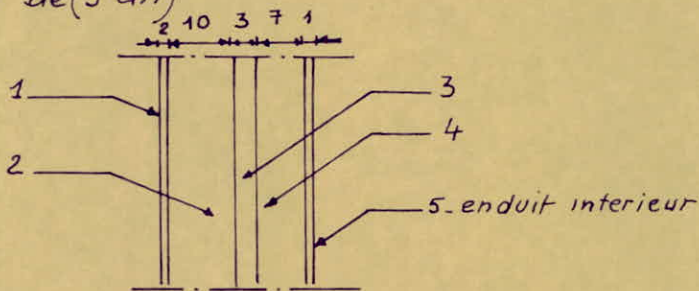
$$2500. 0,10. 0,90 = 225 \text{ kg/m}^2$$

* SURCHARGES

- terrasse accessible	175 kg/m^2
- Etage courant	175 kg/m^2
- Balcons	350 kg/m^2
- Accotement : on considère une force horizontale due à la main courante	100 kg/m^2

• Remplissage :

le mur extérieur est formé d'une double cloison, l'une de (10 cm), l'autre de 7 cm et d'un vide d'air entre elles de (3 cm)



1. Enduit extérieur (2 cm)	40 kg/m^2
2. Briques creuses (10cm)	140 kg/m^2
3. Vide d'air	
4- Briques creuses (7cm)	98 kg/m^2
5. Enduit intérieur (1cm)	20 kg/m^2
<hr/>	
$\sum =$	298 kg/m^2

Prédimensionnement

* Poutres :

$$\left. \begin{array}{l} b \geq 20 \text{ cm} \\ h_t \geq 30 \text{ cm} \end{array} \right\} \rightarrow \text{en Zone II}$$

d'après P. charron $\frac{\ell}{15} \leq h_t \leq \frac{\ell}{10}$

ℓ : étant la plus grande portée dans le sens considéré.

h_t : hauteur totale de la poutre.

on prend :

- sens longitudinal $\frac{600}{15} \leq h_t \leq \frac{600}{10}$
- sens transversal $\frac{400}{15} \leq h_t \leq \frac{400}{10}$

soit : pour les poutres porteuses $b \times h_t = 30 \times 50$

pour les poutres non porteuses $b \times h_t = 30 \times 40$

* Poteaux :

les dimensions de la section transversale des poteaux doivent satisfaire les conditions suivantes (RPA 81 - Art 4.2.1)

- $A = b \times h_t \geq k \frac{N'}{\sigma_{zB}'} \quad (\sigma_{zB}' = 275 \text{ kg/cm}^2; k=4 \rightarrow \text{Zone II})$
- $\min(b, h) \geq 25 \text{ cm} \quad (\text{en Zone II})$
- $1/3 \leq b/h \leq 3$
- $\min(b, h) \geq h/20 \quad / h: \text{hauteur de l'étage}$.
- calcul de N' :

Surface revenant au poteau le plus chargé : $S = 24 \text{ m}^2$

$$N' = S(6 + 1,2P) = 115,54 t$$

d'où $A = b \times h = 1680,54 \text{ cm}^2$

On choisit une section carré afin que les poteaux présentent la même inertie dans les deux sens, soit $b=h=45 \text{ cm}$

on prend alors les deux niveaux inférieurs : $b \times h = 45 \times 45$
pour les deux autres niveaux $b \times h = 35 \times 35$

1/ Acrotere

calcul des éléments

dimension de l'acrotere

épaisseur $e = 10 \text{ cm}$

hauteur $h_f = 90 \text{ cm}$

largeur $b = 100 \text{ cm}$.

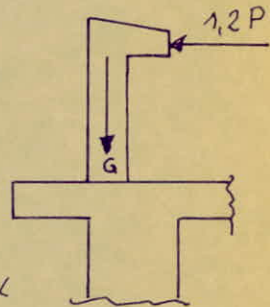
l'acrotere est assimilée à une console encastrée au niveau du plancher terrasse.

la section dangereuse (la plus sollicitée) se trouve à l'enca斯特rement
- poids propre : $0,10 \times 0,90 \times 1 \times 2500 = 225 \text{ kg}$ pour une bande de 1m
- surcharge majorée due à l'application horizontale de la main courante : $1,2P = 1,2 \times 100 = 120 \text{ kg/mL}$.

- calcul des efforts :

le calcul se fera pour une section rectangulaire

$b \times h_f = 100 \times 10 \text{ cm}^2$ soumise à la flexion composée
(section d'enca斯特rement)



EFFort normal de compression : $N = G = 225 \text{ kg/mL}$

Moment de flexion : $M = 1,2P \times b \times h_f = 108 \text{ kg.m}$

$$\text{excentricité } e_o = \frac{M}{N} = \frac{108 \cdot 10^2}{225} = 48 \text{ cm}$$

$$\frac{h_f}{6} = \frac{10}{6} = 1,67 \text{ cm}$$

on a $e_o = 48 \text{ cm} > \frac{h_f}{6} = 1,67 \text{ cm} \Rightarrow$ section partiellement comprimée

calcul des aciers (méthode de CHARRON)

on calcul la section en flexion simple sous l'effet du moment

$$\text{factif } M_f = N \times f \quad \text{avec } f = e_o + \left(\frac{h_f}{2} - d \right) = 48 + \left(\frac{10}{2} - 2 \right)$$

$$f = 51 \text{ cm}$$

f : distance entre le centre gravité des aciers tendus et le centre de pression.

$$M_f = 51 \times 225 = 11475 \text{ kg.cm}$$

$$M = \frac{15 M_f}{\bar{\sigma}_a b h^2} = \frac{15 \cdot 11475}{2800 \cdot 100 \cdot 8^2} = 0,0096 \xrightarrow{\text{tableau}} (k = 98,5, \epsilon = 0,9560)$$

on a $k = 98,5 > k = \frac{2800}{137} = 20,4 \Rightarrow$ les aciers comprimés ne sont pas nécessaires ($A' = 0$)

$$A_1 = \frac{M_f}{\bar{\sigma}_a E h} = \frac{11475}{2800 \times 0.9560 \times 8} = 0,53 \text{ cm}^2 / \text{ml}$$

la section finale est $A_2 = A_1 - \frac{N}{\bar{\sigma}_a} = 0,53 - \frac{225}{2800} = 0,45 \text{ cm}^2 / \text{ml}$

* - la section imposée par la condition de non fragilité est:

$$A \geq 0,69 \cdot b \cdot h \frac{\bar{\sigma}_b}{\bar{\sigma}_{en}} \quad (\text{CCIBA 68 Art 52})$$

$$A \geq 0,69 \cdot 100 \cdot 8 \cdot \frac{5,9}{4200} = 0,78 \text{ cm}^2 > A_2 = 0,45 \text{ cm}^2$$

on prend donc $A = 1,41$ (5T6 par metre linéaire $e=20\text{cm}$)

- Verification de la fissuration:

il faut que $\max(\bar{\sigma}_1, \bar{\sigma}_2) > \bar{\sigma}_a$

$$\bar{\sigma}_a = 2800 \text{ kg/cm}^2$$

$$\bar{\sigma}_1 = \frac{k\gamma}{\phi} \times \frac{\bar{\omega}_f}{1+10\bar{\omega}_f} ; \bar{\sigma}_2 = 2,4 \sqrt{\frac{k\gamma \bar{\sigma}_b}{\phi}}$$

soit $k = 10^6$ fissuration préjudiciable

$$\gamma = 1,6 \text{ (H.A)} ; \phi = 6 \text{ mm.} ; \bar{\omega}_f = \frac{A}{\partial P} = \frac{1,41}{2 \cdot 100} = 0,035$$

$$\bar{\sigma}_1 = \frac{10^6 \cdot 1,6}{6} \cdot \frac{0,035}{1+10 \cdot 0,035} = 902 \text{ bars} = 919 \text{ kg/cm}^2$$

$$\bar{\sigma}_2 = 2,4 \sqrt{\frac{1,6 \cdot 10^6 \cdot 5,9}{6}} = 3010,4 \text{ bars} = 3067,5 \text{ kg/cm}^2$$

on a $\bar{\sigma}_2 > \bar{\sigma}_a \Rightarrow$ pas de risque de fissuration

- Verification de l'effort tranchant:

il faut vérifier : $A \bar{\sigma}_a > T + \frac{M_f}{Z}$.

$$\text{avec } Z = \frac{7}{8} h = \frac{7}{8} \times 8 = 7 \text{ cm}$$

$$T = 1,2P = 120 \text{ kg}$$

$$\frac{M}{Z} = \frac{11475}{8} = 1434,4 \text{ kg}$$

$$A \bar{\sigma}_a = 1,41 \times 2800 = 3948 \text{ kg}$$

$A \bar{\sigma}_a > T + \frac{M}{Z} \Rightarrow$ les armatures tendues ne sont soumises à aucun effort de traction.

Verification du seisme local de l'acrotete:

D'après R.P.A 81 Art 3.3.9, on doit vérifier le seisme local dans les éléments de structure secondaires.

L'acrotete sera vérifiée sous l'action de la force horizontale

$$F_p = Z \cdot I \cdot C_p \cdot W_p$$

où : W_p : poids de l'élément (375 kg/ml)

$$Z = \frac{A(\text{groupe II, Zone II})}{A(\text{groupe III, Zone III})} = \frac{0,15}{0,25} = 0,6$$

avec A - coefficient d'accélération des zones donné par le tableau "1" du R.P.A 81 art. 3.3.1.1

. $C_p = 0,8$ pour une console d'après tableau "4" du R.P.A 81

$$I = \frac{A(\text{groupe d'usage du bâtiment})}{A(\text{groupe d'usage 2})}$$

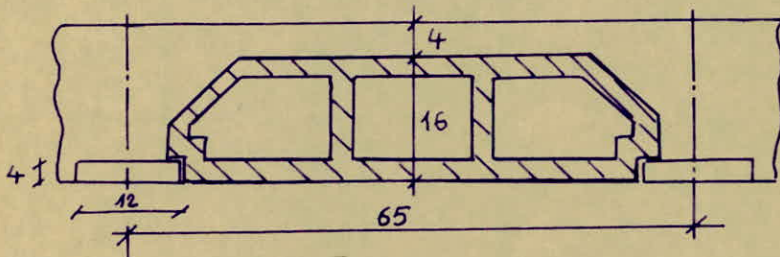
notre bâtiment est à usage d'habitation \Rightarrow groupe d'usage 2
donc $I = 1$

$$\text{d'où } F_p = Z \cdot I \cdot C_p \cdot W_p = 0,6 \cdot 1 \cdot 0,8 \cdot 225 = 108 \text{ kg/ml}$$

or $F_p < 1,2 P = 120 \text{ kg}$ (Force de calcul) \rightarrow vérifié.

2/ Poutrelles et table de compression

Tout les planchers sauf celui du R.D.C sont à corps creux constitués par des poutrelles préfabriquées associées aux corps creux (16+4) cm . 4 cm étant les épaisseurs de la table de compression. Ces poutrelles possèdent des armatures en attente permettant une bonne liaison avec le béton de la table de compression, et elles seront disposées suivant le sens transversal du bâtiment.

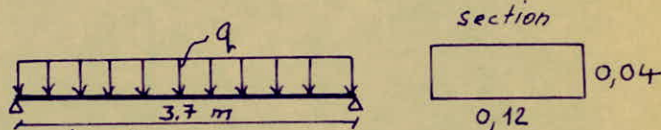


les poutrelles sont calculées sous la sollicitation du 1^{er} genre ($G + 1,2P$) ; le calcul se fait en deux étapes :

* 1^{ere} étape :

Avant le coulage du béton la poutrelle est considérée comme simplement appuyée, elle supporte son poids propre, l'hourdis et la surcharge de l'ouvrier qui pose l'hourdis.

- schéma statique



- charge supportée par la poutrelle :

$$\text{poids propre : } 0,04 \cdot 0,12 \cdot 2,5 = 0,012 \text{ t/mL}$$

$$\text{corps creux : } 0,65 \times 95 = 0,062 \text{ t/mL}$$

$$\text{surcharge pondérée : } 1,2 \cdot 100 \cdot 0,65 = 0,078 \text{ t/mL}$$

$$q = 0,152 \text{ t/mL}$$

$$\text{- Moment en travée : } M_0 = q \frac{\ell^2}{8} = 0,152 \times \frac{3,7^2}{8} = 0,260 \text{ t.m}$$

$$\text{- EFFort tranchant sur appui : } T_{\max} = q \frac{\ell}{2} = 0,152 \cdot \frac{3,7}{2} = 0,281 \text{ t}$$

• calcul des armatures (Méthode de P. Channon)

on considère un enrobage $d = 2 \text{ cm}$.

$$M = \frac{15 M_0}{\bar{b}_a \cdot b \cdot h^2} = \frac{15 \cdot 0,260 \cdot 10^5}{2800 \cdot 0,12 \cdot 2^2 \cdot 100} = 2,9 \longrightarrow K = 1,6$$

$$\bar{\sigma}'_b = \frac{\bar{b}_a}{K} = \frac{2800}{1,6} = 1750 \text{ kg/cm}^2 > \bar{\sigma}'_b$$

$\sigma'_b > \bar{\sigma}'_b \Rightarrow$ les armatures comprimées sont nécessaires.
 vu les dimensions de la section du béton ceci est impossible.
 on prévoira des échafaudages pour aider les poutrelles
 à supporter les charges et surcharges avant le coulage
 de la table de compression.

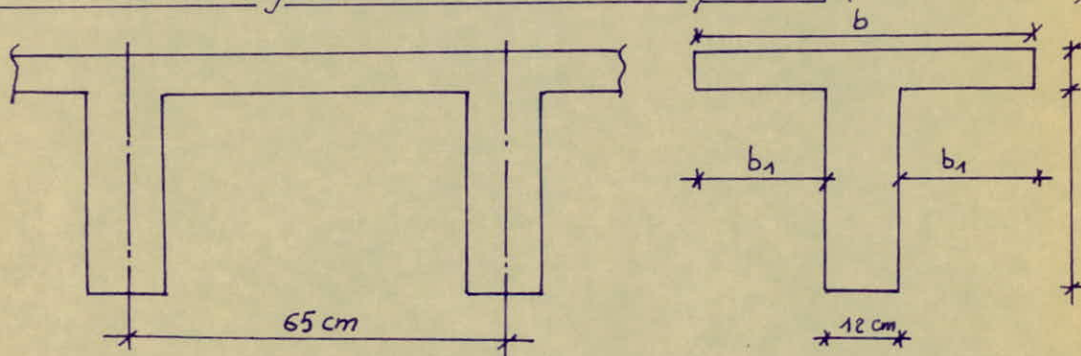
* 2^{eme} Etape :

la poutrelle repose sur plusieurs appuis et travaille comme
 une poutre continue, elle sera calculée comme une section
 en Té en travée et comme une section rectangulaire aux
 appuis.

Poutrelles du plancher terrasse et planchers courants :

le calcul sera fait seulement avec le moment max. en travée,
 le max. sur appui et l'effort tranchant max de toutes les
 travées et appuis.

1- calcul de la largeur de la table de compression (C.C.B.A 68 Art 55)



l : distance entre deux faces voisines de deux nervures consécutives

$$- b_1 \leq \frac{l}{2} = \frac{65 - 12}{2} = 26,5 \text{ cm.}$$

$$- b_1 \leq \frac{L}{10} = \frac{400 - 30}{10} = 37 \text{ cm.}$$

$$- b_1 \leq (6 \text{ à } 8) h_0 = (24 \div 32) \text{ cm.}$$

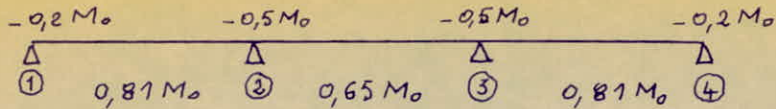
la première condition est la plus restrictive donc $b_1 = 26,5 \text{ cm.}$

$$\text{D'où } b = 2b_1 + b_0 = 26,5 \cdot 2 + 12 = 65 \text{ cm.}$$

$$b = 65 \text{ cm}$$

2- Determination des efforts agissant sur la poutrelle :

le plancher est à surcharges modérées, on peut utiliser la méthode
 parfaite (C.C.B.A 68 - Art 55). Si on appelle M_0 le moment
 isostatique en travée on aura:



• charges et surcharges :

pour une poutrelle :

$$q = (521 + 1,2 \times 175) \times 0,65 = 475 \text{ kg/mL}$$

$$M_o = q \frac{\ell^2}{8} = 475 \times \frac{3,7^2}{8} = 813 \text{ kg.m}$$

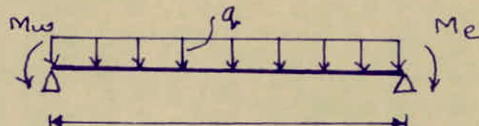
- les moments maximums qui serviront aux calculs sont :

$$M_t = 0,81 \text{ Mo} = 658,53 \text{ kg.m}$$

$$M_a = -0,5 \text{ Mo} = 406,50 \text{ kg.m.}$$

- effort tranchant :

$$T_g = q \frac{\ell}{2} + \frac{M_w - M_e}{\ell}$$



$$T_g = -q \frac{\ell}{2} + \frac{M_w - M_e}{\ell}$$

$$T^{max} = T_g \quad \text{de la travée 3-4 et 2-3}$$

$$T^{max} = q \frac{\ell}{2} + \frac{0,5 - 0,2}{3,7} \text{ Mo} = \frac{475 \times 3,7}{2} + \frac{0,5 - 0,2}{3,7} \times 813 = 944,7 \text{ kg.}$$

$$\begin{cases} M_t^{max} = 658,53 \text{ kg.m} \\ M_a^{max} = 406,50 \text{ kg.m} \\ T^{max} = 944,7 \text{ kg} \end{cases}$$

3- Ferraillage : (Méthode P. charron)

a) Armatures longitudinales :

$$* \text{ En travée : } \mu = \frac{15 \text{ M}}{\bar{\sigma}_a b h^2} = \frac{15 \times 658,53 \times 10^2}{2800 \times 65 \times 18^2} = 0,0167 \rightarrow \begin{cases} k = 72,5 \\ E = 0,9429 \\ q = 0,1714 \end{cases}$$

$y = \alpha h = 0,1714 \cdot 18 = 3,09 < 4 \text{ cm} \Rightarrow \text{l'axe neutre tombe dans la table de compression et la section sera calculée comme}$

une section rectangulaire $b \times h_t = (65 \times 20)$

$$\bar{\sigma}'_b = \frac{\bar{\sigma}_a}{k} = \frac{2800}{72,5} = 38,62 \text{ kg/cm}^2 < \bar{\sigma}'_b \Rightarrow A' = 0$$

$$A = \frac{M_t}{\bar{\sigma}_a \cdot E \cdot h} = \frac{658,53 \times 10^2}{2800 \cdot 0,9429 \cdot 18} = 1,39 \text{ cm}^2$$

on adoptera 2T10 ($A = 1,57 \text{ cm}^2$)

* aux appuis : $\mu = \frac{15 \cdot 406,5 \cdot 10^2}{2800 \cdot 12 \cdot 18^2} = 0,056 \rightarrow k=35,6; E=0,9012$

$$\tilde{\sigma}'_b = \bar{\sigma}_a/k = \frac{2800}{35,6} = 78,65 < \bar{\sigma}'_b \Rightarrow A'=0$$

$$A = \frac{406,5 \cdot 10^2}{2800 \cdot 0,9012 \cdot 18} = 0,89 \quad \text{on adoptera } 1T12 \quad (A=1,13 \text{ cm}^2)$$

• Verifications :

1/ Contraintes

* En travée : $\tilde{\omega} = \frac{100A}{b \cdot h} = \frac{157}{65 \cdot 18} = 0,1342 \rightarrow E=0,9394$
 $k=67,5$

$$\tilde{\sigma}_a = \frac{M}{A \cdot E \cdot h} = \frac{658,58 \cdot 10^2}{1,57 \cdot 0,9394 \cdot 18} = 2481 \text{ kg/cm}^2 < \bar{\sigma}_a \rightarrow \text{verified}$$

$$\tilde{\sigma}'_b = \tilde{\sigma}_a/k = \frac{2481}{67,5} = 36,76 \text{ kg/cm}^2 < \bar{\sigma}'_b \rightarrow \text{verified.}$$

* Aux appuis :

$$\tilde{\omega} = \frac{100 \cdot A}{b_0 \cdot h} = \frac{100 \cdot 1,13}{12 \cdot 18} = 0,523 \rightarrow E=0,8915; k=31,1$$

$$\tilde{\sigma}_a = \frac{406,5 \cdot 10^2}{1,13 \cdot 0,8915 \cdot 18} = 2241,8 \text{ kg/cm}^2 < \bar{\sigma}_a \rightarrow \text{verified}$$

$$\tilde{\sigma}'_b = \frac{2241,8}{31,1} = 72,1 \text{ kg/cm}^2 < \bar{\sigma}'_b. \rightarrow \text{verified}$$

2/ condition de non fragilité :

$$A \geq 0,69 \cdot b \cdot h \bar{\sigma}_b / \tilde{\sigma}_{en}$$

* En travée : $A_t = 1,57 \text{ cm}^2 > 0,69 \cdot 65 \cdot 18 \cdot \frac{5,9}{4200} = 1,11 \text{ cm}^2$
 verified

* Sur appui : $A_a = 1,13 \text{ cm}^2 > 0,69 \cdot 12 \cdot 18 \cdot \frac{5,9}{4200} = 0,21 \text{ cm}^2$
 verified.

3/ condition de la flèche (C.C.B.A 68 - Art 58-4)

$$- \frac{h_f}{l} = \frac{20}{370} = 0,054 > \frac{1}{15} \cdot \frac{0,658}{0,813} = 0,053$$

$$- \frac{A}{bh} = \frac{1,13}{12 \cdot 20} = 4,7 \cdot 10^{-3} < \frac{36}{\tilde{\sigma}_{en}} = \frac{36}{4200} = 0,0086.$$

$$- \frac{h_f}{l} = \frac{20}{370} = 5,4 \cdot 10^{-2} \geq 0,044$$

Aucune justification de la flèche n'est nécessaire

4/ verification de la fissuration :

fissuration peu nuisible : $k = 1,5 \cdot 10^6$

Aacier HA : $\gamma = 1,6$

- $\tilde{\omega}_f = \frac{A}{B_f} = \frac{1,57}{2 \times 2 \times 12} = 0,0327$ en travée

$$\tilde{\sigma}_1 = 1,5 \cdot 10^6 \cdot \frac{1,6}{10} \frac{0,0327}{1 + 10 \times 0,0327} = 5914 \text{ kg/cm}^2$$

$$\tilde{\sigma}_2 = 2,4 \sqrt{\frac{1,5 \cdot 10^6 \cdot 1,6 \cdot 5,9}{10}} = 2855,9 \text{ kg/cm}^2$$

$\max(\tilde{\sigma}_1, \tilde{\sigma}_2) > \bar{\sigma}_a \rightarrow$ vérifiée.

- $\tilde{\omega} = \frac{A}{B_f} = \frac{1,13}{2 \times 2 \times 12} = 0,0235$ sur appui

$$\tilde{\sigma}_1 = \frac{1,5 \cdot 10^6 \cdot 1,6}{12} \times \frac{0,0235}{1 + 10 \cdot 0,0235} = 3805,7 \text{ kg/cm}^2 > \bar{\sigma}_a \rightarrow$$
 vérifiée

5/ verification de l'adhérence : (C.C.B.A art. 29)

on doit vérifier que $\tilde{\sigma}_d \leq \bar{\sigma}_d$

$$\tilde{\sigma}_d = \frac{T_{\max}}{n \cdot p \cdot j}$$

n: nbr. de barres isolées
p: Perimetre utile

$$\tilde{\sigma}_d = \frac{944,7}{1,377 \cdot 7/8 \cdot 18} = 15,91 \text{ kg/cm}^2$$

$$\bar{\sigma}_d = 2 \psi_d \bar{\sigma}_b = 2,15 \cdot 5,9 = 17,7 \text{ kg/cm}^2$$

$$\tilde{\sigma}_d < \bar{\sigma}_d \rightarrow$$
 vérifiée.

6/ Armatures transversales :

les armatures transversales sont calculées à partir de l'effort tranchant maximum. $T_{\max} = 944,7 \text{ kg}$

$$\tilde{\sigma}_b = \frac{T}{b \cdot j} = \frac{944,7}{12 \cdot 15,75} = 5 \text{ kg/cm}^2$$

$$\tilde{\sigma}'_b = 72,1 > \bar{\sigma}'_{b_0} = 68,5 \text{ kg/cm}^2 \Rightarrow \bar{\sigma}_b = \left(4,5 - \frac{\tilde{\sigma}'_b}{\bar{\sigma}'_{b_0}}\right) \bar{\sigma}_b$$

$$\bar{\sigma}_b = \left(4,5 - \frac{72,1}{68,5}\right) \times 5,9 = 20,34 \text{ kg/cm}^2$$

$\tilde{\sigma}_b < \bar{\sigma}_b$ on utilise donc des armatures transversales

perpendiculaires à la ligne moyenne. les armatures seront constituées en $\phi 6$ de nuance Fe E 24.

On prends deux brins $\rightarrow A_t = 0,56 \text{ cm}^2$

- contrainte admissible des armatures transversales:

$$\bar{\sigma}_{at} = f_{at} \sigma_{en} \text{ avec } f = \max \left\{ \frac{2}{3}, 1 - \frac{\tau_b}{9\bar{\sigma}_b} \right\} = 1 - \frac{5}{9 \times 5,9} = 0,91$$

$$\bar{\sigma}_{at} = 0,91 \cdot 2400 = 2184 \text{ kg/cm}^2.$$

- Espacement admissible : (CCBA 68 Art 52.12)

$$t = \max \left\{ \begin{array}{l} 0,2h \\ h \left(1 - 0,3 \frac{\tau_b}{\bar{\sigma}_b} \right) \end{array} \right\} = 18 \left(1 - 0,3 \frac{5}{5,9} \right) = 13,42 \text{ cm}$$

$$t = 13,4 \text{ cm.}$$

- l'écartement des armatures transversales est donné par :

$$t = \frac{A_t \cdot 3 \cdot \bar{\sigma}_{at}}{T} = \frac{0,56 \cdot 15,75 \cdot 2184}{944,7} = 20,4 \text{ cm.}$$

on prend un écartement des armatures transversales constant
 $t = 12 \text{ cm.}$

le premier cours d'armatures sera à $\frac{t}{2} = 6 \text{ cm}$ du niveau de l'appui.

7/ Ferraillage de la table de compression: (C.C.BA 68 Art. 58)

Afin de limiter les risques de fissuration et pour faire repartir les charges on prévoit un treillis soudé (quadrillage) de maille 20x20, les dimensions des mailles ne doivent pas dépasser:

- 20 cm pour les armatures \perp aux perpendiculaires aux nervures.

- 33 cm pour les armatures // aux nervures.

les sections de ces armatures doivent vérifier les conditions suivantes

Armatures \perp aux nervures $A_{\perp n} \geq \frac{2160}{\sigma_{en}}$ → pour $l_n \leq 50 \text{ cm.}$

$A_{\perp n} \geq 43 \cdot \frac{l_n}{\sigma_{en}}$ → $50 < l_n \leq 80 \text{ cm.}$

dans notre cas $l_n = 65 \text{ cm}$, $\sigma_{en} = 5300 \text{ kg/cm}^2 (\phi \leq 6 \text{ mm})$

alors $A_{\perp n} \geq \frac{43 \cdot 65}{5300} = 0,527 \text{ cm}^2 < A_{\perp n} = 1,41 \text{ cm}^2 = 5\phi 6 / \text{ml}$

Armatures // aux nervures:

$A_{//n} \geq \frac{A_{\perp n} / \text{ml}}{2} = \frac{1,41}{2} = 0,705 \text{ cm}^2 < A_{//n} = 5 T_6 / \text{ml} = 1,41 / \text{ml}$

• Planchet R.D.C :

Le plancher du R.D.C est en dalle pleine d'épaisseur $h_0 = 16 \text{ cm}$.
Il existe cependant deux types de surcharges:

- surcharges de $1000 \text{ kg/m}^2 = P_1$
- surcharges de $250 \text{ kg/m}^2 = P_2$

soit la combinaison: $G + 1,2 P_1 = 1809 \text{ kg/m}^2$ (dalle type 1)
 $G + 1,2 P_2 = 570 \text{ kg/m}^2$ (dalle type 2)

$$\begin{cases} l_x = 370 \text{ cm} \\ l_y = 570 \text{ cm} \end{cases} \rightarrow g = 0,649. \rightarrow \begin{cases} \mu_x = 0,079 \\ \mu_y = 0,486 \end{cases}$$

$g > 0,4$ la dalle travaille dans les deux sens.

- disposition constructive : $\phi_\ell \leq \frac{h_0}{10} = 16 \text{ mm}$

1/ Dalle type 1

Moments isostatiques : $\begin{cases} M_{0x} = \mu_x g l_x^2 = 1956,5 \text{ kg.m} \\ M_{0y} = \mu_y M_{0x} = 950 \text{ kg.m} \end{cases}$

calcul d'un panneau de rive :

on utilise pour le calcul des aciers la méthode de P. CHARRON.

• armatures inférieures dans le sens de l_x :

$$M_{t_x} = 0,85 M_{0x} = 1663 \text{ kg.m.} ; \quad h_x = h_0 - e - \frac{\phi}{2} = 16 - 1 - \frac{0,8}{2} = 14,6 \text{ cm}$$

$$\mu = 0,0418 \rightarrow \begin{cases} \epsilon = 0,9132 \\ k = 42,6 \end{cases}$$

$$\bar{\sigma}_b' = \frac{\bar{\sigma}_a}{k} = \frac{2800}{42,6} = 66 < 137 \text{ kg/cm}^2$$

$$A = \frac{M}{\epsilon h_x \bar{\sigma}_a} = \frac{1663 \cdot 100}{0,9132 \cdot 14,6 \cdot 2800} = 4,45 \text{ cm}^2$$

on adopte des T8 $e = 11 \text{ cm}$ ($A = 4,57 \text{ cm}^2$)

• armatures inférieures dans le sens de l_y :

$$M_{t_y} = 808,8 \text{ kg.m.} ; \quad h_y = h_x - \frac{\phi}{2} = 14,2 \text{ cm.}$$

$$\mu = 0,0214 \rightarrow \begin{cases} \epsilon = 0,9359 \\ k = 63 \end{cases}$$

$$\bar{\sigma}_b' = \frac{\bar{\sigma}_a}{k} = 45 \text{ kg/cm}^2 < \bar{\sigma}_b'$$

$$A = \frac{808 \cdot 10^2}{0,9359 \cdot 14,2 \cdot 2800} = 2,16 \text{ cm}^2 \quad \text{on adopte T8 } e = 20 \text{ cm } (A = 2,51 \text{ cm}^2)$$

• armatures sur appuis intermédiaires :

$$M_{ax} = M_{ay} = 0,5 M_{ox} = 978,25 \text{ kg.m.}$$

$$\mu = 0,0245 \rightarrow \begin{cases} \epsilon = 0,920 \\ k = 58,5 \end{cases}$$

$$\bar{\sigma}'_b = \frac{\bar{\sigma}_a}{k} = 47,86 \text{ kg/cm}^2 < \bar{\sigma}'_b.$$

$$A = \frac{M}{\epsilon h_x \bar{\sigma}_a} = \frac{978,25 \cdot 10^2}{0,92 \cdot 14,6 \cdot 2800} = 2,6 \text{ cm}^2$$

on adopte T8 e = 19 cm (A = 2,65 cm²)

• armatures sur appui de rive :

$$M_{ay} = 0,3 M_{oy} = 285 \text{ kg.m.}$$

on adopte T6 e = 18 cm (A = 1,57 cm²)

* Vérifications :

a) Effort tranchant:

$$T = \frac{9l_x \cdot l_y}{2l_y + l_x} = \frac{1809 \cdot 3,7 \cdot 5,7}{2 \cdot 5,7 + 3,7} = 2527 \text{ kg.}$$

$$\bar{\sigma}_b = \frac{T}{b \cdot \bar{J}} = \frac{2527}{100 \cdot 14,6 \cdot 0,875} = 1,97 \frac{\text{kg}}{\text{cm}^2} < \bar{\sigma}_b = 1,15 \frac{\bar{\sigma}_b}{\bar{J}} = 6,8 \frac{\text{kg}}{\text{cm}^2}.$$

Les armatures transversales ne sont pas nécessaires.

b) verification des Espacements:

• suivant l_x e_p ≤ min (3h_f, 33)

$$(e_{appui}, e_{travée}) = (19 \text{ cm}, 11 \text{ cm}) < \min (48, 33) = 33 \text{ cm.}$$

• suivant l_y e_p ≤ min (4h_f, 45 cm)

$$(e_{appui}, e_{travée}) = (19 \text{ cm}, 20 \text{ cm}) < \min (64, 45) = 45 \text{ cm.}$$

c) verification de la condition de non fragilité :

Suivant l_x :

• soit A₀ - la section suffisante pour résister aux sollicitations. A₀ = 4,45 cm²

• A₁ - la section nécessaire pour résister aux mêmes sollicitations majorées de 20% A₁ = 5,34 cm².

• A₂ - la section d'acier équilibrant les efforts de fissurations :

$$A_2 = b \cdot h_x \cdot 0,69 \cdot \frac{2-\varphi}{\varphi} \cdot \frac{\bar{\sigma}_b}{\bar{\sigma}_{en}} \quad A_2 = 0,956 \text{ cm}^2$$

En definitif : la section d'armature tendue doit être au moins égale à :

$$A = \max (A_0, \min (A_1, A_2)) = 4,45 \text{ cm}^2$$

on doit vérifier :

$$\frac{A}{b \cdot h_0} \geq \frac{1,2}{\tilde{\nu}_{en} - 2200} .$$

$$\frac{4,45}{100 \cdot 16} = 2,7 \cdot 10^{-3} > \frac{1,2}{4120 - 2200} = 6,25 \cdot 10^{-4} \rightarrow \text{vérifiée.}$$

suivant l'y :

$$A_0 = 2,51 \text{ cm}^2$$

$$A_1 = 3,012 \text{ cm}^2 \rightarrow A = \max [A_0, \min (A_1, A_2)] = 2,51 \text{ cm}^2.$$

$$A_2 = 0,567 \text{ cm}^2$$

$$\frac{A}{b \cdot h_0} = 1,5 \cdot 10^{-3} > 6,25 \cdot 10^{-4} \rightarrow \text{vérifiée.}$$

d) verification des contraintes :

$$\bar{\omega} = \frac{100 \cdot A}{b \cdot h_x} = \frac{100 \cdot 4,57}{14,6 \cdot 100} = 0,313 \rightarrow \begin{cases} E = 0,9123 \\ k = 42 \end{cases}$$

$$\tilde{\nu}_a = \frac{M}{A \cdot E \cdot h_x} = \frac{1663 \cdot 10^2}{4,57 \cdot 0,9123 \cdot 14,6} = 2732 < 2800 \text{ kg/cm}^2$$

e) verification de la flèche : (c.c. B.A 68 art. 61.22)

Nous vérifierons les conditions suivantes:

$$-1/ \quad \frac{h_0}{l_x} \geq \frac{1}{20} \quad \frac{M_f}{M_x} = \frac{0,85 M_x}{20 M_x} = 0,0425$$

$$\frac{h_0}{l_x} = \frac{16}{370} = 0,0432 \rightarrow \text{vérifiée}$$

$$-2/ \quad \frac{A}{b \cdot h} < \frac{20}{\tilde{\nu}_{en}} .$$

$$\frac{A}{b \cdot h} = \frac{4,57}{100 \cdot 14,6} = 3,13 \cdot 10^{-3}$$

$$\frac{20}{\tilde{\nu}_{en}} = \frac{20}{4200} = 4,76 \cdot 10^{-3} \rightarrow \text{vérifiée}$$

Il est donc inutile de faire la vérification de la flèche.

2/ Dalle type 2 : (Panneau intermédiaire)

$$\begin{cases} M_{ox} = 983,10 \text{ kg.m} \\ M_{oy} = 477,79 \text{ kg.m} \end{cases}$$

$$\begin{cases} M_{tx} = 0,75 M_{ox} = 737,33 \text{ kg.m} \\ M_{ax} = 0,5 M_{ox} = 491,55 \text{ kg.m} \end{cases}$$

• armatures inférieures suivant ℓ_x $A = 1,92 \text{ cm}^2$; T8, $e = 20 \text{ cm}$ ($A = 2,51$)

• armatures inférieures suivant ℓ_y $A = 0,94 \text{ cm}^2$; T6, $e = 20 \text{ cm}$ ($A = 1,41 \text{ cm}^2$)

• armatures aux appuis :

$$M_{ay}^{max} = M_{ax} = 491,55 \text{ kg.m}$$

$$A = 1,27 \text{ cm}^2 \quad T6 \quad e = 20 \text{ cm} \quad (A = 1,41 \text{ cm}^2)$$

* vérifications :

espacement: $\begin{cases} \bar{\ell} = 33 \text{ cm} & \rightarrow \text{sens } \ell_x \\ \ell = 45 \text{ cm} & \rightarrow \text{sens } \ell_y \end{cases}$ $\ell < \bar{\ell} \rightarrow \text{vérifiée}$

• vérification de l'effort tranchant:

$$T^{max} = T_x = 1269,6 \text{ kg.} \quad ; \quad \begin{cases} \bar{\gamma}_b = 0,99 \text{ kg/cm}^2 \\ \bar{\gamma}_b = 6,8 \text{ kg/cm}^2 \end{cases} \quad \bar{\gamma}_b < \bar{\gamma}_b \rightarrow A_f = 0$$

• vérification de la condition de non fragilité:

$$\begin{cases} A_0 = 1,92 \text{ cm}^2/\text{m} \\ A_1 = 2,304 \text{ cm}^2/\text{m} \quad \text{d'où } A = 1,92 \text{ cm}^2/\text{m}. \\ A_2 = 0,96 \text{ cm}^2 \end{cases}$$

$$\frac{A}{b \cdot h_0} = \frac{2,51}{100 \times 16} = 2 \times 10^{-3} > 6,25 \cdot 10^{-4} \rightarrow \text{vérifiée.}$$

• vérification de la flèche:

$$1. \frac{h_0}{\ell_x} = 0,0432 \geq \frac{1}{20} \times \frac{0,85 M_x}{M_x} = 0,0425 \rightarrow \text{vérifié.}$$

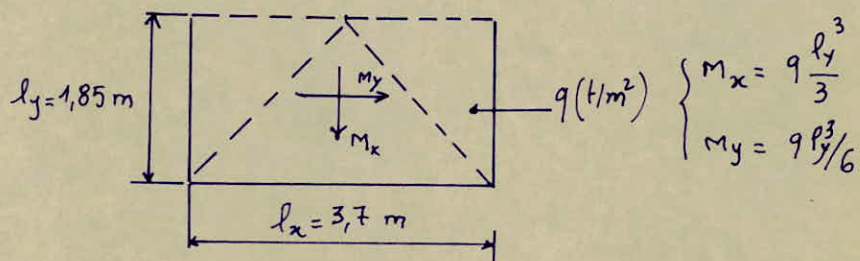
$$2. \frac{A}{b \cdot h} = 1,57 \cdot 10^{-3} < 4,76 \cdot 10^{-3} \rightarrow \text{vérifié}$$

la flèche est donc vérifiée.

calcul de la dalle portefeu :

la dalle est appuyée sur 3 côtés.

$$\begin{cases} l_x = 3,7 \text{ m} \\ l_y = 1,85 \text{ m} \end{cases}$$



- $q = 0,879 \text{ t}/\text{m}^2$.

$$M_x = 0,879 \times \frac{1,85}{3}^3 = 1,86 \text{ t.m} \quad \text{soit} \quad m_x = \frac{1,86}{3,7} = 0,503 \text{ t.m/m.l}$$

$$M_y = 0,879 \cdot \frac{1,85}{6}^3 = 0,93 \text{ t.m} \quad \text{soit} \quad m_y = \frac{0,93}{1,85} = 0,503 \text{ t.m/m.l}$$

on prends des T8 $e = 20 \text{ cm}$ ($A = 2,51 \text{ cm}^2$)

Etude Au Seisme

Generalités :

le seisme par ses secousses engendre dans les constructions des accelerations atteignant parfois l'ordre de grandeur de la gravité ($9,81 \text{ m/s}^2$) , ces accelerations résultent des forces pouvant s'exercer suivant des directions quelconques.

une grande partie de l'algerie est susceptible d'être soumise à d'importantes secousses sismiques ; l'intensité de ses secousses est suffisante pour causer d'importants dégâts aux constructions. A moins que celles-ci soient construites de manière adéquate pour résister à ces efforts.

Recommandations pour la conception des batiments dans les zones sismiques:
Réduire autant que possible la hauteur des batiments, ainsi que le rapport de hauteur avec sa largeur.

éviter les ensembles mal équilibrés en hauteur ou en inertie et les éléments de constructions mal liés à l'ossature.

Prevoir des fondations soigneusement chainées et engagées dans le sol afin de s'opposer aux efforts de soulevements dus au seisme.

éviter les ouvertures de très grandes dimensions.

réaliser des noeuds rigides ainsi qu'une bonne disposition d'armatures. Autour des ouvertures, il faut prévoir des encadrement armés liés à l'ossature.

assurer "l'indeformabilité" de l'ensemble par des contreventements dans tous les sens.

* Règlement suivi :

Depuis le seisme d'El Asnam, le C.T.C a élaboré un règlement parasismique algérien (R.P.A 81), rendant les conditions de sécurité plus strictes, donc le règlement suivi est : (R.P.A 81)

* Principe de calcul :

Méthode statique :

Le calcul sera fait en substituant aux effets dynamiques réels, qui se développent dans la construction, des sollicitations statiques fictives dont les effets sont considérées équivalentes aux effets de l'action sismique.

Le mouvement du sol peut se faire dans une direction quelconque dans le plan horizontal. Les forces sismiques horizontales équivalentes seront considérées appliquées successivement suivant deux directions orthogonales caractéristiques choisies à l'avance par le projetEUR. Dans le cas général ces deux directions sont les axes principaux d'inertie du plan horizontal de la structure. Il faut souligner toutefois que les forces sismiques équivalentes données par la méthode statique sont inférieures aux forces réelles qui se produisent dans la structure élastique sous l'action du séisme extrême, c'est pourquoi l'utilisation de cette méthode ne peut être dissociée de l'application rigoureuse des dispositions constructives garantissant la structure.

* ductilité

* la capacité de dissiper l'énergie induite par le mouvement du sol.

Pour calculer l'effort sismique horizontal agissant suivant chacun des axes principaux on a la formule suivante :

$$V = (A \cdot D \cdot B \cdot Q) W$$

A : coefficient d'accélération des zones.

D : facteur d'amplification dynamique moyen.

B : facteur de comportement de la structure.

Q : facteur de qualité.

W : représente la totalité des charges permanentes (poids propre de la structure, poids des remplissages et des revêtements et le poids des équipements fixes)

NB : le poids des équipements fixes est estimé à 20% des surcharges.

calcul sismique :

ce calcul n'est valable que si les conditions suivantes sont vérifiées (RPA art 3.2.1.1)

- 1- le bâtiment ou bloc étudié a une hauteur au plus égale à 45 m en Zone (II)
- 2- la forme du bâtiment étudié est simple, symétrique, proche du rectangle avec les parties en saillies ou en retrait ne dépassent pas 25% des dimensions du rectangle inscrit de référence dans le sens considéré
3. Dans le cas de décrochements en élévation, la variation des dimensions dans les deux directions ne dépasse pas 25% entre deux niveaux adjacents et ne s'effectue que dans le sens d'une réduction à hauteur croissante.
- 4- la distance entre le centre de masse et le centre de torsion ne dépasse à aucun niveau 20% de la largeur effective du bâtiment mesurée perpendiculairement à la direction de l'action sismique considérée.
- 5- le rapport masse sur rigidité de deux niveaux successifs ne doit pas varier de plus de 25% dans chaque direction.
- 6- le bâtiment étudié présente un degré d'amortissement voisin à tous les niveaux. En particulier, dans le cas des ossatures autostable avec remplissage en maçonnerie.
- 7- la structure ne présente pas plusieurs degrés de liberté dans un même plan horizontal.

* Determination des charges soumises à l'action sismique :

les charges sont supposées concentrées au niveau des planchers, la charge sismique est : $W = G + \frac{P}{5}$

G : poids propre (charge permanente)

$P/5$: poids des équipements fixes.

• Niveau III (plancher terrasse)

- Acrotère	$225(18+12) \times 2 = 13,5 \text{ t}$
- plancher terrasse	$521 \times 18 \times 12 + 506 \times 4 \times 12 = 136,8 \text{ t}$
- poutres transversales	$12 \times 0,3 \times 0,4 \times 4 \times 2500 = 14,4 \text{ t}$
- poutres longitudinales	$20 \times 0,5 \times 0,3 \times 4 \times 2500 = 30 \text{ t}$
- poteaux	$0,35 \times 0,35 \times \frac{3,24}{2} \times 2500 \times 16 = 7,9 \text{ t}$
- murs extérieurs	$298,324 \cdot [(6 - 0,35) \cdot 3 + (4 - 0,35) \cdot 3] = 26,9 \text{ t}$
	<hr/>
	$G = 229,50 \text{ t}$
- $\frac{1}{5} P = (100 \times 12 \times 4 + 100 \times 12 \times 18) \frac{1}{5} = 26,4 \times \frac{1}{5} \text{ t}$	

$$W = 234,8 \text{ t}$$

• Niveau II (plancher courant):

- poids du plancher	$474 \times 18 \times 12 + 506 \times 4 \times 12 = 126,7 \text{ t}$
- poutres transversales	$14,4 \text{ t}$
- poutres longitudinales	$30,0 \text{ t}$
- poteaux	$7,9 \times 2 = 15,8 \text{ t}$
- murs extérieurs	$26,9 \times 2 = 53,8 \text{ t}$
	<hr/>
	$G = 240,70 \text{ t}$

$$- \frac{1}{5} P = (350 [4 \times 2 \times 6] + 175 \times 18 \times 12) \frac{1}{5} = \frac{1}{5} \cdot 54,6 \text{ t}$$

$$W = 251,6 \text{ t}$$

• Niveau I (plancher courant) :

- poids du plancher	126,7 t
- poutres transversales	14,4 t
- poutres longitudinales	30,0 t
- poteaux	$\frac{3,24}{2} \times 16 \times 2500 (0,35^2 + 0,45^2) = 21 \text{ t}$
- murs extérieurs	53,8 t
	<hr/> $G = 245,9 \text{ t}$

$$- \frac{1}{5} P = \dots \quad - \frac{1}{5} \times 54,6 \text{ t}$$

$W = 256,80 \text{ t}$

Calcul Des Rigidités

Ce calcul des rigidités nous aide à calculer le facteur de qualité (Q), qui est lié directement aux critères de penalités c'est à dire le critère de régularité en élévation (à chaque étage, la rigidité totale en translation et la rigidité totale en torsion ne doivent pas varier de plus de 15 % par rapport à celles des étages qui lui sont adjacents)

Méthode utilisée : Méthode de MUTO.

cette méthode permet aussi le calcul des contraintes dans les différents éléments d'une structure composée de portiques et sollicitée par des forces horizontales.

conditions d'applications

- cette méthode est applicable pour les bâtiments à étages rigides dans leur plan, ayant une ossature composée de portiques autostables reprenant la totalité des charges verticales et horizontales.
- les charges sont supposées concentrées au niveau des planchers.
- le diagramme de répartition des charges en élévation est soit rectangulaire (cas du vent) soit triangulaire (cas du séisme)
- pour obtenir une bonne précision, il faut que la raideur (I/ℓ) des poutres ne soit pas trop faible devant celle des poteaux (I/h) on doit avoir $k \geq 0,2$ pour tous les noeuds de l'ossature.
- les raideurs (I/ℓ) des travées adjacentes d'une même poutre ne doivent pas être trop différentes (rapport compris entre 0,5 et 2)
- les poteaux tels que $k < 0,2$ doivent être considérés comme ne faisant pas partie de l'ossature resistante aux charges horizontales.

Résumé de la méthode

calcul de rigidité de niveau : R_j

on appelle rigidité de niveau (R_j), la résistance du portique pour laquelle l'effort tranchant de niveau T_j (somme des forces agissant sur un portique au dessus du niveau j) produit un déplacement relatif égal à l'unité.

$$R_j = \frac{T_j}{\delta_j}$$

Soyons: $t_j^{(i)}$ l'effort tranchant de niveau (j)

$$T_j^{(i)} = \frac{t_j^{(i)}}{\delta_j} , \text{ or } T_j = \sum_{i=1}^n t_j^{(i)} = R_j \times \delta_j$$

$$\Rightarrow R_j = \sum_{i=1}^n r_j^{(i)}$$

calcul de $r_j^{(i)}$:

$$r_j^{(i)} = 12 \frac{E}{h_j^2} \alpha_j^{(i)} k_j^{(i)}$$

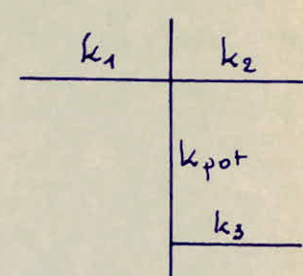
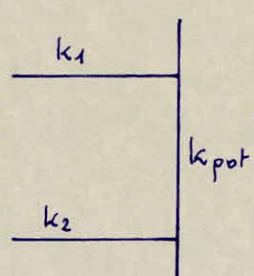
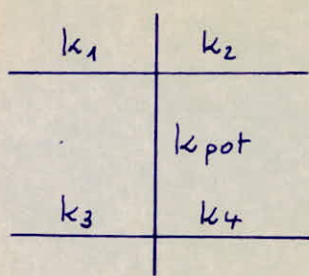
$$\text{avec : } E = 21000 \sqrt{67'} = 21000 \sqrt{1,2 \times 275} = 381500 \frac{\text{kg}}{\text{cm}^2}$$

α_j = coefficient de correction qui tient compte de la position du poteau et de sa liaison avec les poutres.

$k_j^{(i)}$: rigidité linéaire du poteau (i) au niveau (j)

calcul de α_j :

a) Etage courant : $\alpha_j = \frac{k}{2 + \bar{k}}$



$$\bar{k} = \frac{k_1 + k_2 + k_3 + k_4}{2 k_{pot}}$$

$$\bar{k} = \frac{k_1 + k_2}{2 k_{pot}}$$

$$\bar{k} = \frac{k_1 + k_2 + k_3}{2 k_{pot}}$$

$$b/ R.D.C : \quad C_{ij} = \frac{0.5 + \bar{k}}{2 + \bar{k}}$$



$$\bar{k} = \frac{k_1}{k_{\text{pout}}}$$



$$\bar{k} = \frac{k_1 + k_2}{k_{\text{pout}}}$$

où k_i étant la rigidité linéaire de la poutre (i)

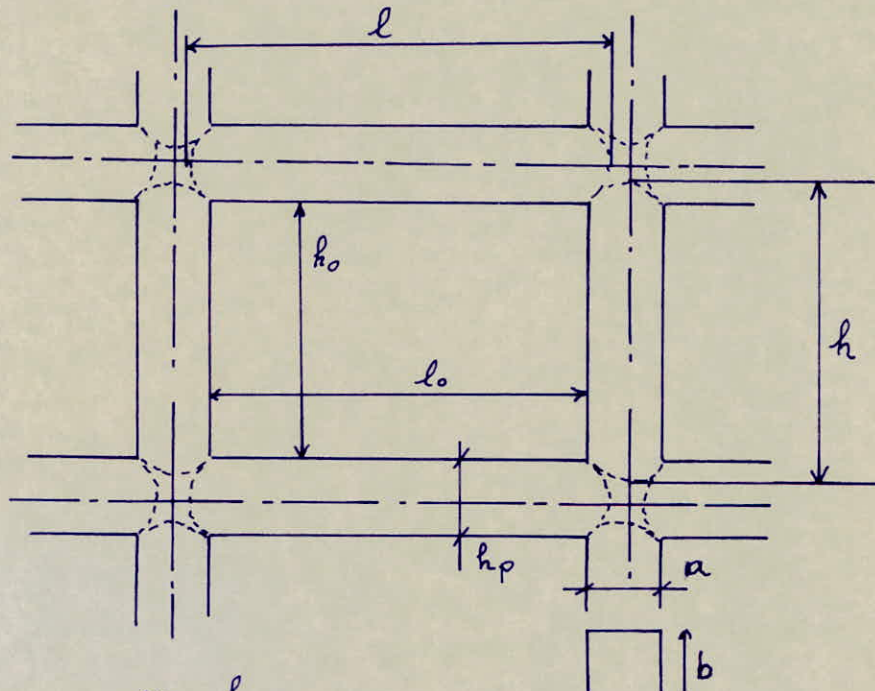
k_{pout} : rigidité linéaire du poteau.

Calcul des rigidités linéaires : k_{pout} et k_{poutre} :

$k_{\text{poutre}} = I/l$ où I et l étant respectivement le moment d'inertie et la longueur de la poutre considérée.

$k_{\text{pout}} = I/h$. où I et h étant respectivement le moment d'inertie et la hauteur du poteau considéré.

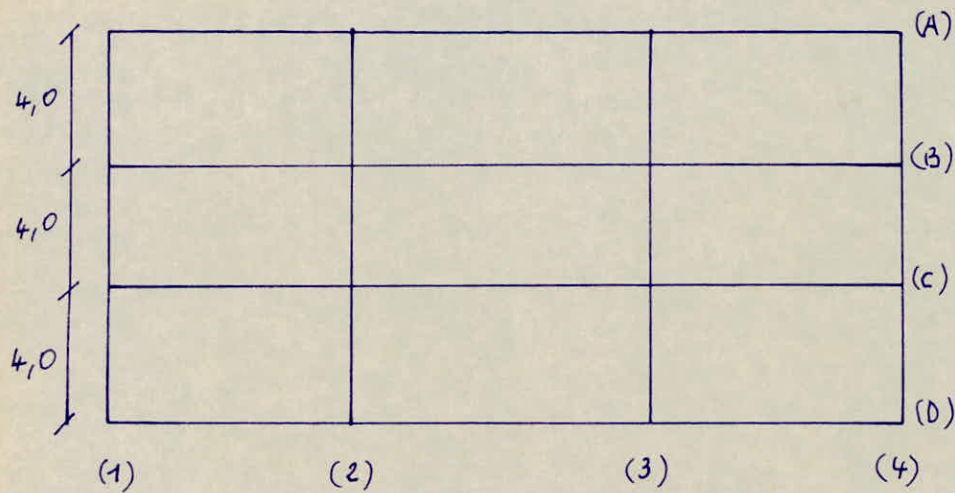
Longueurs des poutres et hauteurs des poteaux à considérer :



$$l = \min \left\{ l_o + \frac{h_p}{2}, l_o + a \right\}$$

$$h = \min \left\{ h_o + \frac{a}{2}, h_o + h_p \right\}$$

Notation des portiques:

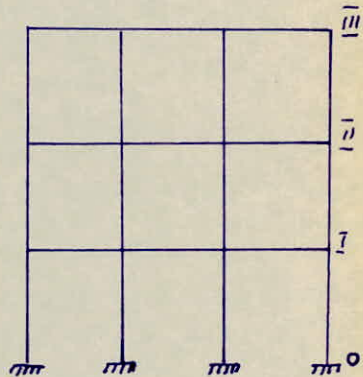


1- portiques transversaux:

poutres : $b \times h_p = 30 \times 40 \text{ cm}^2$

poteaux: $a \times b = 35 \times 35 \text{ cm}^2$ $\left\{ \begin{array}{l} \text{niv III-II} \\ \text{niv II-I} \end{array} \right.$

$a \times b = 45 \times 45 \text{ cm}^2$ niv I-O



Niveau	h_o (cm)	l_o (cm)	a	h_p	h	ℓ	$I \cdot 10^6$ pout.	$I \cdot 10^6$ poteau	I_c Pout	I_c Poteau
			$a/2$	$h_p/2$						
III	284	365	35 17,5	40 20	301,5	385	1600	1250,52	415,58	414,77
II	284	365	35 17,5	40 20	301,5	385	1600	1250,52	415,58	414,77
I	284	355	45 22,5	40 20	306,5	375	1600	1250,52	426,67	414,91

NIV	file de pôts	h (cm)	I pot	k pot	\bar{k}	a	ak pot	$r_j^{(+m)}$	$R_j (+m)$
III	A,D	3,015	1250,52	414,77	1,002	0,334	138,53	697,66	3484,12
	B,C	3,015	1250,52	414,77	2,004	0,500	207,38	1044,40	
II	A,D	3,015	1250,52	414,77	1,015	0,337	139,78	703,96	3513,44
	B,C	3,015	1250,52	414,77	2,031	0,504	209,04	1052,76	
I	A,D	3,065	3417,19	1114,91	0,383	0,370	412,52	2010,29	8986,48
	B,C	3,065	3417,19	1114,91	0,765	0,457	509,51	2482,95	

2 - portiques longitudinaux :

poutres : $b \times h_p = 30 \times 50 \text{ cm}^2$

poteaux : $a \times b = 35 \times 35 \text{ cm}^2$ $\left. \begin{array}{l} \text{niv III-II} \\ \text{niv II-I} \end{array} \right\}$

$a \times b = 45 \times 45 \text{ cm}^2 \quad \text{niv I-O}$

Niveau	h_0 (cm)	l_0 (cm)	a (cm) $a/2$	h_p cm $h_p/2$	h	l	$I \cdot 10^{-6}$	$I \cdot 10^{-6}$	$k \cdot 10^6$	$k \cdot 10^6$
							Pout	Poteau	Poutre	Poteau
III	274	565	35 $17,5$	50 25	291,5	590	3125	1250,52	529,66	428,99
II	274	565	35 $17,5$	50 25	291,5	590	3125	1250,52	529,66	428,99
I	274	555	45 $22,5$	50 25	296,5	580	3125	3417,19	538,79	1152,51

NIV	pot	h(ccm)	I _{pot}	k _{pot} ^{10⁻⁶}	\bar{k}	a	a k _{pot}	$r_j^{(+/m)}$	R _j (+/m)
III^{II}	1-4	2,915	1250,52	428,99	1,235	0,382	163,87	882,87	4317,32
	2-3	2,915	1250,52	428,99	2,469	0,552	236,80	1275,79	
II^{I}	1-4	2,915	1250,52	428,99	1,245	0,384	164,73	887,51	4340,5
	2-3	2,915	1250,52	428,99	2,491	0,555	238,09	1282,74	
O	1-4	2,965	3417,19	1152,51	0,467	0,392	451,78	2352,63	10574,9
	2-3	2,965	3417,19	1152,51	0,935	0,489	563,58	2934,82	

CALCUL DES RIGIDITES RELATIVES D'ETAGE :

1- Rigidité relative transversale d'étage :

$$R_j^t = \sum R_j^t (+/m)$$

$$R_j^t = \begin{cases} 4 \cdot 3484,12 = 13936,48 & \text{niv III} \\ 4 \cdot 3513,44 = 14053,76 & \text{niv II} \\ 4 \cdot 8986,48 = 35945,92 & \text{niv I} \end{cases}$$

2- Rigidité relative longitudinale d'étage :

$$R_j^\ell = \sum R_j^\ell (+/m)$$

$$R_j^\ell = \begin{cases} 4 \times 4317,32 = 17269,28 & \text{niv III} \\ 4 \times 4340,50 = 17362 & \text{niv II} \\ 4 \times 10574,90 = 42299,6 & \text{niv I} \end{cases}$$

CALCUL DES FORCES SIMIQUES :

pour ce calcul, on a l'intensité de la force horizontale totale, qui est donnée par la formule de (R.P.A 81 art 3.3.1)

$$V = A \cdot B \cdot D \cdot Q \cdot W$$

- V : force horizontale totale

- A : coefficient d'accélération des zones, dépend du groupe d'usage de la structure et de la zone sismique.
pour notre cas (groupe d'usage "2", Zone II)

$$A = 0,15 \quad (\text{RPA tab. 1})$$

- D : facteur d'amplification dynamique, la valeur de D sera déterminée d'après le type de sol en fonction de la période T du bâtiment à partir du graphique de (RPA, P. 37).

Détermination de la période T :

D'après le RPA 81, la valeur de T pour les bâtiments dans lesquels le système de contreventement est une ossature autostable capable de reprendre à 100% les forces horizontales peut être déterminée par la formule :

$$T = 0,1 N, \text{ avec } N: \text{nombre d'étage du bâtiment}$$

pour notre cas $N = 0,3 \Rightarrow T = 0,1 \cdot 3 = 0,3 \text{ s.}$

$$(T = 0,3, \text{ sol meuble}) \rightarrow D = 2,0$$

- B : facteur de comportement de la structure, il dépend du type de la structure et de la nature de ses contreventements. les valeurs de B sont dans le tableau -2 (R.P.A 81)

$$\text{portique autostable} \rightarrow B = \frac{1}{4}$$

- Q : facteur de qualité, les valeurs de Q sont données par la formule : $Q = 1 + \sum_{q=1}^6 p_q$

où p_q : est la pénalité qui dépend de l'observation ou non des critères de qualités q , les critères ainsi que les valeurs de p_q correspondantes sont données :

- 33
- P_1 : critère des files porteuses
 P_2 : critère de surabondance en plan.
 P_3 : critère de symétrie en plan.
 P_4 : critère de régularité en élévation.
 P_5 : critère de contrôle de la qualité des matériaux.
 P_6 : critère de contrôle de la qualité de construction.

- sens transversal et sens longitudinal:

$$P_1 = P_2 = P_3 = P_4 = 0; \text{ critères observés}$$

$$P_5 = P_6 = 0,1; \text{ critères non observés.}$$

$$\Rightarrow Q = 1,2$$

L'effort sismique horizontale est :

$$W = \sum_{j=1}^{III} W_j = 743,2 t$$

$$V_p = V_f = (0,15 \cdot 0,25 \cdot 2 \cdot 1,2) \cdot 743,2 = 66,9 t.$$

DISTRIBUTION EN HAUTEUR DES FORCES LATÉRALES SUR LES PLANCHERS.

La force latérale totale V doit être distribuée sur la hauteur de la structure selon la formule suivante:

$$V = F_f + \sum F_i$$

avec : F_f - force concentrée au sommet de la structure et est donnée par : $0,07 T \cdot V$ si $T > 0,7 s$.
 0 si $T \leq 0,7 s$.

La partie restante de l'effort est distribuée sur la structure suivant la formule : $F_k = (V - F_f) \cdot \frac{W_k \cdot h_k}{\sum W_i \cdot h_i}$

avec : F_k - effort horizontal au niveau k .

W_k - charge au niveau k .

Dans notre cas, on a $T < 0,7 \text{ s} \Rightarrow F_t = 0$

$$\text{d'où } F_k = V \frac{W_k \cdot h_k}{\sum W_i \cdot h_i}$$

$$\text{on a : } V_t = V_p = 66,9 \text{ t}$$

Niveau	$h(\text{m})$	$W_k (\text{t})$	$h_k \cdot W_k^{(t,m)}$	$F_k^{\text{t},t}$	$F_k^c (\text{t})$
III	9,72	234,8	2282,286	32,180	32,180
II	6,48	251,6	1630,368	22,988	55,168
I	3,24	256,8	832,032	11,732	66,90
Σ			4744,656		

CALCUL des déplacements relatifs : $\delta_j = \frac{F_j^c}{R_j}$

sens transversal				
NIV	$F_j^c (\text{t})$	R_j^t	δ_j	δ_j^c
III	32,180	13936,48	0,23	0,81
II	55,168	14053,76	0,39	0,58
I	66,90	35945,92	0,19	0,19

sens longitudinal				
NIV	$F_j^c (\text{t})$	R_j^t	δ_j	δ_j^c
III	32,180	17269,28	0,19	0,67
II	55,168	17362	0,32	0,48
I	66,90	42299,6	0,16	0,16

CALCUL DE LA PERIODE

On calcule la période T par la formule analytique donnée par le RPA 81 p.19

$$T = 2\pi \sqrt{\frac{\sum W_i \cdot \delta_j^2}{g \sum F_j \cdot \delta_j}}$$

- sens transversal :

$$\begin{aligned} \sum W_j \cdot \delta_j^c &= 247,961 \\ \sum F_j^c \cdot \delta_j^c &= 70,744 \end{aligned} \Rightarrow T = 2\pi \sqrt{\frac{247,961}{70,744}}$$

$$T_t = 0,376 \text{ s}$$

- sens longitudinal :

$$\sum_{j=1}^m w_j \delta_j^c = 169,944$$

$$\sum F_j^c \delta_j^c = 58,745 \Rightarrow T_p = 2\bar{\lambda} \sqrt{\frac{169,944}{58,745}}$$

$$T_p = 0,340 \text{ A.}$$

(sol meuble D=2)

Verification au renversement :

faisant la vérification de notre structure au renversement. pour qu'il n'y ait pas de renversement il faut vérifier que :

$$\frac{\text{Moment résistant}}{\text{Moment renversant}} > 1,5$$

Moment de renversement = M_z^{mt} extérieur en console + Effort tranchant Γ_H à la base

$$M_z^{mt} \text{ en console (base)} = \sum_{i=1}^m F_i x_i$$

$$\text{Effort tranchant à la base } H = \sum_{i=1}^m F_i$$

$$\text{Moment résistant} = \left(\sum_{i=1}^m w_i - \sum_{i=1}^m \Gamma_H w_i \right) \times b$$

avec $\Gamma_H = \alpha B \varphi D$ - Coeff. sismique.

sens longitudinal

$$H = 66,9 t \quad M_z^{mt} \text{ de renversement} = 6,985 \cdot 10^2$$

$$b = 9 \text{ m}$$

$$\Gamma_H = 0,09$$

$$\text{on a } \frac{M_z^{mt} \text{ résistant}}{M_z^{mt} \text{ renversant}} = 8,7 > 1,5$$

sens transversal

$$\text{on a } \frac{M_z^{mt} \text{ résistant}}{M_z^{mt} \text{ renversant}} = 5,81 > 1,5$$

Donc notre bâtiment est stable vis à vis du renversement.

Determination de l'effort tranchant de niveau T_j revenant à chaque portique

L'effort tranchant d'étage (\mathcal{E}_j) s'applique au centre de l'étage j comme on a rotation du plancher autour du centre de torsion (C), \mathcal{E}_j appliquée en (G) est équivalente à \mathcal{E}_j appliquée en (C) plus un moment de torsion M_f .

$M_f = \mathcal{E}_j * e$ où e étant l'excentricité pour notre cas du fait de la symétrie du bâtiment on admet une excentricité accidentelle de 5% de la plus grande dimension. soit $e = 0,92 \text{ m}$.

1. Effort tranchant de niveau dans un portique longitudinal:

$$T_{jx}^{(e)} = \mathcal{E}_{jx}^{(e)} \frac{R_{jx}^{(e)}}{R_{jx}^{(t)}} + \mathcal{E}_{jx}^{(t)} \frac{R_{jx}^{(e)} \cdot y_j^{(e)}}{R_{j\theta}} y_G$$

2. Effort tranchant de niveau dans un portique transversal:

$$T_{jy}^{(t)} = \mathcal{E}_{jy}^{(t)} \frac{R_{jy}^{(t)}}{R_{jy}^{(e)}} + \mathcal{E}_{jy}^{(e)} \frac{R_{jy}^{(t)} \cdot x_j^{(t)}}{R_{j\theta}} x_G$$

3. calcul de la rigidité à la torsion de l'étage (j): $R_{j\theta}$

$$R_{j\theta} = \sum_{t=1}^4 R_{jy}^{(t)} (x_j^{(t)})^2 + \sum_{e=1}^D R_{jx}^{(e)} (y_j^{(e)})^2$$

avec : R_j - rigidité relative de l'étage j

$x_j^{(t)}$ - distance entre le portique (t) et le point C au niveau j .

$y_j^{(e)}$ - distance entre portique (e) et le point C au niveau j .

NIVEAU	$R_{jy}^{(t)}$	$R_{jx}^{(e)}$	$\sum x_j^2$	$\sum y_i^2$	$R_{j\theta}^{(t.m)}$
III	3484,12	4317,32	183,39	83,39	$0,999 \cdot 10^6$
II	3513,44	4340,50	183,39	83,39	$1,006 \cdot 10^6$
I	8986,48	10574,90	183,39	83,39	$2,530 \cdot 10^6$

Distribution des efforts de niveaux sur les portiques

1- portiques Longitudinaux :

PORTIQUES		A	B	C	D
NIVEAUX	$y_i y_6$	-4,67	-0,99	2,67	6,37
	ρ $R_{jx}/R_{j\theta}$	0,25	0,25	0,25	0,25
	$R_{jx}^{(e)}/R_{j\theta}$	$4,32 \times 10^{-3}$			
	\bar{G}_{III_x}	32,180			
III	$T_{\text{III}_x}^{(t)}$	7,40	7,91	8,42	8,93
	$R_{jx}^{(e)}/R_{j\theta}$	$4,31 \times 10^{-3}$			
	\bar{G}_{II_x}	55,168			
II	$T_{\text{II}_x}^{(t)}$	12,68	13,56	14,43	15,31
	$R_{jx}^{(e)}/R_{j\theta}$	$4,18 \times 10^{-3}$			
	\bar{G}_{I_x}	66,90			
I	$T_{\text{I}_x}^{(t)}$	15,42	16,45	17,47	18,51

2- portiques transversaux :

PORTIQUES	1	2	3	4	
NIVEAUX	$x_j x_g$	9,13	3,61	-1,91	-7,43
	$R_{jy}^{(H)} / R_{j\theta}$	0,25	0,25	0,25	0,25
III	$R_{jy}^{(H)} / R_{j\theta}$	$3,488 \times 10^{-3}$			
	$\bar{e}_{\bar{I}y}$	32,180			
	$T_{\bar{I}y}$	9,07	8,45	7,83	7,21
II	$R_{jy}^{(H)} / R_{j\theta}$	$3,490 \times 10^{-3}$			
	$\bar{e}_{\bar{I}y}$	55,168			
	$T_{\bar{I}y}^{(+)}$	15,55	14,49	13,42	12,36
I	$R_{jy}^{(H)} / R_{j\theta}$	$3,550 \times 10^{-3}$			
	\bar{e}_{Iy}	66,90			
	$T_{Iy}^{(+)}$	18,89	17,58	16,27	14,96

CALCUL DE L'EFFORT TRANCHANT REVENANT A CHAQUE POTEAU.

L'effort tranchant de niveau (T_j) revenant à un poteau est distribué aux poteaux proportionnellement aux rigidités de niveaux corrigées.

Sous l'action de T_j , le déplacement de niveau δ_j peut être calculé avec la formule : $\delta_j = T_j / R_j$
 comme tous les poteaux d'un même niveau doivent avoir le même déplacement : $\delta_j^{(1)} = \delta_j^{(2)} = \dots = \delta_j^{(n)} = \delta_j$
 or $\delta_j^{(i)} = \frac{E_j^{(i)}}{r_j^{(i)}}$ avec $E_j^{(i)}$ effort tranchant revenant au poteau (i) de niveau (j)

$r_j^{(i)}$ - rigidité corrigée de ce même poteau.

$$\delta_j = \delta_j^{(i)} \Rightarrow E_j^{(i)} = T_j \frac{R_j^{(i)}}{R_j} \quad (1)$$

$$\text{et comme } : r_j^{(i)} = 12 \frac{E}{h_j} a_j^{(i)} k_j^{(i)} \quad (h_j = c \frac{L}{2}) \quad (2)$$

$$R_j = \sum_1^3 R_j^{(i)} \quad (3)$$

D'où d'après (1), (2), (3) on a

$$E_j^{(i)} = \frac{a_j^{(i)} k_j^{(i)}}{\sum a_j^{(i)} k_j^{(i)}} T_j$$

où :

$k_j^{(i)}$ - rigidité linéaire du poteau (i) de niveau (j)

$a_j^{(i)}$ - coefficient de correction de la rigidité du poteau (i) du niveau (j) (coef. de Muñoz)

T_j - effort tranchant de niveau revenant au poteau considéré.

NB: le calcul de $k_j^{(i)}$ et $a_j^{(i)}$ a été déjà établi.

Distribution des efforts des portiques transversaux aux poteaux :

			Portique 1		Portique 2		Portique 3		Portique 4	
NIV.	File	$\frac{a_{jkj}}{\sum a_{jkj}}$	$T_y(+)$	$t_y^{(+)}$						
III	A-D	0,200	9,07	1,814	8,45	1,690	7,83	1,566	7,21	1,442
	B-C	0,300	9,07	2,721	8,45	2,535	7,83	2,349	7,21	2,163
II	A-D	0,200	15,55	3,110	14,49	2,898	13,42	2,684	12,36	2,472
	B-C	0,300	15,55	4,665	14,49	4,347	13,42	4,026	12,36	3,708
I	A-D	0,224	18,89	4,231	17,58	3,938	16,27	3,644	14,96	3,351
	B-C	0,276	18,89	5,214	17,58	4,852	16,27	4,491	14,96	4,129

Distribution des efforts des portiques longitudinaux aux poteaux :

			Portique A		Portique B		Portique C		Portique D	
NIV.	File	$\frac{a_{jkj}}{\sum a_{jkj}}$	$T_x^{(P)}$							
III	1-4	0,204	7,40	1,510	7,91	1,614	8,42	1,718	8,93	1,822
	2-3	0,296	7,40	2,190	7,91	2,341	8,42	2,492	8,93	2,643
II	1-4	0,204	12,68	2,587	13,56	2,766	14,43	2,944	15,31	3,123
	2-3	0,296	12,68	3,753	13,56	4,014	14,43	4,271	15,31	4,532
I	1-4	0,222	15,42	3,423	16,45	3,652	17,47	3,878	18,51	4,109
	2-3	0,278	15,42	4,287	16,45	4,573	17,47	4,857	18,51	5,146

Déformations Horizontales

Le calcul des déplacements horizontaux relève du souci d'éviter la procréation du désordre dans les éléments de remplissage, ainsi que l'aggravation des contraintes dans le système de contreventement.

Détermination des déplacements relatifs d'étages

- le déplacement calculé à partir des forces latérales spécifiées doit être multiplié par $(\frac{1}{2B})$ pour obtenir le déplacement relatif (R.PA 81)

$$\delta_j = \frac{T_j}{R_j} \cdot \frac{1}{2B}$$

Pour un portique autostable en Zone II : $B = 0,25 \rightarrow \frac{1}{2B} = 2$

- le déplacement admissible $\bar{\delta}_j$: (R.PA 81 art. 3.3.7.1)

$$\bar{\delta}_j = 0,0075 h_j \quad (\text{où } h_j \text{ étant la hauteur d'étage } j)$$

\times	PORTIQUE A			PORTIQUE B			PORTIQUE C			PORTIQUE D		
NIV.	$R_j(\text{t/m})$	$T_j(\text{t})$	$\delta_j(\text{mm})$									
III	4317,32	7,40	3,42	4317,32	7,91	3,66	4317,32	8,42	3,9	4317,32	8,93	4,14
II	4340,5	12,68	5,84	4340,5	13,56	6,24	4340,5	14,43	6,64	4340,5	15,31	7,06
I	10574,9	15,42	2,92	10574,9	16,45	3,12	10574,9	17,47	3,3	10574,9	18,51	3,5

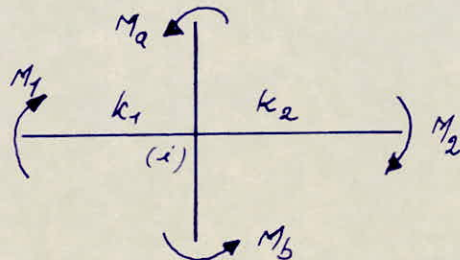
	PORTIQUE 1			PORTIQUE 2			PORTIQUE 3			PORTIQUE 4		
NIV.	$R_j(\text{t/m})$	$T_j(\text{t})$	$\delta_j(\text{mm})$									
III	3484,12	9,04	5,2	3484,12	8,45	4,86	3484,12	7,83	4,5	3484,12	7,21	4,14
II	3513,44	15,55	8,86	3513,44	14,49	8,24	3513,44	13,42	7,64	3513,44	12,36	7,04
I	8986,48	18,89	4,2	8986,48	17,58	3,92	8986,48	16,27	3,62	8986,48	14,96	3,32

$$\delta_j < \bar{\delta}_j$$

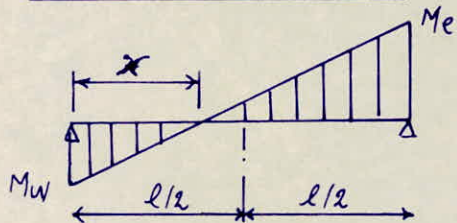
CALCUL DES MOMENTS DANS LES POUTRES :

Dans un noeud (i), le moment résultant des poteaux aboutissant à ce noeud est reparti entre les poutres proportionnellement à leur rigidité l'inverse.

$$\begin{cases} M_1 = \frac{k_1}{k_1 + k_2} (M_a + M_b) \\ M_2 = \frac{k_2}{k_1 + k_2} (M_a + M_b) \end{cases}$$



Moment en travée



$$\frac{x}{M_w} = \frac{l-x}{M_e} \text{ d'où } x = \frac{M_w}{M_w + M_e} l$$

$$\frac{\frac{l}{2}-x}{M_f} = \frac{l/2}{M_e} \text{ d'où } M_f = \frac{l/2-x}{l/2} M_e$$

on remplace x par sa valeur dans l'expression de M_f

on obtient

$$M_f = \frac{M_e - M_w}{2}$$

Efforts tranchants :

A partir des moments dans les noeuds, on peut calculer les efforts tranchants. On considère alors une travée indépendante.

L'équation du moment est : $M(x) = ax + b$.

$$T = \frac{dM}{dx} = a \quad ; \quad \text{pour} \begin{cases} x=0 \text{ où } b=M_w \\ x=l \text{ où } al+b=-M_e \end{cases}$$

$$\text{d'où } T = -\frac{M_e + M_w}{l}$$

Efforts normaux :

Pour le noeud (i), l'effort normal dans le poteau sera :

$$N_i = -(T_{ie} - T_{iw})$$

si $N_i < 0 \Rightarrow$ compression.

si $N_i > 0 \Rightarrow$ traction.

Poutres du portique transversal

NIVEAU	NOEUD	M_b	M_a	M_1	M_2	M_w	M_e	M_t	$T(+)$
III	1	3,519	0	0	3,519	3,519	2,422	0,549	-1,485
	2	4,843	0	2,422	2,422	2,422	2,422	0	-1,211
	3	4,843	0	2,422	2,422	2,422	3,519	-0,549	-1,485
	4	3,519	0	3,519	0				
II	5	5,536	2,358	0	7,894	7,894	5,765	1,065	-3,415
	6	7,557	3,973	5,765	5,765	5,765	5,765	0	-2,883
	7	7,557	3,973	5,765	5,765	5,765	7,894	-1,095	-3,415
	8	5,536	2,358	7,894	0				
I	9	3,300	4,541	0	7,841	7,841	6,594	0,624	-3,609
	10	5,631	7,557	6,594	6,594	6,594	6,594	0	-3,297
	11	5,631	7,557	6,594	6,594	6,594	7,841	-0,624	-3,609
	12	3,300	4,541	7,841	0				

Poutres du Portique longitudinal

NIVEAU	NOEUD	M_b	M_a	M_1	M_2	M_w	M_e	M_t	$T(+)$
III	1	3,243	0	0	3,243	3,243	2,353	0,445	-0,933
	2	4,705	0	2,353	2,353	2,353	2,353	0	-0,784
	3	4,705	0	2,353	2,353	2,353	3,242	-0,445	-0,933
	4	3,243	0	3,243	0				
II	5	5,434	2,660	0	8,094	8,094	5,601	1,247	-2,283
	6	7,342	3,859	5,601	5,601	5,601	5,601	0	-1,867
	7	7,342	3,859	5,601	5,601	5,601	8,094	-1,247	-2,283
	8	5,434	2,660	8,094	0				
I	9	3,328	4,685	0	8,013	8,013	6,579	0,717	-2,432
	10	5,815	7,342	6,579	6,579	6,579	6,579	0	-2,193
	11	5,815	7,342	6,579	6,579	6,579	8,013	-0,717	-2,432
	12	3,328	4,685	8,013	0				

Poteaux du Portique transversal - 1 -

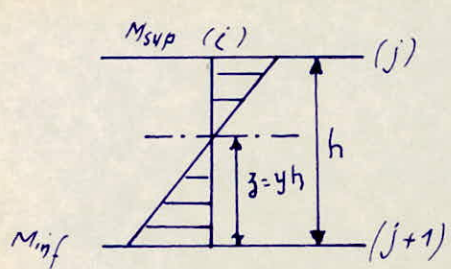
NIVEAU	Poteaux	M _{sup} (t.m)	M _{inf} (t.m)	T(t)	N(t)	N ^c (t)
III	1-5	3,519	2,358	1,814	-1,485	-1,485
	2-6	4,843	3,973	2,721	0,274	0,274
	3-7	4,843	3,973	2,721	-0,274	-0,274
	4-8	3,159	2,358	1,814	1,485	1,485
II	5-9	5,536	4,541	3,110	-3,145	-4,900
	6-10	7,557	7,557	4,665	0,532	0,806
	7-11	7,557	7,557	4,665	-0,532	-0,806
	8-12	5,536	4,541	3,110	3,415	4,900
I	9-13	3,300	10,408	4,231	-3,609	-8,509
	10-14	5,631	12,163	5,214	0,312	1,118
	11-15	5,631	12,163	5,214	-0,312	-1,118
	12-16	3,300	10,408	4,231	3,609	8,509

Poteaux du portique Longitudinal - D -

Niveau	Poteau	M _{sup} (t.m)	M _{inf} (t.m)	T(t)	N(t)	N ^c (t)
III	1-5	3,243	2,660	1,822	-0,933	-0,933
	2-6	4,705	3,859	2,643	0,149	0,149
	3-7	4,705	3,859	2,643	-0,149	-0,149
	4-8	3,243	2,660	1,822	0,933	0,933
II	5-9	5,434	4,685	3,123	-2,283	-3,216
	6-10	7,342	7,342	4,532	0,416	0,516
	7-11	7,342	7,342	4,532	-0,416	-0,516
	8-12	5,434	4,685	3,123	2,283	3,216
I	9-13	3,328	9,985	4,109	-2,432	-5,648
	10-14	5,815	10,858	5,146	0,239	0,755
	11-15	5,815	10,858	5,146	-0,239	-0,755
	12-16	3,328	9,985	4,109	2,432	5,648

Calcul des moments dans les poteaux :

la position du point d'inflexion est donnée en fonction des caractéristiques du portique.



$$M_{sup} = \epsilon_j^{(i)} (h-z)$$

$$M_{inf} = \epsilon_j^{(i)} (z)$$

$$z = yh.$$

$$\text{avec } \gamma = y_0 + y_1 + y_2 + y_3$$

où :

y_0 - coefficient qui est donné par des tableaux en fonction de \bar{k} , du nombre total de niveaux que comporte le portique et du numéro de niveau.

y_1 - terme de correction dû à la variation de la rigidité linéaire des poutres supérieures et inférieures, et est donnée par des tableaux en fonction de $\alpha_1 = \frac{k_1+k_2}{k_3+k_4}$ et de \bar{k} .

k_1 et k_2 sont les raideurs des poutres supérieures.

k_3 et k_4 sont les raideurs des poutres inférieures.

y_2 - terme de correction dû à la variation de la hauteur d'étage à la hauteur de l'étage supérieur adjacent, il est donné par des tableaux en fonction de $\alpha_2 = \frac{h_s}{h}$ et de \bar{k} .
 h_s - hauteur de l'étage supérieur adjacent.

y_3 - terme de correction dû à la variation de la hauteur d'étage à la hauteur de l'étage inférieur adjacent, il est donné par des tableaux en fonction de $\alpha_3 = \frac{h_i}{h}$ et de \bar{k} .

h_i - hauteur de l'étage inférieur adjacent.

Remarque :

les coefficients y_0, y_1, y_2, y_3 sont donnés dans le bulletin n° 5 du C.T.C

on a $y_2=0$ pour dernier niveau ; $y_3=0$ pour le premier niveau.

Poteaux du Portique longitudinal D

NIV	File	k	y_0	y_1	y_2	y_3	y	$z(m)$	$h-z$	$t_x(t)$	$M_{sup}(t.m)$	$M_{inf}(t.m)$
<u>III</u>	1 et 4	1,235	0,45	0	0	0	0,45	1,46	1,78	1,822	3,243	2,660
	2 et 3	2,469	0,45	0	0	0	0,45	1,46	1,78	2,643	4,705	3,859
<u>II</u>	1 et 4	1,245	0,462	0	0	0	0,462	1,5	1,74	3,123	5,434	4,685
	2 et 3	2,491	0,50	0	0	0	0,50	1,62	1,62	4,532	7,342	7,342
<u>I</u>	1 et 4	0,467	0,75	0	0	0	0,75	2,43	0,81	4,109	3,328	9,985
	2 et 3	0,935	0,65	0	0	0	0,65	2,11	1,13	5,146	5,815	10,858

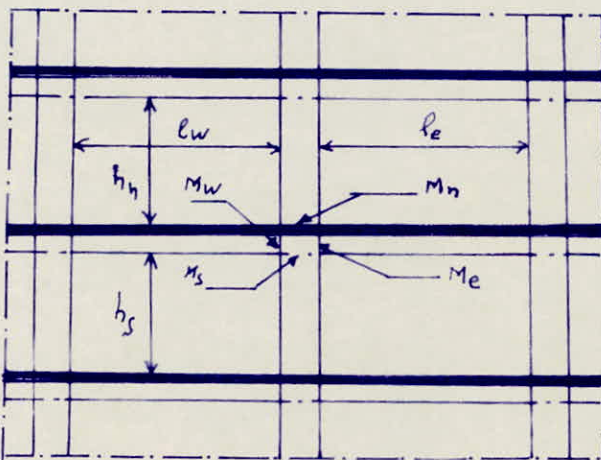
Poteaux du Portique transversal 1

NIV	File	k	y_0	y_1	y_2	y_3	y	$z(m)$	$h-z$	$t_x(t)$	$M_{sup}(t.m)$	$M_{inf}(t.m)$
<u>III</u>	A-D	1,002	0,40	0	0	0	0,40	1,3	1,94	1,814	3,519	2,358
	B-C	2,004	0,45	0	0	0	0,45	1,46	1,78	2,721	4,843	3,973
<u>II</u>	A-D	1,015	0,451	0	0	0	0,451	1,46	1,78	3,110	5,536	4,541
	B-C	2,031	0,50	0	0	0	0,50	1,62	1,62	4,665	7,557	7,557
<u>I</u>	A-D	0,383	0,758	0	0	0	0,758	2,46	0,78	4,231	3,300	10,408
	B-C	0,765	0,668	0	0	0	0,668	2,16	1,018	5,214	5,631	12,163

Efforts dans les Portiques Engendrés Par les Forces Verticales

le calcul des portiques sous les charges verticales sera fait par la méthode de M^e CAQUOT exposé en annexe A du C.C.B.A 68.

Exposé de la méthode:



la méthode suppose que les moments d'inerties des poteaux sont constants.

le principe consiste à choisir un noeud et à déterminer les moments agissants à gauche et à droite ainsi qu'en haut et en bas. cela en tenant compte que des charges des travées encadrant le noeud

considérée notées respectivement "W" (gauche) et "e" (droite) et la résistance offerte par les tronçons "S" (inférieur) et "N" (supérieur) des poteaux aboutissant au noeud.

- on détache de chaque côté des appuis des travées fictives désignées par (ℓ') et portant en indice la travée considérée déterminée comme suit :

$$\left. \begin{array}{l} \ell'w = 0,8\ell_w \\ \ell'e = 0,8\ell_e \end{array} \right\} \rightarrow \text{pour travées intermédiaires}$$

$-\ h'_n = 0,9 h$ \rightarrow si le noeud considéré appartient à l'avant dernier plancher avec h_n : hauteur libre du poteau haut.

$$\left. \begin{array}{l} h'_s = 0,8h_n \\ h_s = 0,8h_s \end{array} \right\} \rightarrow \text{pour les autres cas.}$$

ℓ_w, ℓ_e : portées libres des travées respectivement gauche et droite

h_s : hauteur libre du poteau bas.

soit : q_w : la charge uniformément répartie par unité de longueur sur la travée de gauche.

q_e : la charge uniformément répartie par unité de longueur sur la travée de droite.

q_w : charge concentrée appliquée sur la travée de gauche à la distance a_w du nu de l'appui (q_e et q_e pour la travée de droite)

$$\text{on pose : } M'_{in} = q_w \frac{p_w'^2}{8,5} + l_w \sum k_w q_w$$

$$M'e = q_e \cdot \frac{l_e'^2}{8,5} + l_e \sum k_e q_e$$

les valeurs de k_w , k_e sont données en fonction de a_w et a_e par p_w l_e

une échelle fonctionnelle.

I_w , I_e , I_n , I_s : désignant les moments d'inertie respectivement des éléments formant le noeud.

$$\text{on pose : } k_w = I_w / p_w ; \quad k_e = I_e / l_e ; \quad k_\eta = I_n / h_\eta ; \quad k_s = I_s / h_s .$$

$\text{et } D = k_w + k_e + k_\eta + k_s .$

• les moments dans les sections dangereuses (nus d'appuis) sont en valeurs absolues.

$$\text{- au nu de l'appui dans la travée de gauche : } M_w = M'e \cdot \frac{k_w}{D} + M'_w \left(1 - \frac{k_w}{D}\right)$$

$$\text{- au nu de l'appui dans la travée de droite : } M_e = M'e \left(1 - \frac{k_e}{D}\right) + M'_w \frac{k_e}{D}$$

$$\text{- au nu inférieur des poutres dans le poteau inf : } M_s = \frac{k_s}{D} (M'e - M'_w)$$

$$\text{- au nu supérieur des poutres dans le poteau sup : } M_\eta = \frac{k_\eta}{D} (M'e - M'_w)$$

pour la travée (poutres) les moments M_w et M_e sont négatifs.

pour les poteaux, la face tendue du tronçon supérieur est du côté correspondant à la plus grande des deux valeurs absolues $M'e$ ou M'_w .

la face tendue du tronçon inférieur est du côté opposé.

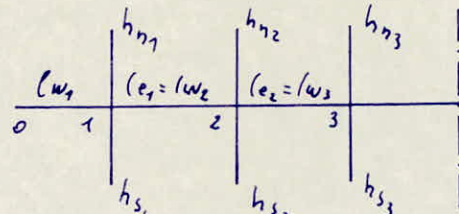
• Travées de rive :

les quantités relatives au noeud

dérivé sont affectées de l'indice ①

celle du noeud voisin de l'indice ②

a/ travée de rive avec console :



* Noeud de rive : le noeud de rive est étudié en faisant $k_w=0$ dans les formules données ci-dessus et en substituant M_{w_1} à M'_w ; M_{w_1} désignant la valeur absolue du moment isostatique de la console au nu de l'appui. On suppose que la valeur algébrique de M_{w_1} négatif, c.a.d : conventionnellement, que la face supérieure de la console est tendue

* nu de l'appui . On suppose que la valeur algébrique de M_{w_1} négatif, c.a.d : conventionnellement, que la face supérieure de la console est tendue

au voisinage de l'appui. Dans le cas contraire on change le signe devant la valeur de M_{w_1} introduite dans les formules.

on a donc

$$M_{e_1} = M'_{e_1} \left(1 - \frac{k_{e_1}}{D_1} \right) + M_{w_1} \cdot \frac{k_{e_1}}{D_1}$$

$$M_{s_1} = (M'_{e_1} - M_{w_1}) \cdot \frac{k_{s_1}}{D_1}$$

$$M_{n_1} = (M'_{e_1} - M_{w_1}) \cdot \frac{k_{n_1}}{D_1}$$

avec $M'_{e_1} = (\varphi_0 \cdot \frac{\ell' e_2}{85})_{\text{noeud } 1}$

$$D_1 = k_{e_1} + k_{s_1} + k_{n_1}; \quad k_{e_1} = \frac{I_{e_1}}{\ell' w}; \quad k_{s_1} = \frac{I_{s_1}}{h' s_1}; \quad k_{n_1} = \frac{I_{n_1}}{h' n_1}$$

* Noeud voisin de rive :

la longueur $\ell' e_2$ de la travée fictive de rive est prise égale à $X_1 \cdot \ell' w_1$, X_1 étant un coefficient compris entre (0,8 à 1).

on prend : $X_1 = 0,8$ pour $k_{s_1} + k_{n_1} \geq 1,5 k_{e_1}$

$$X_1 = 1 - \frac{k_{s_1} + k_{n_1}}{7,5 k_{e_1}} \text{ pour } k_{s_1} + k_{n_1} < 1,5 k_{e_1}.$$

la longueur $\ell' e_2$ de la travée fictive à droite de l'appui-2-

si elle n'est pas une travée de rive, est prise égale à $0,8 \ell' e_2$.

Dans le cas contraire le noeud 3- est un noeud de rive, et la longueur $\ell' e_2$ de la travée fictive de droite est prise égale à $X_3 \ell' e_2$

avec : $X_3 = 0,8$ pour $k_{s_3} + k_{n_3} \geq 1,5 k_{w_3}$.

$$X_3 = 1 - \frac{k_{s_3} + k_{n_3}}{7,5 k_{w_3}} \text{ pour } k_{s_3} + k_{n_3} < 1,5 k_{w_3}.$$

b/ travée de rive sans console :

les mêmes formules que pour une travée de rive avec console en prenant $(M_{w_1} = 0)$:

$$M_{e_1} = M'_{e_1} \left(1 - \frac{k_{e_1}}{D_1} \right)$$

$$M_{s_1} = M'_{e_1} \cdot \frac{k_{s_1}}{D_1}$$

$$M_{n_1} = M'_{e_1} \frac{k_{n_1}}{D_1}$$

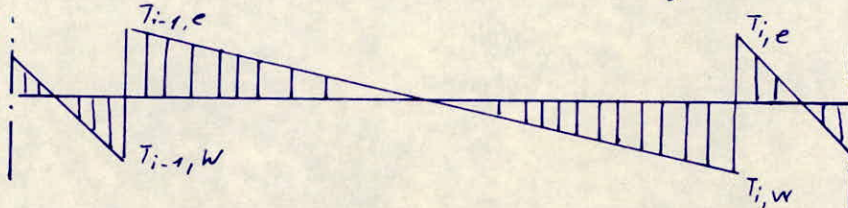
• Efforts tranchants dans les poteaux, efforts normaux dans les poutres:

par simplification, on ne fait pas état, dans les calculs, des efforts tranchants dans les poteaux, ni des efforts normaux dans les poutres.

• efforts normaux dans les poteaux:

Ils sont engendrées par les efforts tranchants dans les poutres et seront déterminée à partir de ceux-ci.

Ainsi pour les charges verticales uniformément réparties on a les efforts tranchants schématisés sur le diagramme ci-dessous:



les réactions développées dans les appuis ($i-1$) et (i) donnent des efforts normaux de compression dans les poteaux dont les valeurs sont:

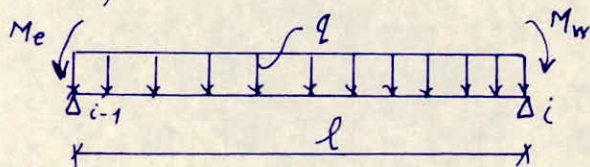
$$N_{i-1} = T_{i-1,e} - T_{i-1,w}$$

$$N_i = T_{i,e} - T_{i,w}$$

$T_{i-1,w}$; $T_{i-1,e}$; $T_{i,e}$; $T_{i,w}$ en valeurs algébriques.

• Efforts tranchants dans les poutres:

Ils sont calculés en considérant la travée Δ indépendante et en faisant état des moments de continuité et de la charge qui lui est appliquée ($q/m\ell$).



$$T_{i-1,e} = q \frac{\ell}{2} + \frac{M_{i-1,e} - M_i_w}{\ell}$$

$$T_{i,e} = -q \frac{\ell}{2} + \frac{M_{i-1,e} - M_i_w}{\ell}$$

CARACTERISTIQUES GEOMETRIQUES portique transversal.

NIV	NOEUD	l_w	l_e	h_n	h_s	I_w	I_e	I_n	I_s	l'_w	l'_e	h'_n	h'_s	k_w	k_e	k_n	k_s	D
III	1		4		3,24		16		12,5		3,2		2,592		5		4,826	9,826
	2	4	4		3,24	16	16		12,5	3,49	3,2		2,592	4,585	5		4,826	14,411
	3	4	4		3,24	16	16		12,5	3,2	3,49		2,592	5	4,585		4,826	14,411
	4	4			3,24	16			12,5	3,2			2,592	5			4,826	9,826
II	5		4	3,24	3,24		16	12,5	12,5		3,2	2,92	2,59		5	4,281	4,826	14,107
	6	4	4	3,24	3,24	16	16	12,5	12,5	3,2	3,2	2,92	2,59	5	5	4,281	4,826	19,107
	7	4	4	3,24	3,24	16	16	12,5	12,5	3,2	3,2	2,92	2,59	5	5	4,281	4,826	19,107
	8	4		3,24	3,24	16		12,5	12,5	3,2		2,92	2,59	5		4,281	4,826	14,107
I	9		4	3,24	3,24		16	12,5	34,2		3,2	2,59	2,59		5	4,826	13,205	23,031
	10	4	4	3,24	3,24	16	16	12,5	34,2	3,2	3,2	2,59	2,59	5	5	4,826	13,205	28,031
	11	4	4	3,24	3,24	16	16	12,5	34,2	3,2	3,2	2,59	2,59	5	5	4,826	13,205	28,031
	12	4		3,24	3,24	16		12,5	34,2	3,2		2,59	2,59	5		4,826	13,205	23,031
0	13		4	3,24	2,94		16	34,2	34,2		3,2	2,59	2,38		5	13,205	14,370	32,575
	14	4	4	3,24	2,94	16	16	34,2	34,2	3,2	3,2	2,59	2,38	5	5	13,205	14,370	37,575
	15	4	4	3,24	2,94	16	16	34,2	34,2	3,2	3,2	2,59	2,38	5	5	13,205	14,370	37,575
	16	4		3,24	2,94	16		34,2	34,2	3,2		2,59	2,38	5		13,205	14,370	32,575

Sous : G

MOMENTS AUX NOEUDS

Pontique: trans rive

Sous : P

NIV	NOE	q _w	q _e	M' _w	M' _e	M _w	M _e	M _n	M _s
III	1			0,694		0,836		0,411	
	2	0,694	0,694	0,994	0,836	0,944	0,891		-0,053
	3	0,694	0,694	0,836	0,994	0,891	0,944		0,053
	4	0,694		0,836		0,411			-0,411
II	5		1,420		1,711		1,105	0,519	0,585
	6	1,420	1,420	1,711	1,711	1,711	1,711	0	0
	7	1,420	1,420	1,711	1,711	1,711	1,711	0	0
	8	1,420		1,711		1,105		-0,519	-0,585
I	9		1,420		1,711		1,340	0,359	0,981
	10	1,420	1,420	1,711	1,711	1,711	1,711	0	0
	11	1,420	1,420	1,711	1,711	1,711	1,711	0	0
	12	1,420		1,711		1,340		-0,359	-0,981
O	13		2,130		2,566		2,172	1,040	1,132
	14	2,130	2,130	2,566	2,566	2,566	2,566	0	0
	15	2,130	2,130	2,566	2,566	2,566	2,566	0	0
	16	2,130		2,566		2,172		-1,040	-1,132

NIV	NOE	q _w	q _e	M' _w	M' _e	M _w	M _e	M _n	M _s
III	1			0,033		0,040		0,020	
	2	0,033	0,033	0,047	0,040	0,045	0,042		-0,0023
	3	0,033	0,033	0,040	0,047	0,042	0,045		0,0023
	4	0,033		0,040		0,040			-0,020
II	5			0,057		0,069		0,045	0,021
	6	0,057	0,057	0,069	0,069	0,069	0,069	0	0
	7	0,057	0,057	0,069	0,069	0,069	0,069	0	0
	8	0,057		0,069		0,045		-0,021	-0,024
I	9			0,057		0,069		0,054	0,014
	10	0,057	0,057	0,069	0,069	0,069	0,069	0	0
	11	0,057	0,057	0,069	0,069	0,069	0,069	0	0
	12	0,057		0,069		0,054		-0,014	-0,040
O	13			0,38		0,458		0,388	0,186
	14	0,38	0,38	0,458	0,458	0,458	0,458	0	0
	15	0,38	0,38	0,458	0,458	0,458	0,458	0	0
	16	0,38		0,458		0,388		-0,186	-0,202

sous: G

Moments et efforts tranchants dans les poutres

sous: P

NIV	trav.	ℓ	q	M_w	M_e	T_w	T_e
III	1-2	4	0,694	0,411	0,944	1,255	-1,521
	2-3	4	0,694	0,891	0,891	1,388	-1,388
	3-4	4	0,694	0,944	0,411	1,521	-1,255
II	5-6	4	1,420	1,105	1,711	2,689	-2,992
	6-7	4	1,420	1,711	1,711	2,84	-2,84
	7-8	4	1,420	1,711	1,105	2,992	-2,689
I	9-10	4	1,420	1,340	1,711	2,747	-2,933
	10-11	4	1,420	1,711	1,711	2,840	-2,840
	11-12	4	1,420	1,711	1,340	2,933	-2,747
0	13-14	4	1,949	2,172	2,566	3,80	-3,997
	14-15	4	1,949	2,566	2,566	3,898	-3,898
	15-16	4	1,949	2,566	2,172	3,997	-3,80

NIV	trav.	ℓ	q	M_w	M_e	T_w	T_e
III	1-2	4	0,033	0,020	0,045	0,060	-0,072
	2-3	4	0,033	0,042	0,042	0,084	-0,084
	3-4	4	0,033	0,045	0,020	0,072	-0,060
II	5-6	4	0,057	0,045	0,069	0,108	-0,120
	6-7	4	0,057	0,069	0,069	0,114	-0,114
	7-8	4	0,057	0,069	0,045	0,120	-0,108
I	9-10	4	0,057	0,054	0,069	0,110	-0,118
	10-11	4	0,057	0,069	0,069	0,114	-0,114
	11-12	4	0,057	0,069	0,054	0,118	-0,110
0	13-14	4	0,306	0,388	0,458	0,595	-0,630
	14-15	4	0,306	0,458	0,458	0,612	-0,612
	15-16	4	0,306	0,458	0,388	0,630	-0,595

sous : G

Efforts normaux Dans les poteaux (Portique : trans. rive) sous : P

NIV.	Pot.	T _w	T _e	N	N ^c
III	1-5		1,255	1,255	1,255
	2-6	-1,521	1,388	2,909	2,909
	3-7	-1,388	1,521	2,909	2,909
	4-8	-1,255		1,255	1,255
II	5-9		2,689	2,689	3,944
	6-10	-2,992	2,840	5,832	8,741
	7-11	-2,84	2,992	5,832	8,741
	8-12	-2,689		2,689	3,944
I	9-13		2,747	2,747	6,691
	10-14	-2,933	2,840	5,773	14,514
	11-15	-2,84	2,933	5,773	14,514
	12-16	-2,747		2,747	6,691
0	13-17		3,800	3,800	10,491
	14-18	-3,997	3,898	7,895	22,409
	15-19	-3,898	3,997	7,895	22,409
	16-20	-3,800		3,800	10,491

NIV.	Pot.	T _w	T _e	N	N ^c
III	1-5		0,060	0,060	0,060
	2-6	-0,072	0,084	0,156	0,156
	3-7	-0,084	0,072	0,156	0,156
	4-8	-0,060		0,060	0,060
II	5-9		0,108	0,108	0,168
	6-10	-0,120	0,114	0,234	0,390
	7-11	-0,114	0,120	0,234	0,390
	8-12	-0,108		0,108	0,168
I	9-13		0,110	0,110	0,278
	10-14	-0,118	0,114	0,236	0,622
	11-15	-0,114	0,118	0,232	0,622
	12-16	-0,110		0,110	0,278
0	13-17		0,595	0,595	0,873
	14-18	-0,630	0,612	1,242	1,864
	15-19	-0,612	0,630	1,242	1,864
	16-20	-0,595		0,595	0,873

sous : G

MOMENTS AUX NOEUDS

Portique: trans. Inter.

sous : P

NIV	noe	$q_w^{(+ m)}$	$q_e^{(+ m)}$	$M'_w^{(+ m)}$	$M'_e^{(+ m)}$	M_w	M_e	M_n	M_s
III	1		0,639		0,770		0,378		0,378
	2	0,639	0,639	0,916	0,770	0,870	0,821		-0,049
	3	0,639	0,639	0,770	0,916	0,821	0,870		0,049
	4	0,639		0,770		0,378			-0,378
II	5		0,608		0,732		0,473	0,222	0,250
	6	0,608	0,608	0,732	0,732	0,732	0,732	0	0
	7	0,608	0,608	0,732	0,732	0,732	0,732	0	0
	8	0,608		0,732		0,473		-0,222	-0,250
I	9		0,608		0,732		0,573	0,153	0,420
	10	0,608	0,608	0,732	0,732	0,732	0,732	0	0
	11	0,608	0,608	0,732	0,732	0,732	0,732	0	0
	12	0,608		0,732		0,573		-0,153	-0,420
0	13		1,908		2,299		1,946	0,932	1,014
	14	1,908	1,908	2,299	2,299	2,299	2,299	0	0
	15	1,908	1,908	2,299	2,299	2,299	2,299	0	0
	16	1,908		2,299		1,946		-0,932	-1,014

NIV	noe	q_w	q_e	M'_w	M'_e	M_w	M_e	M_n	M_s
III	1		0,065		0,078		0,038		0,038
	2	0,065	0,065	0,093	0,078	0,088	0,083		-0,005
	3	0,065	0,065	0,078	0,093	0,083	0,088		0,005
	4	0,065		0,078		0,038			-0,038
II	5		0,114		0,137		0,088	0,042	0,047
	6	0,114	0,114	0,137	0,137	0,137	0,137	0	0
	7	0,114	0,114	0,137	0,137	0,137	0,137	0	0
	8	0,114		0,137		0,088		-0,042	-0,047
I	9		0,114		0,137		0,107	0,029	0,079
	10	0,114	0,114	0,137	0,137	0,137	0,137	0	0
	11	0,114	0,114	0,137	0,137	0,137	0,137	0	0
	12	0,114		0,137		0,107		-0,029	-0,079
0	13		0,685		0,825		0,698	0,334	0,364
	14	0,685	2,742	0,825	3,303	1,155	2,973	0,871	0,948
	15	2,742	0,685	3,303	0,825	2,973	1,155	-0,871	-0,948
	16	0,685		0,825		0,698		-0,334	-0,364

sous: G

Moments et efforts tranchants dans les poutres

sous: P

Niv	trav.	l	q	M _w	M _e	T _w	T _e
III	1-2	4	0,639	0,378	0,870	1,155	-1,401
	2-3	4	0,639	0,821	0,821	1,278	-1,278
	3-4	4	0,639	0,870	0,378	1,401	-1,155
II	5-6	4	0,608	0,473	0,732	1,151	-1,281
	6-7	4	0,608	0,732	0,732	1,216	-1,216
	7-8	4	0,608	0,732	0,473	1,281	-1,151
I	9-10	4	0,608	0,573	0,732	1,176	-1,256
	10-11	4	0,608	0,732	0,732	1,216	-1,216
	11-12	4	0,608	0,732	0,573	1,256	-1,176
0	13-14	4	1,546	1,946	2,299	3,004	-3,180
	14-15	4	1,546	2,299	2,299	3,092	-3,092
	15-16	4	1,546	2,299	1,946	3,180	-3,004

Niv	trav.	l	q	M _w	M _e	T _w	T _e
III	1-2	4	0,065	0,038	0,088	0,118	-0,180
	2-3	4	0,065	0,083	0,083	0,130	-0,130
	3-4	4	0,065	0,088	0,038	0,180	-0,118
II	5-6	4	0,114	0,088	0,137	0,216	-0,240
	6-7	4	0,114	0,137	0,137	0,228	-0,228
	7-8	4	0,114	0,137	0,088	0,240	-0,216
I	9-10	4	0,114	0,107	0,137	0,221	-0,236
	10-11	4	0,114	0,137	0,137	0,288	-0,288
	11-12	4	0,114	0,137	0,107	0,236	-0,221
0	13-14	4	0,537	0,698	1,155	0,960	-1,188
	14-15	4	2,15	2,973	2,973	4,30	-4,30
	15-16	4	0,537	1,155	0,698	1,188	0,960

sous: G

Efforts normaux Dans les poteaux (Portique : trans Interm.) sous: P

59

NIV.	Pot.	T _w	T _e	N	N ^c
III	1-5		1,155	1,155	1,155
	2-6	-1,401	1,278	2,679	2,679
	3-7	-1,278	1,401	2,679	2,679
	4-8	-1,155		1,155	1,155
II	5-9		1,151	1,151	2,306
	6-10	-1,281	1,216	2,497	5,176
	7-11	-1,216	1,281	2,497	5,176
	8-12	-1,151		1,151	2,306
I	9-13		1,176	1,176	3,482
	10-14	-1,256	1,216	2,472	7,648
	11-15	-1,216	1,256	2,472	7,648
	12-16	-1,176		1,176	3,482
O	13-17		3,004	3,004	6,486
	14-18	-3,180	3,092	6,272	13,920
	15-19	-3,092	3,180	6,272	13,920
	16-20	-3,004		3,004	6,486

NIV.	Pot.	T _w	T _e	N	N ^c
III	1-5		0,118	0,118	0,118
	2-6	-0,180	0,130	0,310	0,310
	3-7	-0,130	0,180	0,310	0,310
	4-8	-0,118		0,118	0,118
II	5-9		0,216	0,216	0,334
	6-10	-0,240	0,228	0,468	0,778
	7-11	-0,228	0,240	0,468	0,778
	8-12	-0,216		0,216	0,334
I	9-13		0,221	0,221	0,555
	10-14	-0,236	0,288	0,524	1,302
	11-15	-0,288	0,236	0,524	1,302
	12-16	-0,221		0,221	0,555
O	13-17		0,960	0,960	1,515
	14-18	-1,188	4,300	5,488	6,790
	15-19	-4,300	1,188	5,488	6,790
	16-20	-0,960		0,960	1,515

CARACTERISTIQUES GEOMETRIQUES

portique longitudinal

NIV	NOEUD	l_w	l_e	h_n	h_s	$I_w^{10^{-4}}$	I_e	I_n	I_s	l'_w	l'_e	h'_n	h'_s	$k_w^{10^{-4}}$	k_e	k_n	k_s	$D^{10^{-4}}$
III	1		6		3,24		31,3		12,5		4,8		2,592		6,52		4,826	11,346
	2	6	6		3,24	31,3	31,3		12,5	5,41	4,8		2,592	5,79	6,52		4,826	17,136
	3	6	6		3,24	31,3	31,3		12,5	4,8	5,41		2,592	6,52	5,79		4,826	17,136
	4	6			3,24	31,3			12,5	4,8			2,592	6,52			4,826	11,346
II	5		6	3,24	3,24		31,3	12,5	12,5		4,8	2,92	2,59		6,52	4,281	4,826	15,627
	6	6	6	3,24	3,24	31,3	31,3	12,5	12,5	4,88	4,80	2,92	2,59	6,41	6,52	4,281	4,826	22,037
	7	6	6	3,24	3,24	31,3	31,3	12,5	12,5	4,80	4,88	2,92	2,59	6,52	6,41	4,281	4,826	22,037
	8	6		3,24	3,24	31,3		12,5	12,5	4,80		2,92	2,59	6,52		4,281	4,826	15,627
I	9		6	3,24	3,24		31,3	12,5	34,2		4,8	2,59	2,59		6,52	4,826	13,205	24,551
	10	6	6	3,24	3,24	31,3	31,3	12,5	34,2	4,8	4,8	2,59	2,59	6,52	6,52	4,826	13,205	31,071
	11	6	6	3,24	3,24	31,3	31,3	12,5	34,2	4,8	4,8	2,59	2,59	6,52	6,52	4,826	13,205	31,071
	12	6		3,24	2,94	31,3		12,5	34,2	4,8		2,59	2,59	6,52		4,826	13,205	24,551
O	13		6	3,24	2,94		31,3	34,2	34,2		4,8	2,59	2,38		6,52	13,205	14,370	34,095
	14	6	6	3,24	2,94	31,3	31,3	34,2	34,2	4,8	4,8	2,58	2,38	6,52	6,52	13,205	14,370	40,615
	15	6	6	3,24	2,94	31,3	31,3	34,2	34,2	4,8	4,8	2,59	2,38	6,52	6,52	13,205	14,370	40,615
	16	6		3,24	2,94	31,3		34,2	34,2	4,8		2,59	2,38	6,52		13,205	14,370	34,095

Sous: G

MOMENTS AUX NOEUDS

Portique: LONG.Rive

Sous: P

NIV	NOE	q _w	q _e	M' _w	M' _e	M _w	M _e	M _h	M _s
III	1		1,642		4,451		3,487		0,713
	2	1,642	1,642	5,654	4,451	4,751	4,623		-0,128
	3	1,642	1,642	4,451	5,654	4,623	4,751		0,128
	4	1,642		4,451		3,487			-0,713
II	5		2,289		6,205		4,773	0,940	1,060
	6	2,289	2,289	6,413	6,205	5,966	6,105	0,065	0,074
	7	2,289	2,289	6,205	6,413	6,105	5,966	-0,065	-0,074
	8	2,289		6,205		4,773		-0,940	-1,060
I	9		2,289		6,205		5,294	0,674	1,845
	10	2,289	2,289	6,205	6,205	5,931	6,132	0,054	0,147
	11	2,289	2,289	6,205	6,205	6,132	5,931	-0,054	-0,147
	12	2,289		6,205		5,294		-0,674	-1,845
O	13		2,430		6,587		5,861	1,477	1,605
	14	2,430	2,430	6,587	6,587	6,377	6,546	0,081	0,088
	15	2,430	2,430	6,587	6,587	6,546	6,377	-0,081	-0,088
	16	2,430		6,587		5,861		-1,477	-1,605

NIV	NOE	q _w	q _e	M' _w	M' _e	M _w	M _e	M _g	M _n	M _s
III	1			0,200		0,542		0,460		0,060
	2	0,200	0,200	0,689	0,542	0,568	0,557			-0,011
	3	0,200	0,200	0,542	0,689	0,557	0,568			0,011
	4	0,200		0,542		0,460				-0,060
II	5			0,350		0,949		1,137	-0,134	-0,139
	6	0,350	0,350	0,981	0,949	0,777	0,877	0,047	0,053	
	7	0,350	0,350	0,949	0,981	0,877	0,777	-0,047	-0,053	
	8	0,350		0,949		1,137		0,124	0,139	
I	9			0,350		0,949		1,069	-0,089	-0,243
	10	0,350	0,350	0,949	0,949	0,811	0,912	0,027	0,074	
	11	0,350	0,350	0,949	0,949	0,912	0,811	-0,027	-0,074	
	12	0,350		0,949		1,069		0,089	0,243	
O	13			0,473		1,282		1,305	-0,046	-0,050
	14	0,473	0,473	1,282	1,282	1,176	1,262	0,041	0,045	
	15	0,473	0,473	1,282	1,282	1,262	1,176	-0,041	-0,045	
	16	0,473		1,282		1,305		0,046	0,050	

sous: G

Moments et efforts tranchants dans les poutres

sous: P

NIV	trav.	l	q	M _w	M _e	T _w	T _e
III	1-2	6	1,642	3,487	4,751	4,715	-5,137
	2-3	6	1,642	4,623	4,623	4,926	-4,926
	3-4	6	1,642	4,751	3,487	5,137	-4,415
II	5-6	6	2,289	4,773	5,966	6,688	-7,066
	6-7	6	2,289	6,105	6,105	6,867	-6,867
	7-8	6	2,289	5,966	4,773	7,066	-6,668
I	9-10	6	2,289	5,294	5,931	6,761	-6,973
	10-11	6	2,289	6,132	6,132	6,867	-6,867
	11-12	6	2,289	5,931	5,294	6,973	-6,761
O	13-14	6	2,223	5,861	6,377	6,583	-6,755
	14-15	6	2,223	6,546	6,546	6,669	-6,669
	15-16	6	2,223	6,377	5,861	6,755	-6,583

NIV.	trav.	l	q	M _w	M _e	T _w	T _e
III	1-2	6	0,200	0,460	0,568	0,582	-0,618
	2-3	6	0,200	0,557	0,557	0,600	-0,600
	3-4	6	0,200	0,568	0,460	0,618	-0,582
II	5-6	6	0,350	1,137	0,777	1,110	-0,990
	6-7	6	0,350	0,877	0,877	1,050	-1,050
	7-8	6	0,350	0,777	1,137	0,990	-1,110
I	9-10	6	0,350	1,069	0,811	1,093	-1,007
	10-11	6	0,350	0,912	0,912	1,050	-1,050
	11-12	6	0,350	0,811	1,069	1,007	-1,093
O	13-14	6	0,388	1,305	1,176	1,186	-1,143
	14-15	6	0,388	1,262	1,262	1,164	-1,164
	15-16	6	0,388	1,176	1,305	1,143	-1,186

sous: G

Efforts normaux Dans les poteaux (Portique: LONG. Rive)

sous: P

NIV.	Pot.	T _w	T _e	N	N ^c
III	1-5		4,715	4,715	4,715
	2-6	-5,137	4,926	10,063	10,063
	3-7	-4,926	5,137	10,063	10,063
	4-8	-4,715		4,715	4,715
II	5-9		6,668	6,668	11,383
	6-10	-7,066	6,867	13,933	23,996
	7-11	-6,867	7,066	13,933	23,996
	8-12	-6,668		6,668	11,383
I	9-13		6,761	6,761	18,144
	10-14	-6,973	6,867	13,840	37,836
	11-15	-6,867	6,973	13,840	37,836
	12-16	-6,761		6,761	18,144
O	13-17		6,583	6,583	24,727
	14-18	-6,755	6,669	13,424	51,260
	15-19	-6,669	6,755	13,424	51,260
	16-20	-6,583		6,583	24,727

NIV.	Pot.	T _w	T _e	N	N ^c
III	1-5		0,582	0,582	0,582
	2-6	-0,618	0,600	1,218	1,218
	3-7	-0,600	0,618	1,218	1,218
	4-8	-0,582		0,582	0,582
II	5-9		1,110	1,110	1,692
	6-10	-0,990	1,050	2,040	3,258
	7-11	-1,050	0,990	2,040	3,258
	8-12	-1,110		1,110	1,692
I	9-13		1,093	1,093	2,785
	10-14	-1,007	1,050	2,057	5,315
	11-15	-1,050	1,007	2,057	5,315
	12-16	-1,093		1,093	2,785
O	13-17		1,186	1,186	3,971
	14-18	-1,143	1,164	2,307	7,622
	15-19	-1,164	1,143	2,307	7,622
	16-20	-1,186		1,186	3,971

Sous: G

MOMENTS AUX NOEUDS Portique: LONG. Inter. Sous: P

NIV	NOE	q _w	q _e	M' _w	M' _e	M _w	M _e	M _n	M _s
III	1		2,459		6,665		4,429		1,655
	2	2,459	2,459	8,467	6,665	7,361	7,065		-0,296
	3	2,459	2,459	6,665	8,467	7,065	7,361		0,296
	4	2,459		6,665		4,429			-1,655
II	5		2,271		6,156		4,745	0,926	1,044
	6	2,271	2,271	6,363	6,156	5,917	6,056	0,066	0,074
	7	2,271	2,271	6,156	6,363	6,056	5,917	-0,066	-0,074
	8	2,271		6,156		4,745		-0,926	-1,044
I	9		2,271		6,156		5,258	0,665	1,819
	10	2,271	2,271	6,156	6,156	5,882	6,083	0,054	0,147
	11	2,271	2,271	6,156	6,156	6,083	5,882	-0,054	-0,147
	12	2,271		6,156		5,258		-0,665	-1,819
O	13		2,433		6,595		5,864	1,480	1,610
	14	2,433	2,433	6,595	6,595	6,385	6,555	0,081	0,088
	15	2,433	2,433	6,595	6,595	6,555	6,385	-0,081	-0,088
	16	2,433		6,595		5,864		-1,480	-1,610

NIV	NOE	q _w	q _e	M' _w	M' _e	M _w	M _e	M _n	M _s
III	1			0,400		1,084		0,691	0,291
	2	0,400	0,400	1,377	1,084	1,206	1,154		-0,052
	3	0,400	0,400	1,084	1,377	1,154	1,206		0,052
	4	0,400		1,084		0,691			-0,291
II	5		0,700		1,897		1,690	0,136	0,153
	6	0,700	0,700	1,961	1,897	1,747	1,835	0,041	0,046
	7	0,700	0,700	1,897	1,961	1,835	1,747	-0,041	-0,046
	8	0,700		1,897		1,690		-0,136	-0,153
I	9		0,700		1,897		1,765	0,098	0,267
	10	0,700	0,700	1,897	1,897	1,759	1,860	0,021	0,074
	11	0,700	0,700	1,897	1,897	1,860	1,759	-0,021	-0,074
	12	0,700		1,897		1,765		-0,098	-0,267
O	13		0,871		2,361		2,177	0,372	0,405
	14	0,871	3,482	2,361	9,438	3,391	8,282	2,342	2,548
	15	3,482	0,871	9,438	2,361	8,282	3,391	-2,342	-2,548
	16	0,871		2,361		2,177		-0,372	-0,405

sous: G

Moments et efforts tranchants dans les poutres

sous: P

NIV	trav	l	q	M _w	M _e	T _w	T _e
III	1-2	6	2,459	4,423	7,361	6,888	-7,866
	2-3	6	2,459	7,065	7,065	7,377	-7,377
	3-4	6	2,459	7,361	4,423	7,866	-6,888
II	5-6	6	2,271	4,745	5,917	6,618	-7,008
	6-7	6	2,271	6,056	6,056	6,813	-6,813
	7-8	6	2,271	5,917	4,745	7,008	-6,618
I	9-10	6	2,271	5,258	5,882	6,709	-6,917
	10-11	6	2,271	6,083	6,083	6,813	-6,813
	11-12	6	2,271	5,882	5,258	6,917	-6,709
O	13-14	6	2,019	5,864	6,385	5,970	-6,144
	14-15	6	2,019	6,555	6,555	6,057	-6,057
	15-16	6	2,019	6,385	5,864	6,144	-5,970

NIV	trav.	l	q	M _w	M _e	T _w	T _e
III	1-2	6	0,400	0,691	1,206	1,114	-1,286
	2-3	6	0,400	1,154	1,154	1,200	-1,200
	3-4	6	0,400	1,206	0,691	1,286	-1,114
II	5-6	6	0,700	1,690	1,747	2,091	-2,110
	6-7	6	0,700	1,835	1,835	2,100	-2,100
	7-8	6	0,700	1,747	1,690	2,110	-2,091
I	9-10	6	0,700	1,765	1,759	2,101	-2,099
	10-11	6	0,700	1,860	1,860	2,100	-2,100
	11-12	6	0,700	1,759	1,765	2,099	-2,101
O	13-14	6	0,701	2,177	3,391	1,901	-2,305
	14-15	6	2,801	8,282	8,282	5,602	-5,602
	15-16	6	0,701	3,391	2,177	2,305	-1,901

sous : G

Efforts normaux dans les poteaux (Portique long. interm.)

sous : P

NIV.	Pot.	T_w	T_e	N	N^c
III	1-5		6,888	6,888	6,888
	2-6	-7,866	7,377	15,243	15,243
	3-7	-7,377	7,866	15,243	15,243
	4-8	-6,888		6,888	6,888
II	5-9		6,618	6,618	13,506
	6-10	-7,008	6,813	13,821	29,064
	7-11	-6,813	7,008	13,821	29,064
	8-12	-6,618		6,618	13,506
I	9-13		6,709	6,709	20,215
	10-14	-6,917	6,813	13,730	42,794
	11-15	-6,813	6,917	13,730	42,794
	12-16	-6,709		6,709	20,215
O	13-17		5,970	5,970	26,185
	14-18	-6,144	6,057	12,201	54,995
	15-19	-6,057	6,144	12,201	54,995
	16-20	-5,970		5,970	26,185

NIV.	Pot.	T_w	T_e	N	N^c
III	1-5		1,114	1,114	1,114
	2-6	-1,286	1,200	2,486	2,486
	3-7	-1,200	1,286	2,486	2,486
	4-8	-1,114		1,114	1,114
II	5-9		2,091	2,091	3,205
	6-10	-2,110	2,100	4,210	6,696
	7-11	-2,110	2,100	4,210	6,696
	8-12	-2,091		2,091	3,205
I	9-13		2,101	2,101	5,306
	10-14	-2,099	2,100	4,199	10,895
	11-15	-2,100	2,099	4,199	10,895
	12-16	-2,101		2,101	5,306
O	13-17		1,901	1,901	7,207
	14-18	-2,305	5,602	7,907	18,802
	15-19	-5,602	2,305	7,907	18,802
	16-20	-1,901		1,901	7,207

SuperPosition Des Sollicitations

Dans la justification de calcul relative à l'équilibre statique, à la résistance et à la stabilité de forme, on prend en compte les sollicitations dites sollicitations totales pondérées définies de la façon suivante :

- sollicitations totales pondérées du 1^{er} genre :

$$S_1 = (G) + 1,2(P) + (T)$$

$$S'_1 = (G) + (V) + (P) + (T)$$

- sollicitations pondérées du 2^{em}e genre :

$$S_2 = (G) + 1,5(P) + 1,5(V) + (T)$$

$$S'_2 = (G) + (P) + \gamma_w(W) + (T)$$

$$S''_2 = (G) + (P) + (T) + (SI)$$

avec :

(G) - sollicitation due à la charge permanente.

(P) - sollicitation due aux surcharges d'exploitation, y compris les majorations éventuelles pour les effets dynamiques.

(V) - sollicitation due aux surcharges climatiques normales.

(W) - sollicitation due aux surcharges climatiques extrêmes.

γ_w - coefficient qui dépend des surcharges d'exploitation.

(T) - sollicitation due aux effets de la température et au retrait

(SI) - sollicitation due au séisme.

NB :

Pour notre cas les sollicitations dues aux effets de la température et au retrait, ne sont pas pris en compte étant donné que la longueur de notre ouvrage ne dépasse pas 25 m.

La sollicitation pondérée du 1^{er} genre à considérer sera : $(G) + 1,2(P)$.

La sollicitation du 2^{em}e genre à considérer sera : $(G) + (P) + (SI)$, du fait que le séisme est prépondérant.

Les combinaisons du 2^{em}e genre données par le RPA 82 sont :

* Pour les Poutres : $\begin{cases} (G) + (P) + (SH) \\ 0,8(G) + (SH) \end{cases}$

* Pour les Poteaux : $\begin{cases} (G) + (P) + 1,2(SH) \\ 0,8G + (SH) \end{cases}$

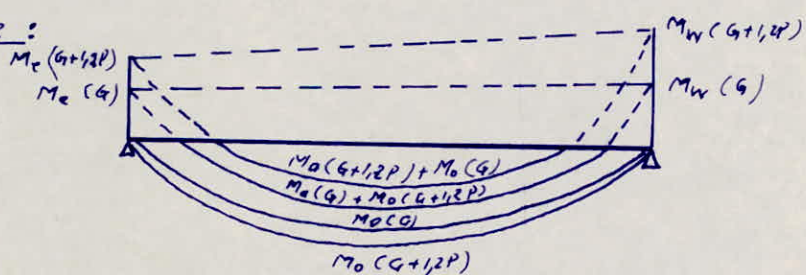
Moments en travées (C.C.B.A 68 Art. 12)

pour déterminer les moments en travées, on trace la courbe des moments de la travée indépendante complète de portée (ℓ) avec les charges permanentes, puis avec les charges permanentes et surcharges et on prend comme ligne de fermeture :

- pour les moments positifs celles qui joignent les moments d'appuis minimaux en valeurs absolues.
- pour les moments négatifs celle qui joint les moments d'appuis maximaux en valeurs absolues.

Et ceci dans chaque cas de charges en supposant que les surcharges peuvent être indépendantes les unes des autres.

Exemple :



on veut calculer le moment en travée sous $(G)+1,2(P)$, on calcule le moment isostatique sous $G+1,2P$: $M_o(G+1,2P)$

$$- \text{le moment en travée sera : } M_f = M_o(G+1,2P) - \frac{M_w(G) + M_e(G)}{2}$$

$$- \text{le moment en appui sera : } M_a = M_a(G) + M_a(1,2P)$$

Donc pour les poutres on a :

Moments en travées "M_f"

$$- \text{sous } (G)+1,2(P) \rightarrow M_f = M_o(G+1,2P) - \frac{M_w(G) + M_e(G)}{2}$$

$$- \text{sous } (G)+(P)+(SH) \rightarrow M_f = M_o(G+P) + M_f(SH) - \frac{M_w(G) + M_e(G)}{2}$$

$$- \text{sous } 0,8(G) + (SH) \rightarrow M_f = M_o(0,8G) + M_f(SH) - \frac{M_w(0,8G) + M_e(0,8G)}{2}$$

Moments aux appuis "M_a"

$$- \text{sous } (G)+1,2(P) \rightarrow M_a = M_a(G) + M_a(1,2P).$$

$$- \text{sous } (G)+(P)+(SH) \rightarrow M_a = M_a(G) + M_a(P) + M_a(SH).$$

$$- \text{sous } 0,8G + (SH) \rightarrow M_a = M_a(0,8G) + M_a(SH).$$

Efforts tranchants "T"

$$- \text{sous } (G)+1,2(P) \rightarrow T = T(G) + 1,2 T(P)$$

$$- \text{sous } (G)+(P)+(SH) \rightarrow T = T(G) + T(P) + T(SH)$$

$$- \text{sous } 0,8G + (SH) \rightarrow T = 0,8 T(G) + T(SH)$$

Moments Dans les poutres

partique: trans. rive

NIV.	trav.	G + P + SI			0,8 G + SI			G + 1,2 P			0,8 G + SI			G + P + SI		
		Mw	Mt	Me	Mw	Mt	Me	Mw	Mt	Me	Mw	Mt	Me	Mw	Mt	Me
III	1-2	3,088	1,325	-3,411	3,190	1,117	-3,177	-0,435	0,790	-0,998	-3,848	0,019	1,667	-3,950	0,227	1,433
	2-3	1,489	0,563	-3,355	1,709	0,398	-3,135	-0,941	0,577	-0,941	-3,135	0,398	1,709	-3,355	0,563	1,489
	3-4	1,433	0,227	-3,950	1,667	0,019	-3,848	-0,998	0,790	-0,435	-3,177	1,117	3,190	-3,411	1,325	3,088
II	5-6	6,744	2,611	-7,545	7,010	2,211	-7,134	-1,159	1,568	-1,794	-8,778	0,081	4,396	-9,044	0,481	3,985
	6-7	3,985	1,243	-7,545	4,396	0,903	-7,134	-1,794	1,265	-1,794	-7,134	0,903	4,396	-7,545	1,243	3,985
	7-8	3,985	0,481	-9,044	4,396	0,081	-8,778	-1,794	1,568	-1,159	-7,134	2,211	7,010	-7,545	2,611	6,744
I	9-10	6,447	2,052	-8,374	6,769	1,675	-7,963	-1,405	1,450	-1,794	-8,913	0,427	5,225	-9,235	0,804	4,814
	10-11	4,814	1,243	-8,374	5,225	0,903	-7,963	-1,794	1,265	-1,794	-7,963	0,903	5,225	-8,374	1,243	4,814
	11-12	4,814	0,804	-9,235	5,225	0,427	-8,913	-1,794	1,450	-1,405	-7,963	1,675	6,769	-8,374	2,052	6,447
O	13-14	-2,560	2,651	-3,024	-1,738	1,513	-2,053	-2,638	2,803	-3,116	-1,738	1,513	-2,053	-2,560	2,651	-3,024
	14-15	-3,024	2,454	-3,024	-2,053	1,355	-2,053	-3,116	2,606	-3,116	-2,053	1,355	-2,053	-3,024	2,454	-3,024
	15-16	-3,024	2,651	-2,560	-2,053	1,513	-1,738	-3,116	2,803	-2,638	-2,053	1,513	-1,738	-3,024	2,651	-2,560

Moments dans les poutres

portique : trans. intermédiaire

NIV.	trav.	$G + P + \vec{SI}$			$0,8G + \vec{SI}$			$G + 1,2P$			$0,8G + \vec{SI}$			$G + P + \vec{SI}$		
		M_w	M_f	M_e	M_w	M_f	M_e	M_w	M_f	M_e	M_w	M_f	M_e	M_w	M_f	M_e
III	1-2	3,103	1,333	-3,380	3,217	1,042	-3,118	-0,424	0,810	-0,976	-3,821	-0,026	1,726	-3,935	0,235	1,464
	2-3	1,518	0,585	-3,326	1,765	0,365	-3,079	-0,921	0,613	-0,921	-3,049	0,365	1,765	-3,326	0,587	1,518
	3-4	1,464	0,235	-3,935	1,726	-0,026	-3,821	-0,976	0,810	-0,424	-3,118	1,042	3,217	-3,380	1,333	3,103
II	5-6	4,333	1,906	-6,634	7,516	1,555	-6,351	-0,579	0,887	-0,896	-8,272	-0,575	5,179	-8,455	-0,224	4,896
	6-7	4,896	0,712	-6,634	5,179	0,386	-6,351	-0,896	0,758	-0,896	-6,351	0,386	5,179	-6,634	0,712	4,896
	7-8	4,896	-0,224	-8,455	5,179	-0,545	-8,272	-0,896	0,887	-0,579	-6,351	1,555	7,516	-6,634	1,906	7,333
I	9-10	7,161	1,415	-7,463	7,383	1,044	-7,180	-0,701	0,837	-0,896	-8,299	-0,174	6,008	-8,521	0,167	5,725
	10-11	5,725	0,712	-7,463	6,008	0,386	-7,180	-0,896	0,758	-0,896	-7,180	0,386	6,008	-7,463	0,712	5,725
	11-12	5,725	0,167	-8,521	6,008	-0,174	-8,299	-0,896	0,837	-0,701	-7,180	1,044	7,383	-7,463	1,415	7,161
O	13-14	-2,644	3,063	-3,454	-1,557	1,354	-1,839	-2,784	3,337	-3,685	-1,557	1,354	-1,839	-2,644	3,063	-3,454
	14-15	-5,272	4,001	5,272	-1,839	1,213	-1,839	-5,867	8,097	-5,867	-1,839	1,213	-1,839	-5,272	4,001	-5,272
	15-16	-3,454	3,063	-2,644	-1,839	1,354	-1,557	-3,685	3,337	-2,784	-1,839	1,354	-1,557	-3,454	3,063	-2,644

Moments dans les poutres

portique : LONG. rive

NIV	trav.	G + P + $\vec{S}I$			0,8 G + $\vec{S}I$			G + 1,2 P			0,8 G + $\vec{S}I$			G + P + $\vec{S}I$		
		Mw	Mt	Me	Mw	Mt	Me	Mw	Mt	Me	Mw	Mt	Me	Mw	Mt	Me
III	1-2	-0,704	4,615	-7,672	0,453	3,063	-6,154	-4,039	4,350	-5,433	-6,033	2,173	-1,448	-7,190	3,725	-2,966
	2-3	-2,827	3,666	-7,533	-1,345	2,215	-6,051	-5,297	3,846	-5,291	-6,051	2,215	-1,345	-7,533	3,666	-2,827
	3-4	-2,966	3,725	-7,190	-1,448	2,173	-6,033	-5,433	4,350	-4,039	-6,154	3,063	0,453	-7,672	4,615	-0,704
II	5-6	2,184	3,753	-12,344	4,276	5,191	-10,374	-6,137	6,821	-6,898	-11,912	2,697	0,828	-14,004	5,259	-1,142
	6-7	-1,381	5,771	-12,583	0,717	3,356	-10,485	-7,157	6,086	-7,157	-10,485	3,356	0,717	-12,583	5,771	-1,381
	7-8	-1,142	5,259	-14,004	0,828	2,697	-11,912	-6,898	6,821	-6,137	-10,374	5,191	4,276	-12,344	7,753	2,184
I	9-10	1,650	6,980	-13,321	3,778	4,467	-11,324	-6,577	6,578	-6,904	-12,248	3,033	1,834	-14,376	5,546	-0,163
	10-11	-0,465	5,744	-13,623	1,673	3,334	-11,485	-7,226	6,059	-7,226	-11,485	3,334	1,673	-13,623	5,744	-0,465
	11-12	-0,163	5,546	-14,376	1,834	3,033	-12,248	-6,904	6,578	-6,577	-11,324	4,467	3,778	-13,321	6,980	1,650
O	13-14	-7,166	6,945	-7,553	-4,689	3,853	-5,102	-7,427	7,372	-7,788	-4,689	3,853	-5,102	-7,166	6,945	-7,553
	14-15	-7,808	6,518	-7,808	-5,237	3,511	-5,237	-8,060	6,945	-8,060	-5,237	3,511	-5,237	-7,808	6,518	-7,808
	15-16	-7,553	6,945	-7,166	-5,102	3,853	-4,689	-7,488	7,372	-7,427	-5,102	3,853	-4,689	-7,553	6,945	-7,166

Moments dans les poutres

portique : LONG. Intermediaire

NIV.	élev.	$G + P + \vec{SI}$			$0,8G + \vec{SI}$			$G + 1,2P$			$0,8G + \vec{SI}$			$G + P + \vec{SI}$		
		Mw	M _f	Me	Mw	M _f	Me	Mw	M _f	Me	Mw	M _f	Me	Mw	M _f	Me
III	1-2	-1,877	7,416	-10,920	-0,300	4,581	-8,242	-5,258	7,331	-8,808	-6,786	3,691	-3,536	-8,363	6,526	-6,214
	2-3	-5,866	5,801	-10,572	-3,299	3,200	-8,005	-8,450	6,161	-8,450	-8,005	3,200	-3,299	-10,572	5,801	-5,866
	3-4	-6,214	6,526	-8,363	-3,536	3,691	-6,786	-8,808	7,331	-5,258	-8,242	4,581	-0,300	-10,920	7,416	-1,187
II	5-6	1,659	9,285	-13,265	4,298	5,159	-10,335	-6,773	8,669	-8,013	-11,890	2,665	0,867	-14,529	6,792	-2,063
	6-7	-2,290	7,314	-13,492	0,756	3,332	-10,446	-8,258	7,944	-8,258	-10,446	3,332	0,756	-13,492	7,314	-2,290
	7-8	-2,063	6,792	-14,529	0,867	2,665	-11,890	-8,013	8,669	-6,773	-10,335	5,159	4,298	-13,265	9,285	1,659
I	9-10	0,990	8,517	-14,220	3,807	4,438	-11,285	-7,376	8,430	-7,993	-12,219	3,004	1,873	-15,036	7,083	-1,062
	10-11	-1,364	7,287	-14,522	1,713	3,311	-11,445	-8,315	7,917	-8,315	-11,445	3,311	1,713	-14,522	7,287	-1,364
	11-12	-1,062	7,083	-15,036	1,873	3,004	-12,219	-7,993	8,430	-7,376	-11,285	4,438	3,807	-14,220	8,517	0,990
O	13-14	-8,041	8,743	-9,776	-4,691	3,857	-5,108	-8,476	9,526	-10,454	-4,691	3,857	-5,108	-8,041	8,743	-9,776
	14-15	-14,837	20,063	-14,837	-5,244	3,513	-5,244	-16,493	23,195	-16,493	-5,244	3,513	-5,244	-14,837	20,063	-14,837
	15-16	-9,776	8,743	-8,041	-5,108	3,857	-4,691	-10,454	9,526	-8,476	-5,108	3,857	-4,691	-9,776	8,743	-8,041

Efforts tranchants dans les poutrestrans. Rive

Sollicit.	G + P + $\vec{S}I$		0,8 G + $\vec{S}I$		G + 1,2 P		0,8 G + $\vec{S}I$		G + P + $\vec{S}I$		
NIV	trav.	T _w	T _e	T _w	T _e	T _w	T _e	T _w	T _e	T _w	T _e
III	1-2	-0,170	2,804	-0,481	2,428	1,327	1,607	2,489	0,006	2,800	0,382
	2-3	0,261	2,683	-0,101	2,321	1,489	1,489	2,321	-0,101	2,683	0,261
	3-4	0,382	2,800	0,006	2,489	1,607	1,327	2,428	-0,481	2,804	-0,170
II	5-6	-0,618	5,995	-1,264	5,277	2,819	3,136	5,566	-0,489	6,212	0,229
	6-7	0,071	5,837	-0,611	5,155	2,977	2,977	5,155	-0,611	5,837	0,071
	7-8	0,229	6,212	-0,489	5,566	3,136	2,819	5,277	-1,264	5,995	-0,618
I	9-10	-0,752	6,348	-1,411	5,643	2,879	3,075	5,807	-0,951	6,466	-0,246
	10-11	-0,343	6,251	-1,025	5,569	2,977	2,977	5,569	-1,025	6,251	-0,343
	11-12	-0,246	6,466	-0,951	5,807	3,075	2,879	5,643	-1,411	6,348	-0,752
O	13-14	4,395	4,627	3,040	3,198	4,514	4,753	3,040	3,198	4,395	4,627
	14-15	4,510	4,510	3,118	3,118	4,632	4,632	3,118	3,118	4,510	4,510
	15-16	4,627	4,395	3,198	3,040	4,753	4,514	3,198	3,040	4,627	4,395

Long. Rive

Sollicit.	G + P + $\vec{S}I$		0,8 G + $\vec{S}I$		G + 1,2 P		0,8 G + $\vec{S}I$		G + P + $\vec{S}I$		
NIV	trav.	T _w	T _e	T _w	T _e	T _w	T _e	T _w	T _e	T _w	T _e
III	1-2	4,364	6,539	2,839	4,1894	5,413	5,879	4,705	3,326	6,230	4,971
	2-3	4,732	6,310	3,157	4,725	5,646	5,646	4,725	3,157	6,310	4,742
	3-4	4,971	6,230	3,326	4,705	5,879	5,413	4,894	2,839	6,539	4,364
II	5-6	5,495	9,923	3,051	7,520	8,000	8,254	7,617	3,786	10,061	6,189
	6-7	6,050	9,784	3,627	7,361	8,127	8,127	7,361	3,627	9,784	6,050
	7-8	6,189	10,061	3,786	7,617	8,254	8,000	7,520	3,051	9,923	5,495
I	9-10	5,422	10,173	2,977	7,771	8,073	8,181	7,841	3,385	10,286	5,787
	10-11	5,724	10,110	3,301	7,687	8,127	8,127	7,687	3,301	10,110	5,724
	11-12	5,787	10,286	3,385	7,841	8,181	8,073	7,771	2,977	10,173	5,422
O	13-14	7,769	7,898	5,266	5,404	8,006	8,127	5,266	5,404	7,769	7,898
	14-15	7,833	7,833	5,335	5,335	8,066	8,066	5,335	5,335	7,833	7,833
	15-16	7,898	7,769	5,404	5,266	8,127	8,006	5,404	5,266	7,898	7,769

Efforts tranchants Dans les Poutres

trans. intermédiaire

Sollicit.	G + P + $\vec{S}I$		0,8G + $\vec{S}I$		G + 1,2P		0,8G + $\vec{S}I$		G + P + $\vec{S}I$		
Niv.	trav.	T _w	T _e	T _w	T _e	T _w	T _e	T _w	T _e		
III	1-2	-0,212	2,492	-0,561	2,332	1,297	1,617	2,409	-0,090	2,758	0,370
	2-3	0,197	2,619	-0,189	2,333	1,434	1,434	2,233	-0,189	2,619	0,197
	3-4	0,370	2,758	-0,090	2,409	1,617	1,297	2,332	-0,591	2,792	-0,212
II	5-6	-2,048	4,404	-2,494	3,908	1,410	1,569	4,336	-1,858	4,782	-1,362
	6-7	-1,439	4,327	-1,910	3,856	1,490	1,490	3,856	-1,910	4,327	-1,439
	7-8	-1,362	4,782	-1,858	4,336	1,569	1,410	3,908	-2,494	4,404	-2,048
I	9-10	-2,212	4,789	-2,668	4,302	1,441	1,539	4,550	-2,292	5,006	-1,805
	10-11	-1,793	4,801	-2,324	4,270	1,562	1,562	4,270	-2,324	4,801	-1,793
	11-12	-1,805	5,006	-2,292	4,550	1,539	1,441	4,302	-2,668	4,789	-2,212
O	13-14	3,964	4,369	2,403	2,544	4,156	4,606	2,403	2,544	3,964	4,368
	14-15	7,392	7,392	2,474	2,474	8,252	8,252	2,474	2,474	7,392	7,392
	15-16	4,368	3,964	2,544	2,403	4,606	4,156	2,544	2,403	4,368	3,964

LONG. Intermediaire

Sollicit.	G + P + $\vec{S}I$		0,8G + $\vec{S}I$		G + 1,2P		0,8G + $\vec{S}I$		G + P + $\vec{S}I$		
Niv.	trav.	T _w	T _e	T _w	T _e	T _w	T _e	T _w	T _e		
III	1-2	7,069	9,936	4,577	7,077	8,225	9,409	6,443	5,509	8,935	8,368
	2-3	7,793	9,361	5,118	6,686	8,817	8,817	6,686	5,118	9,361	7,793
	3-4	8,368	8,935	5,509	6,443	9,409	8,225	7,077	4,577	9,936	7,069
II	5-6	6,426	10,935	3,011	7,473	9,127	9,540	7,577	3,739	10,992	7,251
	6-7	7,046	10,780	3,583	7,317	9,333	9,333	7,317	3,583	10,780	7,046
	7-8	7,251	10,992	3,739	7,577	9,540	9,127	7,473	3,011	10,985	6,426
I	9-10	6,378	11,209	2,935	7,727	9,230	9,436	7,799	3,341	11,242	6,823
	10-11	6,720	11,106	3,257	7,643	9,333	9,333	7,643	3,257	11,106	6,720
	11-12	6,823	11,242	3,341	7,799	9,436	9,230	7,727	2,935	11,209	6,378
O	13-14	7,871	8,449	4,776	4,915	8,251	8,910	4,776	4,915	7,871	8,449
	14-15	11,659	11,659	4,846	4,846	12,779	12,779	4,846	4,846	11,659	11,659
	15-16	8,449	7,851	4,915	4,776	8,910	8,251	4,915	4,776	8,449	7,871

RiveMoments Dans les Poteaux - Portiques trans.

SOLlicit	G + P + 1,2 SI		0,8 G + SI		G + 1,2 P		0,8 G + SI		G + P + 1,2 SI		
NIV.	POT.	Msup	Minf	Msup	Minf	Msup	Minf	Msup	Minf	Msup	Minf
III	1-5	-3,792	-2,290	-3,190	-1,943	0,435	0,544	3,848	2,773	4,654	3,370
	2-6	5,868	4,768	4,885	3,973	0,057	0	-4,801	-3,973	-5,756	-4,768
	3-7	-5,756	-4,768	-4,801	-3,973	0,057	0	4,885	9,973	5,868	4,768
	4-8	4,654	3,370	3,848	2,773	0,435	0,544	-3,190	-1,943	-3,792	-2,290
II	5-9	-6,034	-5,076	-5,068	-4,254	0,614	0,376	6,004	4,828	7,252	5,822
	6-10	9,068	9,068	7,557	7,557	0	0	-7,557	-7,557	-9,068	-9,068
	7-11	9,068	9,068	7,557	7,557	0	0	-7,557	-7,557	-9,068	-9,068
	8-12	7,252	5,822	6,004	4,828	0,614	0,376	-5,068	-4,254	-6,034	-5,076
I	9-13	-2,939	-11,264	-2,515	-9,576	1,029	1,263	4,085	11,240	4,981	13,716
	10-14	6,757	14,596	5,631	12,163	0	0	-5,631	-12,163	-6,757	-14,596
	11-15	6,757	14,596	5,631	12,163	0	0	-5,631	-12,163	-6,757	-14,596
	12-16	4,981	13,716	4,085	11,240	1,029	1,263	-2,515	-9,576	-2,939	-11,264
O	13-17	-13,823	-11,156	-11,314	-9,502	1,374	1,374	9,502	11,314	11,156	13,823
	14-18	14,596	14,596	12,163	12,163	0	0	-12,163	-12,163	-14,596	-14,596
	15-19	14,596	14,596	12,163	12,163	0	0	-12,163	-12,163	-14,596	-14,596
	16-20	11,156	13,823	9,502	11,314	1,374	1,374	-11,314	-9,502	-13,823	-11,156

Intermediaire

SOLlicit	G + P + 1,2 SI		0,8 G + SI		G + 1,2 P		0,8 G + SI		G + P + 1,2 SI		
NIV.	POT.	Msup	Minf	Msup	Minf	Msup	Minf	Msup	Minf	Msup	Minf
III	1-5	-3,807	-2,566	-3,217	-2,180	0,424	0,272	3,821	2,536	4,639	3,094
	2-6	5,866	4,768	4,882	3,973	0,055	0	-4,804	-3,973	-5,758	-4,768
	3-7	-5,758	-4,768	-4,804	-3,973	0,055	0	4,882	3,973	5,866	4,768
	4-8	4,639	3,094	3,821	2,536	0,424	0,272	-3,217	-2,180	-3,807	-2,566
II	5-9	-6,346	-5,267	-5,336	-4,419	0,306	0,188	5,736	4,663	6,940	5,631
	6-10	9,068	9,068	7,557	7,557	0	0	-7,557	-7,557	-9,068	-9,068
	7-11	9,068	9,068	7,557	7,557	0	0	-7,557	-7,557	-9,068	-9,068
	8-12	6,940	5,631	5,736	4,663	0,306	0,188	-5,336	-4,419	-6,346	-5,267
I	9-13	-3,461	-11,224	-2,964	-9,662	0,515	1,333	3,636	11,154	4,459	13,756
	10-14	6,757	13,725	5,631	12,163	0	1,045	-5,631	-12,163	-6,567	-15,467
	11-15	6,757	15,467	5,631	12,163	0	1,045	-5,631	-12,163	-6,567	-13,725
	12-16	4,459	13,756	3,636	11,154	0,515	1,333	-2,964	-9,662	-3,461	-11,224
O	13-17	-13,867	-11,112	-11,219	-9,597	1,471	1,471	9,597	11,219	11,112	13,867
	14-18	15,543	13,648	12,163	12,163	1,138	1,138	-12,163	-12,163	-13,648	-15,543
	15-19	13,648	15,543	12,163	12,163	1,138	1,138	-12,163	-12,163	-15,543	-13,648
	16-20	11,112	13,867	9,597	11,219	1,471	1,471	-11,219	-9,597	-13,867	-11,112

Rive:

Moments Dans les Poteaux_Portique LONG.

Sollicit.	G + P + 1,2 SI		0,8 G + SI		G + 1,2 P		0,8 G + SI		G + P + 1,2 SI		
Niv.	PoT.	Msup.	Minf.	Msup.	Minf.	Msup.	Minf.	Msup.	Minf.	Msup.	Minf.
III	1-5	-3,119	-2,376	-2,673	-1,908	0,785	0,791	3,813	3,412	4,665	4,008
	2-6	5,785	4,519	4,807	3,807	0,141	-0,121	-4,603	-3,911	-5,507	-4,743
	3-7	-5,507	-4,743	-4,603	-3,911	0,141	-0,121	4,807	3,807	5,785	4,519
	4-8	4,665	4,008	3,813	3,412	0,785	0,791	-2,673	-1,908	-3,119	-2,376
II	5-9	-5,600	-5,037	-4,586	-4,146	0,893	0,567	6,282	5,224	7,442	6,207
	6-10	-8,683	-8,729	-7,283	-7,299	0,138	0,086	7,401	7,385	8,937	8,891
	7-11	8,937	8,891	7,401	7,385	0,138	0,086	-7,283	-7,299	-8,683	-8,729
	8-12	7,442	6,207	6,282	5,224	0,893	0,567	-4,586	-4,146	-5,600	-5,037
I	9-13	-2,392	-10,551	-1,852	-8,803	1,553	1,442	4,804	11,167	5,596	13,413
	10-14	-6,757	-12,808	-5,697	-10,793	0,236	0,130	5,933	10,923	7,199	13,152
	11-15	7,199	13,152	5,933	10,923	0,236	0,130	-5,697	-10,793	-6,757	-12,908
	12-16	5,596	13,413	4,804	11,167	1,553	1,442	-1,852	-8,803	-2,392	-10,551
O	13-17	-13,537	-10,427	-11,269	-8,380	1,545	1,545	8,380	11,269	10,427	13,537
	14-18	-13,162	-12,897	-10,928	-10,788	0,142	0,142	10,788	10,928	12,897	+13,162
	15-19	12,897	13,163	10,788	10,928	0,142	0,142	-10,928	-10,788	-13,162	-12,897
	16-20	10,427	13,537	8,380	11,269	1,545	1,545	-11,269	-8,380	-13,537	-10,427

Intermediaire :

Sollicit.	G + P + 1,2 SI		0,8 G + SI		G + 1,2 P		0,8 G + SI		G + P + 1,2 SI		
Niv.	PoT.	Msup	Minf	Msup	Minf	Msup	Minf	Msup	Minf	Msup	Minf
III	1-5	-1,946	-2,130	-1,919	-1,919	2,004	1,089	4,567	3,401	5,838	4,254
	2-6	5,994	4,524	4,942	3,806	0,358	-0,115	-4,468	-3,912	-5,298	-4,738
	3-7	-5,298	-4,738	-4,468	-3,912	0,358	-0,115	4,942	3,806	5,994	4,524
	4-8	5,838	4,255	4,567	3,401	2,004	1,089	-1,919	-1,919	-1,946	-2,130
II	5-9	-5,324	-4,859	-4,599	-4,153	1,228	0,783	6,269	5,214	7,718	6,385
	6-10	-8,690	-8,729	-7,283	-7,299	0,129	0,086	7,401	7,385	8,930	8,891
	7-11	8,930	8,891	7,401	7,385	0,129	0,086	-7,283	-7,299	-8,690	-8,729
	8-12	7,718	6,385	6,269	5,214	1,228	0,783	-4,599	-4,153	-5,324	-4,859
I	9-13	-1,908	-10,130	-1,873	-8,801	2,139	1,926	4,783	11,169	6,080	13,834
	10-14	-6,757	-10,607	-5,697	-10,793	0,236	2,891	5,933	10,923	7,199	15,453
	11-15	7,199	15,453	5,933	10,923	0,236	2,891	-5,697	-10,793	-6,757	-10,607
	12-16	6,080	13,834	4,783	11,169	2,139	1,926	-1,873	-8,801	-1,908	-10,130
O	13-17	-13,997	-9,967	-11,273	-8,697	2,087	2,087	8,697	11,273	9,967	13,997
	14-18	-15,665	-10,394	-10,928	-10,788	3,146	3,146	10,788	10,928	10,394	15,665
	15-19	10,394	15,665	10,788	10,928	3,146	3,146	-10,928	-10,788	-15,665	-10,394
	16-20	9,967	13,997	8,697	11,273	2,087	2,087	-11,273	-8,697	-13,997	-9,967

77

Efforts Normaux dans les poteaux. Portique: transverse

Sollicitation		$G + P + 1,2 \overrightarrow{SI}$		$0,8G + \overrightarrow{SI}$		$G + 1,2P$		$0,8G + \overleftarrow{SI}$		$G + P + 1,2 \overleftarrow{SI}$	
Niv.	Poteau	$N(+)$	$N^c(+)$	$N(+)$	$N^c(+)$	$N(+)$	$N^c(+)$	$N(+)$	$N^c(+)$	$N(+)$	$N^c(+)$
III	1-5	-0,467	-0,467	-0,481	-0,481	1,327	1,327	2,489	2,489	3,097	3,097
	2-6	3,394	3,394	2,601	2,601	3,096	3,096	2,053	2,053	2,736	2,736
	3-7	2,736	2,736	2,053	2,053	3,096	3,096	2,601	2,601	3,394	3,394
	4-8	3,097	3,097	2,489	2,489	1,327	1,327	-0,481	-0,481	-0,467	-0,467
II	5-9	-1,301	-1,768	-1,264	-1,745	2,819	4,146	5,566	8,055	6,895	9,992
	6-10	6,704	10,098	5,198	7,799	6,113	9,209	4,134	6,187	5,428	8,164
	7-11	5,428	8,164	4,134	6,187	6,113	9,209	5,198	7,799	6,704	10,098
	8-12	6,895	9,992	5,566	8,055	2,819	4,146	-1,264	-1,745	-1,301	-1,768
I	9-13	-1,474	-3,242	-1,411	-3,156	2,879	7,025	5,807	13,862	7,188	17,180
	10-14	6,379	16,478	4,930	12,729	6,051	15,260	4,306	10,493	5,631	13,794
	11-15	5,693	13,974	4,306	10,493	6,051	15,260	4,930	12,729	6,379	16,478
	12-16	7,188	17,180	5,807	13,862	2,879	7,025	-1,411	-3,156	-1,474	-3,242
O	13-17	4,395	1,153	3,040	-0,116	4,514	11,539	3,040	16,902	4,395	21,575
	14-18	9,137	25,615	6,316	19,045	9,385	24,646	6,316	16,809	9,137	22,931
	15-19	9,137	22,931	6,316	16,809	9,385	24,646	6,316	19,045	9,137	25,615
	16-20	4,395	21,575	3,040	16,902	4,514	11,539	3,040	-0,116	4,395	1,153

Efforts Normaux Dans les Poteaux.

Portique: trans. Interm.

Sollicitation		$G + P + 1,2 \vec{S}I$		$0,8G + \vec{S}I$		$G + 1,2P$		$0,8G + \vec{S}I$		$G + P + 1,2 \vec{S}I$	
NIV.	Poteau	$N(t)$	$N^c(t)$	$N(t)$	$N^c(t)$	$N(t)$	$N^c(t)$	$N(t)$	$N^c(t)$	$N(t)$	$N^c(t)$
III	1-5	-0,509	-0,509	-0,561	-0,561	1,294	1,294	2,409	2,409	3,055	3,055
	2-6	3,318	3,318	2,417	2,417	3,051	3,051	1,869	1,869	2,660	2,660
	3-7	2,660	2,660	1,869	1,869	3,051	3,051	2,417	2,417	3,318	3,318
	4-8	3,055	3,055	2,409	2,409	1,294	1,294	-0,561	-0,561	-0,509	-0,509
II	5-9	-2,737	-3,240	-2,494	-3,055	1,410	2,407	4,336	6,745	5,465	8,520
	6-10	3,603	6,921	2,530	4,947	3,059	6,110	1,466	3,335	2,324	4,987
	7-11	2,327	4,987	1,466	3,335	3,059	6,110	2,530	4,947	3,603	6,921
	8-12	5,465	8,520	4,336	6,745	1,410	2,407	-2,494	-3,055	-2,737	-3,240
I	9-13	-2,934	-6,174	-2,668	-5,723	1,441	4,148	4,550	11,295	5,728	14,248
	10-14	3,370	10,292	2,290	7,236	3,101	9,210	1,666	5,000	2,622	7,608
	11-15	2,622	7,608	1,666	5,000	3,101	9,210	2,290	7,236	3,370	10,292
	12-16	5,728	14,248	4,550	11,295	1,441	4,148	-2,668	-5,723	-2,934	-6,174
O	13-17	3,964	-2,210	2,403	-3,32	4,156	8,304	2,403	13,698	3,964	18,212
	14-18	11,760	22,052	5,018	12,254	12,858	22,068	5,018	10,018	11,760	19,368
	15-19	11,760	19,368	5,018	10,018	12,858	22,068	5,018	12,254	11,760	22,052
	16-20	3,964	18,212	2,403	13,698	4,156	8,304	2,403	-3,320	3,964	-2,210

Efforts Normaux Dans les poteaux Portique: LONG.Rive

Sollicitation		$G + P + 1,2 \vec{S}I$		$0,8G + \vec{S}I$		$G + 1,2P$		$0,8G + \vec{S}I$		$G + P + 1,2 \vec{S}I$	
NIV	Poteau.	$N(t)$	$N^c(t)$	$N(t)$	$N^c(t)$	$N(t)$	$N^c(t)$	$N(t)$	$N^c(t)$	$N(t)$	$N^c(t)$
III	1-5	4,177	4,177	2,839	2,839	5,413	5,413	4,705	4,705	6,417	6,417
	2-6	11,460	11,460	8,199	8,199	11,525	11,525	7,901	7,901	11,102	11,102
	3-7	11,102	11,102	7,901	7,901	11,525	11,525	8,199	8,199	11,460	11,460
	4-8	6,417	6,417	4,705	4,705	5,413	5,413	2,839	2,839	4,177	4,177
II	5-9	5,038	9,216	3,051	5,890	8,000	13,413	7,617	12,322	10,518	16,934
	6-10	16,472	24,873	11,562	19,413	16,381	27,906	10,730	18,681	15,474	26,635
	7-11	15,474	26,635	10,730	18,681	16,381	27,906	11,562	19,713	16,472	27,873
	8-12	10,518	16,934	7,617	12,322	8,000	13,413	3,051	5,890	5,038	9,216
I	9-13	4,936	14,151	2,977	8,867	8,073	21,486	7,841	20,163	10,772	27,407
	10-14	16,184	44,057	11,311	31,024	16,308	44,214	10,833	29,514	15,610	42,235
	11-15	15,610	42,245	10,833	29,514	16,308	44,214	11,311	31,024	16,184	44,057
	12-16	10,772	27,407	7,841	20,163	8,073	21,486	2,977	8,867	4,936	14,151
O	13-17	7,769	21,920	5,266	14,133	8,006	29,489	5,266	25,429	7,769	35,476
	14-18	15,731	59,788	10,739	41,763	16,192	60,406	10,739	40,253	15,731	57,966
	15-19	15,731	57,966	10,739	40,253	16,192	60,406	10,739	41,763	15,731	59,788
	16-20	7,769	35,496	5,266	25,429	8,006	29,492	5,266	14,133	7,769	21,920

Efforts Normaux Dans les poteaux

Partique: LONG. Interm.

Sollicitation		G + P + 1,2 \vec{S} I		0,8 G + \vec{S} I		G + 1,2 P		0,8 G + \vec{S} I		G + P + 1,2 \vec{S} I	
Niv.	Poteau	N(t)	N ^c (t)	N(t)	N ^c (t)	N(t)	N ^c (t)	N(t)	N ^c (t)	N(t)	N ^c (t)
III	1-5	6,882	6,882	4,577	4,577	8,225	8,225	6,443	6,443	9,122	9,122
	2-6	17,908	17,908	12,343	12,343	18,226	18,226	12,045	12,045	17,550	17,550
	3-7	17,550	17,550	12,045	12,045	18,226	18,226	12,343	12,343	17,908	17,908
	4-8	9,122	9,122	6,443	6,443	8,225	8,225	4,577	4,577	6,882	6,882
II	5-9	5,969	12,852	3,011	7,589	9,127	17,352	7,577	14,021	11,449	20,570
	6-10	18,530	36,379	11,473	23,767	18,873	37,099	10,641	22,735	17,532	35,141
	7-11	17,532	35,141	10,641	22,735	18,873	37,099	11,473	23,767	18,530	36,379
	8-12	11,449	20,570	7,577	14,021	9,127	17,352	3,011	7,589	5,969	12,852
I	9-13	5,892	18,743	2,935	10,524	9,230	26,582	7,799	21,820	11,728	32,299
	10-14	18,216	54,595	11,223	34,990	18,769	55,868	10,745	33,480	17,642	52,783
	11-15	17,642	52,783	10,745	33,480	18,769	55,868	11,223	34,990	18,216	54,595
	12-16	11,728	32,299	7,799	21,820	9,230	26,582	2,935	10,524	5,892	18,743
O	13-17	7,871	26,614	4,776	15,300	8,251	34,833	4,776	26,596	7,871	40,170
	14-18	20,108	74,703	9,761	44,751	21,689	77,557	9,761	43,241	20,108	72,891
	15-19	20,108	72,891	9,761	43,241	21,689	77,557	9,761	44,751	20,108	74,703
	16-20	7,871	40,170	4,776	26,596	8,251	34,833	4,776	15,300	7,871	26,614

Ferraillage Des Portiques

* Prescription (R.P.A 81)

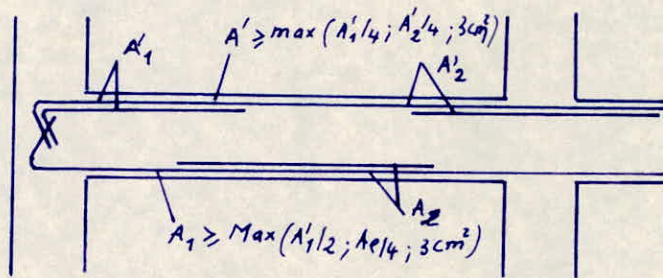
Notre bâtiment étant constitué par une ossature auto-stable, donc toutes les prescriptions relatives à ce type d'ossature en zone II (Art. A2, R.P.A 81) doivent être respectées.

* Art. 4.2 - R.P.A 81 :

A/ Poutres:

A.1) Armatures longitudinales:

- le % minimum des aciers longitudinaux sur toute la longueur de la poutre doit être de 0,3% pour les aciers haute adhérence et de 0,5% pour les aciers doux.
- le % total maximum des aciers longitudinaux doivent être de 2,5%.
- les poutres supportant les charges verticales des planchers doivent comporter des armatures filantes supérieures et inférieures d'une section minimale indiquée sur la figure suivante:



- les poutres de faibles charges verticales et sollicitées principalement par les forces latérales sismiques doivent avoir des armatures symétriques avec une section en travée au moins égale à la moitié de la section sur appui.
- les jonctions par recouvrement doivent pouvoir équilibrer la force de traction maximale des barres.

A-2 / Espacement:

L'espacement maximum entre les armatures transversales doit être déterminé comme suit :

- dans la Zone nodale et en travée si les armatures comprimées sont nécessaires $t \leq \min(h/4; 12\phi; 30\text{ cm})$
- En dehors de la Zone nodale : $t \leq h/2$.
avec ϕ : le plus petit diamètre calculé.

A-3/ Armatures transversales :

les quantité min. doit être de : $A_t = 0,003 \cdot t \cdot b$

B/ poteaux :

B-1/ Armatures longitudinales :

- les armatures longitudinales doivent être des barres à haute adhérence.
- les barres verticales doivent être droites sans crochets.
- le % minimum est de 1% en Zone II, sans toutefois dépasser 4%.
- le diamètre minimum est de : 14 mm en Zones II et III.
- la distance entre les barres verticales dans une face du poteau ne doit pas dépasser 25 cm en Zone II.
- les jonctions par recouvrement doivent être faible, si possible, à l'extérieur des zones des noeuds.

B-2/ Armatures transversales :

Elles sont calculées avec la formule : $A_t = \frac{1,25 \cdot T \cdot t}{h_g \cdot b_{\text{ent}}}$

où $T = 2$ fois l'effort tranchant de calcul si l'élancement dans la direction considérée est ≥ 15 .

= 3 fois l'effort tranchant de calcul si l'élancement dans la direction considérée est < 15 .

la quantité d'armatures transversales minimale est donnée par :

$$A_t = 0,004 \cdot S \cdot b \text{ en Zone II.}$$

B-3/ Espacement : l'espacement maximum est donné par :

- dans la zone nodale (y compris la hauteur du noeud)

$$t \leq \min(10 \phi_e, 15 \text{ cm}) \rightarrow \text{en Zone II.}$$

- dans la zone courante :

$$t \leq 12 \phi_e \rightarrow \text{en Zone II.}$$

ϕ_e : est le plus petit diamètre des armatures longitudinales.

A/ Ferraillage des poutres :

conformément à l'art. A 15 du C.C.B.A 68 il ne sera pas fait état dans les calculs des efforts normaux dans les poutres, les poutres seront donc ferraillees en flexion simple sous la plus défavorable des combinaisons SP₁ et SP₂.

pour ce qui est du choix de la sollicitation la plus défavorable, on considérera la plus grande de 1,5 M(SP₁) et M^{max}(SP₂).

M^{max}(SP₂): le moment le plus défavorable des combinaisons du 2^eme genre.

la méthode de détermination des aciers sera celle de M^f.P.CHARRON.

$$\text{- sous } SP_1 \rightarrow \bar{\sigma}_a = 2800 \text{ kg/cm}^2; \bar{\sigma}'_b = 137 \text{ kg/cm}^2.$$

$$\text{- sous } SP_2 \rightarrow \bar{\sigma}_a = 4200 \text{ kg/cm}^2; \bar{\sigma}'_b = 205,5 \text{ kg/cm}^2.$$

Calcul des armatures longitudinales :

$$\text{on calcule } M = \frac{15M}{\bar{\sigma}_a \cdot b \cdot h^2} \xrightarrow{\text{tab.}} k, \epsilon \rightarrow G'_b = \bar{\sigma}_a / k.$$

- si $G'_b \leq \bar{\sigma}'_b$ les armatures comprimées ne sont pas nécessaires ($A=0$)

la section des armatures tendues est donnée par: $A = \frac{M}{\bar{\sigma}_a \cdot \epsilon \cdot h}$

- si $\bar{\sigma}'_b > \bar{\sigma}_a$, il est nécessaire de prévoir des armatures comprimées, on calcule : $k_1 = \frac{\bar{\sigma}_a}{\bar{\sigma}'_b}, k_2 = \frac{15(h-d') \bar{\sigma}_a}{(h+d') \bar{\sigma}'_b}$

1^o/ si $k_1 > k_2$; on prend k_1 et: $\sigma'_b = \bar{\sigma}'_b \xrightarrow{\text{tab.}} \alpha, \mu, \epsilon$

$$M_1 = M' \cdot \bar{\sigma}'_b \cdot b \cdot h^2 \xrightarrow{} M_2 = M - M_1$$

$$y = d \cdot h \xrightarrow{} \sigma'_a = \frac{15}{y} (y-d') \bar{\sigma}'_b.$$

$$\text{armatures comprimées : } A' = \frac{M_2}{(h-d') \bar{\sigma}'_a}$$

$$\text{armatures tendues : } A = \frac{M_1}{\bar{\sigma}_a \cdot \epsilon \cdot h} + \frac{M_2}{(h-d') \bar{\sigma}'_a}$$

2^o/ si $k_2 > k_1$; on prend k_2 et $\sigma'_b = \bar{\sigma}_a / k_2, \sigma'_a = \bar{\sigma}'_a / k_2 \rightarrow \epsilon, \mu$

$$M_1 = M' \cdot b \cdot \bar{\sigma}'_b \cdot h^2 \quad M_2 = M - M_1$$

$$\text{armatures comprimées : } A' = \frac{M_2}{(h-d') \bar{\sigma}'_a}$$

$$\text{armatures tendues : } A = \frac{M_1}{\epsilon \cdot h \cdot \bar{\sigma}_a} + \frac{M_2}{\bar{\sigma}'_a (h-d)}$$

• calcul des armatures transversales :

la quantité minimale est donnée par : $A_t = 0,003 \cdot t \cdot b$

où : t : espace, b : largeur de la poutre.

a/ contrainte de cisaillement max :

$$\bar{G}_b = \frac{T^{\max}}{b \cdot z} \quad / b : \text{largeur de la poutre}, z = \frac{7}{8} \cdot h$$

b/ contrainte de cisaillement admissible :

$$\text{si : } \bar{\sigma}'_b \leq \bar{\sigma}'_{b_0} \rightarrow \bar{G}_b = 3,5 \bar{\sigma}'_b$$

$$\text{si : } \bar{\sigma}'_{b_0} < \bar{\sigma}' \leq 2\bar{\sigma}'_{b_0} \rightarrow \bar{G}_b = \left(4,5 - \frac{\bar{\sigma}'_b}{\bar{\sigma}'_{b_0}}\right) \bar{\sigma}'_b$$

si : $\bar{G}_b \leq \bar{G}_b$ → on utilise des cadres et étriers droites

si : $\bar{G}_b < \bar{G}_b \leq 5\bar{G}_b$ → on utilise de cadres et étriers droites plus des barres obliques.

c/ contrainte admissible des armatures transversales :

$$\bar{\sigma}_{at} = \rho_a \cdot \bar{\sigma}_{en} \quad / \rho_a = \frac{2}{3} \rightarrow \text{si on a reprise de bétonnage.}$$

$$\bar{\sigma}_{at} = \begin{cases} \left(1 - \frac{\bar{G}_b}{9\bar{\sigma}_b}\right) \cdot \bar{\sigma}_{en} \\ \geq \frac{2}{3} \bar{\sigma}_{en} \end{cases} \rightarrow \text{si on a pas reprise de bétonnage.}$$

d/ espace :

$$t = \frac{A_t \cdot z \cdot \bar{\sigma}_{at}}{T_c}$$

e) Espace admissible :

$$\bar{t} \leq \min(h/4, 12\phi, 30\text{cm}) \rightarrow \text{en zone nodale ou en travée avec armatures comprimées}$$

$$\bar{t} \leq \frac{h}{2} \rightarrow \text{en dehors de la zone nodale.}$$

Remarque : on disposera les cours d'armatures transversales selon la fig. B (R.P.A - p: 47)

• Vérification :

II condition de la flèche : (Art 61.21 C.C.B.A 68)

$$- h_t \geq l/16$$

$$- h_t \geq \frac{1}{10} \cdot \frac{M_t}{M_0} \cdot l$$

$$- A \leq b \cdot h \cdot 43/\bar{\sigma}_{en}$$

on peut disposer de faire la vérification de la flèche pour les poutres qui satisfont aux 3 conditions ci-dessus.

2) condition de non fragilité : (Art. 52.1 ccBA 68)

pour les poutres fléchies on doit avoir : $A_{min} \geq 0,69 \cdot b \cdot h \cdot \frac{\bar{v}_b}{\bar{v}_{en}}$

3) conditions aux appuis (Art. 35-32, c.c.B.A 68)

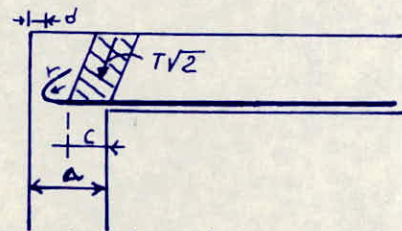
- béton: l'effort tranchant crée des efforts de compression dans les bielles de béton inclinées à 45°

pour que $\sigma_b' \leq \bar{\sigma}_{b_0}'$ on doit avoir $C \geq \frac{2T}{b_0 \cdot \bar{\sigma}_{b_0}'} = c_0$
 T-effort tranchant max. aux appuis.

c : distance d'un de l'appui au point où commence l'ancre à l'armature inférieure. $C = \alpha - (d + r)$

a : largeur du poteau

r : rayon de courbure / $r = 5,5 \phi$.



• Armatures inférieures :

la section minimale des armatures de traction inférieures, qui doivent être conduites jusqu'à cet appui et ancrées totalement au delà, doit être susceptible d'équilibrer un effort admissible =

$T + M/3$, c. a. d on doit vérifier que : $A \bar{t}_a \geq T + M/3$.

4/ pourcentage des aciers longitudinales (R.P.A 81)

- poutres longitudinales :

$$0,3\% \leq A \leq 2,5\% \rightarrow 4,5 \text{ cm}^2 \leq A \leq 37,5 \text{ cm}^2 \text{ (pour notre cas)}$$

- poutres transversales:

$$0,3\% \leq A \leq 2,5\% \rightarrow 3,6 \text{ cm}^2 \leq A \leq 30 \text{ cm}^2 \quad (\text{Pour notre cas})$$

5/ condition de ton entraînement des barres

on doit vérifier que : $\tau_d \leq \bar{\tau}_d$ / $\bar{\tau}_d = 2 \gamma_d \cdot \bar{\tau}_b$ ($\gamma_d = 1,5$ acier H.A.)

$$T_d = \frac{T_{max}}{n.p.f}$$

où T : effort franchant max;

p : périmètre de la barre ; n : nbr de barre.

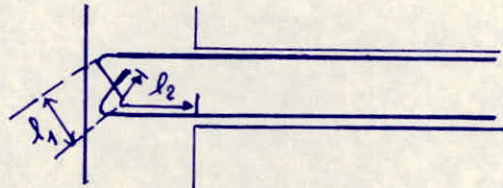
6/ condition de non fissuration:

on doit vérifier que : $\max(\bar{v}_1, \bar{v}_2) \geq \bar{v}_q$

$$\sigma_1 = \frac{k \cdot p \cdot \tilde{\omega}_p}{\phi(1+10\tilde{\omega}_p)} ; \quad \tilde{\sigma}_2 = 2,4 \sqrt{\frac{q \cdot k}{\phi} \cdot \tilde{\sigma}_6}$$

7/ Ancrege :

l'ancrage des armatures longitudinales des poutres dans les poteaux de rive et d'angle doit être effectué conformément à la figure (R.P.A 81 - p. 47): $l_1 \geq 20\phi$; $l_2 \geq \text{Max}(30\phi, 50\text{cm})$



8/ contraintes :

les sections seront vérifiées sous leurs moments maximums les plus défavorable.

* Section sans armatures comprimées :

$$\text{on calcule} : \tilde{\omega} = \frac{100A}{b \cdot h} \xrightarrow{\text{tab.}} \varepsilon, k.$$

$$\text{et on doit avoir : } \tilde{\sigma}_a = \frac{M}{A \cdot \varepsilon \cdot h} \leq \bar{\sigma}_a ; \quad \tilde{\sigma}'_b = \frac{\tilde{\omega} \cdot k}{k} \leq \bar{\sigma}'_b$$

* Section avec armatures comprimées :

$$\text{on calcule} : D = \frac{15}{6} (A + A') ; \quad E = \frac{30}{b} (A'd' + Ah)$$

$$y_1 = -D + \sqrt{D^2 + E}$$

$$I = \frac{b y_1^3}{3} + 15 A' (y_1 - d')^2 + 15 A (h - y_1)^2 ; \quad k = \frac{M}{I}$$

on a :

$$\tilde{\sigma}'_b = k y_1 \leq \bar{\sigma}'_b$$

$$\tilde{\sigma}'_a = 15 k (y_1 - d) \leq \bar{\sigma}_a$$

$$\tilde{\sigma}_a = 15 k (h - y_1) \leq \bar{\sigma}_a$$

Portique longitudinal Intermediaire

- Presentation des moments :

- hiv III :

$$SP_2 : \begin{array}{cccccc} -8,363 & & -10,920 & & -10,920 & -8,363 \\ \Delta & 7,416 & \Delta & 5,801 & \Delta & 7,416 \\ \hline & & & & & \end{array}$$

$$SP_1 : \begin{array}{cccccc} -5,258 & & -8,808 & & -8,808 & -5,258 \\ \Delta & 7,331 & \Delta & 6,161 & \Delta & 7,331 \\ \hline & & & & & \end{array}$$

- hiv II :

$$SP_2 : \begin{array}{cccccc} -14,529 & & -13,492 & & -13,492 & -14,529 \\ \Delta & 9,285 & \Delta & 7,314 & \Delta & 9,285 \\ 4,298 & & 0,867 & & 0,867 & 4,298 \\ \hline & & & & & \end{array}$$

$$SP_1 : \begin{array}{cccccc} -6,773 & & -8,258 & & -8,258 & -6,773 \\ \Delta & 8,669 & \Delta & 7,844 & \Delta & 8,669 \\ \hline & & & & & \end{array}$$

- hiv I :

$$SP_2 : \begin{array}{cccccc} -15,036 & & -14,522 & & -14,522 & -15,036 \\ \Delta & 8,517 & \Delta & 7,287 & \Delta & 8,517 \\ 3,807 & & 1,873 & & 1,873 & 3,807 \\ \hline & & & & & \end{array}$$

$$SP_1 : \begin{array}{cccccc} -7,376 & & -7,993 & & -7,993 & -7,376 \\ \Delta & 8,430 & \Delta & 7,917 & \Delta & 8,430 \\ \hline & & & & & \end{array}$$

- nivo :

$$SP_1 : \begin{array}{cccccc} -8,476 & & -16,493 & & -16,493 & -8,476 \\ \Delta & 9,526 & \Delta & 23,195 & \Delta & 9,526 \\ \hline & & & & & \end{array}$$

• Armatures supérieures et inférieures sur appuis :

$$b = 30 \text{ cm} ; h_f = 50 \text{ cm} ; d = 3 \text{ cm} ; h = 47 \text{ cm}$$

NIV.	App.	Soll.	M_{sup}	μ	ϵ	k	σ'_b	Acal.	Aadop.	ϕ
III	1-4	SP ₂	8,363	0,04507	0,9103	40,7	103,2	4,65	6,88	3T14 2T12
	2-3	SP ₁	8,808	0,0412	0,8907	30,75	80,7	7,51	8,01	3T14 3T12
II	1-4	SP ₂	14,529 4,298	0,0783 0,0232	0,8863 0,9332	28,98 60,30	74,5 69,7	8,30 2,33	9,54 6,15	3T ₁₂ 4T ₁₄ 4T ₁₄
	2-3	SP ₂	13,492 0,867	0,0727 0,00467	0,8894 0,9688	30,35 14,5	73,84 29	7,68 0,45	8,41 6,15	2T ₁₂ 4T ₁₄ 4T ₁₄
I	1-4	SP ₂	15,036 3,804	0,08103 0,02052	0,8846 0,9372	28,33 64,53	74,83 65,7	8,61 2,06	9,54 6,15	3T ₁₂ 4T ₁₄ 4T ₁₄
	2-3	SP ₂	14,522 1,873	0,07806 0,0101	0,8864 0,9350	29,0 96,0	74,48 43,8	8,30 0,99	9,54 6,75	3T ₁₂ 4T ₁₄ 4T ₁₄
0	1-4	SP ₁	8,476	0,0685	0,8926	31,53	88,8	7,22	8,04	4T16
	2-3	SP ₁	16,493	0,1334	0,8591	20,47	136,8	14,6	15,14	6T16 2T14

• Armatures en travée :

NIV.	x_{ad}	Soll.	M	μ	ϵ	k	σ'_b	Acal.	Aadop.	ϕ
III	1-2 3-4	SP ₁	7,331	0,0593	0,8989	34,45	81,28	6,20	6,88	3T14 2T12
	2-3	SP ₁	6,161	0,0498	0,9063	38,35	73	5,17	6,88	3T14 2T12
II	1-2 3-4	SP ₁	8,669	0,0701	0,8914	31,05	90,2	7,39	8,41	4T14 2T12
	2-3	SP ₁	7,944	0,0642	0,8954	32,8	85,4	6,74	8,41	4T14 2T12
I	1-2 3-4	SP ₁	8,430	0,0681	0,8928	31,65	88,5	7,17	8,41	4T14 2T12
	2-3	SP ₁	7,917	0,0640	0,8955	32,85	85,2	6,72	8,41	4T14 2T12
0	1-2 3-4	SP ₁	9,526	0,0770	0,8870	29,25	96	8,16	12,56	4T20
	2-3	SP ₁	23,195	0,1875	0,8395	16,18	173	21	21,92	6T20 2T14

. Sections d'aciérs adoptées :

niv III :
$$\begin{array}{cccc} 3T14 & 2T12 & 3T14 & 2T12 \\ \Delta & 3T14 & 2T12 & \Delta \\ 3T14 & & 3T14 & 2T12 \\ & & \Delta & 3T14 \\ & & 3T14 & 2T12 \\ & & & \Delta \\ & & & 3T14 \end{array}$$

niv II :
$$\begin{array}{cccc} 4T14 & 3T12 & 4T14 & 2T12 \\ \Delta & 4T14 & 2T12 & \Delta \\ 4T14 & & 4T14 & 2T12 \\ & & \Delta & 4T14 \\ & & 4T14 & 2T12 \\ & & & \Delta \\ & & & 4T14 \end{array}$$

niv I :
$$\begin{array}{cccc} 4T14 & 3T12 & 4T14 & 3T12 \\ \Delta & 4T14 & 2T12 & \Delta \\ 4T14 & & 4T14 & 2T12 \\ & & \Delta & 4T14 \\ & & 4T14 & 2T12 \\ & & & \Delta \\ & & & 4T14 \end{array}$$

nivo :
$$\begin{array}{cccc} 4T16 & & 6T16 & 2T14 \\ \Delta & 4T20 & \Delta & 6T20 & 2T14 \\ 2T20 & & 4T20 & & 4T20 \\ & & & & \Delta \\ & & & & 2T20 \end{array}$$

. verifications :

1/ verification de la flèche :

- $h_f = 50 \text{ cm} \geq \frac{1}{16} \cdot 600 = 37,5 \rightarrow \text{verified}$

- $h_f = 50 \text{ cm} \geq \frac{\ell}{10} \frac{M_{t \max}}{M_0} = \frac{1}{10} \times \frac{23,195}{29,750} \times 600 = 46,8 \rightarrow \text{verified}$

- $A_{\max} < \frac{43 \cdot b \cdot h}{5 \epsilon \gamma} = \frac{43 \cdot 30 \cdot 47}{4200} = 14,44 \text{ cm}^2 \text{ (non verified)}$

Il est donc nécessaire de faire un calcul de flèche
(c.c. B.A 68. art. 61.21)

on considère la section rectangulaire 30×50 . (Travée 2-3)

On a :
$$\begin{cases} M_q = 20,063 \text{ t.m} \\ M_g = 4,39 \text{ t.m} \end{cases}$$

- Inertie de la section du béton $\bullet \frac{bh^3}{3} = \frac{30 \times 50^3}{3} = 125.0000 \text{ cm}^4$

- Inertie des aciers $\bullet nA h^2 = 15 \times 21,92 \times 47^2 = 726319,2 \text{ cm}^4$

- Pour béton fissuré $v = \frac{W}{S}$

$$\begin{cases} W = 50 \cdot 30 \cdot 25 + 21,92 \cdot 15 \cdot 47 = 52953,6 \text{ cm}^3 \\ S = 50 \cdot 30 = 1828,8 \text{ cm}^2 \end{cases} \rightarrow v = 28,96 \text{ cm}$$

$$\bullet -Wv = -1533536,26 \text{ cm}^4$$

$$I_t = 442783 \text{ cm}^4$$

• calcul de λ_i et M :

- charge de faible durée λ_i : $\tilde{\omega} = \frac{A}{b \cdot h} = \frac{21,92}{30,47} = 0,01555$

$$\lambda_i = \frac{\bar{v}_b}{72,5 \cdot \tilde{\omega}} = 1,054$$

- charge de longue durée λ_v : $\lambda_v = \frac{\lambda_i}{2,5} = 0,422$

* pour la charge q , la contrainte des armatures tenues est :

$$\left\{ \begin{array}{l} \tilde{\sigma}_a = \frac{M q}{h \cdot 8,7} = \frac{20,063 \cdot 10^5}{0,8395 \cdot 47,21,92} = 2320 \text{ kg/cm}^2 \\ M = 1 - \frac{5 \bar{v}_b}{4 \tilde{\omega} \tilde{\sigma}_a + 3 \bar{v}_b} = 1 - \frac{5 \times 5,9}{4 \cdot 0,01555 \cdot 2320 + 3 \cdot 5,9} = 0,818 \end{array} \right.$$

* Pour la charge g : $\left\{ \begin{array}{l} \tilde{\sigma}_a = 507,6 \text{ kg/cm}^2 \\ M = 0,401 \end{array} \right.$

• calcul du module de déformation longitudinal :

$$E_v = 7000 \sqrt{1,2 \bar{v}_{28}} = 7000 \sqrt{1,2 \cdot 270} = 126000 \text{ bars}$$

$$E_i = 3 E_v = 378.000 \text{ bars.}$$

• flèches :

$$\bullet f_{g_\infty} = \frac{M g \cdot l^2}{10 E_v \cdot I_{f_v}} = 0,33 \text{ cm}$$

$$I_{f_v} = \frac{I_t}{1 + \lambda_v M} = 378699 \text{ cm}^4$$

$$\bullet f_{g_0} = \frac{M g \cdot l^2}{10 E_i \cdot I_{f_i}} = 0,13 \text{ cm}$$

$$I_{f_i} = \frac{I_t}{1 + \lambda_i M} = 311237 \text{ cm}^4$$

$$\bullet f_{g_0} = \frac{M g \cdot l^2}{10 E_i \cdot I_{f_i}} = 0,80 \text{ cm}$$

$$I_{f_i} = \frac{I_t}{1 + \lambda_i M} = 237778 \text{ cm}^4$$

$$\Delta f_t = f_{g_\infty} + f_{g_0} - f_{g_0} = 0,33 + 0,8 - 0,13 = 1 \text{ cm.}$$

La flèche admissible est : $\bar{f} = 0,5 + \frac{l}{1000} = 1,1 \text{ cm}$

$$\Delta f_t < \bar{f} \rightarrow \text{verified.}$$

2) condition de non fragilité :

$$A \geq 0,69 \cdot b \cdot h \cdot \frac{\bar{b}_0}{\bar{b}_{en}} = 0,69 \cdot \frac{30 \times 47 \times 5,9}{4200} = 1,4 \text{ cm}^2$$

verifiée pour toutes les sections.

3) condition aux appuis :

* béton: on doit vérifier : $c \geq \frac{2T}{b_0 \cdot \bar{b}'_{b_0}} = c_0$

$$c = a - (d + r) ; \quad \begin{cases} a = 35 \text{ cm} & \text{niv III} \\ & \text{niv II} \end{cases} \quad \begin{cases} a = 45 \text{ cm} & \text{niv I} \\ & \text{niv O} \end{cases}$$

$$d = 3 \text{ cm} ; \quad r = 5\phi \div 5,5\phi$$

on a le même ferraillage aux appuis, on vérifie avec T_{\max} :

NIV.	III	II	I	O
T	8,935	10,992	11,242	8,251
c_0	5,8	7,13	7,29	5,35
C	24,3	24,3	34,3	33,2

$c > c_0 \rightarrow$ vérifiée.

* armatures inférieures :

on doit vérifier : $A \cdot \bar{b}_a \geq T + \frac{M}{3}$ ou $A \geq \frac{T}{\bar{b}_a} + \frac{M}{3 \bar{b}_a}$

NIV. -	III		II		I		O	
Appuis	1	2	5	6	9	10	13	14
M(t.m)	-8,363	-8,808	4,298	0,867	3,807	1,873	-8,476	-16,493
T(t)	8,935	9,936	10,992	10,985	11,242	11,209	8,251	12,779
$(T + \frac{M}{3}) / \bar{b}_a$	< 0	< 0	5,11	3,12	4,88	3,75	< 0	< 0
A	4,62	4,62	6,15	6,15	6,15	6,15	6,28	12,56

4) pourcentage d'acières :

les sections d'armatures sont comprises dans l'intervalle :

$(4,5 ; 37,5) \text{ cm}^2 \rightarrow$ vérifiée.

5) condition de non entrainement des barres :

on doit vérifier $G_d \leq \bar{\sigma}_d = 2\psi_d \cdot \bar{\tau}_b = 17,7 \text{ kg/cm}^2$
 (sous SP₁)

Niv.	App.	T	n _p	T/n _p	$\bar{\tau}_d$
III	1	8,225	13,19	15,16	17,7
	2	9,409	13,19	17	17,7
II	5	9,127	17,6	12,6	17,7
	6	9,540	17,6	13,18	17,7
I	9	9,230	17,6	12,75	17,7
	10	9,436	17,6	13,04	17,7
0	13	8,251	12,57	15,6	17,7
	14	12,779	25,13	12,37	17,7

6) fissuration :

elle sera vérifiée pour la plus petite section tendue dans toutes les poutres.

$$A^{min} = 4,62 \text{ cm}^2 (3+14) \rightarrow \tilde{\omega}_f = \frac{4,62}{6 \times 30} = 0,0257$$

$$\sigma_1 = \frac{1,5 \cdot 10^6 \cdot 1,6 \cdot 0,0257}{14(1+10 \cdot 0,0257)} = 3505 > \bar{\sigma}_d$$

vérifiée

7/ verification des contraintes :

Niv.	Sect.	$M(-)$ $M(+) \backslash$	A	$\bar{\omega}$	ε	k	σ_a	σ_b'
III	1	8,363	6,88	0,488	0,8945	32,4	2891	89,2
	2	8,808	8,01	0,568	0,8879	29,6	2635	89
II	5	14,529	9,54	0,677	0,8799	26,64	3683	138,2
		4,298	6,15	0,436	0,8991	34,55	1653,8	47,9
I	6	13,492	8,41	0,596	0,8857	28,77	3853,9	134
		0,867	6,15	0,436	0,8991	34,55	334,4	10
I	9	15,036	9,54	0,677	0,8799	26,64	3811	143,1
		3,807	6,15	0,436	0,8991	34,55	1464,9	42,5
I	10	14,522	9,54	0,677	0,8799	26,64	3681	138,2
		1,873	6,15	0,436	0,8991	34,55	721	21
0	13	8,476	8,04	0,570	0,8876	29,5	2527,1	86
	14	16,493	15,14	1,074	0,8569	19,98	2705	135,4

$$\bar{\sigma}_a < \bar{\sigma}_a' , \quad \bar{\sigma}_b' < \bar{\sigma}_b' \rightarrow \text{verified.}$$

8/ Armatures transversales :

on utilise 1 cadre + 2 étriers $\rightarrow A_t = 3,01 \text{ cm}^2$

Niv.	trav.	Soll.	T^{\max}	σ_b'	G_b	\bar{G}_b	$\bar{\sigma}_{at}$	A_t	t_{cal}	$t_{\text{adopté}}$	
										t_{nord}	t_{cour}
III	1-2 3-4	SP ₁	8,225	59,5	6,7	20,65	1600	3,01	24,1	11	20
	2-3	SP ₁	9,409	89	7,6	18,88	1600	3,01	21	11	20
II	5-6 7-8	SP ₁	9,127	92,13	7,4	18,61	1600	3,01	21,7	11	20
	6-7	SP ₁	9,540	89,33	7,7	18,86	1600	3,01	20,8	11	20
I	9-10 11-12	SP ₁	9,230	95,40	7,5	18,33	1600	3,01	21,5	11	20
	10-11	SP ₁	9,436	92,13	7,6	18,61	1600	3,01	21	11	20
0	13-14 15-16	SP ₁	8,251	86	6,7	19,14	1600	3,01	24	11	15
	16-17	SP ₁	12,779	135,4	10,4	14,89	1600	3,01	15,5	11	15

$$\begin{cases} t (\text{en zone nodule}) \leq 11,75 \text{ cm} = \bar{t} \\ t (\text{en zone courante}) \leq 23,5 \text{ cm} = \bar{t} \end{cases}$$

Portique transversal Rive

Présentation des moments :

• Niveau III :

$SP_2 :$	-3,950	-3,411	-3,411	-3,950
	Δ	Δ	Δ	Δ
	3,190	1,325	1,709	3,190
			0,563	
$SP_1 :$	-0,435	-0,998	-0,998	-0,435
	Δ	Δ	Δ	Δ
	0,790		0,577	0,790

• Niveau II :

$SP_2 :$	-9,044	-7,545	-7,545	-9,044
	Δ	Δ	Δ	Δ
	7,010	2,611	4,396	7,010
			1,243	
$SP_1 :$	-1,159	-1,794	-1,794	-1,159
	Δ	Δ	Δ	Δ
	1,568		1,265	1,568

• Niveau I :

$SP_2 :$	-9,235	-8,374	-8,374	-9,235
	Δ	Δ	Δ	Δ
	6,769	2,052	5,225	6,769
			1,243	
$SP_1 :$	-1,405	-1,794	-1,794	-1,405
	Δ	Δ	Δ	Δ
	1,450		1,265	1,450

• Niveau 0 :

$SP_1 :$	-2,638	-3,116	-3,116	-2,638
	Δ	Δ	Δ	Δ
	2,803		2,606	2,803

Etant donné que les poutres transversales ne sont pas porteuses des charges verticales et elles ne sont sollicitées principalement que par les forces latérales sismiques, donc elles doivent avoir des armatures symétriques. Ainsi que les moments en travée sont très faibles par rapport aux moments sur appuis donc on optera pour une section en travée égale au moins à la moitié des armatures sur appuis (R.PA 81 - Art 4.2.3.2).

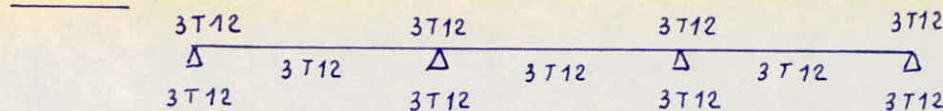
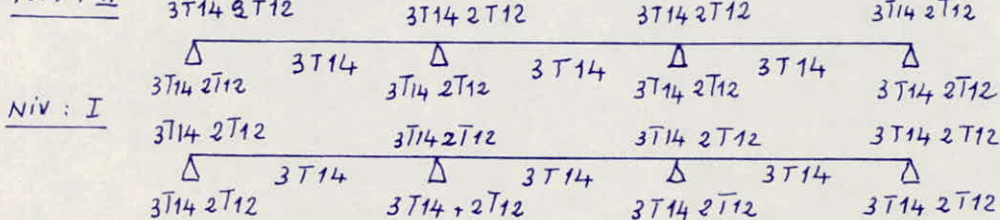
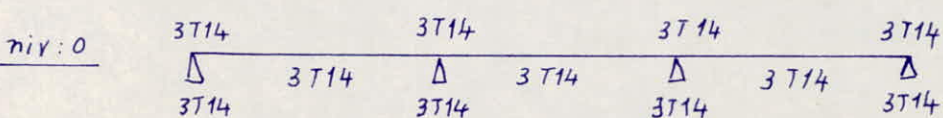
Sections d'aciéres aux appuis

$b = 30 \text{ cm}$; $h_f = 40 \text{ cm}$; $d = d' = 3 \text{ cm}$; $h = 37 \text{ cm}$.

NIV.	App.	Soll.	M_{int}	M_{sup}	μ	ϵ	k	\bar{U}_b'	$A_{cal.}$	$A_{adop.}$	\emptyset
III	1-4	SP ₂	3,950 3,190	0,0343 0,0274	0,9205 0,9277	47,9 54,5	87,7 77,1	2,761 2,210	3,39 3,39	3T12 3T12	3T12
	2-3	SP ₂	3,4411 7,709	0,0297 0,0149	0,9256 0,9458	52,2 77,25	80,5 54,4	2,34 1,16	3,39 3,39	3T12 3T12	3T12
II	1-4	SP ₂	9,044 7,010	0,0786 0,0610	0,8861 0,8976	28,9 33,85	145,3 124,1	6,57 5,03	6,88 6,88	3T14 3T14 2T12	3T14 2T12
	2-3	SP ₂	7,545 4,396	0,0656 0,0382	0,8944 0,9167	32,35 45	129,8 93,3	5,43 3,09	6,88 6,88	3T14 3T14 2T12	3T14 2T12
I	1-4	SP ₂	9,235 6,769	0,0803 0,0589	0,8851 0,8992	28,5 34,6	144,4 121,4	6,71 4,84	6,88 6,88	3T14 3T14 2T12	3T14 3T14 2T12
	2-3	SP ₂	8,374 5,225	0,0728 0,0454	0,8897 0,9101	30,32 40,6	138,8 103,4	6,06 3,7	6,88 6,88	3T14 3T14 2T12	3T14 3T14 2T12
0	1-4	SP ₁	2,638	0,0344	0,9205	47,9	58,5	2,77	4,62	3T14	
	2-3	SP ₁	3,116	0,0406	0,9144	43,4	64,5	3,29	4,62	3T14	

Armatures en travée

NIV.	tronc	Soll.	M	μ	ϵ	k	\bar{U}_b'	$A_{cal.}$	$A_{adop.}$	\emptyset
III	1-2 3-4	SP ₂	1,325	0,0115	0,9521	89,25	47,1	0,90	3,39	3T12
	2-3	SP ₁	0,563	0,0073	0,9613	114,5	24,5	0,57	3,39	3T12
II	1-2 3-4	SP ₂	2,611	0,0227	0,9342	61	68,9	1,80	4,62	3T14
	2-3	SP ₁	1,243	0,0162	0,9437	73,7	38	1,27	4,62	3T14
I	1-2 3-4	SP ₁	1,450	0,0189	0,9396	67,7	41,4	1,49	4,62	3T14
	2-3	SP ₁	1,265	0,0165	0,9432	73	38,4	1,29	4,62	3T14
0	1-2 3-4	SP ₁	2,803	0,0306	0,9182	46,1	60,7	2,95	4,62	3T14
	2-3	SP ₁	2,606	0,0340	0,9209	48,2	58,1	2,73	4,62	3T14

Sections d'aciels adoptéesNiv III :Niv : IINiv : I• verifications:1/ verification de la flèche:

$$- h_f = 40 \text{ cm} \geq \frac{l}{16} = \frac{400}{16} = 25 \rightarrow \text{vérifiée}$$

$$- h_f = 40 \text{ cm} > \frac{l}{10} \cdot \frac{M_i^{\max}}{M_o} = \frac{400}{10} \cdot \frac{2,803}{5,172} = 21,7 \rightarrow \text{vérifiée}$$

$$- A_{\max} \leq b \cdot h \cdot \frac{43}{\sqrt{e_n}} = \frac{43 \cdot 30 \cdot 37}{4200} = 11,4 \text{ cm}^2 \rightarrow \text{vérifiée (pour toutes les sections)}$$

Donc aucune justification de la flèche n'est nécessaire.

2/ condition de non fragilité:

$$A \geq 0,69 \cdot b \cdot h \cdot \frac{\bar{D}_b}{\sqrt{e_n}} = 0,69 \cdot 30 \cdot 37 \cdot \frac{5,9}{4200} = 1,10 \text{ cm}^2$$

vérifiée pour toutes les sections.

3/ condition aux appuis:

$$* \underline{\text{béton}} : \text{on doit avoir } c \geq \frac{2T}{b_o \bar{D}_b} = C_0$$

$$C = a - (d + r) ; a = 35 \text{ cm} \begin{cases} \text{niv III} \\ \text{niv II} \end{cases} \quad a = 45 \text{ cm} \begin{cases} \text{niv I} \\ \text{niv 0} \end{cases}$$

$$d = 3 \text{ cm} ; r = 5\phi \div 5,5\phi$$

on a le même ferraillage aux appuis, on vérifie donc pour l'appui ou l'est max

NIV	<u>III</u>	<u>II</u>	I	0
$T(f)$	2,800	6,212	6,466	4,514
$C_0(\text{cm})$	1,82	4,03	4,2	4,4
$C(\text{cm})$	25,4	24,3	34	34

* Armatures inférieures :

on doit vérifier : $A \cdot \bar{U}_a \geq T + \frac{M}{\delta}$ ou $A \geq \frac{T}{\bar{U}_a} + \frac{M}{\delta \bar{U}_a}$.

Niv.	III		II		I		0	
Appuis	1	2	5	6	9	10	13	14
$M(t.m)$	3,190	1,709	7,010	4,396	6,769	5,225	-2,638	-3,116
$T(t)$	2,800	2,804	6,212	5,995	6,466	6,348	4,514	4,753
$(T + \frac{M}{\delta}) / \bar{U}_a$	3,01	1,92	6,63	4,66	6,52	5,35	<0	<0
A	3,39	3,39	6,88	6,88	6,88	6,88	4,62	4,62

4) pourcentage d'acier :

les sections d'armatures utilisées sont comprises dans l'intervalle $(3,6 \text{ cm}^2 ; 30 \text{ cm}^2) \rightarrow$ vérifiée

5) condition de non entraînement des barres :

on doit avoir : $\bar{\sigma}_d \leq \bar{\epsilon}_d = 2 \cdot \psi_d \cdot \bar{U}_b = 17,7 \text{ kg/cm}^2$. (sous SP₁).

Niv.	App.	T	n_P	$T/n_P \bar{U}_b$	$\bar{\sigma}_d$
III	1	1,327	11,31	3,62	17,7
	2	1,607	11,31	4,39	17,7
II	5	2,819	20,73	4,20	17,7
	6	3,136	20,73	4,67	17,7
I	9	2,879	20,73	4,29	17,7
	10	3,075	20,73	4,6	17,7
0	13	4,514	13,19	10,6	17,7
	14	4,753	13,19	11,13	17,7

6) fissuration :

on la vérifiera seulement pour la plus petite section tendue dans toutes les poutres car si elle est vérifiée, elle l'est pour les autres.

$$A^{\min} = 3T12 = 3,39 \text{ cm}^2 \rightarrow \tilde{\omega}_p = \frac{3,39}{6 \cdot 30} = 0,0188.$$

$$\tilde{\sigma}_t = \frac{1,5 \cdot 10^6 \cdot 1,6 \cdot 0,0188}{12(1 + 10 \cdot 0,0188)} = 3165 \text{ kg/cm}^2 > \bar{U}_a$$

7/ Verification des contraintes :

NIV.	Sect.	$M(-)$ $M(+)$	A	$\bar{\omega}$	ε	k	σ_a	σ'_b
III	1	3,950	3,39	0,305	0,9133	42,7	3448,12	80,75
		3,190	3,39	0,305	0,9133	42,7	2784,7	65,2
	2	3,411	3,39	0,305	0,9133	42,7	2977,60	69,7
		1,709	3,39	0,305	0,9133	42,7	1491,9	34,9
II	5	9,044	6,88	0,620	0,8839	28,1	4019,5	143,04
		7,010	6,88	0,620	0,8839	28,1	3115,5	110,9
	6	7,545	6,88	0,620	0,8839	28,1	3353,3	119,33
		4,396	6,88	0,620	0,8839	28,1	1953,7	69,5
I	9	9,235	6,88	0,620	0,8839	28,1	4104,3	146,06
		6,769	6,88	0,620	0,8839	28,1	3008,4	107,1
	10	8,374	6,88	0,620	0,8839	28,1	3721,7	132,4
		5,225	6,88	0,620	0,8839	28,1	2322,2	82,6
0	13	2,638	4,62	0,416	0,9012	35,6	1712,4	48,1
	14	3,116	4,62	0,416	0,9012	35,6	2022,7	56,8

$$\bar{\sigma}_a < \bar{\sigma}'_a \quad , \quad \bar{\sigma}'_b < \bar{\sigma}_b' \rightarrow \text{verified}$$

8/ Armatures transversales :

on utilise 1 cadre + 1 étrier $\rightarrow A_t = 2,01 \text{ cm}^2$ $t(z.n) \leq 9,25 = \bar{t}$
(cm)
 $t(z.c) \leq 18,5 \text{ cm} = \bar{t}$

NIV	trav.	Soll.	T^{\max}	$\bar{\sigma}'_b$	$\bar{\sigma}_b$	$\bar{\sigma}'_b$	$\bar{\sigma}_{at}$	A_t	t_{cal}	t adopté	
										t_{nord}	t_{court}
III	1-2 3-4	SP ₂	2,804	80,75	2,9	30,98	2400	2,01	55,70	9	18
	2-3	SP ₂	2,683	69,70	2,8	30,98	2400	2,01	58,21	9	18
II	5-6 7-8	SP ₂	6,212	143,04	6,39	27,50	2400	2,01	25,14	9	18
	6-7	SP ₂	5,837	119,33	6,00	29,50	2400	2,01	26,76	9	18
I	9-10 11-12	SP ₂	6,466	146,06	6,7	27,20	2400	2,01	24,15	9	18
	10-11	SP ₂	6,251	132,40	6,44	28,40	2400	2,01	24,98	9	18
0	13-14 15-16	SP ₁	4,753	48,10	4,9	20,65	1600	2,01	21,91	9	18
	16-17	SP ₁	4,632	56,80	4,8	20,65	1600	2,01	22,48	9	18

$$A_{t\min} = 0,003 \cdot 5 \cdot b = 0,003 \cdot 18 \cdot 30 = 1,62 < 2,01 \text{ cm}^2 \rightarrow \text{verified}$$

B/ Ferraillage des poteaux:

les poteaux sont soumis à des efforts normaux et à des moments en tête et à la base, dans le sens transversal et le sens longitudinal.
Ils seront donc calculés en flexion composée.

on fera le calcul sous (SP₁) et sous la plus défavorable des combinaisons du second genre, et on optera pour la plus grande section d'acier.

- on distingue 3 types d'efforts :

* N^{\min} , M^{corr} → pour le calcul des armatures tendues.

* N^{\max} , M^{corr} } → pour le calcul du béton comprimé et éventuellement
 N^{corr} , M^{\max} } pour le calcul des armatures comprimées.

Méthode de calcul :

on a opté pour la méthode de "P. CHARON"
contrainte admissible du béton :

$$*\bar{U}'_b = 2\bar{U}'_{b_0} \quad \text{si } e_0 = \frac{M}{N} > \frac{ht}{2}$$

$$*\bar{U}'_b = \left(1 + \frac{e_0}{3e_1}\right)\bar{U}'_{b_0} \quad \text{si } e_0 < \frac{ht}{2}; e_1 = \frac{ht}{6}$$

1) $e_0 > e_1$ → section partiellement comprimée.

2) $e_0 \leq e_1$ → section entièrement comprimée (si N est un effort de comp.)
→ — " — tendue (si N est une traction).

3) $e_0 \approx e_1$ → on a une compression simple.

Restrictions dues au flambement :

• pièce chargée axialement ($N \neq 0$; $M_{G_0} = 0$)

* $\lambda \leq 50$ → calcul en compression simple

• charge excentrée (N ; M_{G_0} , e_0)

* $\lambda \leq 35$ → calcul en flexion composée avec N , e_0

Vérification au flambement :

niv. III : $S = 35 \times 35 \text{ cm}^2$; $l_0 = 324 \text{ cm}$; $l_c = 0,7 l_0 = 226,8 \text{ cm}$

$$i = 10,1 \text{ cm} \rightarrow \lambda = 22,46 < 35$$

niv. I : $S = 45 \times 45 \text{ cm}^2$; $l_0 = 324 \text{ cm}$; $l_c = 0,9 l_0 = 291,6 \text{ cm}$

$$i = 13 \text{ cm} \rightarrow \lambda = 22,45 < 35$$

niv. 0 : $S = 45 \times 45 \text{ cm}^2$; $l_0 = 297 \text{ cm} \rightarrow l_c = 0,9 l_0 = 267,3 \text{ cm}$

$$i = 13 \text{ cm} \rightarrow \lambda = 20,56 < 35$$

Donc on ne tient pas compte du flambement.

- SP ₁ -						- SP ₂ -					
---------------------	--	--	--	--	--	---------------------	--	--	--	--	--

Sens longitudinal:

Poteau_A1-

NIV	N(t)	M(t.m)	e _o (cm)	Solli.	\bar{F}'_b	N ^{max} (t)	M ^{corr} (t.m)	e _o	SOLL	\bar{F}'_b	N ^{min} (t)	M ^{corr} (t.m)	e _o (cm)	Solli.	\bar{F}'_b
III	5,413	0,791	15	P.C	127,6	6,417	4,665	72,7	P.C	205,5	2,839	2,673	94,2	P.C	205,5
II	13,413	0,893	6,7	P.C	94,6	16,934	7,442	43,9	P.C	205,5	5,890	4,586	77,9	P.C	205,5
I	21,486	1,553	7,2	E.C	90,42	27,707	13,413	48,4	P.C	205,5	8,867	8,803	99,3	P.C	205,5
0	29,482	1,545	5,2	E.C	84,33	35,476	13,537	38,2	P.C	205,5	14,133	11,269	79,7	P.C	205,5

Sens transversal:

NIV	N(t)	M(t.m)	e _o (cm)	Solli	\bar{F}'_b	N ^{max}	M	e _o	SOLL.	\bar{F}'_b	N ^{min}	M	e _o	soll.	\bar{F}'_b
III	1,327	0,544	41	P.C	137	3,097	4,654	15,03	P.C	205,5	-0,481	3,19	663	P.T	205,5
II	4,146	0,614	15	P.C	127,6	9,992	7,252	72,6	P.C	205,5	-1,768	6,034	341	P.T	205,5
I	7,025	1,263	18	P.C	123,3	14,118	13,716	79,8	P.C	205,5	-3,242	11,264	347	P.T	205,5
0	11,539	1,374	12	P.C	105	21,575	13,823	64,1	P.C	205,5	-0,116	11,314	975	P.T	205,5

S.P.C : Section partiellement comprimée $\rightarrow e_o > e_1$; $e_1 = \frac{h_f}{6}$

S.E.C : section entièrement comprimée $\rightarrow e_o < e_1$

C.S : compression simple $\rightarrow e_o = 0$

$$\begin{cases} e_1 = 5,8 \text{ cm} & \text{niv III-II} \\ e_1 = 7,5 \text{ cm} & \text{niv I,0} \end{cases}$$

- SP₁ -

- SP₂ -

sens longitudinal:

Poteau-A2-

Niv.	N(t)	M(t.m)	e _o (cm)	Solli.	$\bar{\sigma}'_b$	N ^{max}	M ^{corr}	e _o	Solli.	$\bar{\sigma}'_b$	N ^{min}	M ^{corr}	e _o	Solli.	$\bar{\sigma}'_b$	N ^{corr}	M ^{max}	e _o	Solli.	$\bar{\sigma}'_b$
III	11,525	0,141	1,2	E.C	73,22	11,460	5,785	50,5	P.C	205,5	7,901	4,603	58,3	P.C	205,5	11,460	5,785	50,4	P.C	205,5
II	27,906	0,138	0,49	E.C	70,43	27,873	8,729	31,3	P.C	205,5	18,681	7,401	40	P.C	205,5	26,635	8,937	33,6	P.C	205,5
I	44,214	0,236	0,53	E.C	70,11	44,057	12,908	29,3	P.C	205,5	29,514	10,923	37	P.C	205,5	42,235	13,152	31,1	P.C	205,5
0	60,406	0,142	0,24	E.C	69,23	59,162	13,162	22	P.C	203,22	40,253	10,928	27,1	P.C	205,5	59,788	13,162	22	P.C	203,22

sens transversal:

Niv.	N(t)	M(t.m)	e _o (cm)	Solli.	$\bar{\sigma}'_b$	N ^{max}	M ^{corr}	e _o	Solli.	$\bar{\sigma}'_b$	N ^{min}	M ^{corr}	e _o	Solli.	$\bar{\sigma}'_b$	N ^{corr}	M ^{max}	e _o	Solli.	$\bar{\sigma}'_b$
III	1,297	0,424	33	P.C	137	3,055	4,639	152	P.C	205,5	-0,561	3,217	570	P.T	205,5	3,055	4,639	152	P.C	205,5
II	2,707	0,306	11	P.C	111,8	8,520	6,940	81	P.C	205,5	-3,240	6,346	196	P.T	205,5	8,520	6,940	81	P.C	205,5
I	4,148	0,515	12	P.C	105	14,248	13,756	96,5	P.C	205,5	-6,174	11,224	182	P.T	205,5	14,248	13,756	96,5	P.C	205,5
0	8,304	1,471	18	P.C	123,3	18,212	13,867	76,1	P.C	205,5	-3,32	11,219	338	P.T	205,5	18,212	13,867	76,1	P.C	205,5

102

- SP ₁ -						- SP ₂ -															
<u>sens longitudinal :</u>						Poteau-B2-															
Niv.	N(t)	M(t.m)	e _o (cm)	Solli.	Γ̄' _b	N ^{max}	M ^{corr}	e _o	Solli.	Γ̄' _b	N ^{min}	M ^{corr}	e _o	Solli.	Γ̄' _b	N ^{corr}	M ^{max}	e _o	Solli.	Γ̄' _b	
III	18,226	0,358	2	E.C	76,37	17,908	5,997	33,5	P.C	205,5	12,045	4,468	37,1	P.C	205,5	17,908	5,994	33,5	P.C	205,5	
II	37,099	0,129	0,35	E.C	69,88	36,319	8,729	23,4	P.C	205,5	22,735	7,401	32,5	P.C	205,5	35,141	8,930	25,4	P.C	205,5	
I	55,868	2,891	5,2	E.C	84,33	54,595	10,607	19,4	P.C	191	33,480	10,923	32,6	P.C	205,5	52,783	15,453	29	P.C	205,5	
0	77,557	3,146	4,1	E.C	80,98	74,703	15,665	20,97	P.C	198,5	43,241	10,928	25,3	P.C	205,5	74,703	15,665	20,97	P.C	198,5	
<u>sens transversal :</u>																					
Niv.	N(t)	M(t.m)	e _o (cm)	Solli.	Γ̄' _b	N ^{max}	M ^{corr}	e _o	Solli.	Γ̄' _b	N ^{min}	M ^{corr}	e _o	Solli.	Γ̄' _b	N ^{corr}	M ^{max}	e _o	Solli.	Γ̄' _b	
III	3,051	0,055	1,8	E.C	75,59	3,318	5,866	177	P.C	205,5	1,869	4,804	257	P.C	205,5	3,318	5,866	177	P.C	205,5	
II	6,110	0	0	C.S	137	6,921	9,068	131	P.C	205,5	3,335	7,557	227	P.C	205,5	4,987	9,068	182	P.C	205,5	
I	9,210	1,045	11,3	P.C	102,9	10,292	13,725	133	P.C	205,5	5,000	12,163	243	P.C	205,5	10,292	15,467	150	P.C	205,5	
0	22,068	1,138	5,2	E.C	84,33	22,052	15,543	70,5	P.C	205,5	10,018	12,163	121,4	P.C	205,5	22,052	15,543	70,5	P.C	205,5	

- SP₁ -

- SP₂ -

Sens longitudinal:

Poteau_B1

NIV.	N(t)	M(t.m)	e _o (cm)	solli.	ḡ' _b	N ^{max} (t)	M(t.m)	e _o	solli.	ḡ' _b	N ^{min} (t)	M(t.m)	e _o	solli.	ḡ' _b
III	8,225	2,004	24,4	P.C	137	9,122	5,838	64	P.C	205,5	4,577	1,919	42	P.C	205,5
II	13,352	1,228	7,1	P.C	96,45	20,540	7,718	37,5	P.C	205,5	7,589	4,599	60,6	P.C	205,5
I	26,582	2,139	8	P.C	92,86	32,299	13,834	43	P.C	205,5	10,524	8,801	83,6	P.C	205,5
0	34,833	2,087	6	E.C	86,77	40,140	13,997	34,8	P.C	205,5	15,3	11,273	73,7	P.C	205,5

sens transversal:

NIV.	N(t)	M(t.m)	e _o (cm)	solli.	ḡ' _b	N ^{max} (t)	M(t.m)	e _o	solli.	ḡ' _b	N ^{min} (t)	M(t.m)	e _o	solli.	ḡ' _b
III	3,096	0,057	1,8	E.C	75,6	3,394	5,868	17,3	P.C	205,5	2,053	4,801	23,4	P.C	205,5
II	9,209	0	0	C.S	137	10,098	9,068	89,8	P.C	205,5	6,187	7,557	12,2	P.C	205,5
I	15,260	0	0	C.S	137	16,478	14,596	88,6	P.C	205,5	10,493	12,163	11,6	P.C	205,5
0	24,646	0	0	C.S	137	25,615	14,596	57	P.C	205,5	16,809	12,163	72,4	P.C	205,5

calcul des armatures minimales sous SP₁

$$S.P.C : A_{\ell}^{\min} = \frac{1,25 \theta_1 \cdot \theta_2 \cdot \theta_3 \cdot \sigma_m' \cdot B}{1000 \sigma_{b0}'}$$

$$S.E.C \text{ et C.S} : A_{\min} = \frac{1,25 \theta_1 \cdot \theta_2 \cdot \theta_3 \cdot N}{1000 \bar{\sigma}_{b0}}$$

S.P.C : $A_e^{\min} = \frac{1,25 \theta_1 \cdot \theta_2 \cdot \theta_3 \cdot \bar{v}_m \cdot B}{1000 \bar{v}_{b0}}$								
P.O.T.	Sens	NIV	N(t)	\bar{v}_b'	y_1 (cm)	\bar{v}_m'	θ_2	A_e^{\min}
A1	trans	III	5,413	127,6	12,59	12,28	2,67	2,01
		II	13,413	94,6	10,43	36,74	2,67	6
		III	1,327	137	13,12	2,89	2,67	0,47
		II	4,146	127,6	12,59	9,41	2,67	1,54
		I	7,025	123,3	16,31	9,57	2,66	2,57
		O	11,539	105	14,76	17,37	2,52	4,43
A2	trans	III	1,297	137	13,12	2,82	2,67	0,36
		II	2,707	111,8	11,61	6,66	2,57	0,85
		I	4,148	105	14,76	6,25	2,66	1,31
		O	8,304	123,3	16,31	11,31	2,52	2,24
B2	trans.	I	9,210	102,9	14,55	14,06	2,66	2,10
B1	Long.	III	8,225	137	13,12	17,91	2,67	2,27
		II	13,352	96,45	10,56	36,13	2,67	4,59
		I	26,582	92,86	13,62	43,37	2,66	9,07

$$\theta_1 = \begin{cases} 1,8 & \rightarrow \text{poteau d'angle} \\ 1,4 & \rightarrow \text{poteau de rive} \\ 1 & \rightarrow \text{poteau central} \end{cases}$$

$$\Theta_2 = 1 + \frac{l_c}{4a - 2c} = \begin{cases} 2,67 \text{ niv III}, II \\ 2,66 \text{ niv I} \\ 2,52 \text{ nivo} \end{cases}$$

$$U_m' =$$

$$\gamma_1 = \frac{15 \bar{\sigma}_b'}{15 \bar{\sigma}_b' + \bar{\sigma}_a} \cdot h$$

Pot. A1

NIV	N ^{max} ; M ^{corr}								N ^{min} ; M ^{corr}							
	Long				trans				Long				trans			
	III	II	I	0	III	II	I	0	III	II	I	0	III	II	I	0
N	6.417	16.934	27.707	35.476	3.097	9.992	17.180	21.575	2.839	5.890	8.867	14.133	-0.481	-1.768	-3.242	-0.116
M	4.665	7.442	13.413	13.537	4.654	7.252	13.716	13.823	2.673	4.586	8.803	11.269	3.19	6.034	11.264	11.314
ρ_0	0.727	0.439	0.484	0.382	1.503	0.726	0.798	0.641	0.942	0.779	0.993	0.797	6.630	3.410	3.470	9.750
σ_b'	205,5	205,5	205,5	205,5	205,5	205,5	205,5	205,5	205,5	205,5	205,5	205,5	205,5	205,5	205,5	205,5
f	0,860	0,570	0,670	0,567	1,640	0,860	0,930	0,826	1,080	0,910	1,180	0,982	6,800	3,540	3,650	9,77
M _f	5.519	9.652	18.564	20.110	5.079	8.593	15.977	17.821	3.066	5.360	10.463	13.879	3.271	6.259	11.833	11.333
μ	0.0586	0.1025	0.0876	0.0949	0.0539	0.0912	0.0754	0.0841	0.0326	0.0569	0.0494	0.0655	0.0347	0.0665	0.0559	0.0535
K	34,70	24,35	26,80	25,60	36,55	26,28	29,68	27,70	49,40	35,30	38,50	32,40	47,60	32,10	35,75	36,70
ε	0.8994	0.8730	0.8809	0.8768	0.9030	0.8788	0.8880	0.8829	0.9224	0.9007	0.9066	0.8945	0.9201	0.8938	0.9014	0.9033
σ_b''	121,04	172,48	156,70	164,06	114,90	159,80	141,51	151,62	85,02	119	109,1	129,63	88,24	130,84	117,5	144,44
K'																
α																
ε																
μ'																
y_i																
σ_a'																
M _i																
ΔM																
A'																
A _{fs}	4.710	8.490	12.240	13.320	4.320	7.510	10.450	11.720	2.550	4.570	6.700	9.010	2.730	5.380	7.620	7.290
A _{fc}	3.180	4.460	5.640	4.87	3.580	5.130	6.360	6.580	1.870	3.170	4.590	5.645	2.840	5.800	8.390	7.320

Pot. A2

NIV	N ^{max} ; M ^{corr}								N ^{min} ; M ^{corr}							
	Long				trans				Long				trans			
NIV	III	II	I	0	III	II	I	0	III	II	I	0	III	II	I	0
N	11,460	27,873	44,057	59,788	3,055	9,520	14,248	18,212	7,901	18,681	29,514	40,253	-0,561	-3,240	-0,174	-3,320
M	5,785	8,729	12,908	13,162	4,639	6,940	13,756	13,867	4,603	7,401	10,923	10,928	3,217	6,346	11,224	11,219
ζ_0	0,505	0,313	0,293	0,220	1,52	0,810	0,965	0,721	0,583	0,400	0,370	0,271	5,700	1,960	1,820	3,380
$\bar{\sigma}'_b$	205,5	205,5	205,5	203,22	205,5	205,5	205,5	205,5	205,5	205,5	205,5	205,5	205,5	205,5	205,5	205,5
f	0,640	0,448	0,478	0,405	1,655	0,945	1,150	0,906	0,718	0,535	0,555	0,456	5,835	2,095	2,005	3,565
Mf	7,334	12,487	21,059	24,21	5,056	8,051	16,385	16,50	5,673	9,994	16,380	18,355	3,273	6,788	12,379	11,836
μ	0,0779	0,1326	0,0994	0,1143	0,0537	0,0855	0,0774	0,0779	0,0602	0,1061	0,0773	0,0866	0,0347	0,0721	0,0584	0,0530
K	29,07	20,48	24,87	22,68	36,65	27,38	29,19	29,08	34,18	23,80	29,20	27,18	47,60	30,5	34,8	37
E	0,8865	0,8590	0,8746	0,8672	0,9032	0,8820	0,8868	0,8865	0,8983	0,8711	0,8869	0,8814	0,9201	0,8901	0,8996	0,9036
σ'_b	144,5	205	168,9	185,19	114,6	153,4	143,9	144,43	122,9	176,5	143,8	157,53	88,24	137,7	120,7	113,51
\bar{k}																
α																
ϵ																
μ'																
y_1																
σ'_a																
M ₁																
ΔM																
A'																
A _{f,c}	6,350	11,160	13,980	16,210	4,300	7,01	10,730	10,810	4,850	8,810	10,730	12,09	2,730	5,860	7,990	7,610
A _{f,c}	3,620	4,520	3,490	1,975	3,570	4,99	7,340	6,470	2,970	4,450	7,030	2,510	2,860	6,630	9,460	8,400

Pot. B2

Soll	N^{\max} ; M^{corr}								N^{\min} ; M^{corr}							
	Long				trans				Long				trans			
	NIV	III	II	I	O	III	II	I	O	III	II	I	O	III	II	I
N	11,908	36,379	54,596	74,703	3,318	6,921	10,292	22,052	12,045	22,735	33,480	43,241	1,869	3,335	5,000	10,018
M	5,994	8,729	10,607	15,665	5,866	9,068	13,725	15,543	4,468	7,401	10,923	10,928	4,804	7,557	12,163	12,163
ρ_0	0,335	0,234	0,194	0,210	1,77	1,31	1,33	0,705	0,371	0,325	0,326	0,253	2,570	2,27	2,430	1,214
σ_b'	205,5	205,5	191,0	198,7	205,5	205,5	205,5	205,5	205,5	205,5	205,5	205,5	205,5	205,5	205,5	205,5
f	0,470	0,369	0,379	0,395	1,905	1,445	1,515	0,890	0,506	0,460	0,511	0,438	2,705	2,405	2,615	1,399
M_f	8,417	13,424	20,692	29,510	6,321	10,000	15,592	19,826	6,095	10,458	17,108	18,940	5,056	8,021	10,825	14,015
μ	0,0894	0,1425	0,0977	0,1393	0,0671	0,1062	0,0736	0,0927	0,0647	0,1110	0,0808	0,0894	0,0537	0,0852	0,0511	0,0662
K	26,60	19,55	25,15	19,87	31,92	23,78	30,10	26,00	32,68	23,10	28,40	26,60	36,65	27,45	37,80	32,20
E	0,8798	0,8553	0,8754	0,8566	0,8935	0,8710	0,8891	0,8780	0,8951	0,8692	0,8848	0,8798	0,9032	0,8822	0,9053	0,8941
σ_b'	157,90	214,80	167	211	131,6	176,60	139,50	161,54	128,50	181,80	147,90	157,9	114,60	153,00	111,00	130,43
\bar{K}	20,44	20,44	21,99		20,44	20,44	20,44		20,44	20,44	20,44		20,44	20,44	20,44	
α	0,4235															
ε	0,8590															
M	0,1817															
y_1	13,13															
σ_a'	2143,4															
M_1	12,559															
ΔM	0,865															
A'	1,49															
A_{fs}	7,34	11,49	13,73	20	5,43	8,82	10,18	12,98	5,23	9,24	11,23	12,5	4,30	6,98	6,94	9,10
A_{fc}	3,08	3,33	0,73	2,21	4,64	7,17	7,73	7,73	2,36	3,83	3,26	2,20	3,86	6,19	5,75	6,71

Pot. B1

Soll	N ^{max} ; M ^{corr}								N ^{min} M ^{corr}							
	Long				trans				Long				trans			
	NIV	III	II	I	O	III	II	I	O	III	II	I	O	III	II	I
N	9,122	20,570	32,299	40,170	3,394	10,098	16,478	26,615	4,577	7,589	10,524	15,30	2,053	6,187	10,493	16,809
M	5,838	1,118	13,834	13,997	5,868	9,068	14,596	14,596	1,919	4,599	8,801	11,273	4,801	7,557	12,163	12,163
E _o	0,640	0,375	0,430	0,348	1,130	0,898	0,886	0,570	0,420	0,606	0,836	0,737	2,340	1,220	1,160	0,724
σ _b	205,5	205,5	205,5	205,5	205,5	205,5	205,5	205,5	205,5	205,5	205,5	205,5	205,5	205,5	205,5	205,5
f	0,775	0,510	0,615	0,533	1,865	1,033	1,071	0,755	0,555	0,741	1,210	0,922	2,475	1,355	1,345	0,910
M _f	7,070	10,491	19,864	21,410	6,330	10,431	17,688	19,335	2,540	5,623	10,745	14,107	5,081	8,383	14,113	15,300
μ	0,0751	0,1114	0,0938	0,1011	0,0672	0,1108	0,0833	0,0913	0,0270	0,0597	0,0507	0,0666	0,05395	0,0890	0,0666	0,0722
K	29,75	23,15	25,80	24,55	31,90	23,13	27,84	26,25	55,15	34,33	38,20	31,10	36,57	26,68	32,08	30,50
ε	0,8883	0,8686	0,8774	0,8735	0,8934	0,8689	0,8833	0,8787	0,9287	0,8987	0,9056	0,8938	0,9030	0,8800	0,8937	0,8901
σ _{b'}	141,2	181,4	162,80	171,08	131,7	181,6	150,9	160,0	76,20	122,3	110,0	135,05	114,85	157,4	131,0	137,70
—K																
α																
ε																
μ'																
γ ₁																
σ _{a'}																
M																
ΔM																
A'																
A _{fs}	6,11	9,28	13,15	14,23	5,44	9,22	11,60	12,78	2,10	4,81	6,89	9,17	4,32	7,32	9,17	9,98
A _{fc}	3,94	4,38	5,46	4,67	4,63	6,82	7,68	6,68	1,01	3,00	4,38	5,53	3,83	5,85	6,67	5,98

100)

10

calcul des armatures longitudinales (sous sP_2)
 $(M^{\max}, N^{\text{corr}})$

Pot.	A ₂		B ₂			
Sens	LONG.		LONG.		trans	
Niv.	II	I	II	I	II	I
N	26,635	42,235	35,141	52,783	4,987	10,292
M	8,937	13,152	8,930	15,453	9,068	15,467
e_o	0,336	0,311	0,284	0,29	1,82	1,50
\bar{v}_b'	205,5	205,5	205,5	205,5	205,5	205,5
f	0,471	0,496	0,389	0,475	1,955	1,685
M_f	12,545	20,949	13,670	25,072	9,450	17,342
μ	0,1332	0,0989	0,1452	0,1184	0,1035	0,0819
k	20,46	24,84	19,29	22,15	24,19	28,14
E	0,8590	0,8748	0,8541	0,8654	0,8724	0,8841
\bar{v}_b'	205,3	169,9	217,73	189,6	173,6	149,3
k			20,44			
d			0,4235			
ϵ			0,8590			
μ'			0,1817			
γ_1			13,13			
\bar{v}'_a			2143,4			
M_1			12,559			
ΔM			1,111			
A'			1,92			
A_{fs}	11,22	13,91	12,21	16,82	8,58	11,39
A_{fc}	4,88	3,85	3,84	4,25	7,39	8,94

Tableau recapitulatif

		SP ₁		SP ₂		Section adoptée A=A'	
Poteau	Niv.	A _{min}		A = A'		Sens Long.	Sens trans.
		S. Long.	S. trans.	S. Long.	S. trans.		
A ₁	III	2,01	0,47	3,18	3,58	(3T14)	(3T14)
	II	6	1,54	4,46	5,80	(3T16)	(3T16)
	I	2,85	2,57	5,64	8,39	(2T20+2T14)	(2T20+2T14)
	0	3,71	4,43	5,65	7,32	(2T20+2T14)	(2T20+2T14)
A ₂	III	0,96	0,36	3,62	3,57	(3T14)	(3T14)
	II	2,31	0,85	4,88	6,63	(2T20+1T14)	(2T20+1T14)
	I	3,65	1,31	7,03	9,46	(2T20+2T14)	(2T20+2T16)
	0	4,73	2,24	2,51	8,40	(2T20+2T14)	(2T20+2T16)
B ₂	III	1,35	0,23	3,08	4,64	(3T14)	(2T14+1T16)
	II	2,75	0,45	3,84	7,39	(2T20+1T14)	(2T20+1T14)
	I	4,12	2,10	4,25	8,94	(2T20+2T14)	(2T20+2T14)
	0	5,42	1,54	2,21	7,73	(2T20+2T14)	(2T20+2T14)
B ₁	III	2,27	0,32	3,94	4,63	(3T14)	(2T14+1T16)
	II	4,59	0,95	4,38	6,82	(2T20+1T14)	(2T20+1T14)
	I	9,07	1,58	5,46	7,68	(2T20+2T14)	(2T20+2T14)
	0	2,95	2,41	5,53	6,68	(2T20+2T14)	(2T20+2T14)

NB: les poteaux de l'infrastructure sont ferraillées de même que l'étage au dessus.

$$\min R.P.A \begin{cases} 12,25 \text{ cm}^2 \text{ niv III, II} \\ 20,25 \text{ cm}^2 \text{ niv I, 0} \end{cases} (1/)$$

$$\max R.P.A \begin{cases} 49 \text{ cm}^2 \text{ niv III, II} \\ 81 \text{ cm}^2 \text{ niv I, 0} \end{cases} (4/)$$

Armatures transversales :

- vérification de la résistance à l'effort tranchant :

$$G_b = \frac{nT}{b\beta} < \bar{G}_b = 0,15 \cdot \bar{V}_{28}'$$

T - effort tranchant de calcul

$$n = \begin{cases} 2 & \rightarrow \text{si } \lambda \geq 15 \\ 3 & \rightarrow \text{si } \lambda < 15 \end{cases}$$

Pot.	NIV	l_c (m)	I (m^4)	B (m^2)	i	λ	n	$T(t)$	Z (cm)	G_b	\bar{G}_b (kg/cm^2)
A1	III-II	2,268	$125 \cdot 10^5$	0,1225	$1,01 \cdot 10^4$	22,46	2	3,123	27,13	6,57	40,5
	I	2,916	$341,7 \cdot 10^5$	0,2025	$1,3 \cdot 10^4$	22,43	2	4,231	35,87	5,24	- " -
	O	2,673	$341,7 \cdot 10^5$	- " -	- " -	20,56	2	- " -	- " -	- " -	- " -
A2	III-II	2,268	$125 \cdot 10^5$	0,1225	$1,01 \cdot 10^4$	22,46	2	4,532	27,13	9,54	- " -
	I	2,916	$341,7 \cdot 10^5$	0,2025	$1,3 \cdot 10^4$	22,43	2	5,146	35,87	6,38	- " -
	O	2,673	- " -	- " -	- " -	20,56	2	- " -	- " -	- " -	- " -
B2	III-II	2,268	$125 \cdot 10^5$	0,1225	$1,01 \cdot 10^4$	22,46	2	4,347	27,13	8,94	- " -
	I	2,916	$341,7 \cdot 10^5$	0,2025	$1,3 \cdot 10^4$	22,43	2	4,857	35,87	6,02	- " -
	O	2,673	- " -	- " -	- " -	20,56	2	- " -	- " -	- " -	- " -
B1	III-II	2,268	$125 \cdot 10^5$	0,1225	$1,01 \cdot 10^4$	22,46	2	4,665	27,13	9,81	- " -
	I	2,916	$341,7 \cdot 10^5$	0,2025	$1,3 \cdot 10^4$	22,43	2	5,214	35,87	6,50	- " -
	O	2,673	- " -	- " -	- " -	20,56	2	- " -	- " -	- " -	- " -

- Ecartement des armatures transversales :

Pot.	NIV.	$2 \times T$	Z	A_t	nbr de cadre et étriers	t	Zone courante		Zone nodule	
							E	t adop.	E	t adop.
A1	III	3,644	27,13	2,01	1 cadre + 1 étrier	35,9	16,8	14	14	12
	II	6,246	- " -	- " -	1 cadre + 1 étrier	20,95	19,2	12	15	12
	I	8,462	35,87	- " -	2 cadres	20,45	16,8	12	14	12
	O	- " -	- " -	- " -	2 cadres	- " -	16,8	12	14	12
A2	III	5,286	27,13	2,01	1 cadre + 1 étrier	24,76	16,8	10	14	10
	II	9,064	- " -	- " -	2 cadres	14,44	- " -	10	14	10
	I	10,292	35,87	- " -	2 cadres	16,81	- " -	10	14	10
	O	- " -	- " -	- " -	2 cadres	- " -	- " -	10	14	10
B2	III	5,07	27,13	2,01	1 cadre + 1 étrier	25,8	16,8	10	14	10
	II	8,694	- " -	- " -	- " -	15,05	- " -	10	14	10
	I	9,714	35,87	- " -	2 cadres	17,81	- " -	10	14	10
	O	- " -	- " -	- " -	- " -	- " -	- " -	10	14	10
B1	III	5,442	27,13	2,01	1 cadre + 1 étrier	24,05	16,8	10	14	10
	II	9,33	- " -	- " -	- " -	14,03	- " -	10	14	10
	I	10,428	35,87	- " -	2 cadres	16,6	- " -	10	14	10
	O	- " -	- " -	- " -	- " -	- " -	- " -	10	14	10

Fondations

les fondations que nous allons étudier sont des fondations superficielles "Semelles isolées".

les semelles seront posées sur une couche de béton de profondeur de 10 cm d'épaisseur.

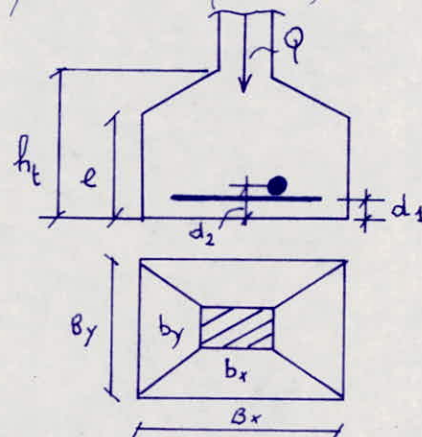
la contrainte du sol est 3 bars à 1,5 m de profondeur.

le calcul sera fait sous SP_1 , puis une vérification sous SP_2 .

Q : charge transmise au sol

$$e \geq (6\phi + 6)$$

$$h \geq \frac{B-b}{4}$$



Méthode utilisée :

Méthode des bielles où la section est donnée : $A = \frac{F}{\bar{\sigma}_s}$

F étant la force de traction totale dans les aciers qui est donnée par : $F = Q \frac{B-b}{8h}$

$$\text{on a } b_x = b_y = 50 \text{ cm} \Rightarrow B_x = B_y = B.$$

condition de résistance du sol :

$$\text{on doit avoir } B^2 \geq \frac{Q}{\bar{\sigma}_s}$$

$\bar{\sigma}_s$ - étant la contrainte du sol, d'après R.P.A 81 $\bar{\sigma}_s$ doit être majorée de 30% pour la sollicitation du second genre.

Vérification au pointonnement :

$$\text{on utilise la formule du c.c.B.4 : } 1,2 \bar{\sigma}_b \geq \frac{1,5 P}{P_c \cdot b_f}$$

P_c - périmètre du contour à considérer après diffusion.

$$P = Q - P_1 \quad \text{ou} \quad P_1 = \bar{\sigma}_s (a + h_t)^2.$$

semelle S₁ (sous poteau dérivé)

$$Q = 41,021 \text{ t}$$

$$B_x = B_y = B \rightarrow B \geq \sqrt{\frac{Q}{\bar{C}_S}} = \sqrt{\frac{41,021 \cdot 10^3}{3,06}} = 116 \text{ cm.}$$

$$\text{soit } B = 150 \text{ cm}$$

$$h \geq \frac{B-b}{4} = \frac{150-45}{4} = 26,25 \text{ cm} \quad \text{on prends } h=30 \text{ cm}, h_f=35 \text{ cm}$$

$$\underline{\text{épaisseur de la semelle}} \quad e \geq 6\phi + 6 = 6 \times 1,2 + 6 = 13,2 \text{ cm}$$

$$\text{soit } e = 15 \text{ cm.}$$

vérification de la contrainte du sol :

on calcule l'effort normal de compression en tenant compte du poids propre de la semelle et des poids des terres.

- poids propre de la semelle : $\varphi_s = 2,5 \times B \left[B \times h_f - \frac{B-b}{2} (h_f - e) \right]$

$$\varphi_s = 1,58 \text{ t}$$

- poids des terres : $\varphi_t = 8B(B-b) \left[(h_{\text{anc}} - h_f) + \frac{h_f - e}{2} \right]$

$$\varphi_t = 3,54 \text{ t.}$$

$$\varphi_{\text{tot}} = 46,141 \text{ t}$$

$$\sigma_s = \frac{\varphi_{\text{tot}}}{S} = \frac{46,141 \cdot 10^3}{150^2} = 2,05 < \bar{\sigma}_s$$

calcul des armatures :

$$A_x = A_y = \frac{46,141 \cdot 10^3 (150-45)}{8 \times 30 \times 2800} = 7,21 \text{ cm}^2$$

soit 7T12 (7,92 cm²)

vérification de la condition de non poinçonnement :

$$\begin{cases} P_c = 320 \text{ cm} \\ P_t = 13120 \text{ cm} \end{cases} \quad 1,2 \bar{\sigma}_b \geq 4,42 \text{ kg/cm}^2 \quad (\bar{\sigma}_b = 5,9 \text{ kg/cm}^2)$$

vérification sous S₂

$$Q = 57,055 + 1,58 + 3,54 = 62,175 \text{ t.}$$

$$\frac{\varphi_t}{B^2} = 2,76 < 1,3 \bar{\sigma}_s.$$

Nb: pour le calcul des autres semelles on donnera le calcul dans un tableau.

Tableau - Ferrailage des semelles.

XX	S_2	S_3	S_4
$Q_{SP_1}(t)$	68,71	99,625	59,479
$B \geq \sqrt{\frac{Q}{\sigma_s}}$	151,3	182,2	140,8
$B_{\text{adapté}} (\text{cm})$	180	200	160
$h \geq \frac{B-b}{4}$	33,8	38,75	28,75
$h_{\text{adapté}} (\text{cm})$	40	45	35
$Q_{\text{Tot}} = Q_s + Q_{\text{ter}} + Q$	76,13	109,89	65,55
$\bar{\sigma}_s = \frac{Q_{\text{Tot}}}{B^2} < 3,06$	2,35	2,75	2,56
$A_x = A_y = \frac{Q(B-b)}{8h\sigma_a}$	11,47 ($A=12,44$) 11 T 12 ($e=16,5 \text{ cm}$)	16,9 (16,96) 15 T 12 ($e=13 \text{ cm}$)	9,62 (10,18 cm^2) 9 T 12 ($e=17,5$)
$1,2 \bar{\sigma}_b \geq 1,5 P / p_{ch,t}$	5,3	4,47	5,19
$Q_{SP_2}(t)$	78	96,755	65,785
$Q_{\text{Tot}}(SP_2)$	86,02	107,01	71,86
$\bar{\sigma}_s = \frac{Q(SP_2)}{B^2}$	2,65	2,4	2,57

S_2 - semelle sous poteau (trans. inter.) (Poteau de façade)

S_4 - — " — (Long. rive) (Poteau de façade)

S_3 - semelle sous poteau central

Longrines

les longrines seront calculées conformément à l'article (4.2.2.3 R.P.A 81)
 Elles doivent pouvoir équilibrer une force axiale de compression
 ou de traction au moins égale à 10% de la plus grande charge verticale.

Dans notre cas la plus grande charge verticale est : $N^{\max} = 99,62 \text{ t}$

On prendra des longrines de (40x40).

* en compression

$$N = 10\% \times 99,62 = 9,96 \text{ t} ; \bar{\sigma}_b' = \frac{N}{40^2} = \frac{9,96 \times 10^3}{40^2} = 6,23 \text{ kg/cm}^2 < \bar{\sigma}_{b_0}' = 68,5 \text{ kg/cm}^2$$

$$A_\ell = \left(\frac{9,96 \cdot 10^3}{68,5} - 40 \times 40 \right) \frac{1}{15} = < 0$$

* en traction :

$$A_\ell \geq \frac{N}{\bar{\sigma}_a} = \frac{9,96 \times 10^3}{2800} = 3,56 \text{ cm}^2$$

on prendra 4T12 ($A = 4,52 \text{ cm}^2$) avec un espacement de 16 cm.

voiles périphériques

le voile périphérique reprend les efforts sismiques et assure une stabilité à l'ensemble de l'ouvrage. Nous le calculerons comme une dalle qui s'appuie sur les poteaux, les poutres du ROC et encastré dans la fondation.

En plus de la poussée des terres nous prenons en compte une surcharge éventuelle de 500 kg/m^2

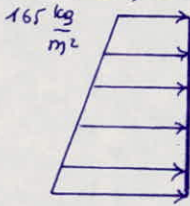
La poussée des terres :

$$\tilde{\Gamma}_z = k_a (\gamma z + q)$$

$$k_a = \gamma g^2 \left(\frac{1}{4} - \frac{\varphi}{2} \right) = 0,33 \text{ coef. de poussée}$$

$$\begin{cases} \tilde{\Gamma}(0) = 0,33 \times 500 = 165 \text{ kg/m}^2 \\ \tilde{\Gamma}(H) = 2820 \text{ kg/m}^2 \end{cases}$$

distribution de la poussée :



pour le calcul nous prendrons une charge uniformément répartie $q = 2820 \text{ kg/m}^2$.

Soit le panneau $\begin{cases} l_x = 4,22 \text{ m.} \\ l_y = 5,55 \text{ m.} \end{cases}$

$$f = 0,76 \rightarrow \begin{cases} M_x = 0,0658 \\ M_y = 0,625 \end{cases} \rightarrow \begin{cases} M_x = 3,30 \text{ t.m} \\ M_y = 2,07 \text{ t.m} \end{cases}$$

$$M_{E_x} = 0,85 \cdot 3,30 = 2,81 \text{ t.m} \rightarrow A = 8,77 \text{ cm}^2 \cdot (6714/\text{mL})$$

$$6714 \text{ (A = 9,23 cm}^2\text{)}$$

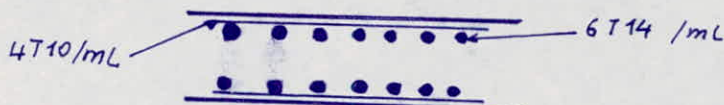
Armatures de répartition $A_r = \frac{A}{4} = 2,2 \text{ cm}^2$ on adopte $4T10 (3,14 \text{ cm}^2)$

Remarque d'après R.P.A

$$(A_{min})_1 \text{ (filantes sup et inf.)} \geq 0,2 / 6 h_f = 3 \text{ cm}^2$$

$$(A_{min})_2 \text{ Armatures de peau} \geq 2 \text{ cm}^2/\text{mL}$$

A adopté $> A_{min}$ exigé par R.P.A.



BLOC 2 A

USAGE

INDUSTRIEL

(CENTRALE TELEPHONIQUE)

Prédimensionnement

. poutrelles: Terasse : $b_0 \times h_t = (20 \times 40) \text{ cm}^2$.

courant : $b_0 \times h_t = (25 \times 50) \text{ cm}^2$.

RDC : $b_0 \times h_t = (25 \times 50) \text{ cm}^2$.

. dalle: pour tous les planchers ($h_0 = 10 \text{ cm}$).

. poutres:

sens longitudinal: $b_0 \times h_t = 35 \times 90$

sens transversal: $b_0 \times h_t = 35 \times 70$

. poteaux:

. poteaux de la File centrale dans le sens longitudinal:

Pour le poteau le plus chargé $N(G+1,2P) = 280t$.

$$bh \geq K \cdot \frac{N}{\sigma'_{28}} \quad N = 280t \quad \sigma'_{28} = 275 \text{ Kg/cm}^2.$$

$K = 4$ en Zone II.

d'où le choix d'une section 65×65 . pour le sous sol
- R.D.C, 1^{er} étage

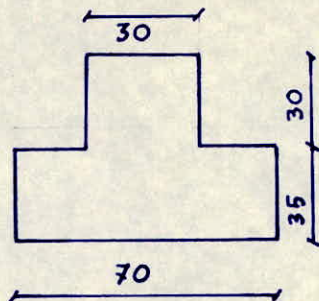
Pour le 2^{ieme} et 3^{ieme} étage : les poteaux ont une section
de 55×55 .

. poteaux de la File de rive

On a des poteaux de section en T:

$$N(G+1,2P) = 192t$$

$A = bh \geq K \cdot \frac{N}{\sigma'_{28}} = 2782 \text{ cm}^2$ ce qui donne pour
un choix de section :



charges et surcharges :

1. plancher terrasse :

a/ charges permanentes :

- Gravier de protection 5cm (1700. 0.05) =	85 KG/m ²
- Forme de pente	110 KG/m ²
- isolation phonique (liège) . 0.04 × 400 =	16 KG/m ²
- Etanchéité,	20 KG/m ²
- dalle de Béton (h ₀ = 10cm)	250 KG/m ²
- Enduit + plâtre (1,5 cm)	27 KG/m ²

Poids propre

$$\underline{G = 508 \text{ KG/cm}^2}$$

b/ surcharges :

la Terrasse est conçue non accessible (sauf entretien)

$$P = 100 \text{ KG/m}^2.$$

2. plancher courant

a/ charges permanentes :

- carrelage (15mm) 0,015 × 2200 =	33 KG/m ²
- Mortier de pose (1cm) 0,01 × 2000 =	20 KG/m ²
- sable (3cm) 0,03 × 1800 =	54 KG/m ²
- dalle de Béton (h ₀ = 10cm)	250 KG/m ²
- Enduit 1,5 cm	27 KG/m ²

Poids propre

$$\underline{G = 384 \text{ KG/m}^2}$$

b/ les surcharges d'exploitation :

$$P = 600 \text{ KG/m}^2.$$

3. plancher RDC :

a/ charges permanentes :

- carrelage 15mm	33 KG/m ²
- mortier de pose	20 KG/m ²
- sable	54 KG/m ²
- dalle de Béton (h ₀ = 10cm)	250 KG/m ²
- cloisons	75 KG/m ²
- enduit	27 KG/m ²

Poids propre

$$\underline{G = 459 \text{ KG/m}^2}$$

b/ surcharges :

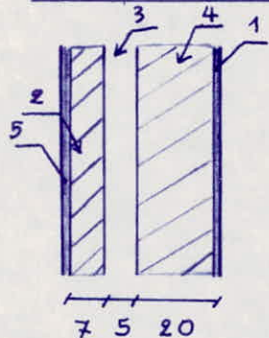
les surcharges sont variables

$$P_1 = 2000 \text{ Kg/m}^2 \quad P_2 = 800 \text{ KG/m}^2 \quad P_3 = 600 \text{ Kg/m}^2$$

Remarque :

les planchers des Etages courants ne comportent pas de cloisons, le R.D.C comporte des cloisons.

4. Murs Extérieures:

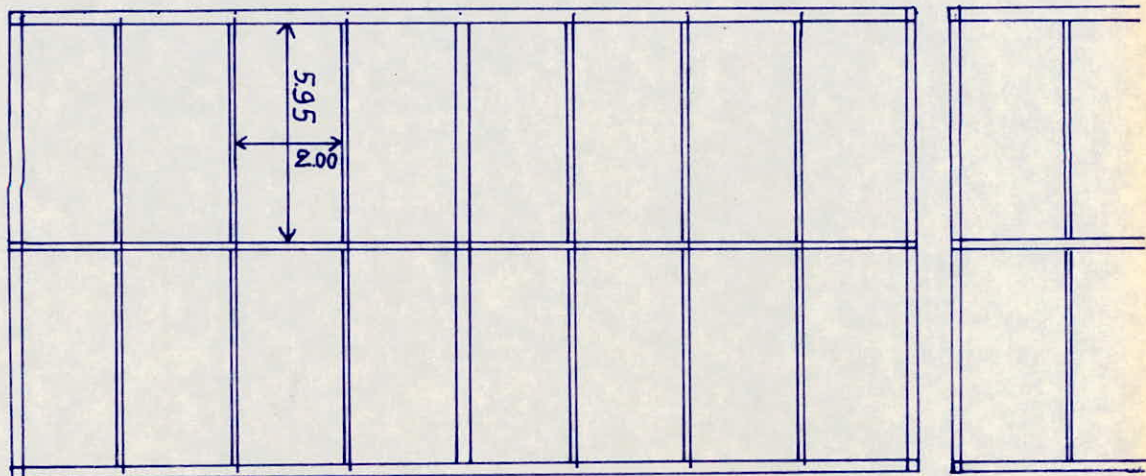


1. Enduit extérieur (2cm)	40 KG/m ²
2. Briques creuses (7cm)	98 KG/m ²
3. Vide d'air (5cm)	
4. Briques creuses (20cm)	280 KG/m ²
5. Enduit intérieur (1cm)	20 KG/m ²
Poids propre	<u>G = 438 Kg/m²</u>

Calcul des dalles

1. dalle du plancher courant:

a) Présentation du plancher:



b) calcul d'un panneau de dalle:

- coffrage : épaisseur $h_0 = 10 \text{ cm}$.

$l_x = 200 \text{ cm}$ (petite portée entre nus d'appuis)

$l_y = 595 \text{ cm}$ (Grande portée = = = =)

- poids propre $G = 384 \text{ KG/m}^2$

- surcharges $P = 600 \text{ KG/m}^2$

soit $\ell = l_x / l_y = 0,336 < 0,4$

alors la dalle travaille dans 1 seul sens (sens des petites portées)

la sollicitation pondérée du 1^{er} genre soit :

$$S_1 = G + 1,2 P = 384 + 1,2 \cdot 600 = 1104 \text{ KG/m}^2$$

la sollicitation pondérée du 2^{ème} genre soit :

$$S_2 = G + 1,5 P = 384 + 1,5 \cdot 600 = 1284 \text{ KG/m}^2$$

Dans ce cas, les contraintes admissibles sont majorées de 50%

soit le rapport $S_2/S_1 = 1,16 < 1,5$.

la sollicitation S_1 est plus défavorable, donc il est inutile d'envisager S_2 .

c) détermination des sollicitations:

dans un premier cas, le panneau est supposé articulé sur son contour

les moments fléchissants isostatiques au centre du panneau sont donnés par :

$$\text{Dans le sens de } l_x : M_{ox} = (M_1 + \nu M_2) P$$

$$\text{Dans le sens de } l_y : M_{oy} = (M_2 + \nu M_1) P$$

$$\text{avec } P = q l_x \cdot l_y \quad q = g + 1,2 P \quad \nu = 0,15$$

M_1, M_2 sans dimensions, sont lus à partir du rapport l_x/l_y , d'après les résultats de pigeaud on a :

$$\rho = 0,336 \rightarrow M_1 = 0,0415 \quad \ell' = 1/\rho = 2,976 \rightarrow M_2 = 0,003$$

d'où les moments sont :

$$M_{ox} = 551,12 \text{ Kgm/ml} \quad M_{oy} = 121,2 \text{ Kgm/ml}$$

Dans un 2^{em} cas, on suppose une dalle encastrée, donc on va répartir les moments.

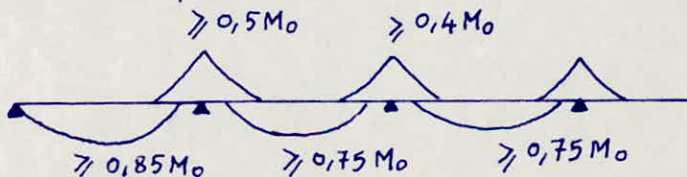
dalle continue - répartition des moments :

les moments sont choisis avec cet inégalité :

$$M_t + \frac{M_w + M_e}{2} \geq 1,25 M_o$$

de plus, on doit tenir compte de ce que les moments d'enca斯特ment sur les petits côtés atteignent des valeurs de même ordre que sur les grands côtés.

dans le cas de plusieurs travées, on doit satisfaire



ce qui correspond dans notre cas ; à prendre $M_E = 0,9 M_o$ en travée et $M_a = 0,6 M_o$ sur appui.

calcul des aciers

dispositions constructives

le diamètre des barres utilisées est au plus égal à ϕ_{max}

qui correspond $h_0/10 = 10/10 = 1 \text{ cm}$

l'enrobage e doit être tel que :

$$e \geq \left\{ \begin{array}{l} \phi \text{ diamètre des barres ; } 1 \text{ cm local couvert} \\ \Rightarrow e = 1 \text{ cm.} \end{array} \right.$$

les hauteurs utiles h_x et h_y .

$$h_x = h_0 - e - \phi l_x/2 = 10 - 1 - 0,8/2 = 8,6 \text{ cm}$$

$$h_y = h_x - \phi l_y = 8,6 - 0,8 = 7,8 \text{ cm.}$$

armatures inférieures dans le sens de l_x :

$$M_{tx} = 0,9 M_{ox} = 496 \text{ Kg m / ml}$$

le Ferailage d'après la méthode de P. Charron:

$$\mu = \frac{15 M}{\bar{b}_a b h_x^2} = 0,0359 \quad | \begin{array}{l} \varepsilon = 0,9188 \\ K = 46,6 \end{array}$$

$$\bar{b}'_b = \frac{\bar{b}_a}{K} = \frac{2800}{46,6} = 60 < \bar{b}'_b = 137 \text{ Kg / cm}^2 \rightarrow A' = 0$$

$$A_{tx} = \frac{M_{tx}}{\varepsilon h_x \bar{b}_a} = \frac{496 \cdot 10^2 \text{ Kg cm}}{0,9188 \cdot 8,6 \cdot 2800} = 2,24 \text{ cm}^2.$$

On adopte 5TB / e = 20 cm $A_{choisi} = 2,51 \text{ cm}^2$.
dans le sens perpendiculaire, on arme avec une section minimum $A_y = A_{tx}/4 = 2,51/4 = 0,58 / 4 \text{ TG}$, e = 25 cm.
Vérifications:

. vérification de la condition de non fragilité:

armatures inférieures disposées suivant l_x ou l_y doit être au moins égale à :

$$A = \max(A_0, \min(A_1, A_2)).$$

A_0 : section d'armatures suffisante pour résister aux sollicitations $G + 1,2P$ soit $A_0 = 2,51 \text{ cm}^2$

A_1 : section d'armatures nécessaire pour résister aux mêmes sollicitations majorés de 20% soit $A_1 = 3,012 \text{ cm}^2$.

A_2 : section d'armatures équilibrant les efforts de fissuration est $A_2 = b h_x 0,69 \frac{2 - 9}{2} \frac{\bar{b}_b}{6 \text{ en}} = 100 \cdot 8,6 \cdot 0,69 \frac{2 - 0,336}{2} \frac{5,9}{4200}$

$$A_2 = 0,69 \text{ cm}^2.$$

En définitif, $A_{adoptée} = 2,51 \text{ cm}^2 = \max(A_0, \min(A_1, A_2))$.

de plus, on doit vérifier :

$$\frac{A/bh_0}{6 \text{ en} - 2200} \geq \frac{1,2}{2200} \Leftrightarrow \frac{2,51}{100 \cdot 10} = 2,51 \cdot 10^{-3} > \frac{1,2}{4200 - 2200}$$

Dans le sens de l_y , la condition de non fragilité est aussi vérifiée.

. vérification des espacements:

Dans la direction la plus sollicitée (l_x) dans le cas d'une charge répartie, l'espacement admissible \bar{E} est :

$$\bar{E} = \min(3h_E, 33 \text{ cm}) = \min(30, 33) = 30 \text{ cm}.$$

$$t \text{ adopté} = 20 \text{ cm} < \bar{E} = 30 \text{ cm}$$

Dans la direction perpendiculaire, l'espacement admissible $\bar{t} = \min(4ht, 45 \text{ cm}) = \min(40 ; 45)$

$$t \text{ adopté} = 25 \text{ cm} < \bar{t} = 40 \text{ cm}$$

calcul des Armatures sur appui:

. sens de l_x : Mappui = 0,6 Mo = 330,67 Kg m / m L.

Ferraillage d'après P. charron:

$$\mu = \frac{15M}{\bar{b}_a b h x^2} = 0,0239 \quad | \begin{matrix} \epsilon = 0,9324 \\ K = 59 \end{matrix}$$

$$\bar{b}'_b = \bar{b}_a / K = 2800 / 59 = 47 < \bar{b}'_b \rightarrow A' = 0$$

$$A = \frac{M}{\epsilon h x \bar{b}_a} = \frac{330,67 \cdot 100}{0,9324 \cdot 8,6 \cdot 2800} = 1,47 \text{ cm}^2$$

on choisit $T6/e = 16 \text{ mm}$

Dans le sens de l_y : $T6/e = 16 \text{ mm}$.

Arrêt des Armatures inférieurs:

les aciers inférieurs dans chaque sens peuvent être arrêté par moitié.

la longueur du lit arrêté en travée est $0,8 l_x$ pour le sens principal ($0,8 l_x = 160 \text{ cm}$) et $l_y - 0,2 l_x$ pour le sens secondaire ($595 - 0,2 \cdot 200 = 5,55 \text{ cm}$), l'autre moitié étant totalement ancré au delà de la ligne d'appui.

les armatures supérieures (chapeaux) ont une longueur égale au Max ($l'd$, $l_x/5$)

$$l'd = \frac{\bar{b}_a \emptyset}{\bar{c}_d 4} = \frac{2800 \cdot 0,6}{16,59 \cdot 4} = 25,31 \text{ cm} \quad \text{avec } \bar{c}_d = 1,25 \sqrt{d^2 \bar{b}_b} .$$

$$l_x/5 = 200/5 = 40 \text{ mm}$$

$$\text{d'où } l = 45 \text{ cm} .$$

En effet, vu que suivant l_x , la portée est petite donc on pourra laisser filer les barres ($l_x = 2,00 \text{ m}$) par contre, suivant $l_y = 5,95 \text{ m}$, ce n'est pas économique de laisser filer les barres, donc On procédera à un arrêt suivant l_y .

vérification à l'effort tranchant:

l'effort tranchant sous l'effet des charges uniformément réparties est T :

la charge totale au m^2 est $q = g + 1,2 p = 1104 \text{ Kg/cm}^2$
soit une charge totale sur le planneau $P = q l_x l_y$

$$P = 1104 \cdot 2.00 \cdot 5,95 = 13137,6 \text{ Kg.}$$

l'effort tranchant par unité de longueur est max
au milieu du grand côté et a pour valeur;

$$T = \frac{P}{2 l_y + l_x} = \frac{13137,6 \text{ KG}}{2.5,95 + 2.00} = 945,15 \text{ KG./mL.}$$

la contrainte $\tau_b = \frac{T}{b_0 z} = \frac{945,15 \text{ KG}}{100 \cdot 7,525} = 1,25 \text{ Kg/cm}^2 / \text{mL.}$

le bras de levier

$$z = \frac{7}{8} h = \frac{7}{8} \cdot 8,6 = 7,525 \text{ cm.}$$

la contrainte admissible $\bar{\tau}_b = 1,15 \bar{\sigma}_b = 1,15 \cdot 5,9 = 6,785 \text{ Kg/cm}^2$

$$\tau_b < \bar{\tau}_b \Rightarrow A_t = 0 \quad (\text{Pas d'armatures transversales})$$

fissuration:

fissuration peu nuisible $K = 1,5 \cdot 10^6$.

Acier HA $\gamma_l = 1,6 \quad \phi = 8 \text{ mm.}$

$$\tilde{W}_f = \frac{A}{B_f} = \frac{2,51}{2 \cdot 1,4 \cdot 100} = 8,96 \cdot 10^{-3}$$

$$\sigma_1 = K \gamma_l / \phi \frac{\tilde{W}_f}{1 + 10 \tilde{W}_f} = 2646,44 \text{ Kg/cm}^2.$$

$$\sigma_2 = 2,4 \sqrt{\frac{K \gamma_l \bar{\sigma}_b}{\phi}} = 3193 \text{ Kg/cm}^2.$$

$$\bar{\sigma}_a = 2800 \text{ Kg/cm}^2 \leq \text{Max } (\sigma_1, \sigma_2)$$

donc la fissuration est vérifiée.

Vérification de la flèche (CCBA 68 art 61.22)

On peut admettre qu'il n'est pas utile de donner une justification de la flèche si les 2 conditions sont vérifiées

$$1. \frac{h_0 / l_x}{\gamma_l} \geq \frac{1}{20 M_x} \quad \text{avec} \quad M_x \geq 0,75 \text{ Mox.}$$

$$2. \frac{A}{bh} \leq 20 / 6 \text{ en}$$

$$1. \frac{h_0/l_x}{200} > \frac{0,9 M_{ox}}{20 M_{ox}} = 0,045 \text{ (vérifiée)}$$

$$2. A/bh = \frac{2,51}{100 \cdot 8,6} = 2,91 \cdot 10^{-3} < \frac{20}{6 \text{ cm}} = \frac{20}{4200} = 4,76 \cdot 10^{-3}$$

les 2 conditions sont vérifiées d'où la flèche est vérifiée.

Dalle plancher terrasse: $G = 508 \text{ Kg/m}^2$ $P = 100 \text{ Kg/m}^2$

la Méthode de calcul reste la même, donc nous étions amenés à donner que les résultats de calcul.

soffrage $h_0 = 10 \text{ cm}$, $l_x = 205 \text{ cm}$ $l_y = 595 \text{ cm}$.

la dalle travaille dans 1 seul sens (petites portées)

les moments fléchissants isostatiques au centre du panneau sont: $M_{ox} = 314 \text{ Kgm/ml}$ $M_{oy} = 69,5 \text{ Kgm/ml}$.

les moments en travée $M_{tx} = 0,9 M_{ox} = 282,6 \text{ Kgm/ml}$.

$M_{ty} = 0,9 M_{oy} = 62,55 \text{ Kgm/ml}$.

les armatures inférieures: A_{xt} (calculé avec M_{tx}) = $1,25 \text{ cm}^2$

On adopte T8 / e = 20 cm dans le sens porteur.

dans l'autre sens, on adopte T6 / e = 25 cm.

Vérifications:

. condition de non fragilité:

$$A = \max(A_0, \min(A_1, A_2))$$

$$A_0 = 2,51 \text{ cm}^2, A_1 = 3,012 \text{ cm}^2 A_2 = 0,69 \text{ cm}^2$$

donc A adopté = $2,51 \text{ cm}^2$ vérifie la condition.

. Espacements:

sens de l_x : $\bar{E} = \min(3ht, 33) = 30 \text{ cm}$

$$t \text{ adopté} = 20 \text{ cm} < 30 \text{ cm}$$

sens de l_y $\bar{t} = \min(4ht, 45) = 40 \text{ cm}$

$$t \text{ adopté} = 25 \text{ cm} < \bar{t} = 40 \text{ cm}$$

. les moments sur appui

$$M_{appui} = 0,6 M_{ox} = 0,6 \cdot 314 = 188,4 \text{ Kgm/ml}$$

la section d'aciéros sur appui est $A = 0,83 \text{ cm}^2$

On adopte T6 / e = 20 cm.

arrêt des armatures inférieures:

la longueur du lit arrêté dans le sens principal est 164 cm.
et pour le sens secondaire $l_y = 5,54 \text{ cm}$.

l'autre moitié étant totalement ancré au delà de la ligne d'appui.

Pour les armatures supérieures (chapeaux) ont une longueur égale au max ($l'd$, $lx/5$) soit $l = 45 \text{ cm}$.

Vérification de la flèche:

$$\cdot \frac{h_0/l_x}{205} = \frac{10}{205} = 0,0487 > \frac{0,9 \text{ Mox}}{20 \text{ Mox}} = 0,045 \quad \text{vérifiée.}$$

$$\cdot \frac{A/bh}{100 \cdot 8,6} = \frac{2,51}{100 \cdot 8,6} = 2,91 \cdot 10^{-3} < \frac{20}{\sigma_{en}} = \frac{20}{4200} = 4,76 \cdot 10^{-3}$$

les 2 conditions sont vérifiées, inutile de faire un calcul justifié de la flèche :

Vérification à l'effort tranchant:

$$\text{l'effort tranchant } T = \frac{P}{2ly + lx} = \frac{7660 \text{ KG/mL}}{2 \cdot 5,95 + 2,05} = 549,1 \text{ Kg.}$$

$$\text{avec } P = q \cdot lx \cdot ly = 628 \cdot 2,05 \cdot 5,95 = 7660,03 \text{ KG}$$

$$\text{la contrainte } \tau_b = \frac{T}{b \cdot z} = \frac{549,1}{100 \cdot 7/8 \cdot 8,6} = 0,73 \text{ Kg/cm}^2 / \text{ml}$$

$$\bar{\tau}_b = 1,15 \bar{\sigma}_b = 1,15 \cdot 5,9 = 6,785 \text{ Kg/cm}^2.$$

$$\tau_b < \bar{\tau}_b \Rightarrow A_t = 0 \quad (\text{Pas d'armatures transversales})$$

Fissuration:

fissuration peu nuisible, Acier HA, $\phi = 8 \text{ mm}$. $\bar{w}_f = 8,96 \cdot 10^{-3}$

$$\bar{\sigma}_1 = 2246,5 \text{ Kg/cm}^2 \quad \bar{\sigma}_2 = 3193 \text{ Kg/cm}^2.$$

$$\bar{\sigma}_a = 2800 \text{ Kg/cm}^2 < \max(\bar{\sigma}_1, \bar{\sigma}_2).$$

vérifiée.

Dalle du R.D.C

coffrage $h_0 = 10 \text{ cm}$, $l_x = 200 \text{ cm}$ $l_y = 298 \text{ cm}$

Poids propre : $G = 459 \text{ Kg/m}^2$.

Surcharge $P = 2000 \text{ Kg/m}^2$.

$$P = \frac{l_x}{l_y} = 0,671 > 0,4 \text{ la dalle travaille dans les 2 sens.}$$

les moments développés au centre du planneau dans la direction des 2 bandes ont pour expression :

- dans le sens de la petite portée l_x :

$$M_{bx} = M_x q l_x^2$$

- dans le sens de la grande portée l_y :

$$M_{by} = M_y M_x$$

les valeurs de M_x et M_y sont données en fonction de

$$\beta = l_x/l_y$$

$$\beta = 0,671 \rightarrow M_x = 0,0764 \quad M_y = 0,516.$$

$$q = g + 1,2 P = 2859 \text{ Kg/m}^2.$$

d'où

$$M_{bx} = 874 \text{ Kgm/ml} \quad M_{by} = 451 \text{ Kgm/ml}.$$

Armatures inférieures dans le sens de l_x :

$$M_{tx} = 0,9 \quad M_{bx} = 787 \text{ Kgm/ml}.$$

Ferailage d'après P. charron :

$$m = \frac{15 \cdot M}{\bar{\sigma}_a b h_x^2} = \frac{15 \cdot 787 \cdot 100}{2800 \cdot 100 \cdot 8,5^2} = 0,0584 \quad \left. \begin{array}{l} \varepsilon = 0,8996 \\ K = 34,8 \end{array} \right.$$

$$\bar{\sigma}'_b = \frac{\bar{\sigma}_a}{K} = \frac{2800}{34,8} = 80,5 \quad \bar{\sigma}'_b = 137 \text{ Kg/cm}^2 \rightarrow A' = 0.$$

$$A_{tx} = \frac{M}{\varepsilon \cdot h_x \bar{\sigma}_a} = \frac{787 \cdot 10^2}{0,8996 \cdot 8,5 \cdot 2800} = 3,7 \text{ cm}^2$$

On adopte T8 / e = 13,5 cm soit $A = 3,72 \text{ cm}^2$.

Armatures inférieures dans le sens de l_y :

$$M_{ty} = 0,9 \quad M_{by} = 0,9 \cdot 451 = 406 \text{ Kgm/ml}.$$

$$m = \frac{15 M}{\bar{\sigma}_a b h_y^2} = \frac{15 \cdot 406 \cdot 100}{2800 \cdot 100 \cdot 7,5^2} = 0,0387 \quad \left. \begin{array}{l} K = 44,7 \\ \varepsilon = 0,9162 \end{array} \right.$$

$$\bar{\sigma}'_b = \bar{\sigma}_a / K = \frac{2800}{44,7} = 63 \quad \bar{\sigma}'_b = 137 \text{ Kg/cm}^2.$$

$$A_{ty} = \frac{406 \cdot 10^2}{2800 \cdot 0,9162 \cdot 7,5} = 2,11 \text{ cm}^2$$

On adopte $T8 / e = 20 \text{ cm}$ soit $A = 2,51 \text{ cm}^2$.

Vérification de la condition de non fragilité:

Adoptée = $3,72 \text{ cm}^2 = \max(3,72, \min(4,46, 0,55))$
condition vérifiée dans le sens de l_x .

Adoptée = $2,51 \text{ cm}^2 = \max(2,51, \min(3,012 ; 0,304))$.
vérifiée dans le sens de l_y .

Vérification des espacements:

sens l_x : $\bar{t} = \min(3ht, 33) = 30 \text{ cm}$.

$$t = 13,5 \text{ cm} < \bar{t} = 30 \text{ cm}.$$

sens l_y : $\bar{t} = \min(4ht, 45) = 40 \text{ cm}$.

$$t = 20 \text{ cm} < \bar{t} = 40 \text{ cm}.$$

Calcul des Armatures sur appui:

les moments sont choisis d'une manière tel que $M_{\text{Max}} = M_{\text{May}}$.

d'où $M_{\text{appui}} = 0,6 M_{\text{ox}} = 0,6 \cdot 874 = 524 \text{ Kg.m/m}$.

$$\mu = \frac{15 \text{ M}}{\bar{b}a \cdot h \cdot h^2} = \frac{15 \cdot 524 \cdot 100}{2800 \cdot 100 \cdot 8,5^2} = 0,0388 \quad | \begin{array}{l} K = 44,6 \\ \epsilon = 0,9161 \end{array}$$

$$\delta'_b = \bar{b}a / K = 2800 / 44,6 = 63 < \delta'_b = 137 \text{ kg/mm}^2 \Rightarrow A' = 0$$

$$A' = \frac{M}{\epsilon h \cdot \bar{b}a} = \frac{524 \cdot 100}{0,9161 \cdot 8,5 \cdot 2800} = 2,4 \text{ cm}^2.$$

On adopte $T8 / e = 20 \text{ cm}$.

Vérification de la flèche:

$$\frac{h_0}{l_x} = \frac{10}{200} = 0,05 > 0,045 = \frac{1 \text{ Mox. } 0,9}{20 \text{ Mox}} =$$

$$A/bh = 3,72 / 100 \cdot 8,5 < \frac{20}{6 \text{ cm}} = \frac{20}{4200} = 4,76 \cdot 10^{-3}.$$

donc la flèche est vérifiée.

vérification à l'effort tranchant:

l'effort tranchant $T = \frac{P}{2ly + lx}$ avec $P = qlx \cdot ly$.

$$P = 17039,6 \text{ Kg} \quad \text{d'où} \quad T = \frac{17039,6}{2 \cdot 2,98 + 2,00} = 2140,7 \text{ kg.}$$

$$\chi_b = \frac{T}{b \cdot z} = \frac{2140,7}{100 \cdot 7/8 \cdot 8,5} = 2,9 \text{ Kg/cm}^2.$$

$$\bar{\tau}_b = 1,15 \bar{\sigma}_b = 6,8 \text{ kg/cm}^2 \quad \chi_b < \bar{\tau}_b \Rightarrow A_t = 0.$$

fissuration:

fissuration peu visible, HA, $\phi = 8 \text{ mm}$. $\bar{w}_f = 0,0133$. $\eta = 1,6$.

$$\bar{\sigma}_1 = 3938 \text{ kg/cm}^2 \quad \bar{\sigma}_2 = 3193 \text{ kg/cm}^2.$$

$$\bar{\sigma}_a = 2800 \leq \max(\bar{\sigma}_1, \bar{\sigma}_2).$$

d'où la fissuration est vérifiée.

Panneau du RDC (2^{ème} type de dalle)

soffrage $h_0 = 10 \text{ cm}$ $l_x = 200 \text{ cm}$ $l_y = 5,95 \text{ m}$.

Poids propre $G = 459 \text{ Kg/m}^2$ surcharge $P = 800 \text{ Kg/m}^2$.
 $P = l_x/l_y = 0,336 < 0,4$ (dalle travaille dans 1 seul sens). donc la dalle se calcule comme une poutre :

le moment fléchissant isostatique $M_{ox} = q l_x^2/8 = 709,5 \text{ Kgm}$. Pour tenir compte de l'enca斯特rement aux appuis, on va repartir le moment.

$$M_{tx} = 0,9 M_{ox} = 638,6 \text{ (en travée)}$$

$$M_{ax} = 0,6 M_{ox} = 426 \text{ Kgm/ml}$$

détermination des armatures en travée :

$$M_{tx} = 638,6 \text{ Kgm/ml}$$

$$\mu = \frac{15 \text{ M}}{\bar{b}a \cdot b \cdot h_x^2} = \frac{15 \cdot 638,6 \cdot 100}{2800 \cdot 100 \cdot 8,5^2} = 0,0474 \quad \left| \begin{array}{l} \epsilon = 0,9083 \\ K = 39,5 \end{array} \right.$$

$$\sigma'_b = \frac{\bar{b}a}{K} = \frac{2800}{39,5} = 71 < \bar{b}'_b = 137 \text{ kg/cm}^2 \Rightarrow A' = 0$$

$$A_{tx} = \frac{-M}{\epsilon h \times \bar{b}a} = \frac{638,6 \cdot 10^2}{0,9083 \cdot 8,5 \cdot 2800} = 2,95 \text{ cm}^2$$

On adopte T8 /e = 17 cm soit $A = 2,96 \text{ cm}^2$.

Pour les armatures dans le sens de l_y , on prend une quantité minimum $A_{ty} = A_{tx}/4 = 0,74 \text{ cm}^2$.

On adopte T6 /e = 20 cm (soit $A = 1,41 \text{ cm}^2$).

Vérifications :

condition de non fragilité :

$$A_{adopté} = 2,96 \text{ cm}^2 = \max(A_0, \min(A_1, A_2)).$$

$$\text{soit } A_1 = 3,6 \text{ cm}^2 \quad A_0 = 2,96 \text{ cm}^2 \quad A_2 = 0,7 \text{ cm}^2.$$

Condition vérifiée.

Vérification des Espacements :

$$t = \min(3ht, 33 \text{ cm}) = 30 \text{ cm}.$$

$$t_{adoptée} = 17 \text{ cm} < 30 \text{ cm}.$$

détermination des armatures sur appui

Mappui = 426 Kgm / ml.

$$u = \frac{15 M}{\bar{\sigma}_a \times h \times 2} = \frac{15 \cdot 426 \cdot 10^2}{2800 \cdot 100 \cdot 8,5^2} = 0,0316 \quad | \begin{array}{l} K = 50,5 \\ \epsilon = 0,9233 \end{array}$$

$$\bar{\sigma}'_b = \frac{\bar{\sigma}_a}{K} = \frac{2800}{50,5} = 55,44 < \bar{\sigma}'_b = 137 \text{ Kg/cm}^2 \Rightarrow A' = 0.$$

$$A = \frac{M}{\epsilon h \times \bar{\sigma}_a} = \frac{426 \cdot 10^2}{0,9233 \cdot 8,5 \cdot 2800} = 1,94 \text{ cm}^2.$$

On adopte T6 / e = 14,5 cm.

dans les 2 sens.

vérification à l'effort tranchant :

$$\text{l'effort tranchant } T = \frac{P}{2ly + ex} = \frac{q lx \cdot ly}{2ly + ex} = \frac{1419 \cdot 2 \cdot 5,95}{2 \cdot 5,95 + 2 \cdot 0} = 1215 \text{ kg.}$$

$$\text{la contrainte } \tau_b = \frac{T}{b_0 z} = \frac{1215}{100 \cdot 7/8 \cdot 8,5} = 1,63 \text{ Kg/cm}^2.$$

$$\bar{\tau}_b = 1,15 \cdot \bar{\sigma}_b = 1,15 \cdot 5,9 = 6,8 \text{ kg/cm}^2$$

donc $\tau_b < \bar{\tau}_b \Rightarrow A_t = 0$.

Fissuration :

fissuration peu visible, aciers HA, $w_f = 0,0106$. $\phi = 8 \text{ mm}$

d'où $\sigma_1 = 3147 \text{ kg/cm}^2$; $\sigma_2 = 3193 \text{ kg/cm}^2$.

$$\bar{\sigma}_a = 2800 \text{ kg/cm}^2 < \max(\sigma_1, \sigma_2)$$

donc la fissuration est vérifiée.

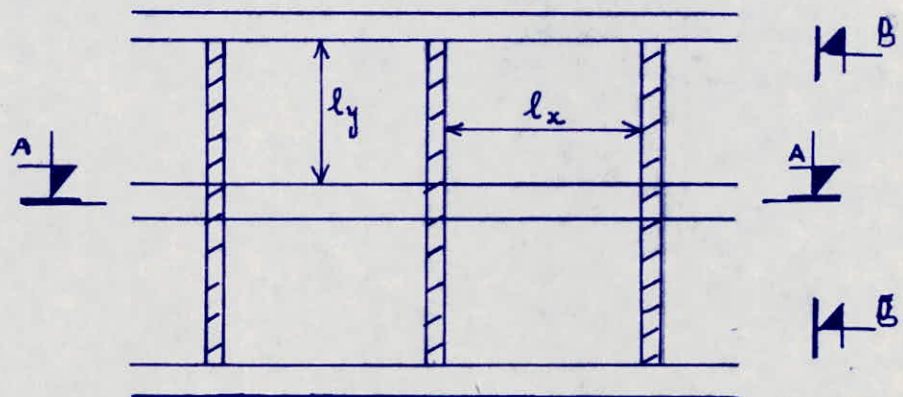
Vérification de la flèche :

$$\frac{h_0}{ex} = \frac{10}{200} = 0,05 > \frac{Mt}{20 \text{ Mox}} = \frac{0,9 \text{ Mox}}{20 \text{ Mox}} = 0,045.$$

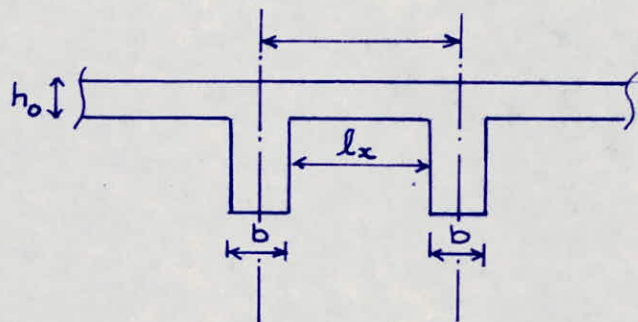
$$\frac{A}{bh} = \frac{2,96}{100 \cdot 8,5} = 3,5 \cdot 10^{-3} < \frac{20}{\sigma_{en}} = \frac{20}{4200} = 4,76 \cdot 10^{-3}.$$

CALCUL DES POUTRELLES

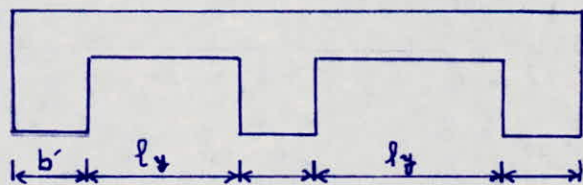
VUE EN PLAN



COUPE A-A



COUPE B-B



Poutrelles du plancher courant :

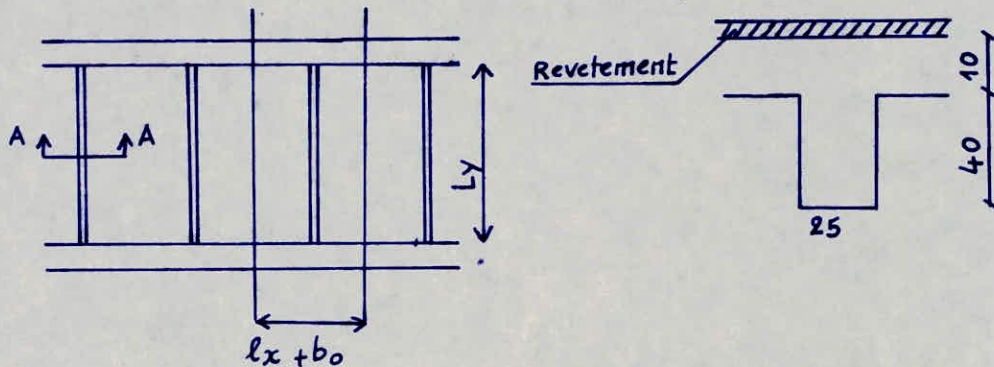
soffrage hor. = 25.50

dalle associé à la poutrelle a les dimensions suivantes:

$$h_0 = 10 \text{ cm} \quad l_x = 2.00 \text{ m} \quad l_y = 5.95 \text{ m} \quad l_x/l_y = 0,336 < 0,4$$

dans ce cas, on suppose que les charges (permanentes et d'exploitation) des panneaux de dalle se transmettent aux poutrelles lesquelles les transmettent à leur tour aux poutres sous forme de charges concentrées.

les poutrelles supportent alors les charges transmises par les dalles sur une largeur correspondant à un entre axe de poutrelles tel que le montre la figure suivante :



$$l_y = 5,95 \text{ m} \quad l_x + b_0 = 2,00 + 0,25 = 2,25 \text{ m}$$

calcul des charges :

. charges permanentes :

$$\text{dalle + revêtement : } 384 \text{ Kg/m}^2 \cdot 2,25 \text{ m} = 864 \text{ Kg/ml.}$$

$$\text{retombée des poutrelles : } 2500 \cdot 0,25 \cdot 0,4 = 250 \text{ Kg/ml.}$$

$$G = 1114 \text{ Kg/ml.}$$

. surcharges :

la surcharge au m^2 de dalle est 600 kg/m^2 que l'on pondère par 1,2 soit $P = 720 \text{ kg/m}^2$

la surcharge par ml est $P = 720 \cdot 2,25 = 1620 \text{ Kg/ml.}$

. sollicitations dans la poutrelle supposé isostatique .

$$\text{soit } M_0 = q l^2/8 \quad \text{et } T = q l/2 \quad \text{avec } l = 5,95 \text{ m.}$$

solicitations	M_0 (KG.m)	T_0 (KG)
déchargé G	4928,8	3314,15
surcharge seule	7169	4819,5
chargé	12098,8	8133,65

$$\frac{T_{0P}}{T_{0G}} = \frac{4016,25}{3314,15} = 1,2 < 1,5$$

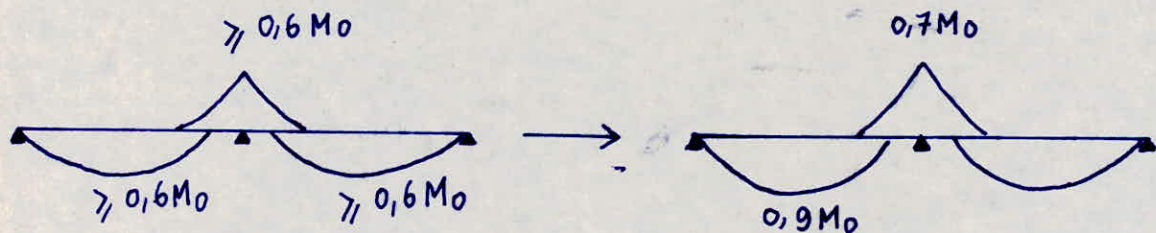
. T_{0P} : effort tranchant sans pondération.
. T_{0G} : effort tranchant dû à G

la somme des surcharges d'exploitation est inférieur à 1,5 fois la somme des surcharges variables, donc on applique la méthode forfaitaire pour le calcul de la poutrelle. (art 55 CCB A 68).

les règles CCB A 68 prescrivent la formule suivante:

$$M_t + \left| \frac{M_{i-1} + M_i}{2} \right| \geq 1,15 M_0$$

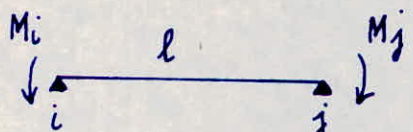
ce qui correspond à :



CCBA.68.

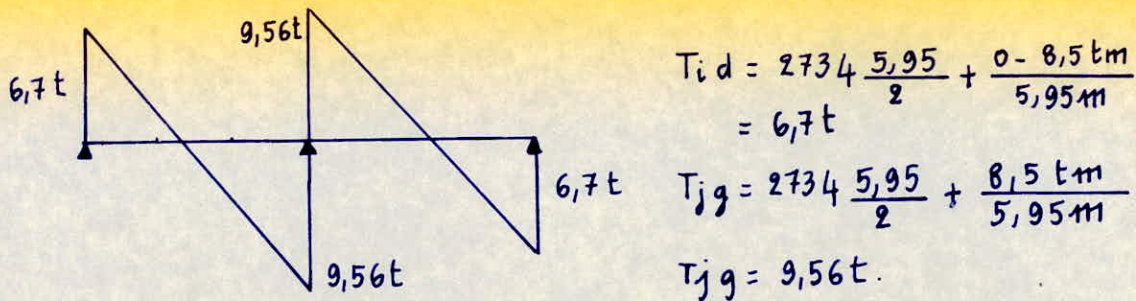
les moments en : travée $M_t = 0,9 M_0 = 0,9 \cdot 12098,8 = 10,89 \text{ tm}$.
en appui $M_a = 0,7 M_0 = 0,7 \cdot 12098,8 = 8,5 \text{ tm}$.

. les efforts tranchants :



$$T_{id} = \frac{q l}{2} + \frac{M_i - M_j}{l}$$

$$T_{jg} = -\frac{q l}{2} + \frac{M_j - M_i}{l}$$



$$T_{id} = 2734 \frac{5,95}{2} + \frac{0 - 8,5 \text{ tm}}{5,95 \text{ m}} \\ = 6,7 \text{ t}$$

$$T_{jg} = 2734 \frac{5,95}{2} + \frac{8,5 \text{ tm}}{5,95 \text{ m}}$$

$$T_{jg} = 9,56 \text{ t.}$$

dispositions et choix des Barres :

le nombre de files de Barres que l'on peut disposer dans une largeur b_0 (cm) peut être donné par la formule empirique suivante $n = b_0 / g = 25 / 8 = 3$.

détermination de l'enrobage :

$e = \max(1 \text{ cm locaux couverts}, \phi_{\max} = 2 \text{ cm})$

le granulat utilisé est concassé, la distance horizontale entre 2 armatures doit être au moins égale :

$$w' \geq \begin{cases} \phi_{\max} = 2 \text{ cm.} \\ 8/5 c_g = 4 \text{ cm.} \end{cases}$$

distance verticale :

$$v \geq \begin{cases} \phi_{\max} = 2 \text{ cm} \\ c_g = 2,5 \text{ cm} \end{cases} \text{ soit } v = 2,5 \text{ cm.}$$

détermination des armatures :

sur appui : l'appui le plus sollicité est l'appui B dont le moment fléchissant $M = 8,5 \text{ tm}$, le moment est négatif donc la section est rectangulaire 25/50.

forillage d'après P. Charron :

On prend $d = 5 \text{ cm} \rightarrow h = 45 \text{ cm.}$

$$n = \frac{15 M}{\bar{\sigma}_a b h^2} = \frac{15 \cdot 8,5 \cdot 10^5}{2800 \cdot 25 \cdot 45^2} = 0,0899 \quad \left| \begin{array}{l} \varepsilon = 0,8795 \\ K = 26,5. \end{array} \right.$$

$$\bar{\sigma}'_b = \bar{\sigma}_a / K = \frac{2800}{26,5} = 105 < \bar{\sigma}'_b = 137 \text{ kg/cm} \rightarrow A' = 0$$

$$A = \frac{M}{\bar{\sigma}_a \varepsilon \cdot h} = \frac{8,5 \cdot 10^5}{2800 \cdot 0,8795 \cdot 45} = 7,67 \text{ cm}^2$$

On adopte 3 T 20 ($A = 9,42 \text{ cm}^2$)

appui A: pour l'appui de rive, le moment théorique est nul mais en pratique, on suppose un encastrement faible soit $M_a = 0,10 M_0 = 0,1 \cdot 12,098 \text{ tm} = 1,21 \text{ tm}$.

$$\text{soit } \mu = \frac{15 M}{\bar{\sigma}_a b h^2} = \frac{15 \cdot 1,21 \cdot 10^5}{2800 \cdot 25 \cdot 45^2} = 0,0128 \quad \left| \begin{array}{l} \varepsilon = 0,9495 \\ K = 84 \end{array} \right.$$

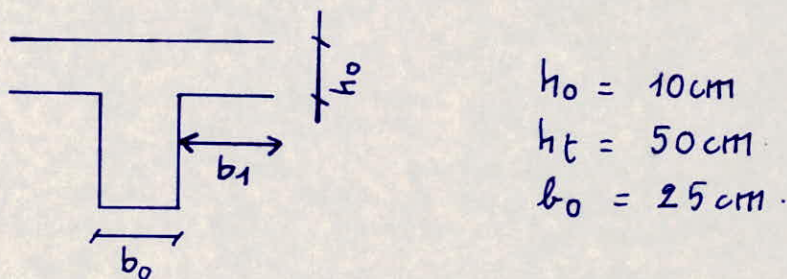
$$\bar{\sigma}'_b = \frac{\bar{\sigma}_a}{K} = \frac{2800}{84} = 33,34 < \bar{\sigma}'_b = 137 \text{ kg/cm}^2.$$

$$A = \frac{M}{\varepsilon \cdot h \cdot \bar{\sigma}_a} = \frac{1,21 \cdot 10^5}{0,9495 \cdot 45 \cdot 2800} = 1,011 \text{ cm}^2.$$

On choisit 3T10 soit $A = 2,35 \text{ cm}^2$.

En travée:

le moment fléchissant $M_T = 10,89 \text{ tm}$ qui est positif donc la section à considérer est une section en T largeur de la table à associer à la nervure (CCBA 68 art 23.31).



$$b_1 = \min \left(\frac{l}{10}; \frac{lx}{2}; \frac{2}{3}x \right).$$

l = portée libre de la poutrelle

lx = distance entre 2 faces voisines de 2 poutrelles consécutives

x = distance entre 2 points de Moment nul sur la poutrelle

$$b_1 = \min \left(\frac{595}{10}; \frac{200}{2}; \frac{2}{3} \cdot 3,63 \right) = 59,5 \text{ cm}.$$

d'où la largeur de la table à associer est

$$b = 2 b_1 + b_0 = 2 \cdot 59,5 + 25 = 144 \text{ cm}.$$

Ferraillage:

• calcul de M_T :

$$K_T = \frac{\bar{\sigma}_a}{2M} \frac{(h - h_0/3)}{(h - h_0)} = \frac{2800 \cdot (45 - 10/3)}{2 \cdot 15 \cdot (45 - 10)} = 111,11.$$

$$M_T = K_T \cdot b \cdot h_0^2 = 111,11 \cdot 144 \cdot 10^2 = 16 \text{ tm}.$$

$M_{\text{extérieur}} = 10,89 \text{ t.m}$ est inférieure à $M_T = 16 \text{ t.m}$.
donc l'axe neutre tombe dans la Table, et le calcul de la section se fait comme si la section est rectangulaire.

$$u = \frac{15 M}{6 \bar{a} b H^2} = \frac{15 \cdot 10,89 \cdot 105}{2800 \cdot 144 \cdot 45^2} = 0,02 \quad | \begin{array}{l} K = 65,5 \\ \varepsilon = 0,9379 \end{array}$$

$$\bar{\sigma}'_b = \frac{\bar{b}a}{K} = \frac{2800}{65,5} = 42,7 < 137 \text{ kg/cm}^2 \Rightarrow A' = 0$$

$$A = \frac{10,89 \cdot 105}{0,9379 \cdot 45 \cdot 2800} = 9,2 \text{ cm}^2 \text{ soit } 3T20 \text{ (A = 9,42 cm}^2\text{)}$$

Armatures transversales:

l'appui le plus sollicité étant l'appui intermédiaire
 $T_{\max} = 9,56 \text{ t}$ et $M_a = 8,5 \text{ t.m}$.

$$M_a = 8,5 \text{ t.m} \Rightarrow \bar{\sigma}'_b = \bar{b}a/K = 119 > \bar{\sigma}'_{b0} = 68,5 \text{ kg/cm}^2$$

$$\bar{w} = \frac{100 A}{b \cdot h} = \frac{100 \cdot 9,42}{25 \cdot 45} = 0,837 \quad | \quad K = 23,4$$

$$\bar{\sigma}'_{b0} < \bar{\sigma}'_b < 2 \bar{\sigma}'_{b0} \Rightarrow \bar{\tau}_b = \left(4,5 - \frac{\bar{\sigma}'_b}{\bar{\sigma}'_{b0}} \right) \bar{\sigma}'_{b0}$$

$$\bar{\tau}_b = \left(4,5 - \frac{119}{68,5} \right) 5,9 = 16,3 \text{ kg/cm}^2$$

$$\bar{\tau}_b = \frac{T}{b_0 z} = \frac{9,56 \cdot 10^3}{25 \cdot 8/7 \cdot 45} = 9,71 \text{ kg/cm}^2$$

$\tau_b < \bar{\tau}_b$ (Armatures d'âmes droites le long de la ligne moyenne).

Contraintes admissibles des armatures transversales:

$$\bar{\sigma}_{\text{at}} = \max \left(\frac{2}{3}; 1 - \frac{\tau_b}{3 \bar{\sigma}_b} \right) \sigma_{\text{en}} = \max (0,817; 0,667) \sigma_{\text{en}}$$

$$\bar{\sigma}_{\text{at}} = 0,817 \cdot 4200 = 3431,4 \text{ Kg/cm}^2$$

l'espace entre deux cours successifs d'armatures transversales.

$$\bar{t} = \sup (\bar{t}_1, \bar{t}_2) \text{ avec: } \bar{t}_1 = h \left(1 - 0,3 \frac{\tau_b}{\bar{\sigma}_b} \right) = 22,7 \text{ cm}$$

$$\bar{t}_2 = 0,2 h = 9 \text{ cm}$$

d'où l'espace admisible $\bar{t} = 22,7 \text{ cm}$.

t : espace entre deux cours successifs d'armatures transversales.

pour A_t : on choisit un cadre + 1 étrier T6 soit $A_t = 1,12 \text{ cm}^2$.

$$t < \frac{1,12 \cdot 3431,4 \cdot 0,875 \cdot 45}{9,56 \cdot 103 \text{ Kg}} = 15,82 \text{ cm}$$

on prend $t = 15 \text{ cm}$ à partir de l'appui B.

à l'appui A et D :

$$T = 6,7 t, \quad M_A = 0 \Rightarrow \bar{\sigma}'_b < \bar{\sigma}'_{b0}.$$

$$\bar{\tau}_b = 3,5 \bar{\sigma}_b = 3,5 \cdot 5,9 = 20,65 \text{ kg/cm}^2.$$

$$\bar{\tau}_b = \frac{T}{b_0 z} = \frac{6,7 \cdot 10^3}{25 \cdot 0,875 \cdot 45} = 6,8 \text{ kg/cm}^2.$$
$$\bar{\tau}_b < \bar{\tau}_b.$$

$$t < \frac{1,12 \cdot 0,875 \cdot 45 \cdot 3662,4}{24} = 24 \text{ cm}.$$

on prend $6,7 t = 24 \text{ cm}$ à partir de l'appui A et D.

Vérifications diverses :

1. transmission des efforts sur appui derrière :

on laisse filer les 2 T 20 soit $A = 6,28 \text{ cm}^2$.

$$A_L > \frac{T/\bar{\tau}_a}{2800} = \frac{6700}{2800} = 2,39 \text{ cm}^2.$$

condition vérifiée.

2. calcul du crochet :

$$\bar{\sigma}_a = \frac{T/A_L}{6,28} = \frac{6700}{6,28} = 1067 \text{ kg/cm}^2.$$

$$\bar{\tau}_d = 16,59 \text{ kg/cm}^2.$$

$$l_d = \frac{\phi}{4} \frac{\bar{\sigma}_a}{\bar{\tau}_d} = \frac{2 \cdot 1067}{4 \cdot 16,59} = 32,15 \text{ cm}.$$

$$l_d = 32,15 \text{ cm} < 35 \text{ cm} \text{ (largeur d'appui).}$$

donc l'utilisation du crochet n'est pas nécessaire.

3. compression de la bielle :

$$C \geq \frac{2 T}{b_0 \cdot \bar{\sigma}'_{b0}} = \frac{2 \cdot 6700}{35 \cdot 68,5} = 5,58 \text{ cm. soit } C = 6 \text{ cm}.$$

4. vérification pour l'appui intermédiaire :

$$T + \frac{M/z}{2} = 9560 - \frac{8,5 \cdot 105}{0,875 \cdot 45} = -12027,3 \text{ kg} < 0.$$

5. vérification de flèche :

$$\cdot \frac{ht}{l} = \frac{50}{595} = 0,084 > 1/16 = 0,0625.$$

$$\cdot \frac{ht}{l} = 0,084 \geq \frac{1}{10} \frac{Mt}{M_0} = \frac{1 \cdot 0,9 M_0}{10 \cdot M_0} = 0,09.$$

$$\cdot \frac{A}{bh} = \frac{9,42}{25 \cdot 45} = 8,37 \cdot 10^{-3} < \frac{43}{6 \text{ en}} = 0,01.$$

la 2^e condition n'est pas vérifiée, donc il est nécessaire de faire une vérification de flèches.

On a fait un calcul exact de la flèche, il était inférieur à la flèche admissible $f = 0,51 \text{ cm}$.

Poutrelles du plancher terrasse:

coffrage $b_0 \times h_t = 20 \times 40$.

épaisseur de la dalle $h_0 = 10 \text{ cm}$.

charge permanente : $G = 1293 \text{ kg/mL}$.

surcharge : $P = 270 \text{ Kg/mL}$.

Diagramme des Moments : (tm)

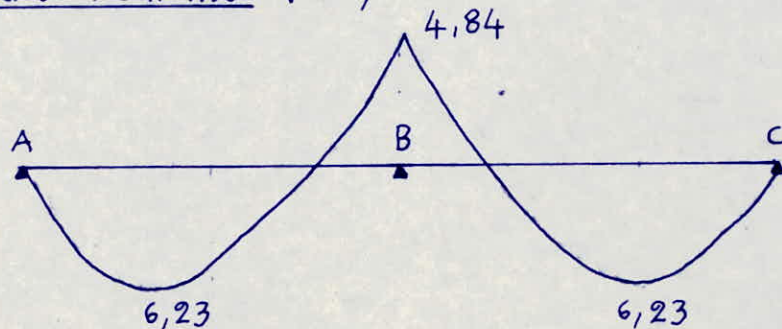
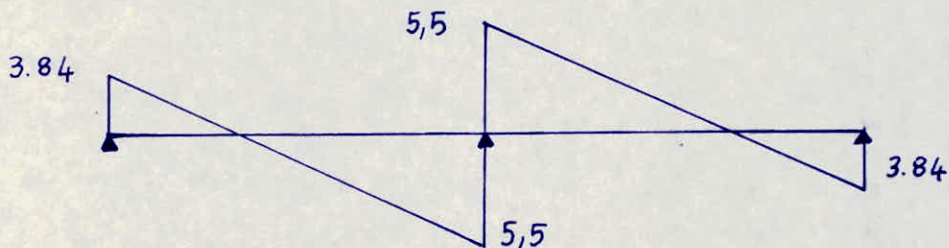


Diagramme des Efforts tranchants : (t)



Ferrage :

1. sur appuis :

B : $A_{\text{calculé}} = 4,9 \text{ cm}^2$ $A_{\text{adopté}} = 4 \text{T14}$ ($A = 6,15 \text{ cm}^2$).

A : $A_{\text{calculé}} = 0,7 \text{ cm}^2$ $A_{\text{adopté}} = 2 \text{T10}$ ($A = 1,57 \text{ cm}^2$).

2. en travée :

$M_t = 6,23 \text{ tm}$. $A_{\text{calculé}} = 6,8 \text{ cm}^2$ $A_{\text{adopté}} = 2 \text{T14} + 2 \text{T16}$

3. Armatures Transversales :

a-Tmax = $5,5 t$, $M_a = 4,84 \text{ tm}$, $A_t = 1 \text{ cadre T6} = 0,56 \text{ cm}^2$.

$\tau_b = 9 \text{ Kg/cm}^2 < \bar{\tau}_b = 16 \text{ Kg/cm}^2$.

$t_{\text{calculé}} = 11 \text{ cm}$ $\bar{t} = 19 \text{ cm}$ $t_{\text{adopté}} = 11 \text{ cm à partir de B}$.

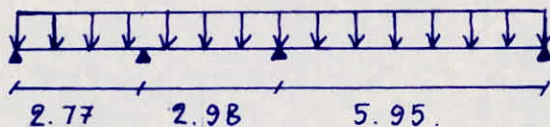
b-T = $3,84 t$ $M_a = 0$. $A_t = 1 \text{ cadre T6}$

$\tau_b = 4,77 \text{ Kg/cm}^2 < \bar{\tau}_b = 20,65 \text{ Kg/cm}^2$.

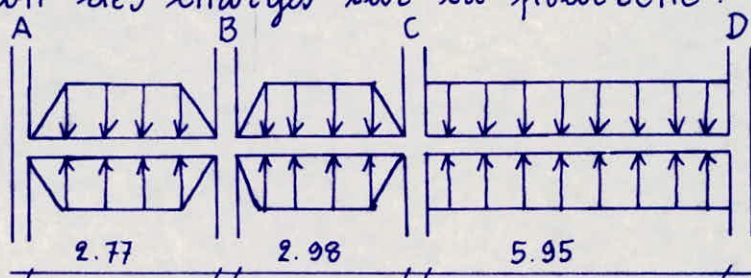
$t_{\text{calculé}} = 17,07 \text{ cm}$ $\bar{t} = 26,5 \text{ cm}$ $t_{\text{adopté}} = 17 \text{ cm à partir (A,C)}$

Poutrelles du R.D.C. :

coffrage bo. ht = 25.50. $G = 459 \text{ Kg/m}^2$ $P = 800 \text{ Kg/m}^2$
 la poutrelle repose sur 4 appuis suivant le schéma ci après



Répartition des charges sur la poutrelle :



Poutrelle CD ($\ell < 0,4$)

charges permanentes :

$$\text{dalle + revêtement : } 459 \cdot 2,25 = 1032,75 \text{ Kg/mL}$$

$$\text{retombée : } 2500 \cdot 0,25 \cdot 0,4 = 250 \text{ Kg/mL.}$$

$$G = 1282,75 \text{ Kg/mL.}$$

Surcharges :

la surcharge au m^2 de dalle est 800 Kg/m^2 . d'où

$$P(\text{Kg/mL}) = 1,2 \cdot 800 \cdot (l_x + b_0) = 1,2 \cdot 800 \cdot 2,25 = 2160 \text{ Kg/mL}$$

Poutrelle AB ($\ell > 0,4$)

$\ell > 0,4$ Répartition trapézoïdale des charges et surcharges.

la charge apportée par m^2 de dalle est 459 kg/m^2 .

les charges et surcharges se distribuent sur la poutrelle suivant le schéma ci dessous.

Désignons par M_T , le moment fléchissant maximal dans une poutre sur 2 appuis soumise à l'action d'une charge trapézoïdale.

On peut trouver une charge q_M uniformément répartie équivalente tel que $M_T = q_M \frac{l_x^2}{8}$.

le développement de ce calcul conduit à la formule suivante $q_M = k_M q l_x$ avec $K_M = \frac{1}{2} \left(1 - \frac{\ell^2}{3}\right)$.

de même manière pour l'effort tranchant q : charge par m^2 de dalle.

$$q_T = K_T q \ell x \text{ avec } K_T = \frac{1}{2} (1 - \ell/2).$$

charges permanentes:

$$\ell = 0,722 \quad K_M = 0,413 \quad K_T = 0,3195.$$

	cas de M	cas de T
2 Trapezes 2. 459. 2 = 1836 Kg/ml	$\times 0,413 = 758,27$	$\times 0,3195 = 586,6$
Dalle + Revêtement 459. 0,25 retombée 2500. 0,25. 0,4 poutrelle	114,75 Kg/ml 250 Kg/ml	114,75 Kg/ml 250 Kg/ml
Total	$g_M = 1123,02$	$g_T = 951,35$

Surcharges: la surcharge au m^2 de dalle est 800 Kg/m^2
 $\times 1,2 = 960 \text{ Kg/m}^2$.

	cas de M	cas de T
2 Trapezes . 2. 960. 2	$\times 0,413 = 1585,9$	$\times 0,3195 = 1227$
Dalle sur poutrelle 960. 0,25	240	240
total	$P_M = 1826 \text{ Kg/mL}$	$P_T = 1467 \text{ Kg/mL}$

Poutrelle BC:

charges permanentes:

$$\ell = 0,671 \quad K_M = 0,425 \quad K_T = 0,332$$

$$g_M = 1145 \text{ Kg/mL} \quad g_T = 974,3 \text{ Kg/mL}$$

surcharges: $P_M = 1872 \text{ Kg/mL} \quad P_T = 1515 \text{ kg/mL}$.

Remarque: C.C.B.A 68 art 53.32

$S < 2G$.

. le rapport de portées entre 2 travées successives n'est pas compris entre 0,8 et 1,25 donc on ne peut pas appliquer la Méthode forfaitaire ; mais on peut appliquer la méthode de calcul applicable aux planchers à fortes surcharges. à condition de réduire les valeurs absolues des Moments sur appui sous l'effet des charges permanentes (au $2/3$) -de celles trouvées,

les moments en travée, étant majorés.

les calculs se présentent de la manière suivante :

On remplace les portées réelles par des portées fictives.

$l' = 0,8l$ si la travée est intermédiaire.

$l' = l$ si la travée est de rive.

On calcule les moments d'enca斯特rement parfaito :

$$M'_w = \frac{q_w l'^w}{8,5} \quad \text{et} \quad M'_e = \frac{q_e l'^e}{8,5}$$

le moment de continuité sur appui

$$M_a = \frac{M'_w l'^w + M'_e l'^e}{l'^w + l'^e}$$

Poutrelle AB :

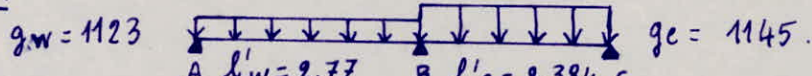
appui A : $M_a = 0,10 \text{ M}_0 = 283 \text{ Kgm. avec } M_0 = (g_M + p_M) \frac{l_0^2}{8}$

$$M_0 = (1123 + 1826) \frac{2,77^2}{8}$$

appui B :

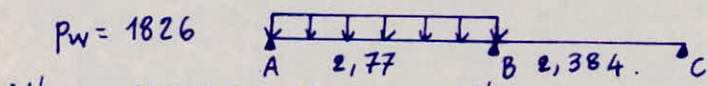
3 cas de charges à considérer

1cas:



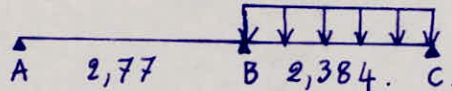
$$M'_w = 1014 \text{ Kgm} \quad M'_e = 766 \text{ Kgm} \quad \Rightarrow M_{B_1} = 599,54 \text{ Kgm.}$$

2cas:



$$M'_w = 1648,32 \text{ Kgm}, \quad M'_e = 0 \quad \Rightarrow M_{B_2} = 886 \text{ Kgm.}$$

3cas:



$$M'_w = 0 \quad M'_e = 1252 \text{ Kgm} \quad \Rightarrow M_{B_3} = 579 \text{ Kgm.}$$

Pour obtenir les efforts maximaux, nous allons envisager les cas suivantes :

A: Moments maximaux :

a) max à l'appui B : $M_B = M_{B_1} + M_{B_2} + M_{B_3} = 2064,54 \text{ Kgm.}$

b) max en travée:

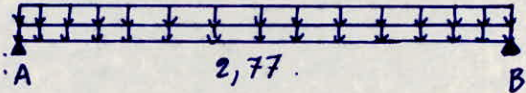
$$M_a = 0, M_B = M_{B_1} + M_{B_2} = 1485,54 \text{ Kgm.}$$

$$M_t = M_g(G + 1,2P) - \frac{M_a + M_B}{2} = 2085,63 \text{ Kgm.}$$

en effet, le moment n'est pas max à mi travée, mais à une distance x de l'appui A.

$$g_T = 951,35 \text{ Kg}$$

$$P_T = 1467 \text{ Kg.}$$



$$T(x) = T_0 + M_B/l =$$

$$T(x) = 3349,42 - 2418,35x - \frac{1485,54}{2,77}$$

$$T(x) = 0 \Rightarrow x = 1,163$$

$$M(x) = 4084,56x - 2949x^2/2 - \frac{1485,54}{2,77}x$$

$$M(1,16) = 2132,3 \text{ Kgm.}$$

c) Min en travée:

$$M_a = 0, M_B = M_{B_1} + M_{B_3} = 1178,54 \text{ Kgm.}$$

$$M_t = M_{og} - M_B/l = 1123 \cdot \frac{2,77^2}{8} - \frac{1178,54}{2} = 488 \text{ Kgm.}$$

B: efforts tranchants max:

a) max sur appui A:

$$M_a = 0, M_B = M_{B_1} + M_{B_2} = 1485,54 \text{ Kgm.}$$

$$T(x) = 3349,42 - 2418,35x - \frac{1485,44}{2,77}$$

$$T(A) = T(x=0) = 2813 \text{ Kg.}$$

$$T(B) = T(x=2,77) = -3885,7 \text{ Kg.}$$

b) Max sur appui B:

$$M_a = 0, M_B = 2064,54.$$

$$T(x) = 3349,42 - 2418,35x - \frac{2064,54}{2,77}$$

$$T(x=0) = T_A = 2604 \text{ Kg.}$$

$$T(x=2,77) = T_B = -4095 \text{ Kg.}$$

c) En travée:

$$M_a = 0, M_B = 1178,54 \text{ Kgm.}$$

$$T(x) = 1317,62 - 951,35x - \frac{1178,54}{2,77}.$$

$$T_A = 892,15 \text{ Kg.}$$

$$T_B = -1743,08 \text{ Kg.}$$

Poutrelle BC

appui B : voir AB.

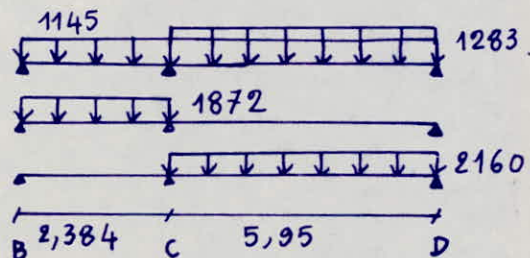
appui C : avec le même cheminement de calcul que AB

On a :

1^{er} cas : $M_{C_1} = 2689,6 \text{ Kgm}$.

2^{cas} : $M_{C_2} = 358 \text{ Kgm}$.

3^{cas} : $M_{C_3} = 6423 \text{ Kgm}$



Moments Max :

a) Max à l'appui C : $M_C = M_{C_1} + M_{C_2} + M_{C_3} = 9470,6 \text{ Kgm}$.

b) Max en travée :

$$M_B = M_{B_1} + M_{B_3} = 1178,54 \text{ Kgm}.$$

$$M_C = M_{C_1} + M_{C_2} = 3047,6 \text{ Kgm}.$$

$$M_T = M_0 - M_B + M_C/2 =$$

$$M_0 = (gM + PM) \frac{l_0^2}{8} = (1145 + 1872) \frac{2,98^2}{8} = 3349 \text{ Kgm}.$$

d'où $M_T = 1236 \text{ Kgm}$.

le moment max à une distance x de l'appui B est

$$M_T = 1298,21 \text{ Kgm}.$$

c) Min en travée :

$$M_C = M_{C_1} + M_{C_3} = 9112,6 \text{ Kgm} \quad M_B = M_{B_1} + M_{B_2} = 1485,54 \text{ Kgm}.$$

d'où $M_T = M_0 - M_B + M_C/2 = -3920,8 \text{ Kgm}$.

Efforts Tranchants :

. Max à l'appui B :

$$T_B = 3379,17 \text{ Kg} \quad T_C = -4039 \text{ Kg}.$$

max à l'appui C :

$$T_B = 926,5 \text{ Kg} \quad T_C = -6492 \text{ Kg}.$$

. en travée :

$$T_B = -1107,72 \text{ Kg} \quad T_C = -4011,13 \text{ Kg}.$$

Poutrelle CD :

Moments Max :

a. appui C (voir BC)

b) en travée : $M_T = 11605,5 \text{ Kgm}$.

c) min en travée $M_T = 4154 \text{ Kgm}$.

B) efforts tranchants (CD)

a) Max à l'appui C :

$$T_C = 11834,6 \text{ Kg} \quad T_D = -8651,23 \text{ Kg}.$$

b) Max à l'appui D :

$$T_C = 11774,5 \text{ Kg.} \quad T_D = -8711,4 \text{ Kg.}$$

c) en travée :

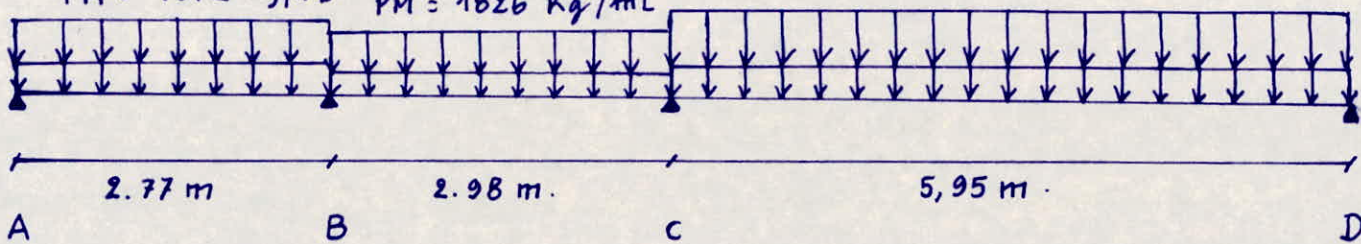
$$T_C = 4329,13 \text{ Kg.} \quad T_D = -3304,7 \text{ Kg.}$$

$$gM = 1145 \text{ Kg/mL}$$

$$PM = 1872 \text{ Kg/mL}$$

$$gM = 1123 \text{ Kg/mL}$$

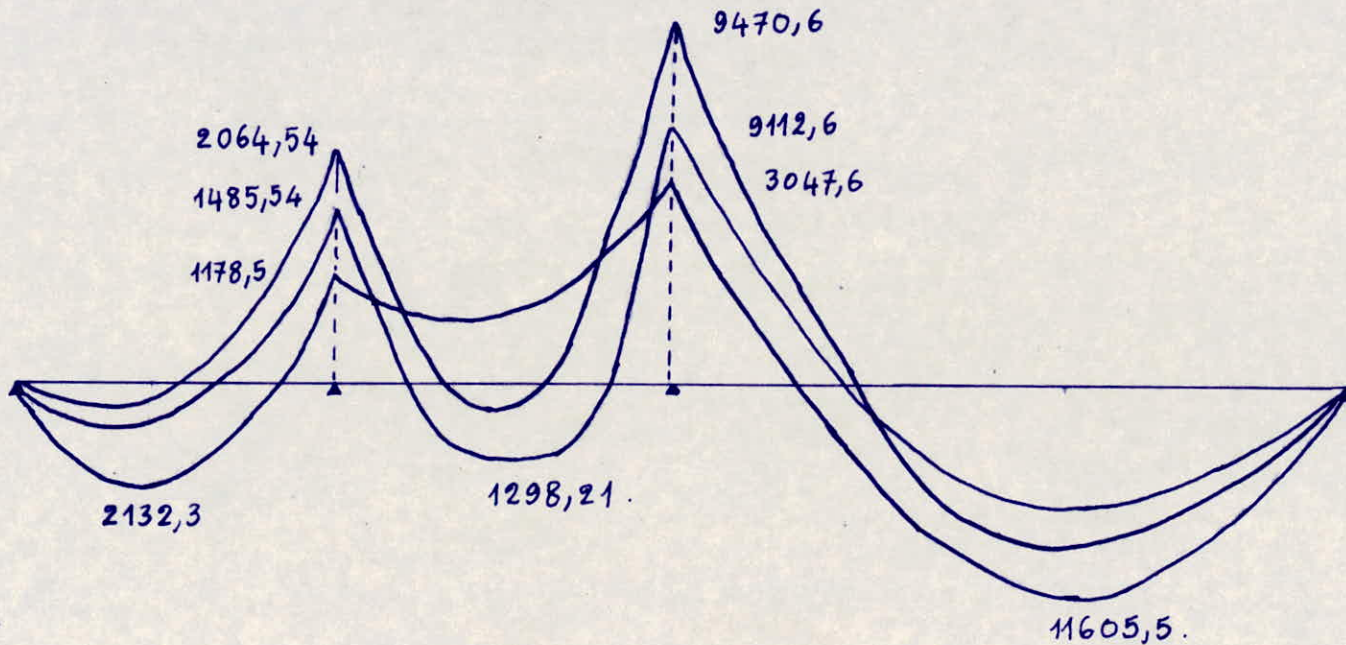
$$PM = 1826 \text{ Kg/mL}$$



$$P = 2160 \text{ Kg/mL}$$

$$G = 1283 \frac{\text{Kg}}{\text{mL}}$$

L'allure de la courbe des Moments : (Moments en Kgm).

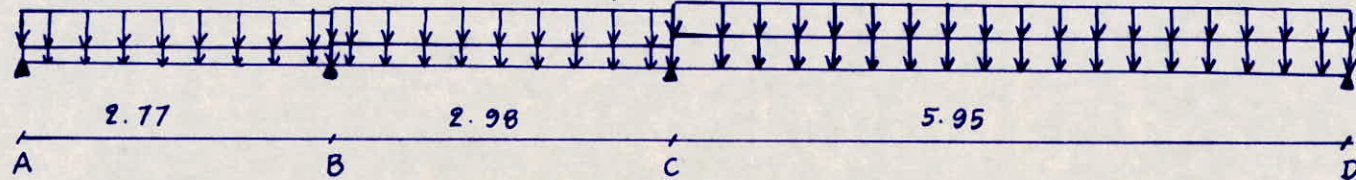


$$g_T = 951,35 \text{ Kg/mL}$$

$$p_T = 1467 \text{ Kg/mL}$$

$$g_T = 974,3 \text{ Kg/mL}$$

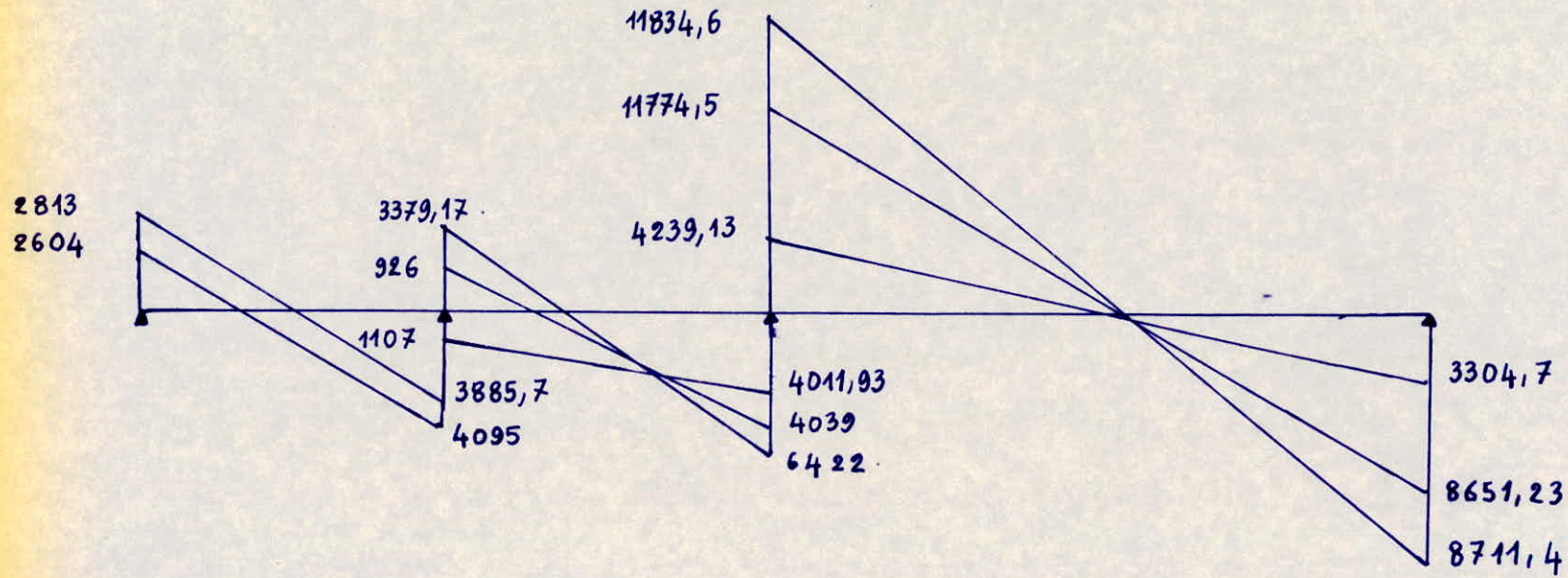
$$p_T = 1515 \text{ Kg/mL}$$



$$P = 2160 \text{ KG/mL}$$

$$G = 1283 \text{ KG/mL}$$

L'allure de la courbe des Efforts tranchants: (en KG).



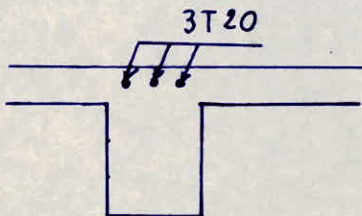
Ferailage:armatures sur appui :

1. appui C : le plus sollicité : ($M = -9470,6 \text{ Kgm}$).
 calcul en section rectangulaire $b \cdot h_t = 25.50$.
 $d = 5 \text{ cm}$ comme enrobage.

$$M = 15M / \bar{\sigma}_a b h^2 = 15 \cdot 9470,6 \cdot 10^2 / 2800 \cdot 25 \cdot 46,6^2 = 0,0934 \quad | \begin{array}{l} K = 0,8777 \\ \varepsilon = 25,9 \end{array}$$

$$\bar{\sigma}'_b = \bar{\sigma}_a / K = 2800 / 25,9 = 108 < \bar{\sigma}'_b = 137 \Rightarrow A' = 0$$

$$A = M / \varepsilon h \bar{\sigma}_a = 9470,6 \cdot 10^2 / 0,8777 \cdot 46,6 \cdot 2800 = 8,27 \text{ cm}^2.$$
 soit 3T20 ($A = 9,42 \text{ cm}^2$).



2. appui B:

$$M_B = -2064,54 \text{ Kgm}$$

$$A_{\text{calculé}} = 1,68 \text{ cm}^2 \quad A_{\text{adopté}} = 3T14 \quad (A = 4,62 \text{ cm}^2).$$

3. appui A $M_A = 0,10 M_0 = 283 \text{ Kgm}$.

$$A_{\text{calculé}} = 0,22 \text{ cm}^2 \quad A_{\text{adopté}} = 3T10 \quad (A = 2,35 \text{ cm}^2).$$

4. appui D $M_D = 0,10 M_0 = 1524 \text{ Kgm}$.

$$A_{\text{calculé}} = 1,23 \text{ cm}^2 \quad A_{\text{adopté}} = 3T10 \quad (A = 2,35 \text{ cm}^2).$$

Sections en travée :

1. Section la plus sollicitée en travée se trouve dans la travée CD.
 soit $M_t = 11605,5 \text{ Kgm}$.

$$A_{\text{calculé}} = 9,84 \text{ cm}^2 \quad A_{\text{adopté}} = 3T16 + 3T14 \quad (A_{\text{adopté}} = 10,65 \text{ cm}^2)$$

Autres sections en travée :

- a. travée BC ($M_t = 1298,2 \cdot 10^2 \text{ Kg/cm}$).

$$A_{\text{calculé}} = 1,06 \text{ cm}^2 \quad A_{\text{adopté}} = 3T12 \quad (A \approx 3,39 \text{ cm}^2).$$

- b. travée AB ($M_t = 2132,3 \cdot 10^2 \text{ Kg/cm}$).

$$A_{\text{calculé}} = 1,75 \text{ cm}^2 \quad A_{\text{adopté}} = 3T12 \quad (A = 3,39 \text{ cm}^2)$$

Armatures transversales :

- appui C : le plus sollicité $T = 11834,6 \text{ Kg}$, $M = -9470,6 \text{ Kgm}$.

$$\tau_b = T / b o_z = 11834,6 \text{ Kg} / 25 \cdot 0,875 \cdot 45 = 12 \text{ Kg/cm}^2.$$

Pour pouvoir utiliser les cadres h à la ligne moyenne.

il faut que $\tau_b < \bar{\tau}_b$.

avec $\bar{\tau}_b = (4,5 - \frac{\sigma'_b}{\bar{\sigma}'_{b0}}) \bar{\sigma}_b$ car $\bar{\sigma}'_{b0} < \sigma'_b < 2\bar{\sigma}'_{b0}$.

dans notre cas, $\bar{\tau}_b = 16,4 \text{ kg/cm}^2$.

$\bar{\sigma}_{at} = 3251 \text{ kg/cm}^2 \quad \bar{t} = 17,5 \text{ cm}$.

calcul de t :

on choisit pour A_t (1 cadre + 1 étier T6) soit $A_t = 1,13 \text{ cm}^2$.

$$t < \frac{A_t \cdot \bar{\sigma}_{at}}{\bar{t}} = \frac{39,375 \cdot 1,13 \cdot 3251}{11834,6} = 12,22 \text{ cm}.$$

On prend $t = 12 \text{ cm}$ à partir de l'appui C.

Espacement des cadres (suivant la série de caquot)

$$6 + 3 \cdot 12 + 3 \cdot 14 + 3 \cdot 17 + 3 \cdot 22 + 3 \cdot 29 + 42 + 11 + 42 + 3 \cdot 29 + 3 \cdot 22.$$

$$+ 3 \cdot 17 + 1 \cdot 8 \quad (\text{sur toute la travée CD}).$$

appui D: $T = 8711,4 \text{ Kg.} \quad M_D = 0$

$$\tau_b = 8,85 \text{ kg/cm}^2 < \bar{\tau}_b = 3,5 \bar{\sigma}_b = 20,65 \text{ kg/cm}^2.$$

$$\bar{\sigma}_{at} = 3500 \text{ kg/cm}^2. \quad \bar{t} = 24,75 \text{ cm.}$$

t calculé = 17 cm. (voir espacement des cadres sur CD).

Travée BC:

1. appui B: $T = 3379 \text{ Kg.} \quad M = 2064,54 \text{ Kgm.}$

$$\tau_b = 3,43 \text{ kg/cm}^2 < \bar{\tau}_b = 3,5 \bar{\sigma}_b = 20,65 \text{ kg/cm}^2.$$

$$\bar{\sigma}_{at} = 3929 \text{ kg/cm}^2. \quad \bar{t} = 37 \text{ cm.}$$

t calculé = 52 cm on prend $t = 33 \text{ cm}$.

2. appui C $T = 6422 \text{ Kg.} \quad M = 9470,6 \text{ Kgm.}$

$$\tau_b = 6,52 \text{ kg/cm}^2 < \bar{\tau}_b$$

$$\bar{\sigma}_{at} = 3684 \text{ kg/cm}^2 \quad \bar{t} = 30 \text{ cm.}$$

$$t \text{ calculé} = 25 \text{ cm} \quad t \text{ adopté} = 20 \text{ cm.}$$

Espacement des cadres sur BC:

$$1 \times 10 + 3 \times 25 + 1 \times 35 + 1 \times 60 + 1 \times 60 + 3 \times 33 + 1 \times 16.$$

Travée AB:

1. appui A: $T = 2813 \text{ Kg.} \quad M_A = 0 \quad \tau_b = 2,85 \text{ kg/cm}^2.$

$$\bar{\sigma}_{at} = 3974 \text{ kg/cm}^2. \quad \bar{t} = 38 \text{ cm}$$

$$t \text{ calculé} = 63 \text{ cm.} \quad t \text{ adopté} = 33 \text{ cm.}$$

$$\begin{aligned} \text{appui B: } T &= 4095 \text{ Kg} \quad M = 2064,54 \text{ Kg m} \\ \tau_b &= 4,16 \text{ Kg/cm}^2 < \bar{\tau}_b = 20,65 \text{ Kg/cm}^2 \\ \bar{\sigma}_{at} &= 3870 \text{ Kg/cm}^2 \quad E = 35 \text{ cm} \\ t_{\text{calculé}} &= 42 \text{ cm} \quad t_{\text{adopté}} = 33 \text{ cm.} \end{aligned}$$

Espacement des radres sur AB :

$$1 \times 16 + 3 \times 33 + 4 \times 7 + 3 \times 33 + 1 \times 16$$

Vérifications divers :

1. Transmission des efforts sur appui :

appui de rive A :

l'effort tranchant max sur l'appui de rive est $T = 2813 \text{ Kg}$.

On doit vérifier que $A_L > T/\bar{\sigma}_a$.

$$\frac{T}{\bar{\sigma}_a} = \frac{2813 \text{ KG}}{2800} = 1 \text{ cm}^2.$$

comme on a laissé filer jusqu'à l'appui A ($3T12 = 3,39 \text{ cm}^2$) condition vérifiée.

2. crochet :

les armatures inférieures qui sont laissées filer doivent être ancrées pour résister à l'effort tranchant ($T = 2813 \text{ Kg}$).

la contrainte qui correspond à cet effort est $\sigma_a = T/A_L$

$$\sigma_a = \frac{2813 \text{ KG}}{3,39} = 830 \text{ Kg/cm}^2.$$

la contrainte d'adhérence dans une zone d'ancre

normale est $\bar{\tau}_d = 1,25 \psi_d^2 \bar{\tau}_b = 16,59 \text{ Kg/cm}^2$.

la longueur de scellement droit est :

$$ld = \frac{\phi}{4} \cdot \frac{\sigma_a}{\bar{\tau}_d} = \frac{1,2}{4} \cdot \frac{830}{16,59} = 15 \text{ cm} < \text{largeur d'appui} = 35 \text{ cm.}$$

donc il n'a pas nécessité de faire un crochet.

Appui de rive D: $T = 8711,4 \text{ KG}$.

on laisse filer les 3T16 ($A = 6,03 \text{ cm}^2$).

les mêmes vérifications ont été faites, toutes les conditions ont été vérifiées.

Appuis intermédiaires : B. C

la section minimale d'armatures tendues en travée, conduits jusqu'aux appuis; doit équilibrer un effort égal à $T + M/Z$

$$\underline{\text{appui B}} : T + M/Z = 4095 - \frac{2604,54}{0,875 \cdot 45} < 0$$

$$\underline{\text{appui C}} : T + M/Z = 11834,6 - \frac{9470,6}{0,875 \cdot 45} < 0$$

dans les 2 cas, aucune vérification n'est pas nécessaire.

2. condition de non fragilité :

$$A_g = b \cdot h \cdot 0,69 \cdot \bar{\sigma}_b / \sigma_{en} = 25 \cdot 45 \cdot 0,69 \cdot 5,9 / 4200 = 1,09 \text{ cm}^2$$

quelque soit la quantité d'acières supérieur à $1,09 \text{ cm}^2$. la condition de non fragilité est vérifiée, ce qui est vérifié pour toutes les appuis et travées.

3. fissuration :

fissuration peut nuire $K = 1,5 \cdot 10^6$ acier HA $\eta = 1,6$. $W_f = \frac{A}{B_f}$

$$\bar{\sigma}_a = \min(\bar{\sigma}_a, \max(\sigma_1, \sigma_2)) \quad \bar{\sigma}_a = 2800 \text{ Kg/cm}^2$$

$$\sigma_1 = K \cdot \eta / \phi \frac{W_f}{1 + 10 W_f}$$

condition vérifiée pour toutes les sections en appui et en travée

appui C :

$$A = 9,42 \text{ cm}^2 \quad \bar{W}_f = \frac{9,42}{2 \cdot 4 \cdot 25} = 0,0471 \quad \sigma_1 = 3843 \text{ Kg/cm}^2 \cdot \sigma_2 = 2019,4 \frac{\text{Kg}}{\text{cm}^2}$$

Appui B :

$$A = 4,62 \text{ cm}^2 \quad \bar{W}_f = 0,0231 \quad \sigma_1 = 3217 \text{ Kg/cm}^2 \cdot \sigma_2 = 2413,67 \text{ Kg/cm}^2$$

Appui A.D :

$$A = 2,35 \text{ cm}^2 \quad \bar{W}_f = 0,01175 \quad \sigma_1 = 2523,5 \text{ Kg/cm}^2 \cdot \sigma_2 = 2856 \text{ Kg/cm}^2$$

en travée:

CD: $A = 10,65 \text{ cm}^2$ $\phi = 16 \text{ mm}$ $W_f = 0,071$ $\sigma_1 = 6228 \text{ Kg/cm}^2$
 $\sigma_2 = 2258 \text{ kg/cm}^2$

AB, BC: $A = 3,39 \text{ cm}^2$ $\phi = 12 \text{ mm}$ $W_f = 0,0226$ $\sigma_1 = 4420 ; \sigma_2 = 2607$
la condition est vérifiée pour toutes les travées.

4. Vérification de flèches:

• $\frac{ht}{l} = \frac{50}{595} = 0,084 > \frac{1}{16}$

• $\frac{ht}{l} = 0,084 > \frac{1}{10 \cdot M_o} = \frac{11605,5}{10 \cdot 15236,35} = 0,076$.

• $\frac{A}{b \cdot h} = \frac{10,65}{25 \cdot 45} = 0,009 < \frac{43}{\sigma_{en}} = 0,01$.

vérifié pour la travée CD.

• $\frac{50}{277} = 0,18 > \frac{1}{16} = 0,0625$.

• $\frac{50}{277} = 0,18 > \frac{1}{10} \frac{M_t}{M_o} = \frac{1}{10} \cdot \frac{2132,3}{2828,4} = 0,075$.

• $\frac{3,39}{25 \cdot 45} = 0,003 < \frac{43}{\sigma_{en}} = 0,01$.

vérifié pour la travée AB.

• $\frac{50}{298} = 0,167 > \frac{1}{16} = 0,0625$. ; $\frac{50}{298} > \frac{1}{10} \frac{1298,2}{3349} = 0,038$

$\frac{3,39}{25 \cdot 45} = 0,003 < \frac{43}{\sigma_{en}} = 0,01$

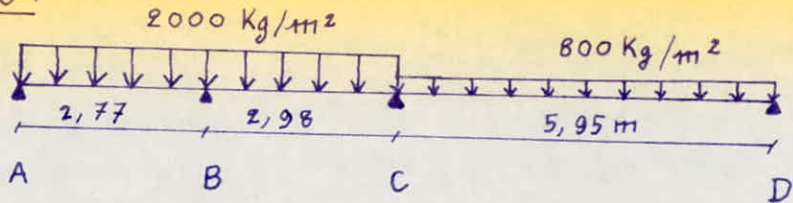
vérifié pour la travée BC.

Poutrelle du RDC (type 2):

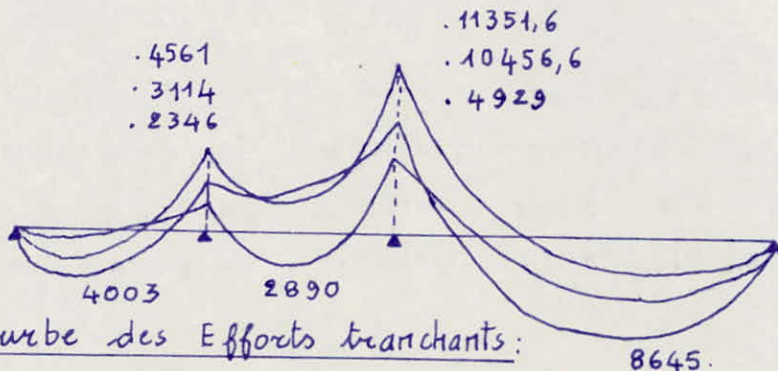
Nous donnerons uniquement les résultats de calcul.

(caquot, ferraillage, vérifications divers).

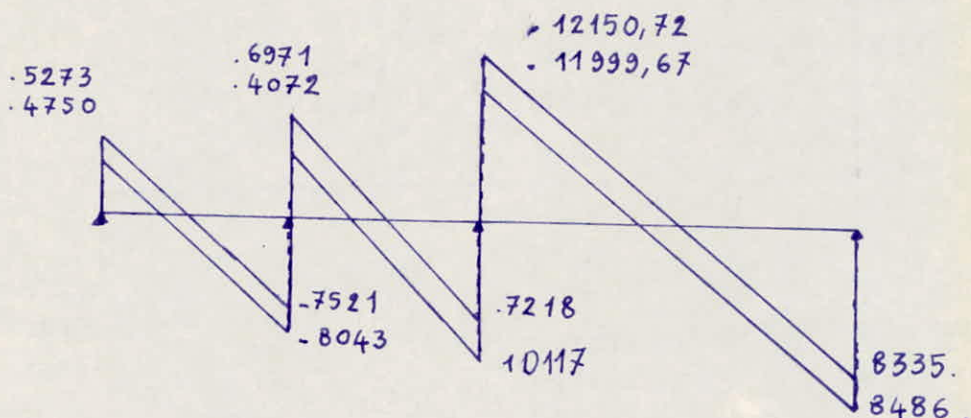
schéma statique.



Allure de la courbe des Moments : (Kg.m)



Allure de la courbe des Efforts tranchants :



Ferraillage :

1. les appuis :

- appui C : $A_{calculé} = 10,42 \text{ cm}^2$ $A_{adopté} = 3T16 + 3T14$ ($A = 10,65 \text{ cm}^2$)
- appui B : $A_{calculé} = 3,99 \text{ cm}^2$ $A_{adopté} = 2T16$ ($A = 4,02 \text{ cm}^2$)
- appui A : $A_{calculé} = 0,45 \text{ cm}^2$ $A_{adopté} = 3T10$ ($A = 2,35 \text{ cm}^2$)
- appui D : $A_{calculé} = 1,28 \text{ cm}^2$ $A_{adopté} = 3T10$ ($A = 2,35 \text{ cm}^2$)

2. En travées :

- AB : $A_{calculé} = 3,35 \text{ cm}^2$ $A_{adopté} = 3T12$ ($A = 3,39 \text{ cm}^2$)
- BC : $A_{calculé} = 2,4 \text{ cm}^2$ $A_{adopté} = 3T12$ ($A = 3,39 \text{ cm}^2$)
- CD : $A_{calculé} = 7,3 \text{ cm}^2$ $A_{adopté} = 3T14 + 3T12$ ($A = 8,01 \text{ cm}^2$)

Armatures Transversales:

A_f adopté = 1 cadre + 1 étrier $\phi 6 \Rightarrow (A = 1,13 \text{ cm}^2)$.

sur AB:

$$t_{\text{calculé}} = 22 \text{ cm} \quad \bar{E} = 29 \text{ cm.} \quad \text{pour l'appui B.}$$

$$t_{\text{calculé}} = 36 \text{ cm} \quad \bar{E} = 36 \text{ cm.} \quad \text{pour l'appui A.}$$

sur BC:

$$t_{\text{calculé}} = 25 \text{ cm.} \quad \bar{E} = 32 \text{ cm.} \quad \text{pour l'appui B}$$

$$t_{\text{calculé}} = 14 \text{ cm} \quad \bar{E} = 21 \text{ cm} \quad \text{pour l'appui C}$$

sur CD:

$$t_{\text{calculé}} = 12 \text{ cm} \quad \bar{E} = 16 \text{ cm} \quad \text{pour l'appui C}$$

$$t_{\text{calculé}} = 21 \text{ cm.} \quad \bar{E} = 29 \text{ cm.} \quad \text{pour l'appui D}$$

dispositions des courrois successifs sur la poutrelle.



sur AB: $1 \times 16 + 3 \times 33 + 1 \times 55 + 1 \times 29 + 3 \cdot 22 + 1 \times 11.$

sur BC:

$$1 \times 11 + 3 \times 22 + 1 \cdot 29 + 1 \cdot 42 + 1 \cdot 25 + 2 \cdot 20 + 1 \cdot 16 + 3 \cdot 13 + 1 \times 6$$

sur CD:

$$1 \times 6 + 3 \times 12 + 3 \times 14 + 3 \cdot 17 + 3 \cdot 22 + 3 \cdot 29 + 1 \cdot 57 + 3 \cdot 35 + 3 \cdot 25$$

$$+ 3 \cdot 20 + 1 \cdot 10$$

calcul des masses sismiques:

Plancher terrasse (niveau 4)

- 1- plancher : $508 \text{ Kg/m}^2 \quad 17,95 \times 12,25 = 111,7 \text{ t}$
- 2- poutrelles (Retombées) : $150 \times 11,9 \times 6 = 10,71 \text{ t}$
- 3- poutres longitudinales : $700 [8,45 \times 4 + 8,6 \times 2] = 35,7 \text{ t}$
- 4- poutres transversales : $525 \times 5,85 \times 6 = 18,43 \text{ t}$
- 5- Acrotère : $169 \text{ Kg/ml} : (17,95 \times 2 + 12,95) = 8,26 \text{ t}$
- 6- Murs extérieurs ($1/2$) : $363 \times \frac{4,86}{2} [8,45 \times 2 \times 2 + 5,85 \times 2] = 40,13 \text{ t}$
- 7- Poteaux ($1/2$) :
- $0,335 \times 4,86 / 2 \times 2500 \times 6 = 12,21 \text{ t}$
- $0,3025 \times 4,86 / 2 \times 2500 \times 3 = 5,51 \text{ t}$
 $G = 242,65 \text{ t}$

SURCHARGES: $P = 100 \text{ Kg/m}^2 \times 17,95 \times 12,25 = 21,99 \text{ t}$

charge soumise à l'action sismique:

$$G + P/5 = 242,65 \text{ t} + \frac{21,99 \text{ t}}{5} = 247 \text{ t}$$

Plancher courant (niveau 3)

- 1- plancher $384 \times 17,95 \times 12,25 = 84,44 \text{ t}$
- 2- poutrelles (retombées) $250 \times 11,9 \times 6 = 17,85 \text{ t}$
- 3- poutres longitudinales $700 \times (8,45 \times 4 + 8,6 \times 2) = 35,7 \text{ t}$
- 4- poutres Transversales $525 \times 5,85 \times 6 = 18,43 \text{ t}$
- 5- Murs $363 \times 4,86 \times (8,45 \times 4 + 5,85 \times 2) = 80,27 \text{ t}$
- 6- Poteaux - $0,335 \times 4,86 \times 2500 \times 6 = 24,42 \text{ t}$
- $0,3025 \times 4,86 \times 2500 \times 3 = 11,02 \text{ t}$
 $G = 272,13 \text{ t}$

SURCHARGES: $P = 600 \text{ Kg/m}^2 \quad 17,95 \times 12,25 = 131,93 \text{ t}$

charge soumise à l'action sismique:

$$G + P = 272,13 \text{ t} + 131,93 \text{ t} = 404 \text{ t}$$

Plancher courant (niveau 2)

$$G = 236,69t \text{ (sans poteaux)}$$

Poteaux : $- 0,335 \times 4,86 \times 2500 \times 6 = 24,42t$

$- \frac{1}{2} \times 0,3025 \times 4,86 \times 2500 \times 3 = 5,513t \text{ (55x55)}$

$- \frac{1}{2} \times 0,4225 \times 4,86 \times 2500 \times 3 = 7,7t \text{ (65x65)}$

$- G = 274,33t \quad P = 131,93t \text{ (surcharges)}$

charge soumise à l'action sismique:

$$G + P = 406,26t = 407t$$

Plancher courant (niveau 1)

$$G = 156,42t \text{ (sans murs et poteaux)}$$

- Poteaux : $0,335 \times (4,86 + 3,24)/2 \times 2500 \times 6 = 20,4t$

- Poteaux : $0,4225 \times (4,86 + 3,24)/2 \times 2500 \times 3 = 12,84t$

- Murs extérieurs : $363 \times [(4,86 + 3,24)/2] \times (8,45 \times 4 + 5,85 \times 2) = 77t$

$$G = 266,66 \approx 267t$$

$$G + P = 266,66 + 131,93 = 398,59t = 399t$$

calcul des masses sismiques

Plancher terrasse (niveau 4)

1- plancher : $508 \times 12,25 \times 8,8 = 54,76t$

2- poutrelles (retombées) : $150 \times 11,9 \times 3 = 5,4t$

3- poutres longitudinales : $700 \times (8,45 \times 2 + 8,6) = 17,85t$

4- poutres Transversales : $525 \times (5,85 \times 4) = 12,28t$.

5- Acrotère $169 \times (12,95 + 2 \times 9,5) = 5,4t$.

6- Murs extérieurs $363 \times \frac{4,86}{2} \cdot (8,45 \times 2 + 5,85 \times 2) = 25,3t$

7- Poteaux ($\frac{1}{2}$) : $- 0,335 \times \frac{4,86}{2} \times 2500 \times 4 = 8,15t$.

$- 0,3025 \times \frac{4,86}{2} \times 2500 \times 2 = 3,7t$

Poids Propre : $G = 132,84t$

SURCHARGES : $P = 100 \times 12,25 \times 8,8 = 10,78t$

ACTION-SISMIQUE : $G + P/5 = 132,84 + 10,78/5 \approx 135t$

PLancher courant (niveau 3)

- 1- plancher $384 \times 12,25 \times 8,8 = 41,4 \text{ t}$
- 2- poutrelles (retombées) $250 \times 11,9 \times 3 = 8,93 \text{ t}$
- 3- poutres longitudinales $700 \times (8,45 \times 2 + 8,6) = 17,85 \text{ t}$
- 4- poutres Transversales $525 \times 5,85 \times 4 = 12,28 \text{ t}$
- 5- Murs extérieurs : $363 \times 4,86 \times (8,45 \times 2 + 5,85 \times 2) = 50,6 \text{ t}$
- 6- Poteaux
 - $0,335 \times 4,86 \times 2500 \times 4 = 16,3 \text{ t}$
 - $0,3025 \times 4,86 \times 2500 \times 2 = 7,4 \text{ t}$

Poids Propre: $G = 154,76 \text{ t}$.

SURCHARGES: $\Omega = 600 \times 12,25 \times 8,8 = 64,68 \text{ t}$

Action sismique: $G + P = 154,76 + 64,68 \approx 220 \text{ t}$.

PLancher courant (niveau 2)

- $G = 131,06 \text{ t}$ (sans poteaux)
- $0,335 \times 4,86 \times 2500 \times 4 = 16,3 \text{ t}$
 - $\frac{1}{2} \times 0,3025 \times 4,86 \times 2500 \times 2 = 3,675 \text{ t}$
 - $\frac{1}{2} \times 0,4225 \times 4,86 \times 2500 \times 2 = 5,133 \text{ t}$

Poids Propre: $G = 156,17 \text{ t} \approx 157 \text{ t}$.

Action sismique: $G + P = 156,17 + 64,68 \approx 221 \text{ t}$.

PLancher courant (niveau 1)

$G = 80,46 \text{ t}$ (sans poteaux et Murs extérieures)

- Poteaux : - $0,335 \times (4,86 + 3,24)/2 \times 2500 \times 4 = 13,567 \text{ t}$
 - $0,4225 \times (4,86 + 3,24)/2 \times 2500 \times 2 = 8,555 \text{ t}$

Murs extérieurs : $363 \left(\frac{4,86 + 3,24}{2} \right) [8,45 \times 2 + 5,85 \times 2] = 42,046 \text{ t}$
 $G = 144,63 \text{ t}$

Action sismique: $G + P = 144,63 \text{ t} + 64,68 \text{ t} \approx 210 \text{ t}$

calcul de la période du mode Fondamental

Pour le calcul de la période du mode Fondamental, on utilisera la méthode Holzer - transformé.

la déformé dynamique est donnée par l'expression suivante

$$\phi_k = \phi_{K+1} - \frac{\omega_i^2}{R_{K+1, K}} \sum_{r=K+1}^n m_r \phi_r$$

ϕ_k : représente l'ordonnée principal au niveau k , à l'aide de cette relation, on peut calculer par des essais successifs, la pulsation ω_i et la forme propre de n'importe quel mode de vibration.

l'ordonnée principale pour le dernier étage est arbitraire ($\phi_n = 1$, dans notre cas).

l'ordonnée à la base doit être nulle. ($\phi_0 = 0$).

En effet, toutes les ordonnées (ϕ_i) du 1^{er} mode de vibration doivent être positives

Pour le 2^{ème} mode, on aura un seul changement de signe.

Pour le 3^{ème} mode, on aura 2 changements de signe.

Pour le n mode, on aura $(n-1)$ changements de signe.

Notations:

ψ_i : caractéristique de pulsation.

$\omega_i^2 = \psi_i \frac{R_0}{m_0}$: pulsation.

$R_0 = 12 E I_0 / l_0^3$ (I_0, l_0 : valeurs de référence choisis arbitrairement)

$I_{jk}^{(s)} = k_{jk}^{(s)} I_0$ moment d'inertie fictif du poteau(s) se trouvant entre les niveaux j et k .

$K_{jk}^{(s)}(\infty)$ = rigidité relative du poteau(s)

$l_{jk} = \lambda_{jk} l_0$: distance entre les niveaux j et k .

$\beta_{jk} = \frac{K_{jk}^{(s)}}{l_{jk}^{(s)}}$: rigidité conventionnelle du poteau(s) entre les niveaux j et k .

$$R_{jk}^{(s)}(\infty) = \frac{12 E I_{jk}^{(s)}}{l_{jk}^3} = \frac{12 \cdot E \cdot K_{jk} \cdot I_0}{l_{jk}^3} = \frac{\beta_{jk}}{\lambda_{jk}^2} R_0$$

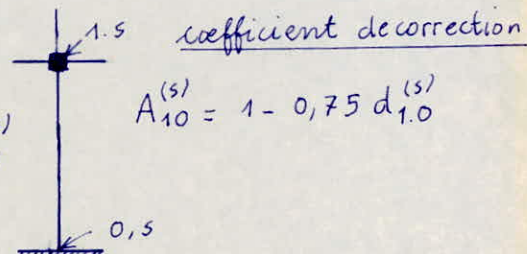
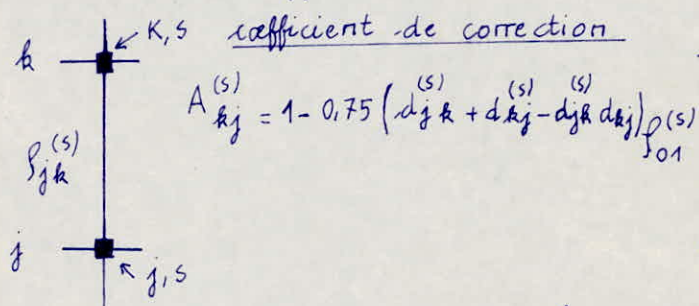
On introduit les coefficients de correction $A_{kj}^{(s)}$ due à l'influence de la rotation des nœuds (K_s) et (j_s).

$$R_{jk}^{(s)} = A_{kj}^{(s)} R_{jk}^{(\infty)} = \eta_{kj}^{(s)} R_0 \text{ avec } \eta_{kj} = \frac{s_{jk}}{\eta_{jk}^{(s)}} A_{kj}$$

la rigidité totale de niveau, pour tous les niveaux situés entre les niveaux j et k .

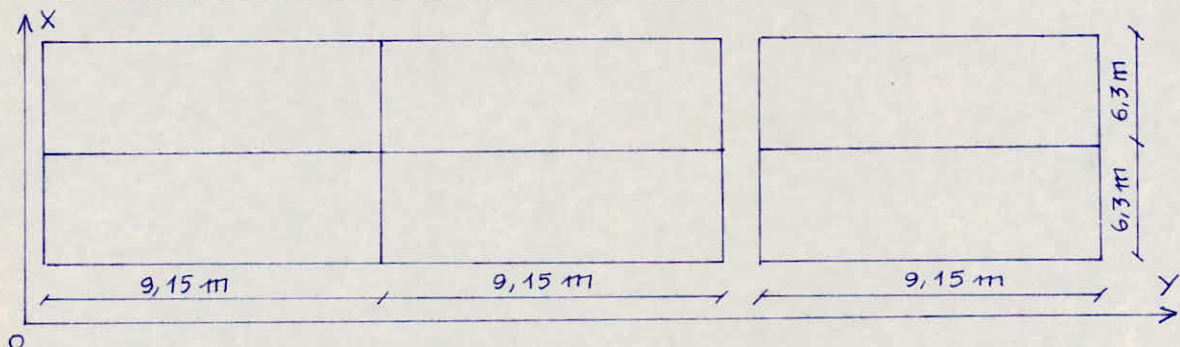
$$R_{kj} = \sum_{s=1}^m R_{kj}^{(s)} = \eta_{kj} R_0.$$

Calcul des coefficients de correction.

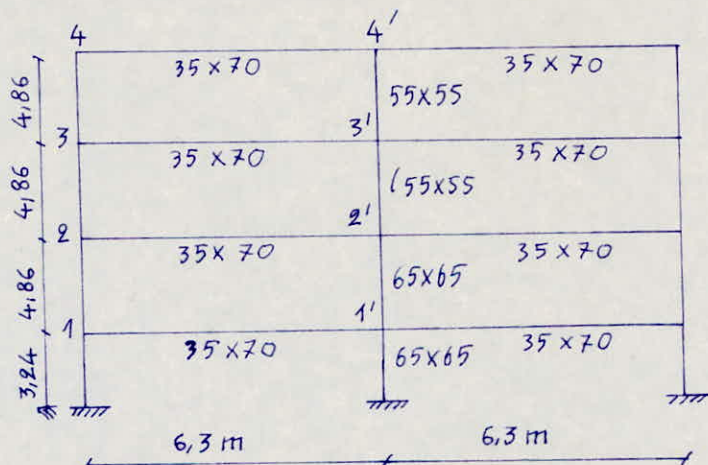


les Facteurs d_{jk} représentent les coefficients de répartition de cross. $d_{kj} = R_{kj} / \sum R_{kj} = S / \sum S$

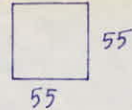
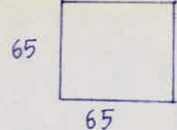
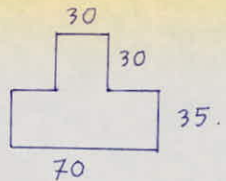
Présentation des portiques en plan:



Portique transversal:



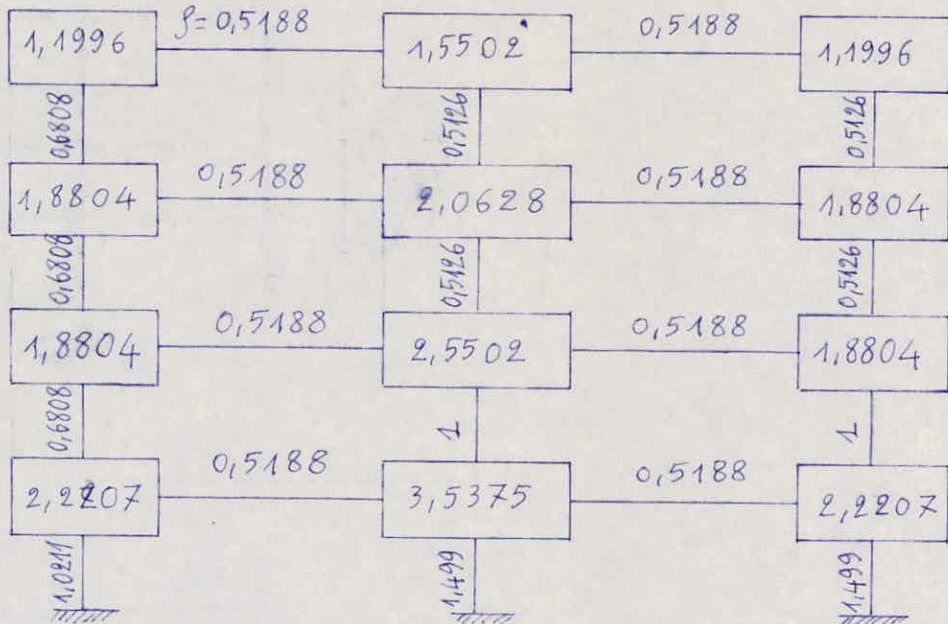
les poteaux de rive ont la forme suivante:



$$l_0 = 4,86 \text{ m}$$

$$I_0 = \frac{6,5^4}{12} = 148,76 \text{ dm}^4$$

	Barre	$I (\text{dm}^4)$	$\ell (\text{dm})$	$K = I/I_0$	$\kappa = \ell/l_0$	$\beta = K/\kappa$
Poteaux poteaux en T	4-4'	100,042	63	0,6725	1,2963	0,5188
	3-3'	100,042	63	0,6725	1,2963	0,5188
	2-2'	100,042	63	0,6725	1,2963	0,5188
	1-1'	100,042	63	0,6725	1,2963	0,5188
	4-3	101,28	48,6	0,6808	1	0,6808
	3-2	101,28	48,6	0,6808	1	0,6808
	2-1	101,28	48,6	0,6808	1	0,6808
	1-0	101,28	32,4	0,6808	0,6667	1,0211
Poteaux	4'-3'	76,25	48,6	0,5126	1	0,5126
	3'-2'	76,25	48,6	0,5126	1	0,5126
	2'-1'	148,76	48,6	1	1	1
	1'-0'	148,76	32,4	1	0,6667	1,4999



coefficients de correction:

$$\text{poteau T: } A_{34} = 0,4569 \quad A_{23} = 0,5553 \quad A_{12} = 0,5817 \quad A_{01} = 0,6551$$

Poteaux carrés: $A'_{3'4'} = 0,6271$ $A'_{23} = 0,7003$, $A'_{12} = 0,577$ $A'_{01} = 0,682$
 avec les coefficients de correction, et les valeurs de δ et λ , on
 calcule la rigidité de niveau.

Niv	coefficients A_{jk}		Rég rela		R_{jk}	coeff η_{jk}	Rigidité		Rég tot	Rég (t/m) Rela de niveau
	$A(T)$	A'	$\delta(T)$	δ'			$\eta(T)$	η'	$2\eta + \eta'$	
4	0,4569	0,6271	0,6808	0,5126	1	0,311	0,3214	0,9434	5545,59	
3	0,5553	0,7003	0,6808	0,5126	1	0,378	0,3589	1,1149	6553,72	
2	0,5817	0,577	0,6808	1	1	0,396	0,577	1,369	8047,39	
1	0,6551	0,682	1,0211	1,4999	0,6667	1,5049	2,3013	5,3111	31220,24	

$$\eta_{jk} = \frac{\delta_{jk} A_{jk}}{\lambda_{jk}^2}$$

la rigidité totale de niveau, pour tous les poteaux situés entre j et k s'obtiendra par la relation suivante

$$R_{kj} = \sum_{s=1}^m R_{ks} \quad m : \text{nombre de rangées de poteaux dans le sens considéré}$$

Bloc A 1 m=3			Bloc A 2 m=2	
Niv	$R_{kj}(t/m)$	Masse (t)	$R_{kj}(t/m)$	Masse (t)
4	16636,77	247	11091,18	135
3	19661,16	404	13107,44	220
2	24142,17	407	16094,78	221
1	93660,72	399	62440,48	210

d'après la relation $\phi_k = \phi_{k+1} - \frac{w_i^2}{R_{k+1, k}} \sum_{r=k+1}^n m_r \phi_r$.

$$\text{Bloc A1} \quad w_1^2 = 115,05$$

$$\phi_4 = 1$$

$$\phi_3 = 0,8258$$

$$\phi_2 = 0,4794$$

$$\phi_1 = 0,1025$$

$$\phi_0 = 0,0002$$

$$\rightarrow T_x = \frac{2\pi}{\omega} = 0,5860$$

BLOC A2 $w_1^2 = 140,5$

$$\phi_4 = 1$$

$$\phi_3 = 0.8256$$

$$\phi_2 = 0,4796 \quad \rightarrow T_x = \frac{2\pi}{\omega} = 0,53\Delta$$

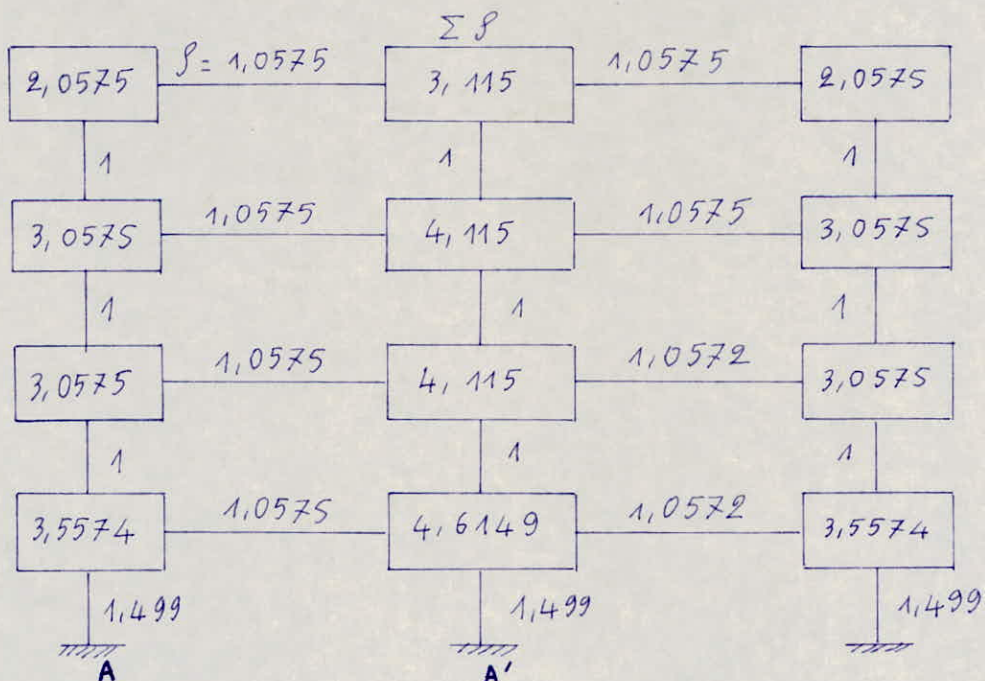
$$\phi_1 = 0, 1035$$

$$\phi_0 = 0,0015$$

Dans les sens y: Bloc A1

a) Portique longitudinal de rive: $l_0 = 4,86 \text{ m}$ $I_0 = 106,79 \text{ dm}^4$

	Barre	$I \text{ dm}^4$	$\ell \text{ (dm)}$	$K = I/I_0$	$\lambda = \ell/l_0$	$\beta = K/\lambda$
Poutres	4 - 4'	212,63	91,5	1,9911	1,8827	1,0575
	3 - 3'	212,63	91,5	1,9911	1,8827	1,0575
	2 - 2'	212,63	91,5	1,9911	1,8827	1,0575
	1 - 1'	212,63	91,5	1,9911	1,8827	1,0575
Poteaux	4 - 3	106,79	48,6	1	1	1
	3 - 2	106,79	48,6	1	1	1
	2 - 1	106,79	48,6	1	1	1
	1 - 0	106,79	32,4	1	0,6667	1,4999.



les coefficients de correction:

$$A_{34} = 0,5094 \quad A_{23} = 0,5896 \quad A_{12} = 0,6128 \quad A_{01} = 0,6838.$$

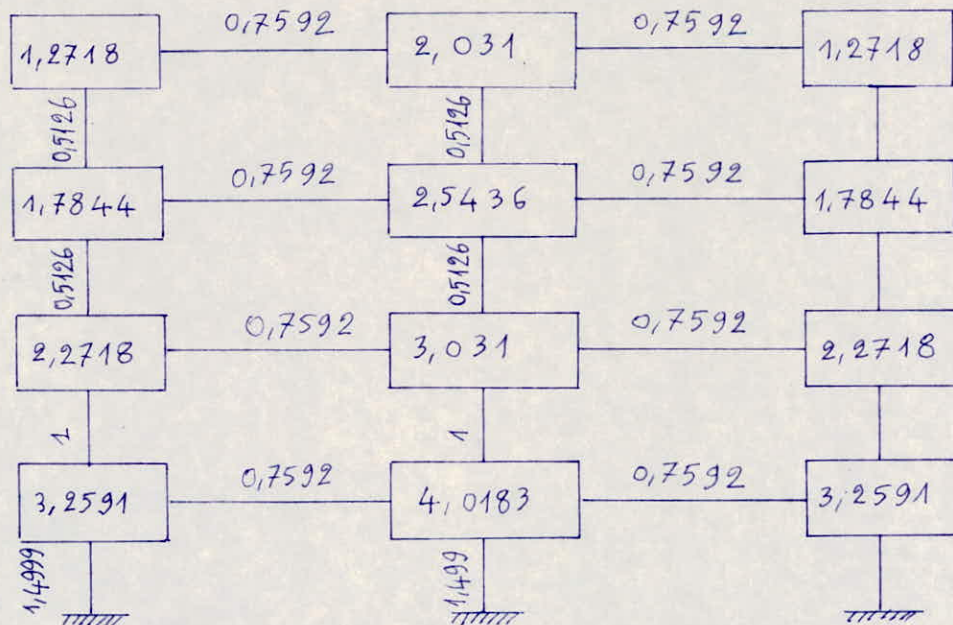
$$A'_{34} = 0,6355 \quad A'_{23} = 0,6797 \quad A'_{12} = 0,6947 \quad A'_{01} = 0,7562.$$

Rigidité de niveau:

Niv	coeff A _{JK}		δ_{JK}	λ_{JK}	coeff rigidité		η_K	Rigid./m relat de niveau
	A	A'			π	π'		
4	0,5094	0,6355	1	1	0,5094	0,6355	1,6543	6980,86
3	0,5896	0,6797	1	1	0,5896	0,6797	1,8589	7844,24
2	0,6128	0,6947	1	1	0,6128	0,6947	1,9203	8103,34
1	0,6838	0,7562	1,4999	0,6667	2,3074	2,5517	7,1665	30241,41

b/ Portique longitudinal central : Bloc A1 $I_o = 148,76 \text{ dm}^4$.

	Barre	$I (\text{dm}^4)$	$l (\text{dm})$	$k = I/I_o$	$\lambda = l/l_o$	$\delta = k/\lambda$
Poutres	4 - 4'	212,63	91,5	1,4293	1,8827	0,7592
	3 - 3'	212,63	91,5	1,4293	1,8827	0,7592
	2 - 2'	212,63	91,5	1,4293	1,8827	0,7592
	1 - 1'	212,63	91,5	1,4293	1,8827	0,7592
Poteaux x	4 - 3	76,25	48,6	0,5126	1	0,5126
	3 - 2	76,25	48,6	0,5126	1	0,5126
	2 - 1	148,76	48,6	1	1	1
	1 - 0	148,76	32,4	1	0,6667	1,4999



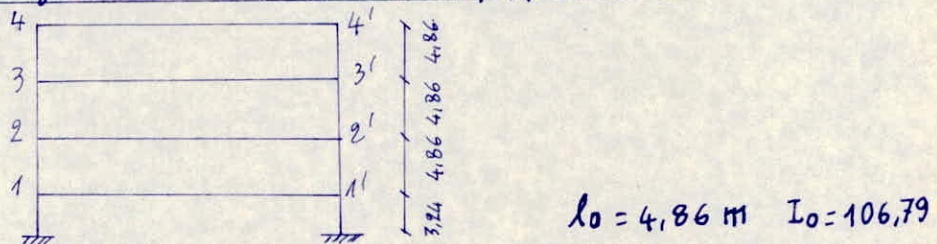
les coefficients de correction :

$$A_{34} = 0,5691 \quad A_{23} = 0,664 \quad A_{12} = 0,5411 \quad A_{01} = 0,6550.$$

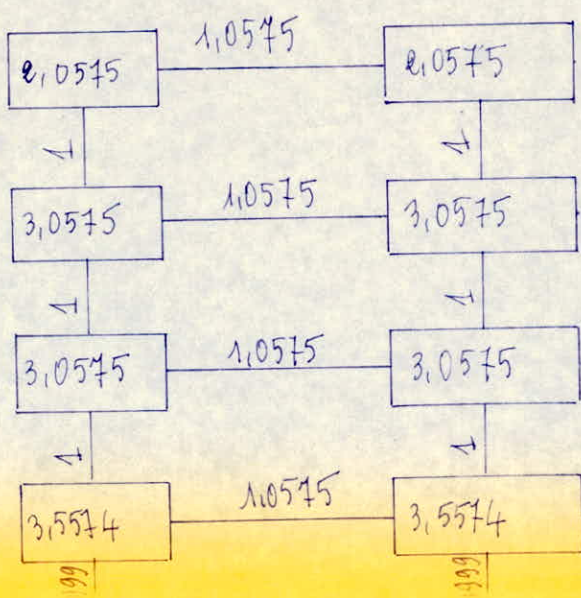
$$A'_{34} = 0,6977 \quad A'_{23} = 0,7475 \quad A'_{12} = 0,6275 \quad A'_{01} = 0,7201$$

Niv	A _{jk}		Rég rel	-	coeff rigidité	rig tot	Rég rel de niveau
	A	A'					
4	0,5691	0,6977	0,5126	1	0,2914	0,3576	0,941
3	0,664	0,7475	0,5126	1	0,3403	0,3831	1,0637
2	0,5411	0,6275	1	1	0,5411	0,6275	1,07097
1	0,655	0,7201	1,4999	0,6667	2,210	2,4299	6,8499

c/ Portique longitudinal de rive (sens y.y) Bloc A2 :



Barre	$I(\text{dm}^4)$	$\ell(\text{dm})$	$K = I/I_0$	$\lambda = \ell/l_0$	$s = K/\lambda$
4-4'	212,63	91,5	1,9911	1,8827	1,0575
3-3'	212,63	91,5	1,9911	1,8827	1,0575
2-2'	212,63	91,5	1,9911	1,8827	1,0575
1-1'	212,63	91,5	1,9911	1,8827	1,0575
4-3	106,79	48,6	1	1	1
3-2	106,79	48,6	1	1	1
2-1	106,79	48,6	1	1	1
1-0	106,79	38,4	1	0,6667	1,4999

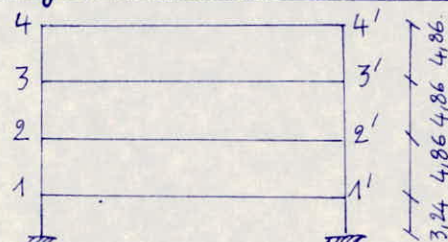


les coefficients de correction:

$$A_{34} = 0,5094 \quad A_{23} = 0,5896 \quad A_{12} = 0,6128 \quad A_{01} = 0,6838.$$

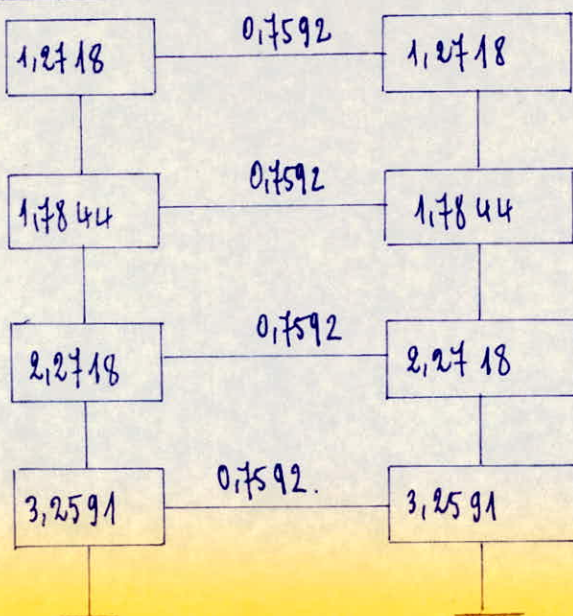
N _{iY}	regi relatif		reg tot		Reg (tm rel de niveau)	
	A _{JK}	S _{JK}	K _{JK}	M		
4	0,5094	1	1	0,5094	1,0188	4299,16
3	0,5896	1	1	0,5896	1,1792	4976,02
2	0,6128	1	1	0,6128	1,2256	5171,82
1	0,6838	1,14999	0,6667	2,3074	6,6148	19473,67

d/ Portique longitudinal central (sens y.y) Bloc A2



$$l_0 = 4,86 \text{ m} \quad I_0 = 148,76 \text{ dm}^4$$

	Barre	I (dm)	l (dm)	K = I/I ₀	K = l/l ₀	S = K/λ
4-4'	212,63	91,5	1,4293	1,8827	0,7592	
	212,63	91,5	1,4293	1,8827	0,7592	
	212,63	91,5	1,4293	1,8827	0,7592	
	212,63	91,5	1,4293	1,8827	0,7592	
	76,25	48,6	0,5126	1	0,5126	
	76,25	48,6	0,5126	1	0,5126	
	148,76	48,6	1	1	1	
	148,76	32,4	1	0,6667	1,14999	



les coefficients de correction

$$A_{34} = 0,5691 \quad A_{23} = 0,664 \quad A_{12} = 0,5411 \quad A_0 = 0,655.$$

Niv	A _{jk}	rigidité relative				Rigidité de niveau (t/m)
		R _{jk}	A _{jk}	A _{jk}	η	
4	0,5691	0,5126	1	0,2917	0,5834	3489,4
3	0,664	0,5126	1	0,3403	0,6808	4000,77
2	0,5411	1	1	0,5411	1,0882	6361,5
1	0,655	1,4999	0,6667	2,21	4,42	85982,08

la rigidité de niveau (totale) pour tous le poteaux situés entre j et k est $R_{kj} = \sum_{i=1}^3 R_{kj}^{(s)}$

BLOC A1			BLOC A2	
Niv	Rigidité (t/m)	Masse (t)	Rigidité (t/m)	Masse (t)
4	19493,2	247	12027,72	135
3	21941,23	404	13952,81	220
2	22502,16	407	16405,14	221
1	100748,59	399	64929,42	210

BLOC A1

$$\omega_1^2 = 118.$$

$$\phi_4 = 1$$

$$\phi_3 = 0,8476$$

$$\phi_2 = 0,5845 \Rightarrow T_y = \frac{2\pi}{\omega} = 0,548 s$$

$$\phi_1 = 0,0953$$

$$\phi_0 = -0,005$$

BLOC A2 . $\omega_1^2 = 150$

$$\phi_4 = 1$$

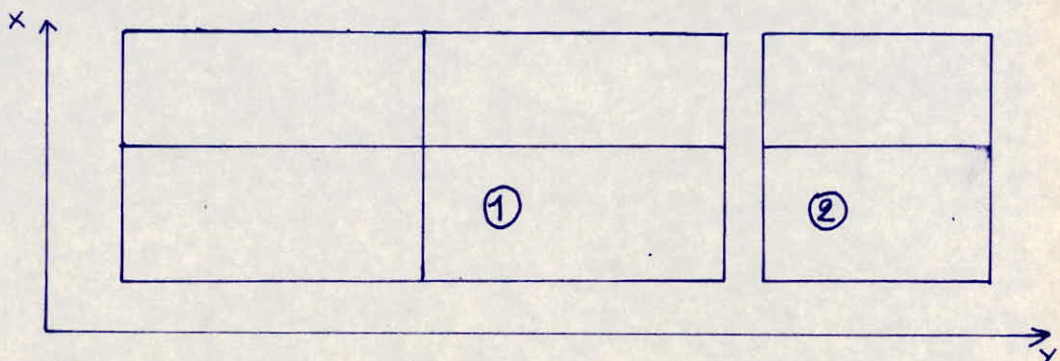
$$\phi_3 = 0,8316$$

$$\phi_2 = 0,4898 \Rightarrow T_y = \frac{2\pi}{\omega} = 0,513 s$$

$$\phi_1 = 0,1071$$

$$\phi_0 = 0,003$$

Récapitulatif



Bloc A1

$$Tx = 0,586 \text{ s}$$

$$Ty = 0,578 \text{ s}$$

BLOC A2

$$Tx = 0,53 \text{ s}$$

$$Ty = 0,513 \text{ s}$$

dans tous les cas , la période est inférieur à 0,7s
donc on n'a négligé l'incidence du 2^{ième} et 3^{ième} mode.
et on a tenu compte que du 1^{er} mode.

. la période forfaitaire $T = 0,4 \text{ s}$ donne $D = 2$.

la plus petite période $T = 0,513 \text{ s}$ donne $D = 1,97$

la plus grande période $T = 0,586 \text{ s}$ donne $D = 1,85$

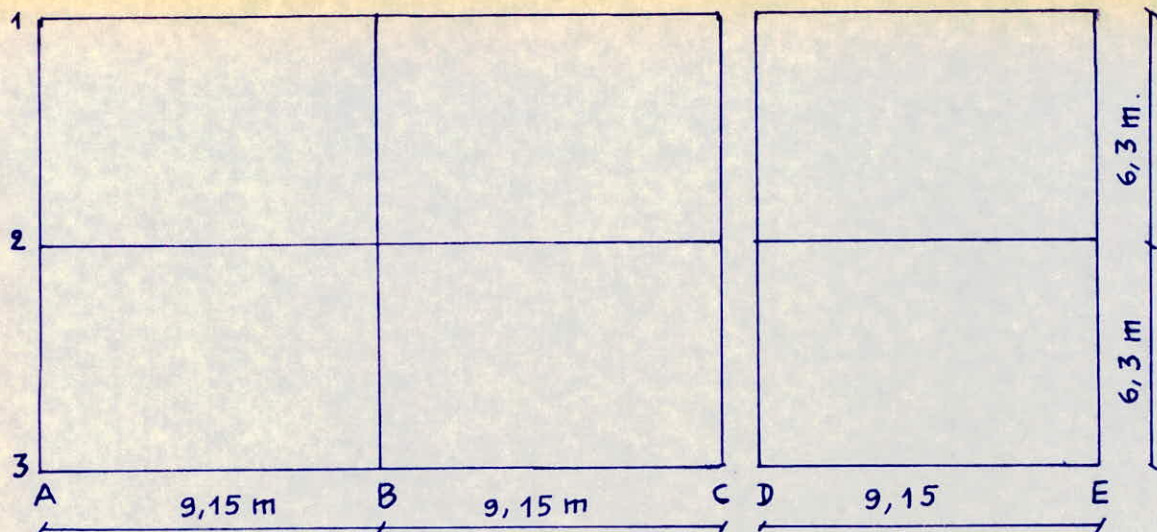
dans les 2 cas, la variation sur D est inférieur à 20% (RPA)

c'est pourquoi , on travaille avec la Période.

Forfaitaire ($T = 0,4 \text{ s}$) en prenant $D = 2$ dans tous les cas.

Notation des portiques:

Calcul des Rigidités (d'après Muto)

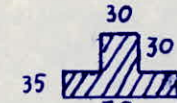


1. Portiques transversaux : A. B. C. D. E :

Poutres : $b \cdot h_t = 35 \cdot 70$

poteaux de rive : section en Té :

= centraux : section carré : Niv 1,2 : 65×65



Niv 3,4 : 55×55

Niv	h_o (cm)	l_o (cm)	a cm $\frac{a}{2}$	h_p cm $\frac{h_p}{2}$	(cm)	(cm)	I_{10^6} (m^4) Poutre	I_{10^6} (m^4) Pot Riv	I_{10^6} m ⁴ Pot cent	K_{10^6} Poutre	K_{10^6} P de Rive	K_{10^6} Pot central
4	416	585	45 22,5	70 35	438,5	620	10004,16	10128,31	7625,52	1613,57	2309,76	1739,00
3	416	585	45 22,5	70 35	438,5	620	"	10128,31	7652,52	1613,57	2309,76	1739,00
2	416	580	50 25	70 35	441	615	"	10128,31	14875,5	1626,69	2296,67	3373,13
1	254	580	50 25	70 35	279	615	"	10128,31	14875,5	1626,69	3630,92	5331,73

2 : Portiques longitudinaux : (1,3) : poutres 35x90

Niv	h_o cm.	l_o cm	acum) cm $\frac{a}{2}$	h_p cm $\frac{h_p}{2}$	(cm)	$h_o + a/2$	$l_o + h_p/2$	$I_{10^6}(m^4)$ Poutre	I_{10^6} Pot	K_{10^6} Poutre	K_{10^6} Pot
4	396	845	70 35	90 45	431	890	21262,5	10679,16	2389,04	2477,76	
3	396	845	70 35	90 45	431	890	"	"	"	"	"
2	396	845	70 35	90 45	431	890	"	"	"	"	"
1	234	845	70 35	90 45	269	890	"	"	"	"	3969,95

Portique longitudinal : 2.

Niv	l_o cm	h_o cm	a (cm) $a/2$ (cm)	h_p cm $\frac{h_p}{2}$	(cm) $h_o + a/2$	(cm) $l_o + \frac{h_p}{2}$	$I \cdot 10^6$ (m^4) Poutre	$I \cdot 10^6$ (m^4) Pot	$K \cdot 10^6$ Poutre	$K \cdot 10^6$ pot
4	860	396	55 27,5	90 45	423,5	905	21262,5	7625,52	2349,45	1800,59
3	860	396	55 27,5	90 45	423,5	905	"	7625,52	2349,45	1800,59
2	850	396	65 32,5	90 45	428,5	895	"	14875,52	2375,69	3471,53
1	850	234	65 32,5	90 45	266,5	895	"	14875,52	2375,69	5581,81

3. calcul des Rigidités de niveau des portiques:

A. Portique transversal:

Niv	Pot	h (cm)	$I \cdot 10^6$ pot	$K \cdot 10^6$	\bar{K}	a_j	$a_j K_p$	r_j (t/m)	R_j (t/m)
4.3	1.3	438,5	10128,31	2309,76	0.6986	0.2588	597,76	1423,2	4.839,15
	2	438,5	7625,52	1739.00	1.8557	0.4813	836,98	1992,75	
3.2	1.3	438,5	10128,31	2309,76	0.7014	0.2596	599,61	1427,59	4852,06
	2	438,5	7625,52	1739.00	1.8633	0.4823	838,72	1996,88	
2.1	1.3	441	10128,52	2296,67	0.7082	0.2615	600,579	1413,74	5412,02
	2	441	14875,52	3373,13	0.9645	0.3255	1097,954	2584,54	
1.0	1.3	279	10128,31	3630,22	0.4481	0.3873	1405,984	8268,9	29872,58
	2	279	14875,52	5331,73	0.6102	0.4253	2267,35	13334,78	

B. Portique longitudinal de rive:

B. Portique longitudinal de RIVE:

Niv	Pot	h(cm)	$I \cdot 10^6 (m^4)$	$K \cdot 10^6_{Pot}$	\bar{K}	a_j	$a_j K_p$	$r_j (t/m)$	$R_j (t/m)$
4-3	A-C	431	10679,16	2477,76	0.9642	0.3253	806.0	1986,35	6969,67
	B	431	10679,16	=	1.9283	0.4908	1216,08	2996,97	
	D-E	431	=	=	0.9642	0.3253	806.0	1986,35	3972,7
3-2	A-C	431	=	=	0.9642	0.3253	806.0	1986,35	6969,67
	B	431	=	=	1.9283	0.4908	1216,08	2996,97	
	D-E	431	=	=	0.9642	0.3253	806.0	1986,35	3972,7
2-1	A-C	431	=	=	0.9642	0.3253	806.0	1986,35	6969,67
	B	431	=	=	1.9283	0.4908	1216,08	2996,97	
	D-E	431	=	=	0.9642	0.3253	806.0	1986,35	3972,7
1-0	A-C	269	=	3969,95	0.6017	0.4234	1680.87	10634,21	34622,76
	B	269	=	3969,95	1.2035	0.5317	2110.82	13354,34	
	D-E	269	=	3969,95	0.6017	0.4234	1680.87	10634,21	21268,42

C. Portique longitudinal central:

Niv	Pot	h(cm)	$I \cdot 10^6 (m^4)$	$\bar{K} \cdot 10^6$	$Pot \cdot K \cdot 10^6$	a_j	$a_j K_p$	$r_j (t/m)$	$R_j (t/m)$
4-3	A-C	423,5	7625,52	1.3048	1800.59	0.3948	710.87	1814,51	6230,85
	B	423,5	7625,52	2.6096	1800.59	0.5661	1019,32	2601,83	
	D-E	423,5	7625,52	1.3048	1800.59	0.3948	710.87	1814,51	3629,02
3-2	A-C	423,5	7625,52	1.3048	1800.59	0.3948	710.87	1814,51	6230,85
	B	423,5	7625,52	2.6096	1800.59	0.5661	1019,32	2601,83	
	D-E	423,5	7625,52	1.3048	1800.59	0.3948	710.87	1814,51	3629,02
2-1	A-C	428,5	14875,52	0.6767	3471,53	0.2528	877,60	2188,12	7869,62
	B	428,5	14875,52	1.3535	3471,53	0.4036	1401,11	3493,38	
	D-E	428,5	14875,52	0.6767	3471,53	0.2528	877,6	2188,12	4376,94
1-0	A-C	266,5	14875,52	0.4209	5581,81	0.3804	2123,60	13686,64	44359,23
	B	266,5	14875,52	0.8418	5581,81	0.4721	2635,17	16985,95	
	D-E	266,5	14875,52	0.4209	5581,81	0.3804	2123,32	13686,64	27373,28

calcul des rigidités relatives d'étage (R_j).

Rigidité transversale ($R_j^{(t)}$).

$R_j^{(t)}$ (Bloc A ₁)	Niveaux	Bloc A ₂ $R_j^{(t)}$ (t/m)
$3 \times 4839,15 = 14517,45$	4	$2 \times 4839,15 = 9678,3$
$3 \times 4852,06 = 14556,18$	3	$2 \times 4852,06 = 9704,12$
$3 \times 5412,02 = 16236,06$	2	$2 \times 5412,02 = 10824,04$
$3 \times 29872,58 = 89617,74$	1	$2 \times 29872,58 = 59745,16$

Rigidité longitudinale ($R_j^{(L)}$).

$R_j^{(L)}$ Bloc A ₁ t/m	Niveaux	$R_j^{(L)}$ Bloc A ₂ t/m.
$2 \times 6969,67 + 1 \times 6230,85 = 20170,19$	4	$2 \times 3972,7 + 3629,09 = 11574,42$
$2 \times 6969,67 + 1 \times 6230,85 = 20170,19$	3	$2 \times 3972,7 + 3629,29 = 11574,42$
$2 \times 6969,67 + 1 \times 7869,62 = 21808,96$	2	$2 \times 3972,7 + 4376,24 = 12321,64$
$2 \times 34622,76 + 1 \times 44359,23 = 113604,75$	1	$2 \times 21268,42 + 27373,28 = 69910,12$

calcul des Rigidités de Torsion $R_{j\theta}$ de niveau:

a. Détermination du centre de torsion:

comme l'édifice présente une symétrie dans les 2 sens, il est inutile de calculer les coordonnées du centre de Torsion car il se trouve confondu avec le centre de Masse, on admet alors une excentricité théorique (accidentelle) de 5% de la plus grande dimension soit :

$$\text{Bloc A}_1 - e = \frac{5 \cdot 18,30}{100} = 0,915 \text{ m.}$$

$$\text{Bloc A}_2 - e = \frac{5 \cdot 12,60}{100} = 0,63 \text{ m.}$$

b. calcul de la rigidité:

elle est donnée par la formule suivante :

$$R_{j\theta} = \sum_{t=1}^{t=k} R_{jy}^{(t)} [x_j^{(t)}]^2 + \sum_{l=1}^{l=3} R_{jx}^{(l)} [y_j^{(l)}]^2$$

Bloc A₁

Niv	$R_{1y}^{(t)}$	$R_{1,3x}^{(t)}$	$R_{2x}^{(t)}$	$\sum x_j^2$	y_1^2	y_2^2	y_3^2	$R_{j\theta} (\text{t/m})$
4	4839,15	6969,67	6230,85	169,95	28,998	0,8372	52,056	1,39 10 ⁶
3	4852,06	6969,67	6230,85	169,95	28,998	0,8372	52,056	1,39 10 ⁶
2	5412,02	6967,67	7869,62	169,95	28,998	0,8372	52,056	1,49 10 ⁶
1	29872,58	34622,76	44359,23	169,95	28,998	0,8372	52,056	7,92 10 ⁶

Bloc A₂:

Niv	$R_{1y}^{(t)}$	$R_{1,3x}^{(t)}$	$R_{2x}^{(t)}$	$\sum x_j^2$	y_1^2	y_2^2	y_3^2	$R_{j\theta} (\text{t/m})$
4	4839,15	3972,7	3629,02	42,655	32,15	0,4	48,025	0,53 10 ⁶
3	4852,06	3972,7	3629,02	42,655	32,15	0,4	48,025	0,53 10 ⁶
2	5412,02	3972,7	4376,24	42,655	32,15	0,4	48,025	0,55 10 ⁶
1	29872,58	21268,4	27373,28	42,655	32,15	0,4	48,025	2,99 10 ⁶

calcul sismique :

Force sismique $V = A \cdot B \cdot D \cdot Q \cdot W$

calcul des coefficients :

$A = 0,25$ (Zone II, Groupe d'usage 1).

$B = 0,25$ (contreventement assuré par des portiques).

$Q = 1,4$ (Facteur de qualité, donné par la Formule

$Q = 1 + \sum P_q$. où P_q est la pénalité qui dépend de l'observation ou non du critère de qualité q).

$D = 2$ (Facteur d'amplification dynamique Moyen, déterminé d'après le type du sol en fonction de la période T .

la période T est déterminé par la Formule Forfaitaire

$$T = 0,01 N = 0,01 \cdot 4 = 0,4 s$$

$$T = 0,4 s, \text{ sol meuble} \Rightarrow D = 2.$$

calcul du poids W :

$W = 1457 t$ (Poids de la structure soumise à l'action sismique).

Pour le calcul de W (voir le calcul des Masses sismiques).

distribution des Forces latérales:

la distribution en Hauteur est la suivante:

$$V = F_t + \sum_{i=1}^n F_i \quad F_t = 0 \quad (T < 0,7 s).$$

l'effort Horizontal V doit être distribué sur la hauteur suivant la formule suivante:

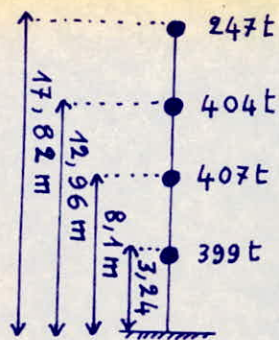
$$F_K = (V - F_t) \frac{W_K h_K}{\sum W_i h_i}$$

F_K = effort Horizontal au niveau K .

$W_{i,K}$ = Partie de W qui se trouve au niveau i, K respectivement.

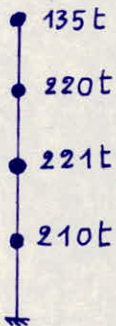
Modélisation sous forme de console:

* $V = 254,97 \text{ t. (Bloc 1. A)}$



Niv	$h(m)$	$W_k(t)$	$W_k h_k$	$\sum w_i h_i$	$F_k(t)$	F_k^c
4	17,82	247	4401,54	=	78,88	78,88
3	12,96	404	5235,84	14226,84	93,84	172,72
2	8,1	407	3296,7	=	59,08	231,8
1	3,24	399	1292,76	=	23,17	254,97

* $W = 786 \text{ t} \Rightarrow V = 137,55 \text{ t. (Bloc 2. A)}$



Niv	$h(m)$	$W_k(t)$	$W_k h_k$	$\sum w_i h_i$	$F_k(t)$	$F_k^c(t)$
4	17,82	135	2405,7	=	42,82	42,82
3	12,96	220	2851,2	7727,4	50,75	93,57
2	8,1	221	1790,1	=	31,86	125,43
1	3,24	210	680,4	=	12,11	137,54

Détermination de l'effort tranchant (τ_j) revenant à chaque portique.

L'effort tranchant de niveau (τ_j) s'applique au centre de gravité G, mais comme on a une rotation du plancher autour du centre de torsion T, alors τ_j appliqué en G est équivalent à τ_j appliquée en T plus un couple de torsion $M_j = \tau_j \cdot e$. d'où l'effort tranchant revenant à chaque portique :

Portiques Transversaux :

$$\tau_{jy} = \tau_{jy} \frac{R_{jy}^{(t)}}{R_{jy}} + \tau_{jy} \cdot \frac{R_{jy}^{(t)}}{R_{j\theta}} x_j x_G.$$

Portiques longitudinaux :

$$\tau_{jx} = \tau_{jx} \frac{R_{jx}^{(t)}}{R_{jx}} + \tau_{jx} \frac{R_{jx}^{(t)}}{R_{j\theta}} y_i y_G.$$

$R_{j,y,x}$ = Rigidité du portique considéré.

$R_{j,y,x}$ = = d'étage dans le sens considéré.

$R_{j\theta}$ = = à la torsion.

sens longitudinal :

Portiques		1	2	3	1'	2'	3'
Niv 4	$y_i y_4$	-4,93	+0,84	+6,6	-3,57	+0,397	+4,366
	$R_{jx}^{(e)} / R_{jx}^{(l)}$	0,3455	0,3089	0,3455	0,3432	0,3135	0,3432
	$R_{jx}^{(e)} / R_{j\theta}$	$5 \cdot 10^{-3}$	$4,48 \cdot 10^{-3}$	$5 \cdot 10^{-3}$	$7,55 \cdot 10^{-3}$	$6,89 \cdot 10^{-3}$	$7,55 \cdot 10^{-3}$
	τ_{4x}	$78,88 t$			$42,82 t$		
Niv 3	T_{4x}	27,25 t	24,66 t	29,85 t	14,69 t	13,54 t	16,11 t
	$R_{jx}^{(e)} / R_{j\theta}$	$5 \cdot 10^{-3}$	$4,48 \cdot 10^{-3}$	$5 \cdot 10^{-3}$	$7,54 \cdot 10^{-3}$	$6,88 \cdot 10^{-3}$	$7,54 \cdot 10^{-3}$
	τ_{3x}	$172,72 t$			$93,57 t$		
Niv 2	T_{4x}	59,67 t	54 t	65,37 t	32,11 t	29,59 t	35,19 t
	$R_{jx}^{(e)} / R_{j\theta}$	$4,68 \cdot 10^{-3}$	$5,28 \cdot 10^{-3}$	$4,68 \cdot 10^{-3}$	$7,21 \cdot 10^{-3}$	$7,94 \cdot 10^{-3}$	$7,21 \cdot 10^{-3}$
	τ_{2x}	$231,8 t$			$125,43 t$		
Niv 1	T_{2y}	74,08 t	84,66 t	81,24 t	40,44 t	44,95 t	44,38 t
	$R_{jx}^{(e)} / R_{j\theta}$	$4,37 \cdot 10^{-3}$	$5,6 \cdot 10^{-3}$	$4,37 \cdot 10^{-3}$	$7,11 \cdot 10^{-3}$	$9,15 \cdot 10^{-3}$	$7,11 \cdot 10^{-3}$
	τ_{1x}	$254,97 t$			$137,54 t$		
	T_{1x}	77,69 t	100,74 t	85,04 t	41,84 t	54,35 t	46,11 t

sens transversal:

Portiques		A	B	C	D	E
Niv 4	$x_j x_G$	+ 9,21	+ 0,84	- 7,54	+ 3,28	- 2,485
	$R_{jy}^{(t)} / R_{j\theta}^{(t)}$	0,333	0,333	0,333	0,5	0,5
	$R_{jy}^{(t)} / R_{j\theta}$	$3,48 \cdot 10^{-3}$			$9,2 \cdot 10^{-3}$	
Niv 3	τ_{4y}	$78,88 t$			$42,82 t$	
	T_{4y}	28,82 t	26,53 t	26,29 t	22,7 t	21,41 t
	$R_{jy}^{(t)} / R_{j\theta}$	$3,49 \cdot 10^{-3}$			$9,2 \cdot 10^{-3}$	
Niv 2	τ_{3y}	$172,72 t$			$93,57 t$	
	T_{3y}	63,12 t	58,08 t	57,57 t	49,61 t	46,78 t
	$R_{jy}^{(t)} / R_{j\theta}$	$3,63 \cdot 10^{-3}$			$9,82 \cdot 10^{-3}$	
Niv 1	τ_{2y}	$231,8 t$			$125,43 t$	
	T_{2y}	85,01 t	77,97 t	77,27 t	66,75 t	62,71 t
	$R_{jy}^{(t)} / R_{j\theta}$	$3,77 \cdot 10^{-3}$			$9,99 \cdot 10^{-3}$	
	τ_{1y}	$254,97 t$			$137,54 t$	
	T_{1y}	93,84 t	85,79 t	84,99 t	73,28 t	68,77 t

calcul de l'effort tranchant revenant à chaque poteau:

Théorie idem que celle du Bloc 1 : A-Portiques transversaux:

A - A			Pot	1	2	3
Niv	T _j (t)	D _j				
4	28,82	2032,51	a _j K _j	597,766	836,98	597,76
			t _j (t)	8,47	11,88	8,47
3	63,12	2037,94	a _j K _j	599,61	838,72	599,61
			t _j (t)	18,57	25,98	18,57
2	85,01	2299,11	a _j K _j	600,58	1097,95	600,58
			t _j (t)	22,2	40,61	22,2
1	93,84	5079,32	a _j K _j	1405,98	2267,35	1405,98
			t _j (t)	25,97	41,9	25,97

D - D			Pot	1	2	3
Niv	T _j (t)	D _j				
4	22,7	2032,51	a _j K _j	597,76	836,98	597,76
			t _j (t)	6,67	9,35	6,67
3	49,61	2037,94	a _j K _j	599,61	838,72	599,61
			t _j (t)	14,59	20,42	14,59
2	66,75	2299,11	a _j K _j	600,58	1097,95	600,58
			t _j (t)	17,44	31,88	17,44
1	73,28	5079,32	a _j K _j	1405,98	2267,35	1405,98
			t _j (t)	20,28	32,71	20,28

Portiques longitudinaux:

2 - 2'		central	Pot	A	B	C	D	E		
Niv	Tj(t)	Dj							Dj	Tj(t)
4	24,66	2441,06	aj Kj	710,87	1019,32	710,87	710,87	710,87	1421,74	13,54
			tj(t)	7,18	10,3	7,18	6,77	6,77		
3	54	2441,06	aj Kj	710,87	1092,32	710,87	710,87	710,87	1421,74	29,59
			tj(t)	15,73	22,54	15,73	14,79	14,79		
2	84,66	3156,31	aj Kj	877,6	1401,11	877,6	877,6	877,6	1755,2	44,95
			tj(t)	23,54	37,58	23,54	22,47	22,47		
1	100,74	6881,81	aj Kj	2123,32	2653,17	2123,32	2123,32	2123,32	4246,64	54,35
			tj(t)	31,08	38,58	31,08	27,17	27,17		

3 - 3' (Rive)			Pot	A	B	C	D	E		
Niv	Tj(t)	Dj							Dj	Tj(t)
4	29,85	2828,08	aj Kj	806	1216,08	806	806	806	1612	16,11
			tj(t)	8,5	12,84	8,5	8,05	8,05		
3	65,37	2828,08	aj Kj	806	1216,08	806	806	806	1612	35,19
			tj(t)	18,63	28,11	18,63	17,59	17,59		
2	81,24	2828,08	aj Kj	806	1216,08	806	806	806	1612	44,38
			tj(t)	23,15	34,94	23,15	22,19	22,19		
1	85,04	5472,56	aj Kj	1680,87	2110,82	1680,87	1680,87	1680,87	3361,74	46,11
			tj(t)	26,19	32,8	26,19	23,05	23,05		

calcul des Moments dans les poteaux:

Portique A.A.

Niv	File	\bar{K}	Y_0	Y_1	Y_2	Y_3	Y	$y h = z$	$h - z$	$t_x(t)$	M_{sup}	M_{inf}
4	1-3	0.698	0.35	/	/	/	0,35	1,701	3.159	8.47	26.75	14.41
	2	1.856	0.44	/	/	/	0.44	2.153	2.707	11.88	32.16	25.57
3	1-3	0.701	0.4	/	/	/	0.4	1.944	2.916	18.57	54.15	36.1
	2	1.863	0.45	/	/	/	0.45	2.187	2.673	25.98	69.44	56.82
2	1-3	0.708	0.5	/	/	/	0.5	2.43	2.43	22.2	53.95	53.95
	2	0.9645	0.5	/	/	/	0.5	2.43	2.43	40.61	98.68	98.68
1	1-3	0.448	0.75	/	/	/	0.75	2.43	0.81	25.97	21.04	63.11
	2	0.610	0.7	/	/	/	0.7	2.27	0.972	41.9	40.73	95.03

Portique D.D

Niv	File	\bar{K}	Y_0	Y_1	Y_2	Y_3	Y	$z=yh$	$h-z$	$t_x(t)$	M_{sup}	M_{inf}
4	1-3	0.698	0.35	/	/	/	0.35	1.701	3.159	6.67	21.09	11.35
	2	1.856	0.44	/	/	/	0.44	2.153	2.707	9.35	25.3	20.13
3	1-3	0.701	0.4	/	/	/	0.4	1.944	2.916	14.59	42.56	28.37
	2	1.863	0.45	/	/	/	0.45	2.187	2.673	20.42	54.57	44.65
2	1-3	0.708	0.5	/	/	/	0.5	2.43	2.43	17.44	42.37	42.37
	2	0.9645	0.5	/	/	/	0.5	2.43	2.43	31.88	77.46	77.46
1	1-3	0.448	0.75	/	/	/	0.75	2.43	0.81	20.28	16.43	49.29
	2	0.610	0.7	/	/	/	0.7	2.27	0.972	32.71	31.79	74.19

Portique longitudinal central (2.2'):

Niv	File	\bar{K}	y_0	Y	$Z=yh$	$h-z$	$T_y(t)$	$t_y(t)$	M_{oup}	M_{inf}	M_{oup}	M_{inf}	$t_y(t)$	$T_y(t)$	File
4	A-C	1,3048	0.415	0.415	2.017	2.843	24,66	7,18	20.41	11.48	19.25	13.66	6.77	13.54	D
	B	2,6096	0.45	0.45	2.187	2.673	=	10,3	27.54	22,53	19.25	13.66	6.77	=	E
3	A-C	1.3048	0.45	0.45	2.187	2.673	54	15,73	42.05	34.4	39.55	32.36	14.79	29.59	D
	B	2.6096	0.48	0.48	2.333	2.527	=	22.54	56.96	52.59	39.55	32.36	14.79	=	E
2	A-C	0.6767	0.5	0.5	2.43	2.43	84.66	23.54	57,2	57.2	54.62	54.62	22.47	44.95	D
	B	1.3535	0.5	0.5	2.43	2.43	=	37.58	91.32	91.32	54.62	54.62	22.47	=	E
1	A.C	0.4209	0.78	0.78	2.524	0.716	100.74	31.08	22.25	78.46	19.46	68.59	27.17	54.35	D
	B	0.8418	0.68	0.68	2.199	1.041	=	38.58	40.16	84.84	19.46	68.59	27.17	=	E

Portique longitudinal de rive (3.3'):

Niv	File	\bar{K}	y_0	Y	$Z=yh$	$h-z$	$T_y(t)$	$t_y(t)$	M_{oup}	M_{inf}	M_{oup}	M_{inf}	$t_y(t)$	$T_y(t)$	File
4	A-C	0.9642	0.382	0.382	1.856	3.004	29,85	8,51	25,56	15,79	24,2	14.95	8.05	16,11	D
	B	1.9283	0.446	0.446	2.167	2.693	=	12,84	34,57	27,82	24,2	14.95	8.05	=	E
3	A-C	0.9642	0.45	0.45	2.187	2.673	65,37	18,63	49,8	40,75	47,03	38,48	17.59	35,19	D
	B	1.9283	0.45	0.45	2.187	2.673	=	28,11	75,14	61,48	47,03	38,48	17.59	=	E
2	A-C	0.9642	0.5	0.5	2.43	2.43	81,24	23,15	56,25	56,25	53,93	53.93	22.19	44,38	D
	B	1.9283	0.5	0.5	2.43	2.43	=	34,94	84,9	84,9	53,93	53.93	22.19	=	E
1	A.C	0.6017	0.7	0.7	2.268	0.972	85,04	26,12	25,39	59,24	22,41	52.29	23.05	46,11	D
	B	1.2035	0.63	0.63	2.038	1.202	=	32,8	39,43	66,85	22.41	52.29	23.05	=	E

101

Moments et efforts tranchants dans les poutres:

Portique transversal D-D:

Niv	Nœud	M_a	M_b	M_1	M_2	M_w	M_e	M_t	$T(t)$
4	1	0	21,09	0	21,09	21,09	12,65	+4,22	-5,35
	2	0	25,3	12,65	12,65				
	3	0	21,09	21,09	0	12,65	21,09	-4,22	-5,35
3	4	11,35	42,56	0	53,91	53,91	37,35	+8,3	-14,49
	5	20,13	54,57	37,35	37,35				
	6	11,35	42,56	53,91	0	37,35	53,91	-8,3	-14,49
2	7	28,37	42,37	0	70,74	70,74	61,05	+4,85	-20,92
	8	44,65	77,46	61,05	61,05				
	9	28,37	42,37	70,74	0	61,05	70,74	-4,85	-20,92
1	10	42,37	16,43	0	58,8	58,8	54,63	+2,08	-18
	11	77,46	31,79	54,63	54,63				
	12	42,37	16,43	58,8	0	54,63	58,8	-2,08	-18

Portique transversal A-A :

Niv	Nœud	M_a	M_b	M_1	M_2	M_w	M_e	M_t	$T(t)$
4	1	0	26,75	0	26,75	26,75	16,08	+5,34	-6,18
	2	0	32,16	16,08	16,08				
	3	0	26,75	26,75	0	16,08	26,75	-5,34	-6,18
3	4	14,41	54,15	0	68,56	68,56	47,5	+10,53	-18,42
	5	25,57	69,44	47,5	47,5				
	6	14,41	54,15	68,56	0	47,5	68,56	-10,53	-18,42
2	7	36,1	53,95	0	90,05	90,05	77,75	+6,15	-26,64
	8	56,82	98,68	77,75	77,75				
	9	36,1	53,95	90,05	0	77,75	90,05	-6,15	-26,64
1	10	53,95	21,04	0	74,99	74,99	69,7	+2,65	-22,96
	11	98,68	40,73	69,7	69,7				
	12	53,95	21,04	74,99	0	69,7	74,99	-2,65	-22,96

NB: les Efforts tranchants dans les poutres, ça représente les efforts mortsiaux :

Portique longitudinal central : Moments et efforts tranchants dans les poutres :

Niv	Noeud	M _a	M _b	M ₁	M ₂	M _w	M _e	M _t	T	T	M _t	M _e	M _w	M ₂	M ₁	M _b	M _a	Noeud
4	1	0	20,41	0	20,41	20,41	13,77	+3,32	-3,73	-4,2	0	19,25	19,25	19,25	0	19,25	0	1'
	2	0	27,54	13,77	13,77									0	19,25	19,25	0	3'
	3	0	20,41	20,41	0	13,77	20,41	-3,32	-3,73									
3	4	14,48	42,05	0	56,53	56,53	39,75	+8,39	-10,52	-11,63	0	53,21	53,21	53,21	0	39,55	13,66	4'
	5	22,53	56,96	39,75	39,75		39,75	56,53	-8,39					0	53,21	39,55	13,66	6'
	6	14,48	42,05	56,53	0													
2	7	34,4	57,2	0	91,6	91,6	71,95	+9,83	-17,88	-19	0	86,98	86,98	86,98	0	54,62	32,36	7'
	8	52,59	94,32	71,95	71,95		71,95	91,6	-9,83					-	86,98	54,62	32,36	9'
	9	34,4	57,2	91,6	0									0	86,98	54,62	32,36	
1	10	57,2	22,25	0	79,45	79,45	65,74	-6,85	-15,87	-16,19	0	74,08	74,08	74,08	0	19,46	54,62	10'
	11	91,32	40,16	65,74	65,74									0	74,08	19,46	54,62	12'
	12	57,2	22,25	79,45	0	65,74	79,45	-6,85	-15,87									

Efforts Normaux dans les poteaux :

Niv	4	3	2	1
	-3,73 ①	-10,52 ④	-17,88 ⑦	-15,87 ⑩
	0 ②	0 ⑤	0 ⑧	0 ⑪
	+3,73 ③	+10,52 ⑥	+17,88 ⑨	+15,87 ⑫

Niv	4	3	2	1
	-4,2 ①	-11,63 ④	-19 ⑦	-16,19 ⑩
	+4,2 ③	+11,63 ⑥	+19 ⑨	+16,19 ⑫

Portique longitudinal de Rive : Moments et efforts tranchants dans les poutres.

Niv	Nœud	M _a	M _b	M ₁	M ₂	M _w	M _e	M _t	T(t)	T(f)	M _t	M _e	M _w	M ₂	M ₁	M _b	M _a	Nœud
4	1	0	25,56	0	25,56	25,56	17,28	+4,14	-4,68	-5,29	0	24,2	24,2	24,2	0	24,2	0	1'
	2	0	34,57	17,28	17,28	0	24,2	24,2	0					3'				
	3	0	25,56	25,56	0	17,28	25,56	-4,14	-4,68									
3	4	15,79	49,8	0	65,59	65,59	51,48	7,05	-12,79	-13,55	0	61,98	61,98	61,98	0	47,03	14,95	4'
	5	27,82	75,14	51,48	51,48	0	61,98	47,03	14,95					6'				
	6	15,79	49,8	65,59	0	51,48	65,59	-7,05	-12,79									
2	7	40,75	56,25	0	97	97	73,19	+11,9	-18,6	-20,19	0	92,41	92,41	92,41	0	53,93	38,48	7'
	8	61,48	84,9	73,19	73,19	0	92,41	53,93	38,48					9'				
	9	40,75	56,25	97	0	73,19	97	-11,9	-18,6									
1	10	56,25	25,39	0	81,64	81,64	62,16	+9,74	-15,72	-16,68	0	76,34	76,34	76,34	0	22,41	53,93	10'
	11	84,9	39,43	62,16	62,16	0	76,34	22,41	53,93					12'				
	12	56,25	25,39	81,64	0	62,16	81,64	-9,74	-15,72									

EFFORTS Normaux dans les poteaux:

Niv	4	3	2	1
Nœud	-4,68 ①	-12,79 ④	-18,6 ⑦	-15,72 ⑩
	0 ②	0 ⑤	0 ⑧	0 ⑪
	+ 4,68 ③	+ 12,79 ⑥	+ 18,6 ⑨	+ 15,72 ⑫

Niv	4	3	2	1
0	-5,29 ①	-13,55 ④	-20,19 ⑦	-16,68 ⑩
Nœud	+ 5,29 ③	+ 13,55 ⑥	+ 20,19 ⑨	+ 16,68 ⑫

calcul des déplacements de niveau : déformations sens transversal :

NIV	$F_j(c)$	$R_j(t/m)$	$\delta_j \text{ cm}$	$\delta_j(c)$
4	78,88	14517,45	1,08	6,86
3	172,72	14556,18	2,36	5,78
2	231,80	16256,06	2,86	3,42
1	254,97	89617,74	0,56	0,56

BLOC A1

NIV	$F_j(c)$	$R_j(t/m)$	δ_j	$\delta_j(c)$
4	42,82	9678,3	0,88	5,58
3	93,57	9704,12	1,92	4,17
2	125,43	10824,04	2,32	2,78
1	137,54	59745,16	0,46	0,46

BLOC A2

sens longitudinal :

NIV	$F_j(c)$	$R_j(t/m)$	$\delta_j(\text{cm})$	$\delta_j(c)$
4	78,88	20170,19	0,78	5,066
3	172,72	20170,19	1,712	4,286
2	231,8	21808,96	2,126	2,574
1	254,97	113604,75	0,448	0,448

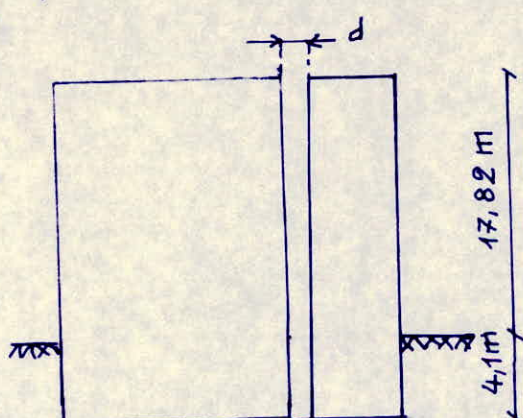
BLOC A1

NIV	$F_j(c)$	$R_j(t/m)$	$\delta_j(\text{cm})$	$\delta_j(c)$
4	42,82	11574,42	0,74	4,79
3	93,57	11574,42	1,62	4,05
2	125,43	12321,64	2,036	2,43
1	137,54	69910,12	0,394	0,394

BLOC A2

Dimensionnement du joint de dilatation :

largeur du joint : d'après le RPA 81, le joint entre 2 blocs, aura une largeur supérieure à $H_1/300$ où H_1 représente la hauteur du Bloc le moins élevé



$$H_1 = 1782 \text{ cm}$$

$$d = 5,94 \text{ cm} \text{ (RPA).}$$

le calcul statique donne
 $d = 5,06 \text{ cm.}$

Conclusion:

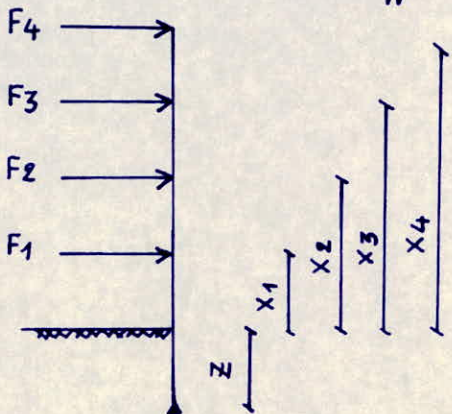
On prend $d = 7 \text{ cm}$ (proposé par l'architecte)

le joint de dilatation est une coupure destinée à parer à l'action normale des variations thermiques, du retrait, de durcissement ou de l'expansion du Béton, le remplissage se fait, par des plaques de liège, mastic d'asphalte, matière plastique.

vérification au renversement :

chaque structure doit être calculé afin de résister aux effets de renversement qui peuvent être causés par les efforts sismiques.

Moment de renversement = Moment extérieur en console + effort tranchant à la base $\times z$.



Moment en console :

$$M = \sum_{i=1}^4 F_i x_i$$

Moment dû à l'effort tranchant à la base :

$$M_1 = z \sum_{i=1}^4 F_i$$

Moment résistant \$M' = b \sum w_i\$ avec \$b = L/2\$.

sens longitudinal

$$L = 27,45 \text{ m} \Rightarrow b = 13,72 \text{ m} \Rightarrow M' = 13,72 \cdot 2243 = 30774 \text{ tm.}$$

$$M_1 = z \sum F_i = 4,5 \cdot 392,51 = 1766,3 \text{ tm.}$$

$$M = \sum F_i x_i = 121,7 \cdot 17,82 + 144,59 \cdot 12,96 + 90,84 \cdot 8,1 + 35,28 \cdot 3,24 \\ = 4892,7 \text{ tm.}$$

Moment de renversement : \$M_1 + M = 6659 \text{ tm.}\$

$$\eta = \frac{\text{Moment résistant}}{\text{Moment de renversement}} = 4,62 > 1,5.$$

sens transversal :

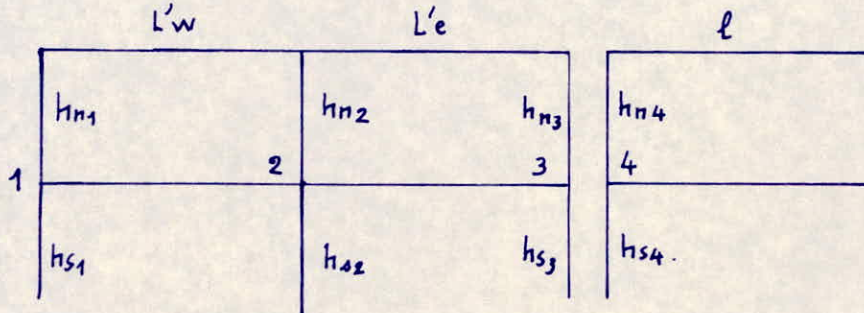
$$L = 12,6 \text{ m} \Rightarrow b = L/2 = 6,3 \Rightarrow M' = 6,3 \cdot 2243 = 14131 \text{ tm.}$$

$$M_1 = 4,5 \cdot 392,51 = 1766,3 \text{ tm} \quad M = \sum F_i x_i = 4892,7 \text{ tm}$$

$$\eta = 2,12 > 1,5.$$

donc la structure est stable dans les 2 sens.

EFFORTS dans les portiques engendrés par les Forces verticales:
 le calcul des portiques sous les charges verticales sera fait
 par la Méthode de Caquot (Exposé en annexe CCBA 68)
 Application à notre cas (travées de rive sans consôle).



Nœud 1 :

$$\begin{array}{l|l} K_{w_1} = 0 & M_{e_1} = M'_e_1 \left(1 - \frac{K_e}{D_1} \right) \\ M_{W_1} = 0 & M_{s_1} = M'_e_1 \frac{K_{s_1}}{D_1} \\ L'w_1 = 0 & M_{n_1} = M'_e_1 \cdot \frac{K_{n_1}}{D_1} \end{array}$$

$$\text{avec } M'_e_1 = \left(\frac{q_e l'^2}{8,5} \right)_{\text{Nœud } 1} + (l'^e_1 \sum K_e Q_e)_{\text{Nœud } 1}$$

$$K_{s_1} = \frac{I_{s_1}}{h'^{s_1}}, \quad K_{n_1} = \frac{I_{n_1}}{h'^{n_1}}, \quad K_e_1 = \frac{I_{e_1}}{l'^{e_1}} \quad D_1 = K_{s_1} + K_{n_1} + K_e_1$$

$$l'^{e_1} = 0,8 l_{e_1}; \quad h'^{s_1} = 0,8 h_{s_1}; \quad h'^{n_1} = 0,9 h_{n_1} \quad (\text{Avant dernier plancher})$$

$$h'^{n_1} = 0,8 h_{n_1} \quad (\text{dans les autres cas}).$$

Nœud 3 :

$$\begin{array}{l|l} K_{e_3} = 0 & M_{W_3} = M'_w_3 \left(1 - \frac{K_w_3}{D_3} \right) \\ l'e_3 = 0 & M_{s_3} = M'_w_3 + K_{s_3} / D_3 \\ M_{e_3} = 0 & M_{n_3} = M'_w_3 \cdot K_{n_3} / D_3 \end{array}$$

$$\text{avec } M'_w_3 = \left(\frac{q_w l'^2}{8,5} \right)_{\text{Nœud } 3} + (l'w \sum K_w Q_w)_{\text{Nœud } 3}.$$

$$K_{s_3} = \frac{I_{s_3}}{h'^{s_3}}; \quad K_{n_3} = \frac{I_{n_3}}{h'^{n_3}}; \quad K_w_3 = \frac{I_{w_3}}{l'w_3} \quad D_3 = K_{s_3} + K_{n_3} + K_w_3.$$

$$l'w = 0,8 l_{w_3}; \quad h'^{s_3} = 0,8 h_{s_3}; \quad h'^{n_3} = 0,9 h_{n_3} \quad (\text{Avant dernier plancher}).$$

$$h'^{n_3} = 0,8 h_{n_3} \quad (\text{dans les autres cas}).$$

Nœud 2:

$$\cdot l'w_2 = \chi_1 l_{w2} \text{ avec } \begin{cases} \chi_1 = 0,8 \text{ si } K_{s1} + K_{n1} > 1,5 K_{e1} \\ \chi_1 = 1 - \frac{K_{s1} + K_{n1}}{7,5 K_{e1}} \text{ si } K_{s1} + K_{n1} < 1,5 K_{e1} \end{cases}$$

$K_{s1}; K_{n1}; K_{e1}$ relatif au nœud 1.

$$\cdot l'e_2 = \chi_3 l_{e2} \text{ avec } \begin{cases} \chi_3 = 0,8 \text{ si } K_{s3} + K_{n3} > 1,5 K_{w3} \\ \chi_3 = 1 - \frac{K_{s3} + K_{n3}}{7,5 K_{w3}} \text{ si } K_{s3} + K_{n3} < 1,5 K_{w3} \end{cases}$$

$K_{s3}; K_{n3}; K_{w3}$ relatif au Nœud 3.

Moments:

$$M_{w2} = M'_{e2} \frac{K_{w2}}{D_2} + M'_{w2} \left(1 - \frac{K_{w2}}{D_2}\right).$$

$$M_{e2} = M'_{e2} \left(1 - \frac{K_{e2}}{D_2}\right) + M'_{w2} \cdot \frac{K_{e2}}{D_2}$$

$$M_{s2} = \frac{K_{s2}}{D_2} (M'_{e2} - M'_{w2}).$$

avec :

$$K_{w2} = \frac{I_{w2}}{l'w_2}; K_{e2} = \frac{I_{e2}}{l'e_2}, K_{s2} = \frac{I_{s2}}{h's_2} \quad K_{n2} = \frac{I_{n2}}{h'n_2}.$$

$$D_2 = K_{w2} + K_{e2} + K_{s2} + K_{n2}.$$

$$M'_{w2} = \left(\frac{q_w l'w}{8,5}\right)_{\text{Nœud 2}} + \left(l'w \sum k_w Q_w\right)_{\text{Nœud 2}}.$$

Cas d'une seule travée:

soit q : la charge uniformément répartie

l : portée de la poutre entre nos intérieurs des appuis.

I son moment d'inertie supposé constant.

I_s, I_n : Moments d'inertie des poteaux respectivement inférieur et supérieur.

Q : charge concentrée appliquée à la distance "a" de l'appui sur lequel on calcule le Moment.

$$K = I/l \quad K_s = \frac{I_s}{h's} \quad K_n = \frac{I_n}{h'n}.$$

$h'n = 0,9 h_n$: avant dernier plancher.

$h'n = 0,8 h_n$: dans les autres cas.

$h's = 0,8 h_s$ dans tous les cas.

Moments:

$$M' = \frac{q l^2}{8,5} + l \sum k Q$$

les Moments dans les sections dangereuses sont en valeur absolue :

. Au nu intérieur de l'appui ; dans la poutre :

$$M = M' \frac{K_s + K_n}{K + 1,56 (K_s + K_n)}$$

. Au nu inférieur de la poutre , dans le poteau inférieur :

$$M_s = M' \frac{K_s}{K + 1,56 (K_s + K_n)}$$

. Au nu supérieur du plancher , dans le poteau supérieur :

$$M_n = M' \frac{K_n}{K + 1,56 (K_s + K_n)} \quad \text{avec } D_1 = K + 1,56 (K_s + K_n).$$

EFFORTS TRANCHANTS :

$$T_e = T_w = \frac{q l}{2} \quad \text{dans le cas d'une seule travée :}$$

$$T_w = \frac{q l}{2} + \frac{M_e - M_w}{l} \quad \text{dans le cas de plusieurs travées .}$$

$$T_e = -\frac{q l}{2} + \frac{M_w - M_e}{l}$$

Caractéristiques géométriques : Portique de rive (1 seule travée)

Niv	Nœud	l	h_n	h_s	I	I_n	I_s	h'_n	h'_s	K	K_n	K_s	D_1
4	1 - 2	8,45		3,96	2,13		1,07		3,17	0,252		0,3377	0,7788
3	3 - 4	8,45	3,96	3,96	2,13	1,07	1,07	3,564	3,17	0,252	0,3002	0,3377	1,247
2	5 - 6	8,45	3,96	3,96	2,13	1,07	1,07	3,168	3,17	0,252	0,3377	0,3377	1,3056
1	7 - 8	8,45	3,96	2,34	2,13	1,07	1,07	3,168	1,872	0,252	0,3377	0,572	1,6711
0	9 - 10	8,45	2,34	3,1	2,91	1,07	1,07	1,872	2,48	0,344	0,572	0,4314	1,9097

Caractéristiques géométriques : Portique central (1 seule travée)

Niv	Nœud	l	h_n	h_s	I	I_n	I_s	h'_n	h'_s	K	K_n	K_s	D_1
4	1 - 2	8,6		3,96	2,13		0,763		3,17	0,2476		0,241	0,624
3	3 - 4	8,6	3,96	3,96	2,13	0,763	0,763	3,564	3,17	0,2476	0,214	0,241	0,9574
2	5 - 6	8,5	3,96	3,96	2,13	0,763	1,487	3,168	3,168	0,2506	0,241	0,469	1,3582
1	7 - 8	8,5	3,96	2,34	2,13	1,487	1,487	3,168	1,872	0,2506	0,469	0,794	2,221
0	9 - 10	8,5	2,34	3,1	2,91	1,487	1,487	1,872	2,48	0,3423	0,794	0,599	2,515

Portique de Rive (1 seule travée)

Moments et efforts tranchants dans les poutres;
Moments dans
les poteaux.

Niv	Nœud	$q(t/m)$	$M'(tm)$	$M(tm)$	$M_n(tm)$	$M_s(tm)$	$T_w(t)$	$T_e(t)$
4	1 - 2	2,7	22,68	9,83		9,43	11,41	11,41
3	3 - 4	4,43	37,21	19,03	8,96	10,07	18,71	18,71
2	5 - 6	4,43	37,21	19,25	9,62	9,62	18,71	18,71
1	7 - 8	4,43	37,21	20,25	7,52	12,73	18,71	18,71
0	9 - 10	3,84	32,26	16,95	9,66	7,29	16,25	16,25

Sous G

Portique de Rive (1 seule travée)

Niv	Nœud	$q(t/m)$	$M'(tm)$	$M(tm)$	$M_n(tm)$	$M_s(tm)$	$T_w(t)$	$T_e(t)$
4	1 - 2	0,3	2,52	1,09		1,09	1,26	1,26
3	3 - 4	1,76	14,78	7,56	3,56	4,00	7,436	7,436
2	5 - 6	1,76	14,78	7,65	3,82	3,82	7,436	7,436
1	7 - 8	1,76	14,78	8,04	2,98	5,06	7,436	7,436
0	9 - 10	1,74	14,61	7,67	4,37	3,3	7,35	7,35

Sous P

Portique central (1 seule travée): Moments et Efforts tranchants dans les poutres, Moments dans les poteaux.

Niv	Nœud	q (t/m)	M' (tm)	M (tm)	M_n (tm)	M_s (tm)	T_w (t)	T_e (t)
4	1 - 2	4,3	37,41	14,45		14,45	18,49	18,49
3	3 - 4	3,81	33,15	15,75	7,41	8,34	16,38	16,38
2	5 - 6	3,81	32,385	16,92	5,74	11,18	16,19	16,19
1	7 - 8	3,81	32,385	18,42	6,84	11,58	16,19	16,19
0	9 - 10	3,93	33,405	18,50	10,54	7,95	16,7	16,7

sous G

Niv	Nœud	q (t/m)	M' (tm)	M (tm)	M_n (tm)	M_s (tm)	T_w (t)	T_e (t)
4	1 - 2	0,62	5,39	2,08		2,08	2,67	2,67
3	3 - 4	3,72	32,37	15,38	7,23	8,15	15,99	15,99
2	5 - 6	3,72	31,62	16,53	5,61	10,92	15,81	15,81
1	7 - 8	3,72	31,62	17,98	6,67	11,31	15,81	15,81
0	9 - 10	3,69	31,36	17,37	9,9	7,47	15,68	15,68

sous P

EFForts Normaux dans les poteaux

A. Portique de rive (1 seule travée):

		Sous G					Sous P				
Niv	Pot	$T_w(t)$	$T_e(t)$	$N(t)$	$N_{cumulé}$	$T_w(t)$	$T_e(t)$	$N(t)$	$N_{cumulé}$		
4	1		11,41	11,41	11,41			1,26	1,26	1,26	
	2	11,41		11,41	=	1,26		1,26	=		
3	1		18,71	18,71	30,12			7,436	7,436	8,7	
	2	18,71		18,71	=	7,436		7,436	=		
2	1		18,71	18,71	48,83			7,436	7,436	16,14	
	2	18,71		18,71	=	7,436		7,436	=		
1	1		18,71	18,71	67,54			7,436	7,436	23,57	
	2	18,71		18,71	=	7,436		7,436	=		
0	1		16,23	16,23	83,77			7,35	7,35	30,93	
	2	16,23		16,23	=	7,35		7,35	=		

B. Portique central (1 seule travée):

		Sous G					Sous P				
Niv	Pot	$T_w(t)$	$T_e(t)$	$N(t)$	N_{cum}	$T_w(t)$	$T_e(t)$	$N(t)$	N_{cum}		
4	1		18,49	18,49	18,49			2,67	2,67	2,67	
	2	18,49		=	=	2,67		=	=		
3	1		16,38	16,38	34,87			15,99	15,99	18,66	
	2	16,38		=	=	15,99		=	=		
2	1		16,19	16,19	51,06			15,81	15,81	34,47	
	2	16,19		=	=	15,81		=	=		
1	1		16,19	16,19	67,25			15,81	15,81	50,28	
	2	16,19		=	=	15,81		=	=		
0	1		16,7	16,7	83,95			15,68	15,68	65,96	
	2	16,7		=	=	15,68		=	=		

caractéristiques géométriques : Portique longitudinal de Rive :

Niv	Nœud	l_w	l_e	h_n	h_s	I_w	I_e	I_n	I_o	l'_w	l'_e	h'_n	h'_o	K_w	K_e	K_n	K_o	D
4	1		8,45		3,96		2,13		1,07		6,76		3,168		0,315			0,3377 0,6527
	2	8,45	8,45		3,96	2,13	2,13		1,07	7,24	7,24		3,168	0,294	0,294			0,3377 0,9257
	3	8,45			3,96	2,13			1,07	6,76		3,168	0,315				0,3377 0,6527	
3	4		8,45	3,96	3,96		2,13	1,07	1,07		6,76	3,564	3,168		0,315	0,3002	0,3377	0,9529
	5	8,45	8,45	3,96	3,96	2,13	2,13	1,07	1,07	6,76	6,76	3,564	3,168	0,315	0,315	0,3002	0,3377	1,2679
	6	8,45		3,96	3,96	2,13			1,07	1,07	6,76		3,564	3,168	0,315		0,3002	0,3377 0,9529
2	7		8,45	3,96	3,96		2,13	1,07	1,07		6,76	3,168	3,168		0,315	0,3377	0,3377	0,9905
	8	8,45	8,45	3,96	3,96	2,13	2,13	1,07	1,07	6,76	6,76	3,168	3,168	0,315	0,315	0,3377	0,3377	1,3054
	9	8,45		3,96	3,96	2,13			1,07	1,07	6,76		3,168	3,168	0,315		0,3377	0,3377 0,9905
1	10		8,45	3,96	2,34		2,13	1,07	1,07		6,76	3,168	1,872		0,315	0,3377	0,572	1,2247
	11	8,45	8,45	3,96	2,34	2,13	2,13	1,07	1,07	6,76	6,76	3,168	1,872	0,315	0,315	0,3377	0,572	1,5397
	12	8,45		3,96	2,34	2,13			1,07	1,07	6,76		3,168	1,872	0,315		0,3377	0,572
0	13		8,45	2,34	3,1		2,91	1,07	1,07		6,76	1,872	2,48		0,4305	0,572	0,4314	1,4339
	14	8,45	8,45	2,34	3,1	2,91	2,91	1,07	1,07	6,76	6,76	1,872	2,48	0,430	0,430	0,572	0,4314	1,8644
	15	8,45		2,34	3,1	2,91			1,07	1,07	6,76		1,872	2,48	0,430		0,572	0,4314

Portique longitudinal de Rive : Moments aux Nœuds

niv	nœud	qw	qe	M'w	M'e	Mw	Me	Mn	Ms
4	1		2,7		14,51		7,5		7,5
	2	2,7	2,7	16,65	16,65	16,65	16,65		0
	3	2,7		14,51		7,5			7,5
3	4		4,43		23,81		15,94	7,5	8,44
	5	4,43	4,43	23,81	23,81	23,81	23,81	0	0
	6	4,43		23,81		15,94		7,5	8,44
2	7		4,43		23,81		16,24	8,12	8,12
	8	4,43	4,43	23,81	23,81	23,81	23,81	0	0
	9	4,43		23,81		16,24		8,12	8,12
1	10		4,43		23,81		17,68	6,56	11,12
	11	4,43	4,43	23,81	23,81	23,81	23,81	0	0
	12	4,43		23,81		17,68		6,56	11,12
0	13		3,84		20,64		14,44	8,23	6,21
	14	3,84	3,84	20,64	20,64	20,64	20,64	0	0
	15	3,84		20,64		14,44		8,23	6,21

sous G

niv	nœud	qw	qe	M'w	M'e	Mw	Me	Mn	Ms
4	1		0,3		1,61		0,83		0,83
	2	0,3	0,3	1,85	1,85	1,85	1,85		0
	3	0,3		1,61		0,83			0,83
3	4		1,76		9,46		6,33	2,98	3,35
	5	1,76	1,76	9,46	9,46	9,46	9,46	0	0
	6	1,76		9,46		6,33		2,98	3,35
2	7		1,76		9,46		6,45	3,22	3,22
	8	1,76	1,76	9,46	9,46	9,46	9,46	0	0
	9	1,76		9,46		6,45		3,22	3,22
1	10		1,76		9,46		7,02	2,61	4,41
	11	1,76	1,76	9,46	9,46	9,46	9,46	0	0
	12	1,76		9,46		7,02		2,61	4,41
0	13		1,74		9,35		6,54	3,72	2,81
	14	1,74	1,74	9,35	9,35	9,35	9,35	0	0
	15	1,74		9,35		6,54		3,72	2,81

sous P

Portique longitudinal de Rive : Moments et efforts tranchants dans les poutres:

Niv	trav	ℓ	$q(t/m)$	M_w	M_e	T_w	T_e
4	1-2	8,45	2,7	7,51	16,65	10,32	12,49
	2-3	8,45	2,7	16,65	7,51	12,49	10,32
3	4-5	8,45	4,43	15,94	23,81	17,78	19,65
	5-6	8,45	4,43	23,81	15,94	19,65	17,78
2	7-8	8,45	4,43	16,24	23,81	17,82	19,61
	8-9	8,45	4,43	23,81	16,24	19,61	17,82
1	10-11	8,45	4,43	17,68	23,81	17,99	19,44
	11-12	8,45	4,43	23,81	17,68	19,44	17,99
0	13-14	8,45	3,84	14,44	20,64	15,49	16,96
	14-15	8,45	3,84	20,64	14,44	16,96	15,49

sous G

Niv	trav	ℓ	$q(t/m)$	M_w	M_e	T_w	T_e
4	1-2	8,45	0,3	0,83	1,85	1,16	1,14
	2-3	8,45	0,3	1,85	0,83	1,14	1,16
3	4-5	8,45	1,76	6,33	9,46	7,06	7,81
	5-6	8,45	1,76	9,46	6,33	7,81	7,06
2	7-8	8,45	1,76	6,45	9,46	7,08	7,79
	8-9	8,45	1,76	9,46	6,45	7,79	7,08
1	10-11	8,45	1,76	7,02	9,46	7,14	7,72
	11-12	8,45	1,76	9,46	7,02	7,72	7,14
0	13-14	8,45	1,74	6,54	9,35	7,02	7,68
	14-15	8,45	1,74	9,35	6,54	7,68	7,02

sous P

EFFORTS Normaux dans les poteaux: Portique longitudinal de Rive

Niv	Pot	Tw	Te	N	Nc
4	1		10,32	10,32	10,32
	2	12,49	12,49	24,98	24,98
	3	10,32		10,32	10,32
3	1		17,78	17,78	28,1
	2	19,65	19,65	39,3	64,28
	3	17,78		17,78	28,1
2	1		17,82	17,82	45,92
	2	19,61	19,61	39,22	103,5
	3	17,82		17,82	45,92
1	1		17,99	17,99	63,91
	2	19,44	19,44	38,88	142,38
	3	17,99		17,99	63,91
0	1		15,49	15,49	79,4
	2	16,96	16,96	33,92	176,3
	3	15,49		15,49	79,4

sous G

Niv	Pot	Tw	Te	N	Nc
4	1		1,16	1,16	1,16
	2	1,4	1,4	2,8	2,8
	3	1,16		1,16	1,16
3	1		7,06	7,06	8,22
	2	7,81	7,81	15,62	18,42
	3	7,06		7,06	8,22
2	1		7,08	7,08	15,3
	2	7,79	7,79	15,58	34
	3	7,08		7,08	15,3
1	1		7,14	7,14	22,44
	2	7,72	7,72	15,44	49,44
	3	7,14		7,14	22,44
0	1		7,02	7,02	29,46
	2	7,68	7,68	15,36	64,8
	3	7,02		7,02	29,46

sous P

caractéristiques géométriques : Portique longitudinal central :

Niv	Nœud	l_w	l_e	h_n	h_o	I_w	I_e	I_n	I_o	l'_w	l'_e	h'_n	h'_o	K_w	K_e	K_n	K_o	D
4	1		8,6		3,96		2,13		0,763		6,88		3,168		0,309		0,241	0,55
	2	8,6	8,6		3,96	2,13	2,13		0,763	7,706	7,706		3,168	0,276	0,276		0,241	0,793
	3	8,6			3,96	2,13			0,763	6,88			3,168	0,309			0,241	0,55
3	4		8,6	3,96	3,96		2,13	0,763	0,763		6,88	3,564	3,168		0,309	0,214	0,241	0,764
	5	8,6	8,6	3,96	3,96	2,13	2,13	0,763	0,763	6,91	6,91	3,564	3,168	0,308	0,308	0,214	0,241	1,071
	6	8,6		3,96	3,96	2,13		0,763	0,763	6,88		3,564	3,168	0,309		0,214	0,241	0,764
2	7		8,5	3,96	3,96		2,13	0,763	1,487		6,8	3,168	3,168		0,313	0,241	0,469	1,023
	8	8,5	8,5	3,96	3,96	2,13	2,13	0,763	1,487	6,8	6,8	3,168	3,168	0,313	0,313	0,241	0,469	1,33
	9	8,5		3,96	3,96	2,13		0,763	1,487	6,8		3,168	3,168	0,313		0,241	0,469	1,023
1	10		8,5	3,96	2,34		2,13	1,487	1,487		6,8	3,168	1,872		0,313	0,469	0,794	1,576
	11	8,5	8,5	3,96	2,34	2,13	2,13	1,487	1,487	6,8	6,8	3,168	1,872	0,313	0,313	0,469	0,794	1,889
	12	8,5		3,96	2,34	2,13		1,487	1,487	6,8		3,168	1,872	0,313		0,469	0,794	1,576
0	13		8,5	2,34	3,1		2,91	1,487	1,487		6,8	1,872	2,48		0,428	0,794	0,599	1,821
	14	8,5	8,5	2,34	3,1	2,91	2,91	1,487	1,487	6,8	6,8	1,872	2,48	0,428	0,428	0,794	0,599	2,249
	15	8,5		2,34	3,1	2,91		1,487	1,487	6,8		1,872	2,48	0,428		0,794	0,599	1,821

Portique longitudinal central : Moments aux Nœuds (tm)

Niv	Nœud	qe	qw	M'w	M'e	Mw	Me	Mn	Ms
4	1		4,3		23,94		10,49		10,49
	2	4,3	4,3	30,04	30,04	30,04	30,04		0
	3	4,3		23,94		10,49		10,49	
3	4		3,81		21,22		12,64	5,94	6,69
	5	3,81	3,81	21,4	21,4	21,4	21,4	0	0
	6	3,81		21,22		12,64		5,94	6,69
2	7		3,81		20,73		14,38	4,88	9,5
	8	3,81	3,81	20,73	20,73	20,73	20,73	0	0
	9	3,81		20,73		14,38		4,88	9,5
1	10		3,81		20,73		16,61	6,17	10,44
	11	3,81	3,81	20,73	20,73	20,73	20,73	0	0
	12	3,81		20,73		16,61		6,17	10,44
0	13		3,93		21,38		16,35	9,32	7,03
	14	3,93	3,93	21,38	21,38	21,38	21,38	0	0
	15	3,93		21,38		16,35		9,32	7,03

sous G

Niv	Nœud	qe	qw	M'w	M'e	Mw	Me	Mn	Ms
4	1			0,62		3,45		1,51	
	2	0,62	0,62	4,33	4,33	4,33	4,33		0
	3	0,62		3,45			1,51		1,51
3	4			3,72		20,71		12,33	5,8 6,53
	5	3,72	3,72	20,89	20,89	20,89	20,89	0	0
	6	3,72		20,71			12,33		5,8 6,53
2	7			3,72		20,24		14,05	4,77 9,28
	8	3,72	3,72	20,24	20,24	20,24	20,24	0	0
	9	3,72		20,24			14,05		4,77 9,28
1	10			3,72		20,24		16,22	6,02 10,19
	11	3,72	3,72	20,24	20,24	20,24	20,24	0	0
	12	3,72		20,24			16,22		6,02 10,19
0	13			3,99		20,07		15,35	8,75 6,6
	14	3,99	3,99	20,07	20,07	20,07	20,07	0	0
	15	3,99		20,07			15,35		8,75 6,6

sous P

Portique longitudinal : Moments et efforts tranchants -dans les poutres (central)

Niv	trav	l	q(t/m)	Mw	Me	Tw	Te
4	1-2	8,6	4,3	10,49	30,04	16,21	20,76
	2-3	8,6	4,3	30,04	10,49	20,76	16,21
3	4-5	8,6	3,81	12,64	21,4	15,36	17,4
	5-6	8,6	3,81	21,4	12,64	17,4	15,36
2	7-8	8,5	3,81	14,38	20,73	15,45	16,94
	8-9	8,5	3,81	20,73	14,38	16,94	15,45
1	10-11	8,5	3,81	16,61	20,73	15,7	16,68
	11-12	8,5	3,81	20,73	16,61	16,68	15,7
0	13-14	8,5	3,93	16,35	21,38	16,11	17,29
	14-15	8,5	3,93	21,38	16,35	17,29	16,11

sous G

Niv	trav	l	q(t/m)	Mw	Me	Tw	Te
4	1-2	8,6	0,62	1,51	4,33	2,34	2,99
	2-3	8,6	0,62	4,33	1,51	2,99	2,34
3	4-5	8,6	3,72	12,33	20,89	15	16,99
	5-6	8,6	3,72	20,89	12,33	16,99	15
2	7-8	8,5	3,72	14,05	20,24	15,08	16,54
	8-9	8,5	3,72	20,24	14,05	16,54	15,08
1	10-11	8,5	3,72	16,22	20,24	15,33	16,28
	11-12	8,5	3,72	20,24	16,22	16,28	15,33
0	13-14	8,5	3,69	15,35	20,07	15,13	16,24
	14-15	8,5	3,69	20,07	15,35	16,24	15,13

sous P

EFFORTS Normaux dans les poteaux: Portique longitudinal central

NIV	Pot	T_w	T_e	N	N^c
4	1		16,21	16,21	16,21
	2	20,76	20,76	41,52	41,52
	3	16,21		16,21	16,21
3	1		15,36	15,36	31,57
	2	17,4	17,4	34,8	76,32
	3	15,36		15,36	31,57
2	1		15,45	15,45	47,02
	2	16,94	16,94	33,88	110,2
	3	15,45		15,45	47,02
1	1		15,7	15,7	62,72
	2	16,68	16,68	33,36	143,56
	3	15,7		15,7	62,72
0	1		16,11	16,11	78,83
	2	17,29	17,29	34,58	178,14
	3	16,11		16,11	78,83

sous G

NIV	Pot	T_w	T_e	N	N^c
4	1			2,34	2,34
	2	2,99	2,99	5,98	5,98
	3	2,34		2,34	2,34
3	1			15	17,34
	2	16,99	16,99	33,98	39,96
	3	15		15	17,34
2	1			15,08	15,08
	2	16,54	16,54	33,08	73,04
	3	15,08		15,08	32,42
1	1			15,33	15,33
	2	16,28	16,28	32,56	105,6
	3	15,33		15,33	47,75
0	1			15,13	15,13
	2	16,24	16,24	32,48	138,08
	3	15,13		15,13	62,88

sous P

NIV	Noeud	l_w	l_e	h_n	h_o	I_w	I_e	I_n	I_s	l'_w	l'_e	h'_n	h'_o	K_w	K_e	K_n	K_o	D	
4	1		5,85			4,16		1		1,012		4,68		3,328		0,214		0,304	0,518
	2	5,85	5,85			4,16	1	1		0,77	4,74	4,74		3,328	0,211	0,211		0,231	0,653
	3	5,85				4,16	1			1,012	4,68			3,328	0,214			0,304	0,518
3	4		5,85	4,16	4,16			1	1,012	1,012		4,68	3,744	3,328		0,214	0,27	0,304	0,788
	5	5,85	5,85	4,16	4,16	1	1		0,77	0,77	4,68	4,68	3,744	3,328	0,214	0,214	0,21	0,231	0,869
	6	5,85		4,16	4,16		1		1,012	1,012	4,68		3,744	3,328	0,214		0,27	0,304	0,788
2	7		5,80	4,16	4,16			1	1,012	1,012		4,64	3,328	3,328		0,2155	0,304	0,304	0,8235
	8	5,80	5,80	4,16	4,16	1	1		0,77	1,49	4,64	4,64	3,328	3,328	0,2155	0,2155	0,231	0,4477	1,1097
	9	5,80		4,16	4,16	1			1,012	1,012	4,64		3,328	3,328	0,2155		0,304	0,304	0,8235
1	10		5,80	4,16	2,54			1	1,012	1,012		4,64	3,328	2,032		0,2155	0,304	0,498	1,0175
	11	5,80	5,80	4,16	2,54	1	1		1,49	1,49	4,64	4,64	3,328	2,032	0,2155	0,2155	0,4477	0,733	1,6117
	12	5,80		4,16	2,54	1			1,012	1,012	4,64		3,328	2,032	0,2155		0,304	0,498	1,0175
0	13		5,80	2,54	3,2			2,13	1,012	1,012		4,64	2,032	2,56		0,459	0,498	0,395	1,352
	14	5,80	5,80	2,54	3,2	2,13	2,13	1,49	1,49	1,49	4,64	4,96	2,032	2,56	0,459	0,429	0,733	0,582	2,203
	15	5,80		2,54	3,2	2,13			1,012	1,012	4,64		2,032	2,56	0,459		0,498	0,395	1,352

Caractéristiques géométriques : Portique transversal

Portique transversal de Rive : Moments aux Nœuds :

Niv	Nœud	q_w	q_e	M'_w	M_e	M_w	M_e	M_n	M_o
4	1		1,25		3,22		1,89		1,89
	2	1,25	1,25	3,3	3,3	3,3	3,3		0
	3	1,25		3,22		1,89			1,89
3	4		3,1		7,99		5,82	2,73	3,08
	5	3,1	3,1	7,99	7,99	7,99	7,99	0	0
	6	3,1		7,99		5,82		2,73	3,08
2	7		3,1		7,85		5,79	2,89	2,89
	8	3,1	3,1	7,85	7,85	7,85	7,85	0	0
	9	3,1		7,85		5,79		2,89	2,89
1	10		3,1		7,85		6,18	2,34	3,84
	11	3,1	3,1	7,85	7,85	7,85	7,85	0	0
	12	3,1		7,85		6,18		2,34	3,84
0	13		2,65		6,7		4,43	2,47	1,96
	14	2,65	2,65	6,7	7,67	6,9	7,48	0,32	0,25
	15	2,65		6,7		4,43		2,47	1,96

NODES G

Niv	Nœud	q_w	q_e	M'_w	M_e	M_w	M_e	M_n	M_o
4	1			0,103		0,265		0,156	
	2	0,103	0,103	0,273	0,273	0,273	0,273		0
	3	0,103			0,265		0,156		0,156
3	4		0,6		1,55		1,13	0,531	0,598
	5	0,6	0,6	1,55	1,55	1,55	1,55	0	0
	6	0,6		1,55			1,13		0,531
2	7		0,6		1,52		1,122	0,561	0,561
	8	0,6	0,6	1,52	1,52	1,52	1,52	0	0
	9	0,6		1,52			1,122		0,561
1	10		0,6		1,52		1,198	0,454	0,744
	11	0,6	0,6	1,52	1,52	1,52	1,52	0	0
	12	0,6		1,52			1,198		0,454
0	13		2		5,066		3,35	1,866	1,48
	14	2	0,8	5,066	2,32	4,494	2,855	-0,913	-0,725
	15	0,8		2,08		1,37		0,766	0,607

NODES P

Portique transversal de Rive : Moments et efforts tranchants dans les poutres

Niv	Nœud	ℓ	$q(t/m)$	M_w	M_e	T_w	T_e
4	1-2	5,85	1,25	1,89	3,3	3,4	3,89
	2-3	5,85	1,25	3,3	1,89	3,89	3,4
3	4-5	5,85	3,1	5,82	7,99	8,69	9,44
	5-6	5,85	3,1	7,99	5,82	9,44	8,69
2	7-8	5,8	3,1	5,79	7,85	8,63	9,35
	8-9	5,8	3,1	7,85	5,79	9,35	8,63
1	10-11	5,8	3,1	6,18	7,85	8,7	9,28
	11-12	5,8	3,1	7,85	6,18	9,28	8,7
0	13-14	5,8	2,65	4,43	6,9	7,26	8,11
	14-15	5,8	2,65	7,48	4,43	8,31	7,16

sous G

Niv	trav	ℓ	$q(t/m)$	M_w	M_e	T_w	T_e
4	1-2	5,85	0,103	0,156	0,273	0,28	0,32
	2-3	5,85	0,103	0,273	0,156	0,32	0,28
3	4-5	5,85	0,6	1,13	1,55	1,68	1,83
	5-6	5,85	0,6	1,55	1,13	1,83	1,68
2	7-8	5,8	0,6	1,12	1,52	1,67	1,8
	8-9	5,8	0,6	1,52	1,12	1,8	1,67
1	10-11	5,8	0,6	1,198	1,52	1,68	1,8
	11-12	5,8	0,6	1,52	1,198	1,8	1,68
0	13-14	5,8	2	3,35	4,49	5,6	5,99
	14-15	5,8	0,8	2,85	1,37		

sous P

EFForts Normaux dans les poteaux: Portique transversal de Rive:

NIV	Pot	T_w	T_e	N	N^c
4	1		3,4	3,4	3,4
	2	3,89	3,89	7,78	7,78
	3	3,4		3,4	3,4
3	1		8,69	8,69	12,09
	2	9,44	9,44	18,88	26,66
	3	8,69		8,69	12,09
2	1		8,63	8,63	20,72
	2	9,35	9,35	18,7	45,36
	3	8,63		8,63	20,72
1	1		8,7	8,7	29,42
	2	9,28	9,28	18,56	63,92
	3	8,7		8,7	29,42
0	1		7,26	7,26	36,68
	2	8,11	8,37	16,48	80,4
	3				

domo G

NIV	Pot	T_w	T_e	N	N^c
4	1		0,28	0,28	0,28
	2	0,32	0,32	0,64	0,64
	-3	0,28		0,28	0,28
3	1		1,68	1,68	1,96
	2	1,83	1,83	3,66	4,3
	3	1,68		1,68	1,96
2	1		1,67	1,67	3,63
	2	1,8	1,8	3,6	7,9
	3	1,67		1,67	3,63
1	1		1,68	1,68	5,31
	2	1,8	1,8	3,6	11,5
	3	1,68		1,68	5,31
0	1		5,6	5,6	10,91
	2	5,99			
	3				

domo P

Portique transversal central : Moments aux Nœuds :

Niv	Nœud	q _w	q _e	M' _w	M' _e	M _w	M _e	M _n	M _a
4	1		1,75		4,51		2,65		2,65
	2	1,75	1,75	4,63	4,63	4,63	4,63		0
	3	1,75		4,51		2,65		2,65	
3	4		1,43		3,68		2,68	1,26	1,42
	5	1,43	1,43	3,68	3,68	3,68	3,68	0	0
	6	1,43		3,68		2,68		1,26	1,42
2	7		1,43		3,63		2,68	1,34	1,34
	8	1,43	1,43	3,63	3,63	3,63	3,63	0	0
	9	1,43		3,63		2,68		1,34	1,34
1	10		1,43		3,63		2,86	1,08	1,77
	11	1,43	1,43	3,63	3,63	3,63	3,63	0	0
	12	1,43		3,63		2,86		1,08	1,77
0	13		1,78		4,51		2,98	1,66	1,32
	14	1,78	1,78	4,51	5,15	4,64	5,02	0,22	0,17
	15	1,78		4,51		2,98		1,66	1,32

NODUS G

Niv	Nœud	q _w	q _e	M' _w	M' _e	M _w	M _e	M _n	M _s
4	1			0,24		0,62		0,36	0,36
	2	0,24	0,24	0,63	0,63	0,63	0,63		0
	3	0,24		0,62		0,36			0,36
3	4		1,41		3,63		2,65	1,24	1,4
	5	1,41	1,41	3,63	3,63	3,63	3,63	0	0
	6	1,41		3,63		2,65		1,24	1,4
2	7		1,41		3,57		2,63	1,32	1,32
	8	1,41	1,41	3,57	3,57	3,57	3,57	0	0
	9	1,41		3,57		2,63		1,32	1,32
1	10		1,41		3,57		2,81	1,07	1,75
	11	1,41	1,41	3,57	3,57	3,57	3,57	0	0
	12	1,41		3,57		2,81		1,07	1,75
0	13			3,06		7,75		5,12	2,85
	14	3,06	1,65	7,75	4,77	7,12	5,35	-0,99	-0,78
	15	1,65		4,18		2,76		1,53	1,22

NODUS P

Portique transversal central : Moments et efforts tranchants dans les poutres :

Niv	trav	l	$q(t/m)$	M_w	M_e	T_w	T_e
4	1-2	5,85	1,75	2,65	4,63	4,78	5,46
	2-3	5,85	1,75	4,63	2,65	5,46	4,78
3	4-5	5,85	1,43	2,68	3,68	4,01	4,35
	5-6	5,85	1,43	3,68	2,68	4,35	4,01
2	7-8	5,8	1,43	2,68	3,63	3,98	4,31
	8-9	5,8	1,43	3,63	2,68	4,31	3,98
1	10-11	5,8	1,43	2,86	3,63	4,01	4,28
	11-12	5,8	1,43	3,63	2,86	4,28	4,01
0	13-14	5,8	1,78	2,98	4,64	4,88	5,45
	14-15	5,8	1,78	5,02	2,98	5,51	4,81

sous G

Niv	trav	l	$q(t/m)$	M_w	M_e	T_w	T_e
4	1-2	5,85	0,24	0,36	0,63	0,66	0,75
	2-3	5,85	0,24	0,63	0,36	0,75	0,66
3	4-5	5,85	1,41	2,65	3,63	3,96	4,29
	5-6	5,85	1,41	3,63	2,65	4,29	3,96
2	7-8	5,8	1,41	2,63	3,57	3,92	4,25
	8-9	5,8	1,41	3,57	2,63	4,25	3,92
1	10-11	5,8	1,41	2,81	3,57	3,96	4,22
	11-12	5,8	1,41	3,57	2,81	4,22	3,96
0	13-14	5,8	3,06	5,12	7,12	8,53	9,22
	14-15	5,8	1,65	5,35	2,76	5,23	4,33

sous P

EFFORTs Normaux dans les poteaux : Portique transversal central.

NIV	Pot	T_w	T_e	N	N^c
4	1		4,78	4,78	4,78
	2	5,46	5,46	10,92	10,92
	3	4,78		4,78	4,78
3	1		4,01	4,01	8,79
	2	4,35	4,35	8,7	19,62
	3	4,01		4,01	8,79
2	1		3,98	3,98	12,77
	2	4,31	4,31	8,62	28,24
	3	3,98		3,98	12,77
1	1		4,01	4,01	16,78
	2	4,28	4,28	8,56	36,8
	3	4,01		4,01	16,78
0	1		4,88	4,88	21,66
	2	5,45	5,51	10,96	47,87
	3	4,81		4,81	21,59.

sous G

NIV	Pot	T_w	T_e	N	N^c
4	1			0,66	0,66
	2	0,75	0,75	1,5	1,5
	3	0,66		0,66	0,66
3	1			3,96	3,96
	2	4,29	4,29	8,58	10,08
	3	3,96		3,96	4,62
2	1			3,92	3,92
	2	4,25	4,25	8,5	18,58
	3	3,92		3,92	8,54
1	1			3,96	3,96
	2	4,22	4,22	8,44	27,02
	3	3,96		3,96	12,5
0	1			8,53	8,53
	2	9,22	5,23	14,45	41,47
	3	4,33		4,33	16,83

sous P

Portique transversal de rive (A-A) Moments dans les poutres (t.m):

Niv	trav	$G + P + \vec{SI}$			$0,8G + \vec{SI}$			$G + 1,2P$			$0,8G + \overleftarrow{SI}$			$G + P + \overleftarrow{SI}$		
		Mw	Mt	Me	Mw	Mt	Me	Mw	Mt	Me	Mw	Mt	Me	Mw	Mt	Me
4	1-2	24,7	-8,53	-19,65	25,24	7,54	-18,7	-2,08	3,28	-3,63	-28,26	-3,13	13,44	-28,79	-2,14	12,5
	2-3	12,51	-2,13	-28,79	13,44	-3,13	-28,26	-3,63	3,28	-2108	-18,72	7,54	25,24	-19,65	8,53	24,7
3	4-5	62,03	19,44	-57,04	64,32	15,61	-53,89	-7,17	9,44	-9,85	-73,64	-5,44	41,1	-75,93	-1615	37,96
	5-6	37,96	-1,615	-75,93	41,1	-5,44	-73,64	-9,85	9,44	-7,17	-53,89	15,61	64,32	-57,04	19,44	62,03
2	7-8	83,14	14,89	-87,12	85,41	11,13	-84,03	-7,14	9,24	-9,67	-94,68	-1,17	71,47	-96,96	2,59	68,38
	8-9	68,38	2,59	-96,96	71,47	-1,17	-94,17	-9,67	9,24	-7,14	-84,03	11,13	85,41	-87,12	14,89	83,14
1	10-11	67,61	11,19	-79,07	70,05	7,63	-75,98	-7,62	9,05	-9,67	-79,9	9,33	63,14	-82,37	5,89	60,33
	11-12	60,33	5,89	-82,37	63,4	2,33	-79,9	-9,67	9,05	-7,62	-75,98	7,63	70,05	-79,07	11,19	67,61
0	13-14	-7,78	13,89	-11,39	-3,54	4,38	-5,52	-8,45	15,57	12,29	-3,54	4,38	-5,52	-7,78	13,89	-11,39
	14-15	-10,33	15,94	-4,53	-5,98	4,38	-2,78	-10,91	17,63	-4,75	-5,98	4,38	-2,78	-10,33	15,94	-4,53

Portique transversal central B.B : Moments dans les poutres: (t-m)

Niv	trav	G + P + $\vec{S}I$			0,8 G + $\vec{S}I$			G + 1,2 P			0,8 G + $\leftarrow S\bar{I}$			G + P + $\leftarrow S\bar{I}$		
		Mw	Mt	Me	Mw	Mt	Me	Mw	Mt	Me	Mw	Mt	Me	Mw	Mt	Me
4	1-2	23,74	10,21	-21,34	24,63	8,41	-19,78	-3,08	5,08	-5,39	-28,87	-2,26	12,37	-29,76	-0,467	10,82
	2-3	10,82	-0,467	-29,76	12,37	-2,26	-28,87	-5,38	5,08	-3,08	-19,78	8,41	24,63	-21,34	10,21	23,74
3	4-5	63,23	19,45	-54,81	66,41	12,88	-50,44	-5,86	10,17	-8,04	-70,7	-8,18	44,55	-73,89	-1,56	40,19
	5-6	40,19	-1,56	-73,89	44,55	-8,18	-70,74	-8,04	10,17	-5,86	-50,44	12,88	66,41	-54,81	19,45	63,23
2	7-8	84,74	14,93	-84,95	87,9	8,44	-80,65	-5,84	9,97	-7,91	-92,19	-3,86	74,84	-95,36	2,63	70,55
	8-9	70,55	2,63	-95,36	74,8	-3,86	-92,19	-7,91	9,97	-5,84	-80,65	8,44	87,9	-84,95	14,93	84,74
1	10-11	69,32	11,34	-76,9	72,7	4,86	-72,6	-6,23	9,88	-7,91	-77,27	-0,436	66,79	-80,66	6,045	62,15
	11-12	62,5	6,045	-80,66	66,8	-0,436	-77,27	-7,91	9,88	-6,23	-72,6	4,86	72,7	-76,9	11,34	69,13
0	13-14	-8,1	16,54	-11,76	-2,38	2,94	-3,71	-9,12	19,11	-13,18	-2,384	3,04	-3,71	-8,1	16,54	-11,76
	14-15	-10,37	10,73	-4,52	-4,016	3,04	-1,88	-11,44	12,12	-11,44	-4,01	2,94	-1,88	-10,37	16,54	-4,012

Portique transversal de Rive (D. D) : Moments dans les poutres (t.m)

Niv	trav	$G + P + \vec{S}I$			$0,8G + \vec{S}I$			$G + 1,2P$			$0,8G + \overleftarrow{S}I$			$G + P + \overleftarrow{S}I$		
		Mw	Mt	Me	Mw	Mt	Me	Mw	Mt	Me	Mw	Mt	Me	Mw	Mt	Me
4	1-2	19,04	7,41	-16,22	19,58	6,42	-15,29	-2,08	3,28	-3,63	-22,60	-2,02	10,01	-23,14	-1,028	9,08
	2-3	9,08	-1,028	-23,14	10,01	-2,02	-22,60	-3,63	3,28	-2,08	-15,29	6,42	19,58	-16,22	7,41	19,04
3	4-5	47,00	17,21	-46,89	49,29	13,38	-43,74	-7,18	9,43	-9,85	-58,61	-3,21	30,96	-60,9	0,615	27,81
	5-6	27,81	0,615	-60,9	30,96	-3,21	-58,61	-9,85	9,43	-7,18	-43,74	13,38	49,29	-46,89	17,21	47,00
2	7-8	63,83	13,59	-71,23	66,11	9,83	-68,14	-7,14	9,24	-9,67	-75,37	0,124	55,58	-77,65	3,89	52,49
	8-9	52,49	3,89	-77,65	55,58	0,124	-75,37	-9,67	9,24	-7,14	-68,14	9,83	66,11	-71,23	13,59	63,83
1	10-11	51,42	10,63	-64,00	53,56	6,89	-60,91	-7,62	9,05	-9,67	-63,74	2,74	48,35	-66,18	8,54	45,26
	11-12	45,26	8,54	-66,18	48,35	2,74	-63,74	-9,67	9,05	-7,62	-60,91	6,89	53,86	-64,00	10,63	51,42
0	13-14	-7,78	13,89	-11,39	-3,54	4,38	-5,52	-8,45	15,57	-12,29	-3,54	4,38	-5,52	-7,78	13,89	-11,39
	14-15	-10,34	13,89	-4,54	-5,98	4,38	-2,78	-10,91	17,63	-4,75	-5,98	4,38	-2,78	-10,34	13,89	-4,54

Portique longitudinal de rive (3.3') Moments dans les poutres (t.m)

Niv	trav	$G + P + \vec{S}I$			$0,8G + \vec{S}I$			$G + 1,2P$			$0,8G + \overset{\leftarrow}{S}I$			$G + P + \overset{\leftarrow}{S}I$		
		M_w	M_t	M_e	M_w	M_t	M_e	M_w	M_t	M_e	M_w	M_t	M_e	M_w	M_t	M_e
4	1-2	17,23	18,83	-35,78	19,56	13,76	-30,6	-8,49	15,23	-18,87	-31,56	5,48	3,96	-33,89	10,56	-1,21
	2-3	-1,21	10,56	-33,89	3,96	5,48	-31,56	-18,87	15,23	-8,49	-30,6	13,76	19,56	-35,78	18,83	17,23
3	4-5	43,32	42,43	-84,75	52,84	22,78	-70,53	-23,54	38,51	-35,16	-78,34	8,67	32,43	-87,86	28,32	18,21
	5-6	18,21	28,32	-87,86	32,4	8,67	-78,34	-35,16	38,51	23,54	-70,53	22,78	52,84	-84,75	42,43	43,32
2	7-8	74,31	47,19	-106,5	84,00	27,51	-92,23	-23,98	38,36	-35,16	-109,99	3,71	54,14	-119,7	23,32	39,92
	8-9	39,92	23,32	-119,7	54,12	3,71	-109,99	-35,16	38,36	-23,98	-92,23	27,51	84,00	-106,5	47,12	74,31
1	10-11	56,94	44,24	-95,4	67,5	24,77	-81,21	-26,1	37,64	-35,16	-95,78	5,29	43,11	-106,3	24,76	28,89
	11-12	28,89	24,76	-106,3	43,11	5,29	-95,78	-35,16	37,64	-26,1	-81,21	24,77	67,5	-95,43	44,24	56,94
0	13-14	-20,98	32,26	-29,99	-11,55	13,39	-16,51	-22,3	35,37	-31,86	-11,55	13,39	-16,51	-20,98	32,26	-29,99
	14-15	-29,99	32,26	-20,98	-16,51	13,39	-11,55	-31,86	35,37	-22,3	-16,51	13,39	-11,55	-29,9	32,26	-20,98

Moments dans les poutres (tm)

Portique longitudinal central (2.2')

Niv	trav	$G + P + \vec{S}I$			$0,8G + \vec{S}I$			$G + 1,2P$			$0,8G + \vec{S}I$			$G + P + \vec{S}I$		
		Mw	Mt	Mc	Mw	Mt	Mc	Mw	Mt	Mc	Mw	Mt	Mc	Mw	Mt	Mc
4	1-2	8,41	28,53	-48,14	12,02	18,91	-37,8	-12,3	26,36	-35,24	-28,8	12,27	-10,26	-32,41	21,89	-20,6
	2-3	-20,6	21,89	-32,41	-10,26	12,27	-28,8	-35,24	26,36	-12,3	-37,8	18,91	12,02	-48,14	28,5	8,41
3	4-5	+31,56	60,98	-82,04	46,4	22,94	-56,87	-27,44	59,47	-46,47	-66,64	6,16	22,63	-81,5	44,2	-2,54
	5-6	-2,54	44,2	-81,5	22,63	6,16	-66,64	-46,47	59,47	-27,44	-56,87	22,94	46,42	-82,04	60,98	31,56
2	7-8	63,17	60,28	-112,9	80,09	23,32	-88,54	-31,24	57,16	-45,02	-103,1	3,66	55,37	-120,03	40,62	30,9
	8-9	30,98	40,62	-120	55,37	3,66	-103,1	-45	57,16	-31,24	-88,54	23,32	80,09	-112,9	60,28	63,17
1	10-11	46,62	56,18	-106,7	66,16	19,44	-82,3	-36,07	56,05	-45,02	-92,74	5,73	49,15	-112,3	42,5	24,177
	11-12	24,77	42,47	-112,28	49,15	5,73	-92,74	-45,02	56,05	-36,07	-82,3	19,44	66,16	-106,71	56,2	46,62
0	13-14	-31,7	49,95	-41,45	-13,08	13,29	-17,1	-34,77	56,61	-45,46	-13,08	13,29	-17,1	-31,7	49,95	-41,45
	14-15	-41,45	49,95	-31,7	-17,1	13,29	-13,08	-45,46	56,61	-34,77	-17,1	13,29	-13,08	-41,45	49,95	-31,7

Portique de rive (1 seule travée) Moments dans les poutres (t.m)

		$G + P + \vec{S}I$			$0,8G + \vec{S}I$			$G + 1,2P$			$0,8G + \vec{S}I$			$G + P + \vec{S}I$		
Niv	Trav	Mw	Mt	Me	Mw	Mt	Me	Mw	Mt	Me	Mw	Mt	Me	Mw	Mt	Me
4	1-2	13,28	16,94	-35,12	16,34	11,42	-32,06	-11,14	17,48	-11,14	-32,06	14,42	16,34	-35,12	16,94	13,28
3	3-4	35,39	36,92	-88,57	46,76	16,41	-77,20	-28,10	39,46	-28,10	-77,20	16,41	46,76	-88,57	36,92	35,39
2	5-6	65,51	36,00	-119,31	77,01	16,23	.107,81	-28,43	39,14	-28,43	-107,81	16,23	77,01	-119,31	36,00	65,51
1	7-8	48,05	35,00	-104,63	60,14	15,43	-92,54	-29,89	38,14	-29,89	-92,54	15,43	60,14	-104,63	35,00	48,05
0	9-10	-24,62	32,85	-24,62	-13,56	13,86	-13,56	-26,15	35,96	26,15	-13,56	13,86	-13,56	-24,62	32,85	24,62

Portique central (1 seule travée).

4	1-2	2,72	31,03	-35,78	7,69	20,24	-30,81	-16,95	32,18	-16,95	-30,81	20,24	7,69	-35,78	31,03	2,72
3	3-4	22,08	53,86	-84,34	40,61	15,57	-65,81	-34,21	60,74	-34,21	-65,81	15,57	40,61	-84,34	53,86	22,08
2	5-6	53,53	51,08	-120,43	73,44	13,99	-100,59	-36,76	57,80	-36,76	-100,59	13,99	73,44	-120,43	51,80	53,53
1	7-8	37,68	49,58	-110,48	59,34	12,79	-88,82	-40,00	56,30	-40,00	-88,82	12,79	59,34	-110,48	49,58	37,68
0	9-10	-35,87	50,32	-35,87	-14,80	13,59	-14,80	-39,34	56,98	-39,34	-14,80	13,59	-14,80	-35,87	50,32	-35,87

Moments dans les poteaux : (tm) Portique Transversal A.A

Niv	Pot	$G + P + 1,2 \vec{S}_I$	$0,8 G + \vec{S}_I$	$G + 1,2 P$	$0,8 G + \vec{S}_I$	$G + P + 1,2 \vec{S}_I$					
		Maup	Minf	Maup	Minf	Maup	Minf	Maup	Minf	Maup	Minf
4	1 - 4	30,05	-14,03	25,24	-12,23	-2,077	3,367	-28,26	16,59	-34,14	20,55
	2 - 5	38,59	-30,68	32,16	-25,57	0	0	-32,16	25,57	-38,59	30,68
3	4 - 7	61,3	-39,87	51,68	-33,78	-3,79	3,56	-56,61	38,41	-68,65	46,77
	5 - 8	83,33	-68,18	69,44	-56,82	0	0	-69,44	56,82	-83,32	68,18
2	7 - 10	61,28	-61,94	51,64	-52,07	-3,56	2,88	-56,26	55,82	-68,19	67,53
	8 - 11	118,41	-118,41	98,68	-98,68	0	0	-98,68	98,68	-118,41	118,41
1	10 - 13	20,66	-71,39	17,97	-61,13	-4,73	4,71	-24,11	65,08	-29,83	80,07
	11 - 14	48,87	-114,03	40,73	-95,03	0	0	-40,73	95,03	-48,87	114,03
0	13 - 16	79,17	-75,57	61,5	-63,37	-3,74	+3,74	63,37	61,5	-75,57	79,17
	14 - 17	114,04	-114,04	95,03	-95,03	0	0	-95,03	95,03	-114,04	114,04

Portique transversal central (B.B)

Niv	Pot	$G + P + 1,2 \vec{S}_I$	$0,8 G + \vec{S}_I$	$G + 1,2 P$	$0,8 G + \vec{S}_I$	$G + P + 1,2 \vec{S}_I$					
		Maup	Minf	Maup	Minf	Maup	Minf	Maup	Minf	Maup	Minf
4	1 - 4	29,09	-14,79	94,63	-13,14	-3,08	2,74	-28,87	15,41	-35,11	19,79
	2 - 5	38,59	-30,68	32,16	-25,57	0	0	-32,16	25,57	-38,59	30,68
3	4 - 7	62,16	-40,66	53,01	-35,03	-3,1	2,92	-55,28	37,17	-67,8	45,98
	5 - 8	83,33	-68,18	69,44	-56,82	0	0	-69,44	56,82	-83,33	68,18
2	7 - 10	62,11	-62,62	52,9	-53,11	-2,92	2,36	-55,05	54,84	-67,43	66,92
	8 - 11	118,41	-118,41	98,68	-98,68	0	0	-98,68	98,68	-118,41	118,41
1	10 - 13	21,73	-71,92	19,62	-61,78	-3,87	5,08	-22,45	64,44	-28,76	80,94
	11 - 14	48,88	-114,03	40,74	-95,03	0	0	-40,74	95,03	-48,88	114,03
0	13 - 16	79,31	-72,15	64,16	-62,05	-4,03	+4,03	-62,05	64,16	-72,15	79,31
	14 - 17	114,04	-114,04	95,03	-95,03	0	0	-95,03	95,03	-114,04	114,04

Portique transversal de rive (D.D). Moments dans les poteaux

(t.m)

Niv	Pot	$G+P+1,2\vec{S_I}$	$0,8G+\vec{S_I}$	$G+1,2P$	$0,8G+\vec{S_I}$	$G+P+1,2\vec{S_I}$					
		M_{sup}	M_{inf}	M_{sup}	M_{inf}	M_{sup}	M_{inf}	M_{sup}	M_{inf}	M_{sup}	M_{inf}
4	1 - 4	23,26	-10,36	19,57	-9,16	-2,07	3,37	-22,6	13,53	-27,35	16,88
	2 - 5	30,36	-24,15	25,13	-20,13	0	0	-25,3	20,13	-30,36	24,15
3	4 - 7	47,39	-30,52	40,09	-26,06	-3,8	3,56	-45,09	30,68	-54,75	37,49
	5 - 8	65,48	-53,58	54,57	-44,65	0	0	-54,57	44,165	-65,48	53,58
2	7 - 10	47,39	-48,05	40,06	-40,49	-3,56	2,85	-44,68	44,124	-54,29	53,64
	8 - 11	92,95	-92,85	77,46	-77,46	0	0	-77,46	77,146	-92,95	92,95
1	10 - 13	15,13	-46,65	13,16	-40,51	-4,73	4,71	-19,5	44,146	-24,13	62,83
	11 - 14	38,15	-89,03	31,79	-74,19	0	0	-31,79	74,19	-38,15	89,03
0	13 - 16	55,9	-62,83	47,9	-51,06	3,74	3,74	-51,06	47,9	-62,83	55,9
	14 - 17	89,03	-89,03	74,19	-74,19	0	0	-74,19	74,19	-89,03	89,03

Portique longitudinal de rive (3.3') (1 seule travée).

Niv	Pot	$G+P+1,2\vec{S_I}$	$0,8G+\vec{S_I}$	$G+1,2P$	$0,8G+\vec{S_I}$	$G+P+1,2\vec{S_I}$					
		M_{sup}	M_{inf}	M_{sup}	M_{inf}	M_{sup}	M_{inf}	M_{sup}	M_{inf}	M_{sup}	M_{inf}
4	1' - 4'	18,12	-5,42	16,33	-7,78	11,14	12,23	-32,06	22,12	-39,96	30,46
3	4' - 7'	42,69	-32,73	39,24	-30,78	-14,87	14,2	-55,35	46,17	-70,83	59,61
2	7' - 10'	51,27	-54,21	46,23	-47,91	-14,2	11,09	-61,63	59,94	-78,15	75,21
1	10' - 13'	9,1	-49,07	12,22	-44,86	-18,8	14,91	-32,59	60,32	-44,68	77,14
0	13' - 14'	52,16	-73,34	46,146	-58,12	-11,25	11,25	-58,12	46,146	-73,34	52,16

central (1 seule travée).

Niv	Pot	M_{sup}	M_{inf}								
4	1' - 4'	6,57	-0,83	7,69	-7,73	-16,94	17,19	-30,81	19,59	-39,63	31,95
3	4' - 7'	31,89	-22,17	32,88	-27,77	-17,01	18,84	-46,22	36,95	-63,03	55,49
2	7' - 10'	48,13	-47,39	45,18	-49,15	-18,53	20,41	-64,06	60,09	-82,95	83,69
1	10' - 13'	5,1	-64,29	10,19	-60,16	-19,58	19,5	-28,7	77,02	-41,6	100,32
0	13' - 14'	64,46	100,16	62,23	-74,95	-19,83	+19,83	74,95	62,23	-100,16	64,46

Portique longitudinal de rive (3.3') : Moments dans les poteaux

Niv	Pot	$G + P + 1,2 \vec{S_I}$	$0,8 G + \vec{S_I}$	$G + 1,2 P$	$0,8 G + \vec{S_I}$	$G + P + 1,2 \vec{S_I}$					
		Msup	Minf	Msup	Minf	Msup	Minf	Msup	Minf		
4	1-4	22,34	-8,47	19,56	-9,79	-8,49	11,07	-31,56	21,79	-33,89	29,43
	2-5	41,48	-33,38	34,57	-27,82	0	0	-34,57	27,82	-41,48	33,84
3	4-7	47,97	-37,56	43,05	-34,25	-12,46	11,98	-56,55	47,25	-71,55	60,24
	5-8	90,17	-73,77	75,14	-61,48	0	0	-75,14	61,48	-90,17	73,77
2	7-10	56,06	-58,33	49,75	-51	-12,10	9,69	-62,74	61,49	-68,84	76,67
	8-11	101,98	-101,98	84,9	-84,9	0	0	-84,9	84,9	-101,98	101,98
1	10-13	14,94	-59,14	16,49	-52,65	-16,41	12,69	-34,28	65,82	-45,99	83,04
	11-14	47,31	-80,22	39,43	-66,85	0	0	-39,43	66,85	-47,31	80,22
0	13-16	62,07	80,11	54,27	64,21	-9,58	-9,58	64,21	54,27	80,11	62,07
	14-17	80,22	80,22	66,85	66,85	0	0	66,85	66,85	80,22	80,22

Portique longitudinal central (2.2)

Niv	Pot	$G + P + 1,2 \vec{S_I}$	$0,8 G + \vec{S_I}$	$G + 1,2 P$	$0,8 G + \vec{S_I}$	$G + P + 1,2 \vec{S_I}$					
		Msup	Minf	Msup	Minf	Msup	Minf	Msup	Minf		
4	1-4	12,49	-5,63	12,02	-9,73	12,3	12,9	-28,8	19,23	-36,49	29,11
	2-5	33,05	-27,03	27,54	-22,53	0	0	-27,54	22,53	-33,05	27,04
3	4-7	37,24	-31,63	36,69	-30,49	-14,52	10,6	-47,14	38,8	-63,68	50,93
	5-8	68,35	-63,1	56,96	-52,59	0	0	-56,96	52,59	-68,35	63,11
2	7-10	49,86	-56,45	49,6	-52,27	-20,64	13,39	-64,18	62,14	-87,42	80,83
	8-11	109,54	-109,58	91,32	-91,32	0	0	-91,32	91,32	-109,58	109,58
1	10-13	6,07	-76,08	13,89	-71	-22,67	19,82	-30,6	85,91	-47,33	112,22
	11-14	48,73	-101,8	40,61	-84,84	0	0	-40,61	84,84	-48,73	101,8
0	13-16	80,52	107,7	72,8	84,09	-14,95	-14,95	84,09	72,8	107,7	80,52
	14-17	101,8	101,8	84,8	84,84	0	0	84,84	84,8	101,8	101,8

Efforts tranchants dans les poutres : (t)

Portique transversal de Rive : A.A

sollici		$G + P + \vec{SI}$		$0,8G + \vec{SI}$		$G + 1,2P$		$0,8G + \vec{SI}$		$G + P + \vec{SI}$	
Niv	trav	Tw	Te	Tw	Te	Tw	Te	Tw	Te	Tw	Te
4	1 - 2	-3,12	11,01	-4,08	9,91	3,74	4,27	9,52	-3,69	10,48	-2,59
	2 - 3	-2,59	10,48	-3,69	9,52	4,27	3,74	9,91	-4,08	11,01	-3,12
3	4 - 5	-8,45	30,09	-11,86	26,37	10,71	11,64	25,77	-11,27	29,19	-7,55
	5 - 6	-7,55	29,19	-11,27	25,17	11,64	10,71	26,37	-11,86	30,09	-8,45
2	7 - 8	-16,34	37,79	-19,74	34,12	10,64	11,51	33,55	-19,16	36,94	-15,49
	8 - 9	-15,49	36,94	-19,16	33,55	11,51	10,64	34,12	-19,74	37,79	-16,34
1	10 - 11	-12,58	34,04	-16	30,38	10,71	11,44	29,92	-15,54	33,34	-11,88
	11 - 12	11,88	33,34	-15,54	29,92	11,44	10,71	30,38	-16	34,04	-12,58
0	13 - 14	12,86	14,1	5,8	6,49	13,98	12,3	5,8	6,49	12,86	14,1
	14 - 15	11	8,99	5,69	5,59	11,53	9,39	6,69	5,59	11	8,99

Portique transversal central : B.B

sollicit		$G + P + \vec{SI}$		$0,8G + \vec{SI}$		$G + 1,2P$		$0,8G + \vec{SI}$		$G + P + \vec{SI}$	
Niv	trav	Tw	Te	Tw	Te	Tw	Te	Tw	Te	Tw	Te
4	1 - 2	-1,36	13,01	-2,97	11,17	5,57	6,36	10,63	-2,43	12,24	-0,59
	2 - 3	-0,59	12,24	-2,43	10,63	6,36	5,57	11,17	-2,97	13,01	-1,36
3	4 - 5	-10,45	27,06	-15,21	21,9	8,76	9,5	21,63	-14,94	26,39	-9,78
	5 - 6	-9,78	26,39	-14,94	21,63	9,5	8,76	21,9	-15,21	27,06	-10,45
2	7 - 8	-18,74	35,2	-23,45	30,09	8,68	9,41	29,83	-23,19	34,54	-18,08
	8 - 9	-18,08	34,54	-23,19	29,83	9,41	8,68	30,09	-23,45	35,2	-18,74
1	10 - 11	-14,99	31,46	-19,75	26,38	8,76	9,35	26,17	-19,54	30,93	-14,46
	11 - 12	-14,46	30,93	-19,54	26,17	9,35	8,76	26,38	-19,75	31,46	-14,99
0	13 - 14	13,41	14,67	3,9	4,36	15,41	16,51	3,9	4,36	13,41	-14,67
	14 - 15	14,67	13,41	4,36	3,9	16,51	15,11	4,36	3,9	14,67	13,41

Portique transversal de Rive : D.D (Bloc A₂) : Efforts tranchants (t)

Sol	llici	G + P + $\vec{S_I}$		0,8G + $\vec{S_I}$		G + 1,2P		0,8G + $\overleftarrow{S_I}$		G + P + $\overleftarrow{S_I}$	
Niv	trav	T _w	T _e	T _w	T _e	T _w	T _e	T _w	T _e	T _w	T _e
4	1 - 2	-1,67	9,56	-2,63	8,46	3,74	4,27	8,07	-2,24	9,03	-1,14
	2 - 3	-1,14	9,03	-2,24	8,07	4,27	3,74	8,46	-2,63	9,56	-1,67
3	4 - 5	-4,12	25,76	-7,54	22,04	10,7	11,64	21,44	-6,94	24,86	-3,32
	5 - 6	-3,32	24,86	-6,94	21,44	11,64	10,7	22,04	-7,54	25,76	-4,12
2	7 - 8	-10,62	32,07	14,01	28,14	10,64	11,51	27,82	-13,44	31,22	-9,77
	8 - 9	-9,77	31,22	-13,44	27,82	11,51	10,64	28,14	-14,01	32,07	-10,62
1	10 - 11	-7,62	29,08	11,04	25,43	10,71	11,44	24,96	-10,57	28,38	-6,92
	11 - 12	-6,92	28,38	-10,57	24,96	11,44	10,71	25,43	11,04	29,08	-7,62
0	13 - 14	12,86	14,1	5,81	6,49	13,98	15,3	5,81	6,49	12,86	14,1
	14 - 15	14,1	12,86	6,49	5,81	15,3	13,98	6,49	5,81	14,1	12,86

Portique longitudinal de Rive (3.3')

Sol	llicit	G + P + $\vec{S_I}$		0,8G + $\vec{S_I}$		G + 1,2P		0,8G + $\overleftarrow{S_I}$		G + P + $\overleftarrow{S_I}$	
Niv	trav	T _w	T _e	T _w	T _e	T _w	T _e	T _w	T _e	T _w	T _e
4	1 - 2	6,8	18,57	3,57	14,67	11,71	14,17	12,94	5,31	16,16	9,21
	2 - 3	9,21	16,16	5,31	12,94	14,17	11,71	14,67	3,57	18,57	6,8
3	4 - 5	12,05	39,52	1,44	28,51	26,25	28,15	27,01	2,93	37,63	13,94
	5 - 6	13,94	37,63	2,93	27,01	28,15	26,25	28,51	1,44	39,52	12,05
2	7 - 8	6,3	46	-4,35	34,29	26,32	28,96	32,86	-2,91	43,5	8,8
	8 - 9	8,8	43,5	-2,91	32,86	28,96	26,32	34,29	-4,35	46	6,3
1	10 - 11	9,41	42,88	-1,33	31,27	26,56	28,7	30,11	-0,17	40,85	11,44
	11 - 12	11,44	40,85	-0,17	30,11	28,7	26,56	31,27	-1,33	42,88	9,41
0	13 - 14	22,51	24,64	12,39	13,57	23,91	26,17	12,39	13,57	22,51	24,64
	14 - 15	24,64	22,51	13,57	12,39	26,17	23,91	13,57	12,39	24,64	22,51

Portique longitudinal central : 2.2'

sollici		$G + P + \vec{S}I$		$0,8G + \vec{S}I$		$G + 1,2P$		$0,8G + \vec{S}I$		$G + P + \vec{S}I$	
Niv	trav	T_w	T_e	T_w	T_e	T_w	T_e	T_w	T_e	T_w	T_e
4	1 - 2	14,82	27,48	9,24	20,34	19,02	24,38	16,69	12,88	22,28	20,02
	2 - 3	20,02	22,28	12,88	16,69	24,38	19,02	20,34	9,24	27,48	14,82
3	4 - 5	19,84	44,91	1,77	24,44	33,36	37,79	22,8	3,14	40,88	23,87
	5 - 6	23,87	40,88	3,14	22,8	37,79	33,36	24,44	1,77	44,91	19,84
2	7 - 8	12,65	51,36	-5,52	31,43	33,54	36,79	30,24	-4,33	48,41	15,6
	8 - 9	15,6	48,81	-4,33	30,24	36,79	33,54	31,43	-5,52	51,36	12,65
1	10 - 11	15,16	48,83	-3,31	29,21	34,09	36,22	28,43	-2,53	46,9	17,09
	11 - 12	17,09	46,9	-2,53	28,43	36,22	34,09	29,21	-3,31	48,83	15,16
0	13 - 14	31,24	33,53	12,89	13,83	34,27	36,78	12,89	13,83	31,24	33,53
	14 - 15	33,53	31,24	13,83	12,89	36,78	34,27	13,83	12,89	33,53	31,24

Efforts normaux dans les poteaux : (t)

Portique transversal de Rive (A. A)

Niv	Pot	$G + P + 1,2\vec{S}I$		$0,8G + \vec{S}I$		$G + 1,2P$		$0,8G + \vec{S}I$		$G + P + 1,2\vec{S}I$	
		N	N^C	N	N^C	N	N^C	N	N^C	N	N^C
4	1 - 4	-4,48	-4,48	-4,08	-4,08	3,73	3,73	9,52	9,52	11,84	11,84
	2 - 5	8,42	8,42	6,22	6,22	8,55	8,55	6,22	6,22	8,42	8,42
3	4 - 7	-11,75	-16,23	-11,46	-15,55	10,68	14,41	25,37	34,89	32,45	44,29
	5 - 8	22,54	+30,96	15,1	21,32	23,17	31,82	15,1	21,32	22,54	30,96
2	7 - 10	-21,67	-37,9	-19,74	-35,99	10,63	25,05	33,54	68,43	42,29	86,58
	8 - 11	22,13	+53,12	14,96	36,28	23,02	54,84	14,96	36,28	22,13	53,12
1	10 - 13	-17,17	-55,07	-16	-51,29	10,71	35,76	29,92	98,35	37,93	124,51
	11 - 14	22,16	75,42	14,85	51,13	22,88	77,72	18,85	51,13	22,16	75,42
0	13 - 16	12,86	-42,21	5,8	-45,48	13,98	49,74	5,81	104,16	12,86	137,37
	14 - 17	25,1	100,52	13,18	64,31	26,82	104,54	13,18	64,31	25,1	100,52

Portique transversal central B.B. Efforts Normaux (t)

Niv	Pot	G + P + 1,2 $\vec{S_I}$		0,8 G + $\vec{S_I}$		G + 1,2 P		0,8 G + $\overleftarrow{S_I}$		G + P + 1,2 $\overleftarrow{S_I}$	
		N	Nc	N	Nc	N	Nc	N	Nc	N	Nc
4	1-4	-2,72	-2,72	-2,97	-2,97	5,57	5,57	10,63	10,63	13,6	13,6
	2-5	12,42	12,42	8,73	8,73	12,72	12,72	8,73	8,73	12,42	12,42
3	4-7	-14,13	-16,85	-15,21	-18,18	8,76	14,33	21,63	32,26	30,07	43,67
	5-8	17,28	29,7	6,96	15,69	18,99	31,71	6,96	15,69	17,28	29,7
2	7-10	-24,07	-40,92	-23,45	-41,64	8,68	23,02	29,82	62,07	39,86	83,54
	8-11	17,12	46,82	6,89	22,58	18,82	50,54	6,89	22,58	17,12	46,82
1	10-13	-19,58	-60,50	19,75	-61,39	8,76	31,78	26,17	88,25	35,52	119,06
	11-14	17	63,82	6,85	29,43	18,69	69,23	6,85	29,43	17	63,82
0	13-16	13,41	-47,09	3,9	-57,48	15,11	46,89	3,9	92,15	13,41	132,47
	14-17	25,62	89,44	8,85	38,29	28,53	97,75	8,85	38,29	25,62	89,44

Portique transversal de Rive : D.D.

Niv	Pot	G + P + 1,2 $\vec{S_I}$		0,8 G + $\vec{S_I}$		G + 1,2 P		0,8 G + $\overleftarrow{S_I}$		G + P + 1,2 $\overleftarrow{S_I}$	
		N	Nc	N	Nc	N	Nc	N	Nc	N	Nc
4	1-4	-2,74	-2,74	-2,63	-2,63	3,73	3,73	8,07	8,07	10,1	10,1
	2-5	8,42	8,42	6,25	6,25	8,54	8,54	6,22	6,22	8,42	8,42
3	4-7	-7,02	-9,75	-7,53	-10,16	10,7	14,44	21,44	29,51	27,76	37,86
	5-8	22,54	30,96	15,10	21,35	23,27	31,82	15,10	21,32	22,54	30,96
2	7-10	-14,18	-24,56	-14,01	-24,18	10,63	25,07	27,82	57,33	35,4	73,26
	8-11	22,16	53,12	14,85	36,2	22,88	54,7	14,85	36,17	22,16	53,12
1	10-13	-11,12	-35,68	-11,04	-35,22	10,71	35,79	24,96	82,29	31,98	104,24
	11-14	22,16	75,28	14,85	51,05	22,88	77,58	14,85	51,02	22,16	75,28
0	13-16	12,86	-22,82	5,8	-29,41	13,98	49,77	5,80	88,09	12,86	117,1
	14-17	25,1	100,38	13,18	64,23	26,82	104,39	13,18	64,21	25,1	100,38

Portique longitudinal de rive: (3.3'). Efforts normaux (t)

Niv	Pot	$G + P + 1,2 \vec{S}I$	$0,8 G + \vec{S}I$	$G + 1,2 P$		$0,8 G + \vec{S}I$		$G + P + 1,2 \vec{S}I$			
		N	N^c	N	N^c	N	N^c	N	N^c		
4	1-4	5,86	5,86	3,57	3,57	11,71	11,71	12,93	12,93	17,09	17,09
	2-5	27,78	27,78	19,98	19,98	28,34	28,34	19,98	19,98	27,78	27,78
3	4-7	9,49	15,35	1,43	5,01	26,25	37,96	27,01	39,95	40,19	57,28
	5-8	54,92	82,7	31,44	51,42	58,04	86,38	31,44	51,42	54,92	82,7
2	7-10	2,58	17,93	4,34	9,35	26,31	64,27	32,85	72,8	47,22	105,2
	8-11	54,8	137,5	31,37	82,79	57,91	144,3	31,37	82,8	54,8	137,5
1	10-13	5,56	23,5	1,89	11,24	25,86	90,13	29,55	102,35	43,29	148,5
	11-14	54,32	191,82	31,1	113,89	57,141	201,71	31,10	113,9	54,32	191,82
0	13-16	22,51	46,01	12,39	23,63	23,91	114,05	12,39	114,75	22,51	171
	14-17	49,28	241,11	27,13	141,03	52,35	254,06	27,13	141,04	49,28	241,11

Portique longitudinal central: (2.2')

Niv	Pot	$G + P + 1,2 \vec{S}I$	$0,8 G + \vec{S}I$	$G + 1,2 P$		$0,8 G + \vec{S}I$		$G + P + 1,2 \vec{S}I$			
		N	N^c	N	N^c	N	N^c	N	N^c		
4	1-4	14,07	14,07	9,24	9,24	19,02	19,02	16,69	16,69	23,02	23,02
	2-5	47,5	47,5	33,21	33,21	48,69	48,69	33,21	33,21	47,5	47,5
3	4-7	17,73	31,8	1,77	11,01	33,36	52,37	22,8	39,49	42,98	66
	5-8	68,78	116,28	27,84	61,05	75,57	124,27	27,84	61,05	68,78	116,28
2	7-10	9,07	40,87	5,59	16,53	33,54	85,92	30,24	69,73	51,98	117,98
	8-11	65,92	182,2	26,69	87,74	72,43	196,17	26,69	87,74	65,92	182,2
1	10-13	11,98	52,85	3,31	19,84	34,09	120,02	28,43	98,16	50,07	168,05
	11-14	65,92	248,12	26,69	114,43	72,43	269,13	26,69	114,43	65,92	248,12
0	13-16	31,24	84,09	12,89	32,73	34,27	154,29	12,89	111,05	31,24	199,29
	14-17	67,06	315,18	27,66	142,09	73,55	342,68	27,66	142,09	67,06	315,18

Portique longitudinal de Rive (3.3') : 1 seule travée : Efforts tranchants

sollicit	G + P + $\vec{S}I$	0,8 G + $\vec{S}I$	G + 1,2 P	0,8 G + $\vec{S}I$	G + P + $\vec{S}I$						
Niv	Trav	T _w	T _e	T _w	T _e	T _w	T _e	T _w	T _e	T _w	T _e
4	1'-3'	7,39	17,97	3,84	14,42	12,94	12,94	14,42	3,84	17,97	7,39
3	4'-6'	12,79	39,49	1,62	28,32	27,63	27,63	28,32	1,61	39,49	12,79
2	7'-9'	5,95	46,33	-5,22	35,16	27,63	27,63	35,16	-5,22	46,33	5,95
1	10'-12'	9,46	42,83	-1,7	31,65	27,63	27,63	31,65	-1,712	42,82	9,46
0	13'-15'	23,6	23,6	+13	13	25,07	25,07	13	13	23,6	23,6

Portique longitudinal central (2.2) : 1 seule travée.

4	1'-3'	16,95	25,35	10,59	18,99	21,68	21,68	18,99	10,59	25,35	16,95
3	4'-6'	20,74	44,00	1,47	1,47	35,75	35,75	24,73	1,47	44	20,74
2	7'-9'	13	51	-6,05	+31,95	35,16	35,16	31,95	-6,05	51	13
1	10'-12'	15,81	48,19	-3,24	29,14	35,16	35,16	29,14	-3,24	48,19	15,81
0	13'-15'	32,38	32,38	13,36	13,36	35,51	35,51	13,36	13,36	32,38	32,38

EFFORTS Normaux dans les poteaux : (Rive : 1 seule travée).

Niv	Pot	G + P + 1,2 $\vec{S}I$		0,8 G + $\vec{S}I$		G + 1,2 P		0,8 G + $\vec{S}I$		G + P + $\vec{S}I$	
		N	N ^c	N	N ^c	N	N ^c	N	N ^c	N	N ^c
4	1'-4'	6,33	6,33	3,83	3,83	12,94	12,94	11,47	11,47	19,03	19,03
3	4'-7'	9,88	12,21	1,418	5,25	27,63	40,56	28,52	42,93	42,4	61,4
2	7'-10'	1,92	18,13	+5,22	10,47	27,63	68,19	35,16	78,09	50,37	111,81
1	10'-13'	6,13	24,26	-1,712	12,18	27,63	95,82	31,65	109,74	46,16	157,97
0	13'-16'	23,59	47,85	12,98	25,16	25,07	120,88	12,98	122,7	23,59	181,56

central : 1 travée

Niv	Pot	N	N ^c								
4	1'-4'	16,11	16,11	10,59	10,59	21,68	21,68	18,99	18,99	26,19	26,19
3	4'-7'	17,86	33,97	1,47	12,06	35,75	56,58	27,73	43,72	45,77	71,96
2	7'-10'	9,2	43,17	-6,04	6,016	35,16	91,75	31,95	75,67	54,18	126,76
1	10'-13'	12,58	55,75	-3,23	2,78	35,16	126,9	29,13	104,8	51,41	181,17
0	13'-16'	32,38	88,13	13,36	16,14	35,51	162,42	13,36	118,17	32,38	213,5

Feraillage des poutres:

portique longitudinal de rive (3.3):

Présentation des Moments: (t.m).

-33,89	-35,78	-33,89	-35,12	-35,12
SP2 +19,56	18,83	+3,965	18,83	+16,34
SP1 -8,49	-18,87		-8,49 -11,14	-11,14
	15,23	15,23		17,48
-87,86	-84,75	-87,86	-88,57	-88,57
SP2 52,84	42,43	32,43	52,84	46,75
SP1 -23,56	-35,16		-23,56 -28,1	-28,1
	38,51	38,51		39,46
-119,69	-106,5	-119,69	-119,4	-119,4
SP2 84	54,14	84	77,01	36
SP1 -23,98	-35,12	-23,98	-28,43	-28,43
	38,36	38,36		39,16
-106,34	-95,43	-106,34	-104,6	-104,6
SP2 67,49	44,24	43,11	67,49	35
SP1 -26,1	-35,16		-26,1 -29,89	-29,89
	37,64	37,64		38,14
-20,98	-29,99	-20,98	-24,62	-24,62
SP2 32,26		32,26		32,85
SP1 -22,28	-31,86		-26,16	-26,16
	35,37	35,37		35,96

Ferailage sur appuis:

coffrage des poutres b. h_t = 35x90

d = 8 cm, h = 82 cm.

Ferailage adopté en appui et en travée

	GT16	GT16	GT16	GT16	GT16	GT16	GT16
Niv 4	4 T16	4 T16	4 T16	4 T16	4 T16	4 T16	4 T16
3	10T20	10T20	10T20	10T20	10T20	10T20	10T20
	7T20	6T20+2T16	6T20	6T20+2T16	7T20	6T20	6T20+2T16
2	10T20+5T16	10T20+3T16	10T20+5T16	10T20+5T16	10T20	10T20	10T20
	10T20	6T20+2T16	7T20	6T20+2T16	10T20	6T20+2T16	10T20
1	10T20+3T16	10T20+1T16	3T16 + 10T20	10T20	3T16	10T20	10T20
	6T20+4T16	6T20+2T16	6T20	6T20+2T16	6T20	6T20+2T16	6T20+4T16
0	5T20	5T20	5T20	5T20	5T20	5T20	5T20
	5T20	5T20+2T16	5T20	5T20+2T16	5T20	5T20	5T20

les Armatures transversales:

Niv 4 : A_t : 2 cadres Ø 10

Niv 3,2,1,0 A_t = 2 cadres Ø 10 + 1 étrier Ø 10.

Espaces :

Niv 4 . Zone Nodale t = 15 cm Zone courante t = 30 cm.

Niv. 3,2,1, Zone nodale t = 15 cm Zone courante t = 30 cm

Niv 0 Zone Nodale t = 20 cm Zone courante t = 40 cm.

Vérifications:

toutes les vérifications ont été satisfaites :

- Fléches
- vérification de la condition de non fragilité
- condition de non érasement du Béton.
- conditions aux appuis
- vérification des contraintes.
- Fissuration
- Pourcentage d'acier longitudinal compris entre 0,3% et 2,5%
- condition de non entraînement des barres.

Portique transversal de rive: (Bloc A1). Présentation des Moments

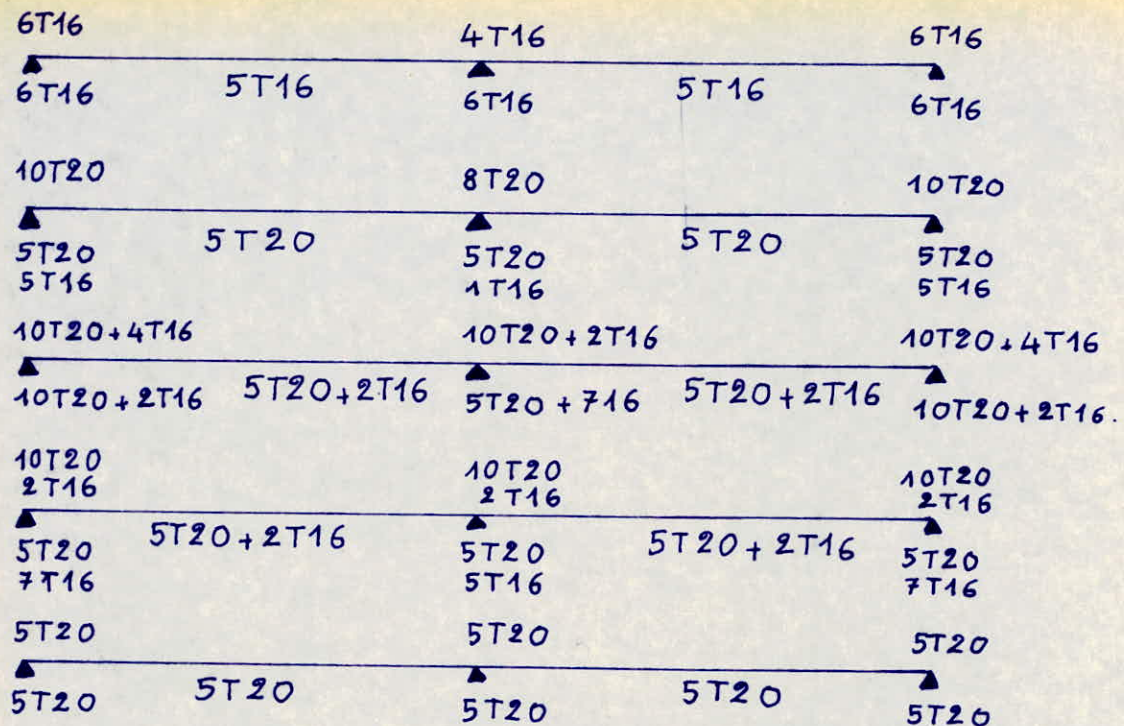
-28,79	-19,63	-28,79
SP2 ▲	▲	▲
25,24	13,44	25,24
SP1 ▲	▲	▲
-2,07	-3,63	-2,07
SP2 -75,93	-57,04	-75,93
▲	▲	▲
64,3	41,1	64,3
SP1 ▲	▲	▲
-7,17	-9,85	-7,17
SP2 -96,92	-87,12	-96,4
▲	▲	▲
85,4	71,47	85,4
SP1 ▲	▲	▲
-7,13	-9,67	-7,13
SP2 -82,37	-79,07	-82,37
▲	▲	▲
70,04	63,4	70,04
SP1 ▲	▲	▲
-7,13	-9,67	-7,13
SP2 -7,78	-11,39	-7,78
▲	▲	▲
SP1 -8,45	-12,29	-8,45
▲	▲	▲

coffrage des poutres:

$$b \cdot h_t = 40 \times 70$$

le coffrage des poutres a été changé; du fait que le Ferrailage longitudinale a dépassé les 2,5% autorisé par le RPA.

Ferailage adopté en appui et en travée :



Etant donné que les poutres transversales ne sont pas porteuses des charges verticales, elles ne sont sollicitées principalement que par les forces latérales sismiques, ainsi les moments en travée sont très faibles par rapport aux moments sur appui, donc on calcule uniquement les armatures sur appui, et on opte une section en travée égale au moins à la moitié des armatures sur appuis (RPA 81 art 4.2.3,2).

les armatures transversales :

$$\text{Niv 4} \quad A_t = 2 \text{ cadres } \phi 10$$

$$\text{Niv 3, 2, 1} \quad A_t = 2 \text{ cadres} + 1 \text{ étrier. } \phi 10$$

$$\text{Niv 0} \quad A_t = 2 \text{ cadres } \phi 10$$

Espacements :

Niv. 4, 3, 2, 1, Nodale $t = 15 \text{ cm}$ courante $t = 30 \text{ cm}$

Niv 0 Zone Nodale $t = 20 \text{ cm}$ Zone courante: 40 cm .

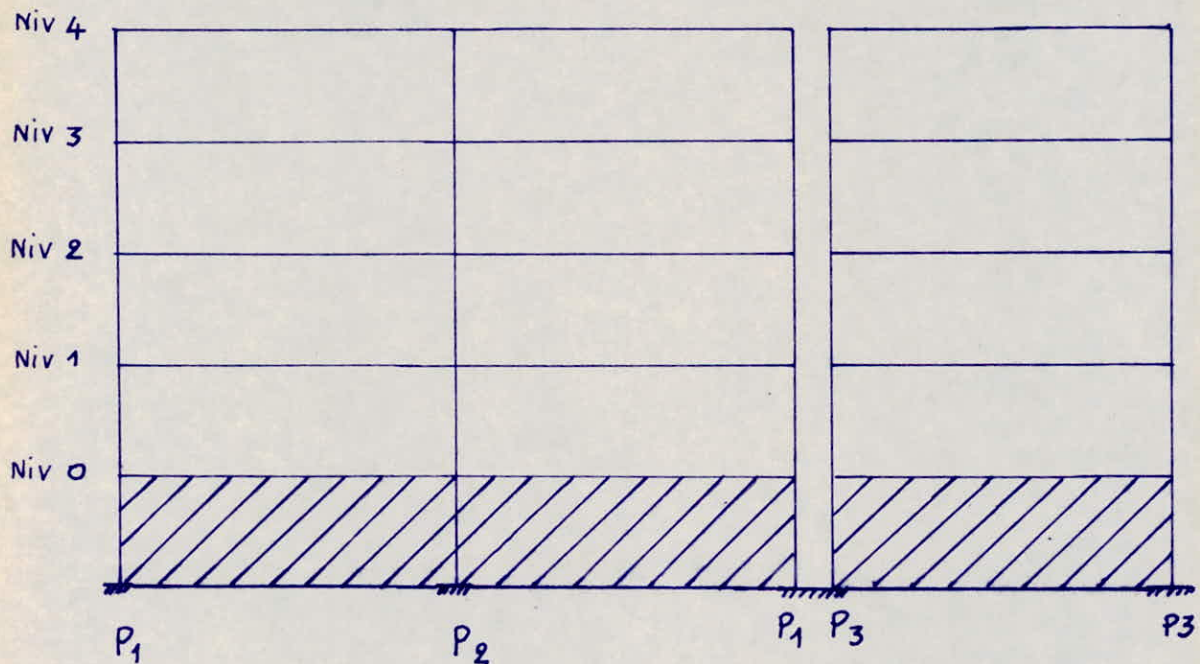
Ferailage des poteaux :

pour les poteaux, la section T, n'est pas du tout économique, du fait que la quantité d'acier est très importante, dépassant de loin les 4% autorisés par le RPA.

Ceci nous a ramené à changer de section et opter pour une section rectangulaire 65x70.

Ce changement de section va dans le sens de la sécurité, du fait que la rigidité des poteaux va augmenter.

Ces poteaux font partie du portique longitudinal (3,3') dont les poutres ont été étudiées.



SP1						SP2									
sens longitudinal						Poteau P3.									
Niv	N(t)	M(tm)	e _o	soll	g' b	N ^{max}	M ^{cor}	e _o	soll	g' b	N ^{min}	M ^{cor}	e _o	soll	g' b
4	12,93	12,23	0,945	P.C	137	19,03	39,96	2,09	P.C	205,5	3,84	16,34	4,25	P.C	205,5
3	40,56	14,87	0,366	P.C	137	61,44	70,83	1,15	P.C	205,5	5,25	39,24	7,47	P.C	205,5
2	68,19	14,21	0,208	P.C	109,21	111,8	78,15	0,699	P.C	205,5	10,47	47,91	4,57	P.C	205,5
1	95,82	18,8	0,196	P.C	106,86	157,97	77,14	0,488	P.C	205,5	12,19	44,86	3,68	P.C	205,5
0	120,88	11,25	0,093	E.C	86,7	181,56	73,34	0,404	P.C	205,5	25,17	58,12	2,309	P.C	205,5
sens transversal															
Niv	N(t)	M(tm)	e _o	soll	g' b	N ^{max}	M ^{cor}	e _o	soll	g' b	N ^{min}	M ^{cor}	e _o	soll	g' b
4	3,73	3,37	0,903	P.C	137	10,1	27,35	2,708	P.C	205,5	-2,63	19,59	7,45	P.C	205,5
3	14,44	3,79	0,262	P.C	123,7	37,86	54,75	1,446	P.C	205,5	-10,17	40,09	3,94	P.C	205,5
2	25,07	3,56	0,142	P.C	98,43	72,26	54,29	0,75	P.C	205,5	-24,56	40,49	1,65	P.C	205,5
1	35,79	4,73	0,132	P.C	96,32	104,24	59,83	0,603	P.C	205,5	-35,68	40,51	1,13	P.C	205,5
0	49,77	3,74	0,075	E.C	84,3	117,1	62,83	0,536	P.C	205,5	-29,41	51,06	1,73	P.C	205,5

SP1

SP2

Sens longitudinal

Poteau P1

Niv	N(t)	M(tm)	e ₀	Soll	$\bar{\sigma}'_b$	N ₌ ^{max}	M ₌ ^{corr}	e ₀	Soll	$\bar{\sigma}'_b$	N ₌ ^{min}	M ₌ ^{corr}	e ₀	Soll	$\bar{\sigma}'_b$
4	11,71	11,07	0,945	P.C	137	17,09	33,89	1,98	P.C	205,5	3,57	19,56	5,47	P.C	205,5
3	37,96	12,46	0,328	P.C	132,67	57,28	71,55	1,25	P.C	205,5	5,01	43,05	8,59	P.C	205,5
2	64,28	12,1	0,188	P.C	105,3	105,2	76,67	0,728	P.C	205,5	9,35	51	5,45	P.C	205,5
1	90,14	16,42	0,182	P.C	104,11	148,5	83,04	0,559	P.C	205,5	11,24	52,65	4,68	P.C	205,5
0	114,05	9,58	0,084	P.C	84,9	171	80,11	0,468	P.C	205,5	23,63	54,27	2,29	P.C	205,5

Sens transversal

Niv	N(t)	M(tm)	e ₀	Soll	$\bar{\sigma}'_b$	N ₌ ^{max}	M ₌ ^{corr}	e ₀	Soll	$\bar{\sigma}'_b$	N ₌ ^{min}	M ₌ ^{corr}	e ₀	Soll	$\bar{\sigma}'_b$
4	3,74	3,36	0,901	P.C	137	11,84	34,15	2,88	P.C	205,5	-4,48	30,05	6,7	P.C	205,5
3	14,41	3,79	0,263	P.C	124	44,29	68,66	1,55	P.C	205,5	-16,23	61,3	3,77	P.C	205,5
2	25,05	3,56	0,142	P.C	98,5	86,58	68,19	0,787	P.C	205,5	-37,9	61,95	1,63	P.C	205,5
1	35,76	4,73	0,132	P.C	96,32	124,51	80,07	0,643	P.C	205,5	-55,07	71,39	1,29	P.C	205,5
0	49,75	3,73	0,075	E.C	84,3	137,37	79,17	0,576	P.C	205,5	-45,48	75,57	1,66	P.C	205,5

SP1

SP2

sens longitudinal :

Poteau P2

Niv	N(t)	M(tm)	e0	soll	\bar{G}'_b	N_{max}	M_{cor}	e0	soll	\bar{G}'_b	N_{min}	M_{cor}	e0	soll	\bar{G}'_b
4	28,34	0	=	C.S	68,5	27,78	41,48	1,493	P.C	205,5	19,98	34,57	1,73	P.C	205,5
3	86,38	0	,	C.S	68,5	82,7	90,17	1,09	P.C	205,5	51,42	75,14	1,46	P.C	205,5
2	144,3	0	,	C.S	68,5	137,5	101,98	0,74	P.C	205,5	82,79	84,9	1,02	P.C	205,5
1	201,7	0	,	C.S	68,5	191,82	80,22	0,418	P.C	205,5	113,89	66,85	0,587	P.C	205,5
0	254,06	0	,	C.S	68,5	241,11	80,22	0,333	P.C	200,5	141,03	66,85	0,474	P.C	205,5

sens transversal.

Niv	N(t)	M(tm)	e0	soll	\bar{G}'_b	N_{max}	M_{cor}	e0	soll	\bar{G}'_b	N_{min}	M_{cor}	e0	soll	\bar{G}'_b
4	5,57	3,08	0,553	P.C	137	13,6	35,11	2,58	P.C	205,5	-2,97	24,63	8,29	P.C	205,5
3	14,33	3,1	0,216	P.C	114,03	43,67	67,18	1,55	P.C	205,5	-18,18	53,01	2,91	P.C	205,5
2	23,02	2,92	0,127	P.C	95,27	83,54	67,143	0,807	P.C	205,5	-41,64	53,11	1,27	P.C	205,5
1	31,78	5,08	0,159	P.C	102	119,06	80,24	0,674	P.C	205,5	-61,39	61,78	1,00	P.C	205,5
0	46,89	4,03	0,086	E.C	86,63	132,47	79,31	0,598	P.C	205,5	-57,48	64,16	1,11	P.C	205,5

OK
OKOK
OK

Ferailage adopté pour le poteau P2: 65x70

Niv	A long	A trans	Amin 1%	Amax 4%	A adopté	ϕ	w%
4	13,97	13,99	45,5	182	50,24	16T20	1,1
3	29,4	26,54	45,5	182	87,58	14T25 6T20	1,92
2	30,2	28,35	45,5	182	87,58	14T25 6T20	1,92
1	26,3	34,61	45,5	182	100,94	18T25 4T20	2,2
0	35,89	34,14	45,5	182	110,76	20T25 4T20	2,43

Ferailage adopté pour le poteau P1 65X70

Niv	A long	Atr	Amin 1%	Amax 4%	A adopté	ϕ	w%
4	11,95	12,2	45,5	182	50,24	16T20	1,1
3	20,27	21,85	45,5	182	71,48	12T25 4T20	1,57
2	21,25	19,9	45,5	182	71,48	12T25 4T20	1,57
1	19,16	21,4	45,5	182	71,48	12T25 4T20	1,57
0	21,8	23,22	45,5	182	75,02	14T25 2T20	1,65

Ferailage adopté pour le poteau P3: 65x70

Niv	A long	Atran	Amin 1%	Amax 4%	A adopté	ϕ	w%
4	14	10,8	45,5	182	50,24	16T20	1,1
3	22,8	21,6	=	=	75,02	14T25 2T20	1,65
2	18,71	27,05	=	=	76,96	8T25 12T20	1,69
1	20,9	30,09	=	=	84,04	12T25 8T20	1,85
0	20,9	32,4	=	=	90,32	12T25 10T20	1,98.

Armatures transversales:

Pot P_{1,2,3}: 2 cadres + 1 étrier dans chaque sens. (T12)

Pot	Zone Nodale t	t = Zone courante
P1	15 cm	20 cm
P2	15 cm	15 cm
P3	15 cm	20 cm

les Fondations (Bloc A)

types de semelles:

- semelle filante sous poteaux.
- semelle sous voile.

- la semelle filante sous poteaux est calculé uniquement sous SP1 pour la raison suivante:

- le sous sol est formé de voiles périphériques, du plancher du RDC et des longrines qui relient les différents fondations est une boite très rigide.

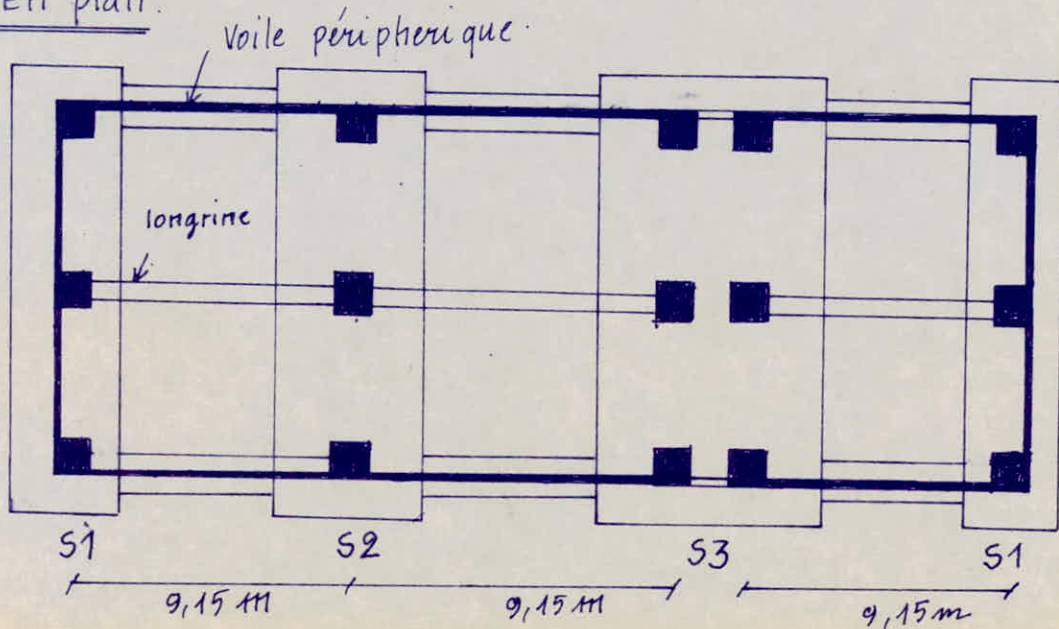
- sous l'effet des charges horizontales, cette boite bute contre le sol

- En plus, le moment se distribue non pas sur les poteaux seulement, mais aussi sur les voiles périphériques et sur les longrines.

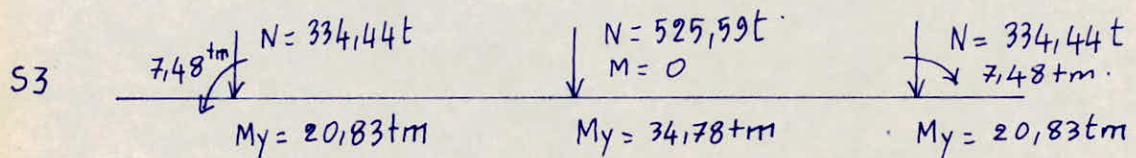
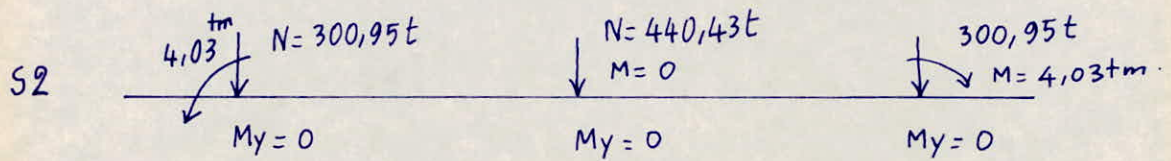
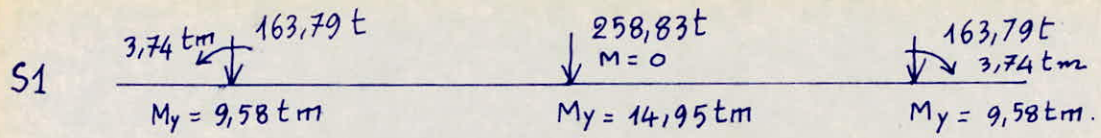
- Donc nous pouvons affirmer que le moment créé par les charges sismiques est négligeable au niveau des fondations.

- c'est pourquoi, nous Etudierons les fondations sous les sollicitations du 1^{er} genre seulement.

Vue En plan:

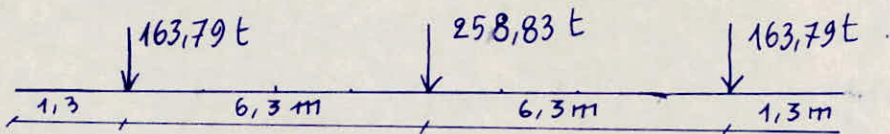


Présentation des Efforts sur les semelles:



On fait le calcul de la semelle S1, Pour les autres semelles, c'est toujours le même principe de calcul. du fait que les moments sous SP1, ne créent pas une grande variation sur les contraintes, on suppose que les moments sont repris, soit par le voile périphérique ou la longrine.

- la Méthode de calcul est basé sur l'hypothèse d'une semelle infiniment rigide et une distribution linéaire des réactions.



charge totale des poteaux

$$\Sigma Q = 586,41 \text{ t} + \text{Poids du Voile} (28,81 \text{ t}) \Rightarrow Q_{\text{Tot}} = 615,22 \text{ t.}$$

dimensionnement de la semelle:

la section nécessaire B.L $\geq \frac{Q_T}{\bar{\sigma}_n}$

$$L = 1520 \text{ cm}$$

$$Q_T = 615,22 \text{ t} \Rightarrow B \geq 132,27 \text{ cm.}$$

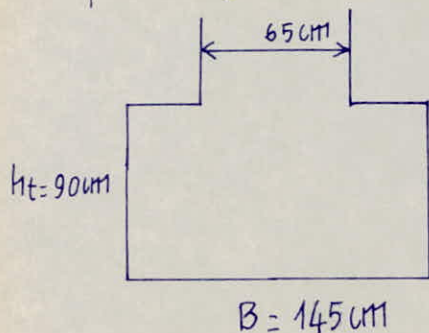
$$\bar{\sigma}_n = 3 \text{ bars} = 1,02 \cdot 3 \text{ Kg/cm}^2$$

$$\text{On adopte } B = 145 \text{ cm.}$$

$$h_t \approx l/6 \div l/9 \text{ où } l: \text{distance entre axe de 2 poteaux}$$

$$l = 6,30 \text{ m} \Rightarrow h_t = (105 \text{ cm} \div 70 \text{ cm})$$

On adopte $h_t = 90 \text{ cm}$.



Poids de la semelle : $145 \text{ m} \times 0,9 \text{ m} \times 15,2 \text{ m} \times 2500 \text{ Kg/m}^3 = 49,59 \text{ t}$.
d'où le poids total qui agit sur la semelle est

$$Q = 615,22 \text{ t} + 49,59 \text{ t} = 664,81 \text{ t}$$

$$\Rightarrow \bar{\sigma}_s = \frac{664,81 \text{ t}}{145 \times 1520} = 3,01 < 3,06 \text{ Kg/cm}^2 = \bar{\sigma}_s$$

connaissant le chargement qui agit sur la semelle, on peut tracer le diagramme de l'effort tranchant et du Moment

$$q = \bar{\sigma}_s \times B = 3,01 \times 145 =$$

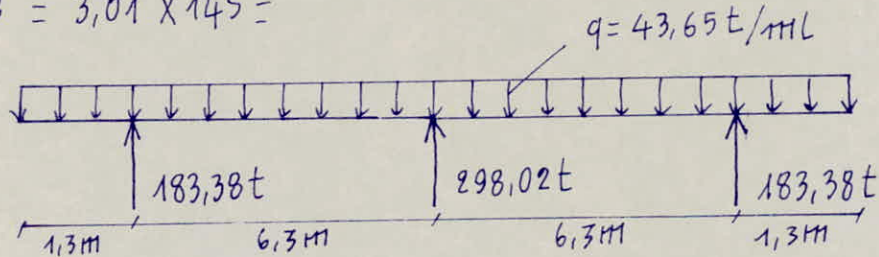


Diagramme de l'effort tranchant (t)

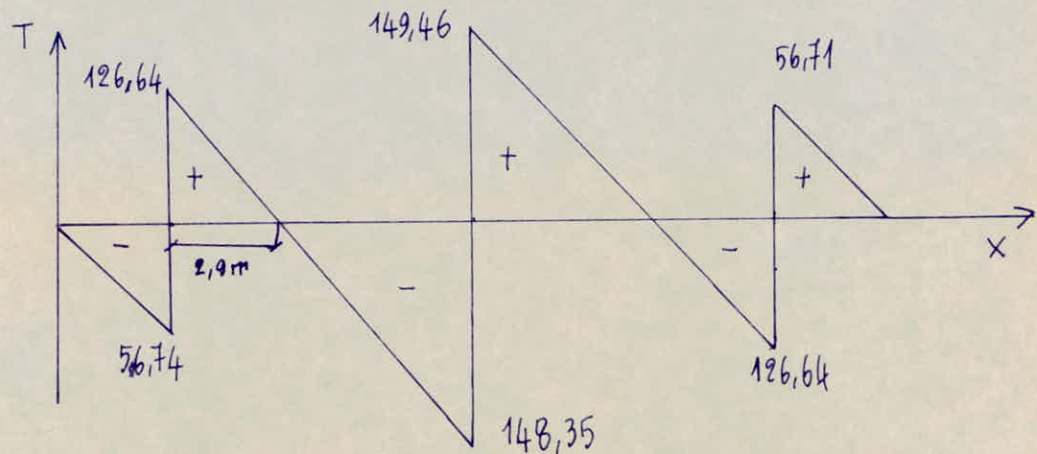
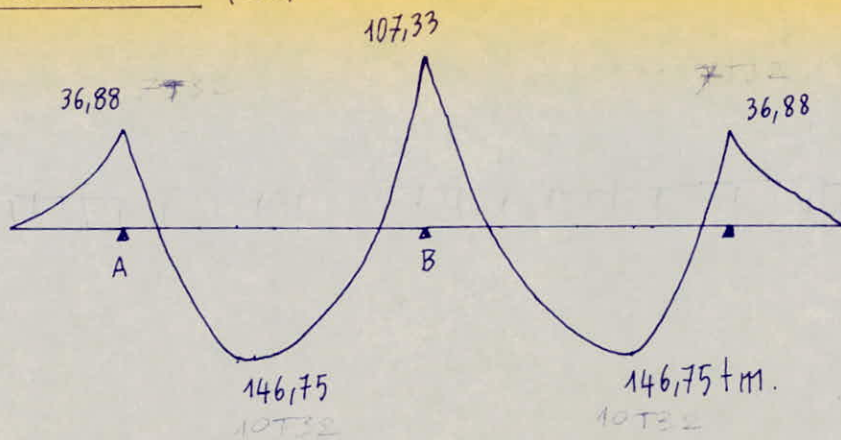


Diagramme des Moments : (tm).



Ferraillage :

$$1 - \text{En travée } M_t = 146,75 \text{ tm.} \quad d = \frac{ht}{10} = \frac{90}{10} = 9 \text{ cm.}$$

Méthode P. charron :

$$\mu = \frac{15 \text{ M}}{\bar{\sigma}_a b h^2} = \frac{15 \cdot 146,75 \cdot 10^5}{2670 \cdot 145 \cdot 812} = 0,0866 \quad \left| \begin{array}{l} \varepsilon = 0,8812 \\ K = 27,1 \end{array} \right.$$

$$\sigma'_b = \frac{\bar{\sigma}_a}{K} = \frac{2670}{27,1} = 98,52 \text{ Kg/cm}^2 < \bar{\sigma}'_b = 137 \text{ Kg/cm}^2 \Rightarrow A' = 0$$

$$A = \frac{M}{\varepsilon h \bar{\sigma}_a} = \frac{146,75 \cdot 10^5}{0,8812 \cdot 81 \cdot 2670} = 77 \text{ cm}^2$$

On adopte 10T32 ($A = 80,42 \text{ cm}^2$)

2 - Appui A : $M = 36,88 \text{ tm.}$

$$\mu = \frac{15 \text{ M}}{\bar{\sigma}_a b h^2} = \frac{15 \cdot 36,88 \cdot 10^5}{2670 \cdot 145 \cdot 812} = 0,0217 \quad \left| \begin{array}{l} \varepsilon = 0,9355 \\ K = 62,5 \end{array} \right.$$

$$\sigma'_b = \frac{\bar{\sigma}_a}{K} = \frac{2670}{62,5} = 42,72 \text{ Kg/cm}^2 < 137 \text{ Kg/cm}^2 \Rightarrow A' = 0$$

$$A = \frac{M}{\varepsilon h \bar{\sigma}_a} = \frac{36,88 \cdot 10^5}{0,9355 \cdot 81 \cdot 2670} = 18,23 \text{ cm}^2$$

On adopte 4T25 ($19,63 \text{ cm}^2$) + 1 Barre de Montage.

3 - appui B : $M = 107,33 \text{ tm.}$

$$\mu = \frac{15 \cdot 107,33 \cdot 10^5}{2670 \cdot 145 \cdot 812} = 0,0631 \quad \left| \begin{array}{l} \varepsilon = 0,8963 \\ K = 33,2 \end{array} \right.$$

$$\sigma'_b = \frac{2670}{33,2} = 80,42 \text{ Kg/cm}^2 < \bar{\sigma}'_b = 137 \text{ Kg/cm}^2 \Rightarrow A' = 0$$

$$A = \frac{107,33}{0,8963} \cdot \frac{105}{81 \cdot 2670} = 55,37 \text{ cm}^2 \quad \text{On adopte } 7T32 \quad (A = 56,29 \text{ cm}^2)$$

Armatures transversales

$$1. \tau_b = \frac{T}{b_0 z} = \frac{149,46 \cdot 10^3}{145 \cdot 0,875 \cdot 81} = 14,54 \text{ Kg/cm}^2 \quad (\text{appui B})$$

$$\sigma'_b = 80,42 \text{ Kg/cm}^2 \Rightarrow \bar{\tau}_b = 19,62 \text{ Kg/cm}^2.$$

on utilise des cadres et des étriers \perp à la ligne Moyenne.

calcul de t :

$$\frac{At}{t} = \frac{T}{3\bar{\sigma}_{at}} \quad \text{avec} \quad \bar{\sigma}_{at} = \rho_{at} \sigma_{en}$$

$$\rho_{at} = \sup\left(\frac{2}{3}, 1 - \frac{\tau_b}{9\bar{\sigma}_b}\right) = 0,726$$

$$\bar{\sigma}_{at} = 0,726 \cdot 4200 = 3049,2 \text{ Kg/cm}^2.$$

$$At = 2 \text{ cadres} + 1 \text{ etrier } \phi 12 = 6 \phi 12 = 6,78 \text{ cm}^2.$$

$$t = \frac{3 \cdot \bar{\sigma}_{at} \cdot At}{T} = \frac{0,875 \cdot 3049,2 \cdot 6,78 \cdot 81}{149,46 \cdot 10^3} = 9,8 \text{ cm}$$

espacement admissible:

$$\bar{E} = \max \left[0,2h, \left(1 - 0,3 \cdot \frac{\tau_b}{\bar{\sigma}_b} \right) h \right] = \max [16,2 \text{ cm}; 21,11 \text{ cm}]$$

$$\bar{E} = 21 \text{ cm}.$$

2. effort tranchant à 1m de l'appui B:

$$T = 105,81 \text{ t}$$

$$\tau_b = 10,29 \text{ Kg/cm}^2$$

$$\bar{\tau}_b = 20,65 \text{ Kg/cm}^2 \Rightarrow t = 15 \text{ cm}$$

$$\bar{\sigma}_{at} = 3381,1 \text{ Kg/cm}^2$$

$$At = 6,78$$

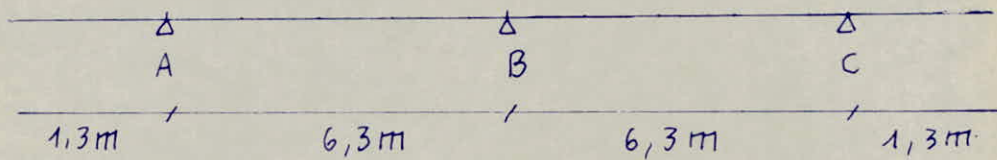
3. effort tranchant à 2m de l'appui B

$$T = 62,16 \text{ t} \quad \bar{\sigma}_{at} = 3722 \text{ Kg/cm}^2 \quad \bar{E} = 56,12 \text{ cm}$$

$$\tau_b = 6,04 \text{ Kg/cm}^2 \quad At = 6,78 \text{ cm}^2$$

$$\bar{\tau}_b = 20,65 \text{ Kg/cm}^2 \quad t = 23,57 \text{ cm}$$

Récapitulation :



On adopte $t = 9 \text{ cm}$ au niveau des Appuis A,B,C
à 1m à partir de chaque appui $t = 15 \text{ cm}$.
à 2m à partir de chaque appui $t = 20 \text{ cm}$.

Vérification au poinçonnement :

la condition de sécurité vis à vis du poinçonnement sous charges localisées est satisfaite si

$$\tau_{\max} = \frac{1,5 \cdot Q}{1,2 \cdot P_c \cdot h_t} < \bar{\sigma}_b$$

$$Q_{\max} = 258,83 - 33,18 = 225,65 \text{ t}$$

$$P_c = 620 \text{ t/m} \text{ (poteau 65.65).}$$

$$h_t = 90 \text{ cm}$$

$$\Rightarrow \tau_{\max} = 5,05 \text{ Kg/cm}^2 < \bar{\sigma}_b = 5,9 \text{ Kg/cm}^2$$

Semelle filante sous le voile périphérique

hauteur du voile $h = 4,1 + 1 = 5,1 \text{ m}$.

Poids par ml de voile = $2,55 \text{ t/ml}$.

Poids de la semelle $0,6 \times 0,4 \times 1 \times 2,5 = 0,6 \text{ t/ml}$.

Poids des terres au dessus de la semelle
 $(0,6 - 0,2) \times 1 \times 1 \times 1,8 = 0,72 \text{ t/ml}$.

charge totale /ml = $3,87 \text{ t/ml}$.

contrainte dans le sol:

$$\sigma_s = \frac{q}{s} = \frac{3,87 \cdot 1000}{60 \cdot 100} = 0,645 \text{ Kg/cm}^2 < \bar{\sigma}_s$$

Ferraillage de la semelle: sens transversal

On utilise la méthode des Bielles:

$$F = \frac{N(B-b)}{Bh} = \frac{3,87 \cdot 1000 (60-20)}{8 \cdot (40-4)} = 537,5 \text{ Kg}$$

$$A = \frac{F}{\sigma_a} = \frac{537,5 \text{ Kg}}{2800} = 0,19 \text{ cm}^2 \quad \text{On prend 4T10}$$

$e = 25 \text{ cm} \quad A = 3,14 \text{ cm}^2$

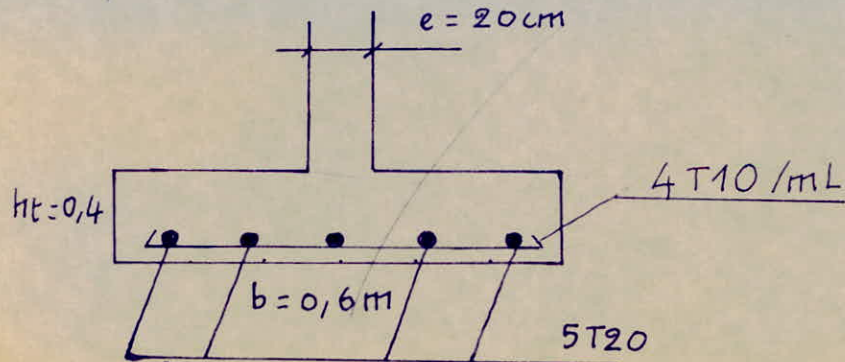
sens longitudinal

dans ce sens, la semelle joue le rôle d'une longrine

$$\text{Effort de traction } N = \frac{N_{\max}}{10} = \frac{298,2}{10} \text{ t} = 29,82 \text{ t.}$$

$$A \geq \frac{N}{\sigma_a} = \frac{29,82}{2800} = 10,64 \text{ cm}^2.$$

On prend 5T20 ($A = 12,56 \text{ cm}^2$). 4T10 + 2T10



LONGRINES

les longrines doivent pouvoir équilibrer une force axiale dégal à 10% de la charge du poteau en question

$$N = \frac{N_{\max}}{10} = \frac{525,6}{10} = 52,65 \text{ t.}$$

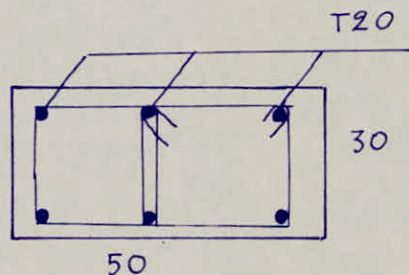
coffrage de la longrine 30x50 (cm)

- Ferailage :

$$A \geq \frac{52,65 \cdot 1000}{2800} = 18,8 \text{ cm}^2 \rightarrow 6 \text{ T20}$$

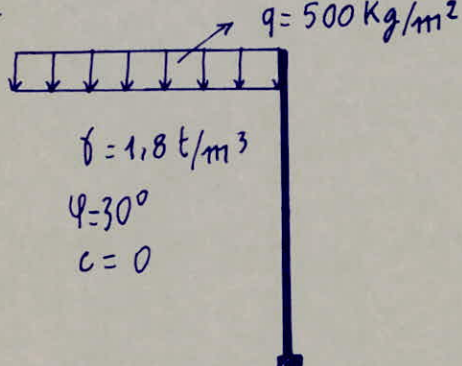
- armatures transversales:

(1 cadre + 1 étrier) T8 $e = 20 \text{ cm}$



voile périphérique.

le voile sera calculé comme une dalle appuyée sur la fondation et appuyé sur les poteaux et poutres du RDC.



la contrainte sous la poussée des terres et la charge supplémentaire de 500 Kg/m^2 . est

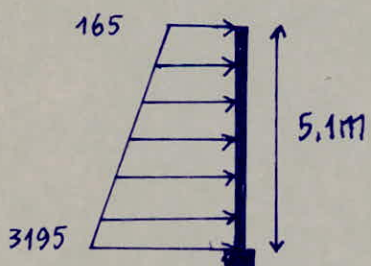
$$\sigma_z = K_a (\gamma z + q)$$

$$K_a = \tan^2 \left(\frac{\pi}{4} - \frac{\varphi}{2} \right) = 0,33.$$

$$\sigma(0) = 0,33 (1,8 \cdot 0 + 500) = 165 \text{ Kg/m}^2.$$

$$\sigma(H) = 0,33 (5,1 \cdot 1,8 + 500) = 3195 \text{ Kg/m}^2.$$

distribution de la poussée :



Pour le calcul, nous prenons une charge uniformément répartie $q = 3195 \text{ Kg/m}^2$

soit le panneau :

$$\begin{aligned} l_{x0} &= 4,6 \text{ m.} \\ l_y &= 8,5 \text{ m.} \end{aligned} \quad \left\{ \begin{array}{l} f = 0,54 \\ \mu_x = 0,0911 \\ \mu_y = 0,377 \end{array} \right.$$

$$M_x = \mu_x q l_{x0}^2 = 0,0911 \cdot 3195 \text{ Kg/m}^2 \cdot 4,6^2 = 6,16 \text{ tm}$$

$$M_y = \mu_y M_x = 0,377 \cdot 6,16 \text{ tm} = 2,32 \text{ tm.}$$

$$M_{tx} = 0,85 \cdot 6,16 \text{ tm} = 5,26 \text{ tm}$$

$$M_{ty} = 0,85 \cdot 2,32 \text{ tm} = 1,97 \text{ tm.}$$

$M_t x = 5,26 \text{ t.m.} \Rightarrow A = 6\text{T16}/\text{mL} \quad e = 20\text{cm}.$
dans l'autre sens

$$A_y = \frac{Ax}{4} = \frac{12,06}{4} = 3,01 \text{ cm}^2$$

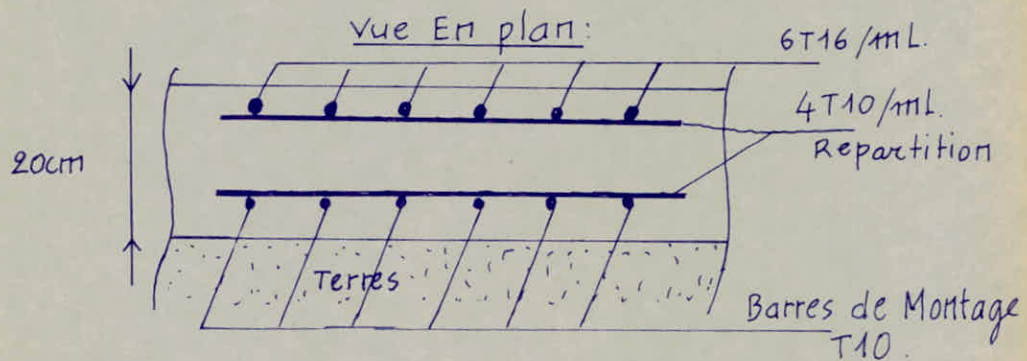
$$A = 4\text{T10}/\text{mL} \quad e = 20\text{cm}$$

armatures Transversales

$$T_{\max} = 6768 \text{ Kg} \Rightarrow \bar{\tau}_b = \frac{6768}{100 \cdot \frac{7}{8} 17} = 4,55 \text{ Kg/cm}^2.$$

$$\bar{\tau}_b = 1,15 \bar{\sigma}_b = 6,78 \text{ Kg/cm}^2$$

$\tau_b < \bar{\tau}_b \Rightarrow$ les Armatures transversales ne sont pas nécessaires.



— BIBLIOGRAPHIE —

- Règles techniques : C.C.B.A 68.
- Règlements parasismiques : R.P.A. 81
- calcul et vérification des ouvrages en béton armé (P. CHARRON).
- Dynamique des structures et sismologie de l'ingénieur.
- Aide mémoire de béton armé (U. DAVIDOVICI)
- traité de béton armé "TOME 4" (A. GUERRIN)
- cours de béton III "TOME II" (M. BELAZOUGUI)
- Aide mémoire de R.D.M (J. Goulet)
- calcul pratique des fondations et murs de soutènement (TENG)
- Calcul des ossatures en béton armé (A. COIN)

